



การปรับปรุงความเข้ากันได้ของเทอร์โมพลาสติกวัลคาไนซ์จากการเบลนค์ระหว่างยางธรรมชาติ  
ยางรีเคลม และโพรพิลีนเอทิลีนโคพอลิเมอร์  
Improvement of Compatibilization of Thermoplastic Vulcanizates based on  
Natural Rubber/Reclaimed Rubber/Propylene Ethylene Copolymer Blends

วิชชุดา นาคะสรรค์  
Witchuda Nakasan

วิทยานิพนธ์นี้เป็นส่วนหนึ่งของการศึกษาตามหลักสูตรปริญญาวิทยาศาสตรมหาบัณฑิต  
สาขาวิชาเทคโนโลยีพอลิเมอร์  
มหาวิทยาลัยสงขลานครินทร์

A Thesis Submitted in Partial Fulfillment of the Requirements for the Degree of  
Master of Science in Polymer Technology  
Prince of Songkla University

2560

ลิขสิทธิ์ของมหาวิทยาลัยสงขลานครินทร์

ชื่อวิทยานิพนธ์                      การปรับปรุงความเข้ากันได้ของเทอร์โมพลาสติกวัลคาไนซ์จากการเบลนด์  
ระหว่างยางธรรมชาติ ยางรีเคลม และโพรพิลีนเอทิลีนโคพอลิเมอร์

ผู้เขียน                                      นางสาววิชชุดา นาคะสรรค์

สาขาวิชา                                    เทคโนโลยีพอลิเมอร์

อาจารย์ที่ปรึกษาวิทยานิพนธ์หลัก

คณะกรรมการสอบ

Anona Thithammy  
.....  
(ผู้ช่วยศาสตราจารย์ ดร.อโนมา ธิติธรรมวงศ์)

[Signature].....ประธานกรรมการ  
(ผู้ช่วยศาสตราจารย์ ดร.อนุวัติ แซ่ตั้ง)

อาจารย์ที่ปรึกษาวิทยานิพนธ์ร่วม

Anona Thithammy.....กรรมการ  
(ผู้ช่วยศาสตราจารย์ ดร.อโนมา ธิติธรรมวงศ์)

A. Saiswari  
.....  
(อาจารย์ ดร.ซีตีไซยิตะห์ สายวารี)

A. Saiswari.....กรรมการ  
(อาจารย์ ดร.ซีตีไซยิตะห์ สายวารี)

[Signature].....กรรมการ  
(อาจารย์ ดร.นาบิล หะยิมะแซ)

[Signature].....กรรมการ  
(อาจารย์ ดร.ประชิด สระโมฬี)

บัณฑิตวิทยาลัย มหาวิทยาลัยสงขลานครินทร์ อนุมัติให้รับวิทยานิพนธ์ฉบับนี้เป็นส่วน  
หนึ่งของการศึกษาตามหลักสูตรปริญญาวิทยาศาสตรมหาบัณฑิต สาขาวิชาเทคโนโลยีพอลิเมอร์

[Signature]  
.....  
(รองศาสตราจารย์ ดร.ธีระพล ศรีชนะ)  
คณบดีบัณฑิตวิทยาลัย

ขอรับรองว่าผลงานวิจัยนี้มาจากการศึกษาวิจัยของนักศึกษาเอง และได้แสดงความขอบคุณบุคคลที่มีส่วนช่วยเหลือแล้ว

ลงชื่อ Asom Thitithany.....  
(ผู้ช่วยศาสตราจารย์ ดร.อโนมา ธิติธรรมวงศ์)  
อาจารย์ที่ปรึกษาวิทยานิพนธ์หลัก

ลงชื่อ วิษุตา นาคะสรรงค์.....  
(นางสาววิษุตา นาคะสรรงค์)  
นักศึกษา

Prince of Songkla University  
Pattani Campus

ข้าพเจ้าขอรับรองว่า ผลงานวิจัยนี้ไม่เคยเป็นส่วนหนึ่งในการอนุมัติปริญญาในระดับใดมาก่อน และ  
ไม่ได้ถูกใช้ในการยื่นขออนุมัติปริญญาในขณะนี้

ลงชื่อ.....*วิชดา นาคะสรรค์*.....  
(นางสาววิชดา นาคะสรรค์)  
นักศึกษา

Prince of Songkla University  
Pattani Campus

|                 |   |
|-----------------|---|
| ชื่อวิทยานิพนธ์ | การปรับปรุงความเข้ากันได้ของเทอร์โมพลาสติกวัลคาไนซ์จากการเบลนด์ระหว่างยางธรรมชาติ ยางรีเคลม และโพรพิลีนเอทิลีนโคพอลิเมอร์ |
| ผู้เขียน        | นางสาววิษุตา นาคะสรรค์  |
| สาขาวิชา        | เทคโนโลยีพอลิเมอร์  |
| ปีการศึกษา      | 2559  |

### บทคัดย่อ

การศึกษาอิทธิพลของสารดัดแปร 3 ชนิด ได้แก่ ฟีนอลิกเรซิน, มาลิกแอนไฮไดรด์ และ โกลซีดีลเมทาคริเลต ต่อสมบัติของยางเบลนด์ระหว่างยางธรรมชาติ และยางรีเคลม พบว่ายางเบลนด์สูตรที่ใช้สารดัดแปร มีระยะเวลาการสกรอช และเวลาในการวัลคาไนซ์นานกว่าสูตรที่ไม่ใช้สารดัดแปร และสูตรที่ใช้สารดัดแปรชนิดฟีนอลิกเรซินให้สมบัติของยางเบลนด์โดยรวมดีที่สุด จึงเลือกใช้สารดัดแปรฟีนอลิกเรซินสำหรับการศึกษาลงของการปรับปรุงความเข้ากันได้ในเทอร์โมพลาสติกวัลคาไนซ์จากการเบลนด์ระหว่างยางธรรมชาติ ยางรีเคลม และโพรพิลีนเอทิลีนโคพอลิเมอร์ การศึกษาอิทธิพลของวิธีการผสมสารดัดแปร พบว่าเทอร์โมพลาสติกวัลคาไนซ์ที่เตรียมโดยใช้วิธีการผสมสารดัดแปรแบบ Melt mixing จะให้สมบัติเชิงกล สมบัติการไหล และสมบัติเชิงกลพลวัตโดยรวมดีกว่าเทอร์โมพลาสติกวัลคาไนซ์ที่เตรียมโดยใช้วิธีการผสมแบบ Reactive blending รวมถึงให้ลักษณะสัญญาณวิทยาที่เรียบสม่ำเสมอมากกว่า และปริมาณสารดัดแปรฟีนอลิกเรซินที่เหมาะสม คือ 10 phr นอกจากนี้การศึกษาอิทธิพลของอัตราส่วนการเบลนด์ที่อัตราส่วน NR/RR/PEC เท่ากับ 60/0/40, 45/15/40, 30/30/40, 15/45/40 และ 0/60/40 ส่วนโดยน้ำหนัก พบว่าเมื่อมีปริมาณยางรีเคลมในสัดส่วนของเฟสยางที่เพิ่มขึ้น เทอร์โมพลาสติกวัลคาไนซ์มีสมบัติเชิงกลโดยรวมด้อยลง เป็นผลมาจากยางรีเคลมมีน้ำหนักโมเลกุลต่ำ เกิดการวัลคาไนซ์ใหม่ในโมเลกุลได้น้อย และมีสารตัวเติมเข้ามาต่ำเหลืออยู่ การศึกษาอิทธิพลของการใช้สารเพิ่มความเข้ากันได้ชนิด PEC-g-Ph ร่วมกับสารดัดแปรฟีนอลิกเรซิน พบว่าการใช้สารเพิ่มความเข้ากันได้ช่วยเสริมให้เทอร์โมพลาสติกวัลคาไนซ์มีค่าความต้านทานต่อแรงดึง ความสามารถในการยืดจนขาด โมดูลัสสะสม และความหนืดเชิงซ้อนเพิ่มขึ้นเล็กน้อย นอกจากนี้พบว่าสูตรที่ใช้สารดัดแปรฟีนอลิกเรซินร่วมกับสารเพิ่มความเข้ากันได้ชนิด PEC-g-Ph จะให้ค่าความต้านทานต่อแรงดึง และความแข็งแรงสูงสุด และจากการศึกษาอิทธิพลของชนิดยางธรรมชาติ พบว่าเทอร์โมพลาสติกวัลคาไนซ์ที่ใช้ยางธรรมชาติให้สมบัติเชิงกล สมบัติการไหล และสัญญาณวิทยาดีกว่าการใช้ยางธรรมชาติอิพอกไซด์ ที่ซึ่งเมื่อใช้ยางธรรมชาติอิพอกไซด์สมบัติโดยรวมลดลงตามปริมาณหมู่อิพอกไซด์ที่เพิ่มขึ้น

|                      |   |
|----------------------|---|
| <b>Thesis Title</b>  | Improvement of Compatibilization of Thermoplastic Vulcanizates based on Natural Rubber/Reclaimed Rubber/Propylene Ethylene Copolymer Blends |
| <b>Author</b>        | Miss Witchuda Nakasan   |
| <b>Major Program</b> | Polymer Technology  |
| <b>Academic Year</b> | 2016  |

### ABSTRACT

Effect of modifying agents i.e. phenolic resin, maleic anhydride and glycidyl methacrylate on properties of natural rubber/reclaimed rubber (NR/RR) blend was studied. Results show that longer scorch time and cure time of the blend with modifying agent were achieved compared to those of the blend without modifying agent. The blend with phenolic resin gave the best overall properties. Therefore, it was then further used for promoting the phase compatibility in thermoplastic vulcanizates (TPVs) based on blending of NR/RR/ propylene ethylene copolymer (PEC). Different mixing methods, melt mixing and reactive blending, were designed to prepare TPVs with phenolic resin. It was found that the TPVs prepared via melt mixing method provided superior mechanical, rheological and dynamic mechanical properties as well as better phase morphology than the TPVs prepared via reactive blending. Furthermore, suitable quantity of phenolic resin was at 10 phr. Influence of blend proportion of NR/RR/PEC TPVs, 60/0/40, 45/15/40, 30/30/40, 15/45/40 and 0/60/40 parts by weight, was also investigated. Increasing of RR in the rubber component of TPVs clearly impacted on deterioration of mechanical property. This was due to the RR had low molecular weight, remained carbon black and could not be much re-vulcanized during blending. In addition, effect of PEC-g-Ph compatibilizer in combination with phenolic resin as modifying agent on properties of NR/RR/PEC TPVs was studied. The use of compatibilizer could promote a slight increasing of tensile strength, elongation at break, storage modulus and complex viscosity of the TPVs. Furthermore, synergistic effect of PEC-g-Ph compatibilizer and phenolic resin could be found from the highest tensile strength

and hardness of the TPVs. Epoxidized natural rubber (ENR) was also applied to the TPVs in replacement of NR. It was found that the TPVs with NR still showed better mechanical, rheological and morphological properties than the TPVs with ENR. Overall properties of the TPVs were decreased with increasing epoxy contents in the ENR.

Prince of Songkla University  
Pattani Campus

## กิตติกรรมประกาศ

วิทยานิพนธ์ฉบับนี้สำเร็จลุล่วงไปได้ด้วยดี ด้วยความช่วยเหลือ และความอนุเคราะห์ จาก ผศ.ดร. อโนมา ธิติธรรมวงศ์ อาจารย์ที่ปรึกษาหลักในการทำวิทยานิพนธ์ ที่คอยให้คำแนะนำ คอยช่วยเหลือชี้แนะแนวทางในการศึกษาค้นคว้าทำงานวิจัย ให้ความรู้ ให้โอกาส คอยอบรมสั่งสอน อีกทั้งยังช่วยตรวจทานแก้ไขข้อบกพร่องต่างๆของวิทยานิพนธ์ ให้แก่ผู้วิจัยตลอดมา ผู้วิจัย ขอขอบพระคุณเป็นอย่างยิ่ง

ขอขอบคุณอาจารย์ ดร.ชิตีไชยัตนะห์ สายวารีย์ ผู้ช่วยศาสตราจารย์ ดร.อนุวัติ แซ่ตั้ง อาจารย์ ดร.นาบิล ทะยิมะแซ และอาจารย์ ดร.ประชิด สระโมฬี ที่ให้คำปรึกษา ตรวจทาน และแก้ไขการเขียนวิทยานิพนธ์ ตลอดจนอาจารย์ เจ้าหน้าที่และนักวิทยาศาสตร์ทุกท่านในภาควิชา เทคโนโลยียางและพอลิเมอร์ ที่ให้ความช่วยเหลือ ให้ความรู้ คอยให้คำแนะนำ และอำนวยความสะดวกทำให้การทำวิจัยในครั้งนี้สำเร็จลุล่วงไปด้วยดี

ขอขอบคุณพี่บอลที่คอยให้คำปรึกษา และคอยช่วยเหลือตลอดเวลา และขอขอบคุณ พี่ๆ เพื่อนๆ น้องๆ ทั้งปริญญาเอก โท และ ตรี ทุกคนที่คอยช่วยเหลือ และให้กำลังใจมาโดยตลอด

สุดท้ายนี้ขอขอบพระคุณ พ่อและแม่ พี่ๆ และน้องๆ ที่ให้ความรัก ให้กำลังใจ เป็นแรงใจ และคอยดูแลเอาใจใส่ผู้วิจัยเสมอมา

วิษชุดา นาคะสรรค์

## สารบัญ

|  | หน้า     |
|--|----------|
| บทคัดย่อ.....  | (5)      |
| Abstract.....  | (6)      |
| กิตติกรรมประกาศ.....   | (8)      |
| สารบัญ.....  | (9)      |
| รายการตาราง.....   | (16)     |
| รายการรูป.....   | (18)     |
| <b>บทที่ 1 บทนำ.....</b>   | <b>1</b> |
| 1.1 ความสำคัญและที่มาของปัญหา.....   | 1        |
| 1.2 วัตถุประสงค์.....  | 3        |
| 1.3 ขอบเขตการศึกษา.....  | 3        |
| 1.4 ประโยชน์ที่คาดว่าจะได้รับ.....   | 4        |
| <b>บทที่ 2 ทฤษฎีและงานวิจัยที่เกี่ยวข้อง.....</b>  | <b>5</b> |
| 2.1 ยางธรรมชาติ.....   | 5        |
| 2.2 ยางธรรมชาติอีพอกไซด์.....  | 6        |
| 2.2.1 สมบัติของยางธรรมชาติอีพอกไซด์.....   | 7        |
| 2.2.2 การวิเคราะห์ยางธรรมชาติอีพอกไซด์.....  | 7        |
| 2.3 ยางรีเคลม.....   | 8        |
| 2.3.1 ตัวอย่างกระบวนการเตรียมยางรีเคลม.....  | 10       |
| 2.3.1.1 กระบวนการรีเคลมโดยอาศัยความร้อน.....   | 10       |
| 2.3.1.2 กระบวนการรีเคลมโดยใช้ความร้อนร่วมกับวิธีทางกล (Thermo-mechanical process).....   | 10       |
| 2.3.1.3 กระบวนการรีเคลมโดยใช้วิธีทางกลร่วมกับวิธีทางเคมี (Mechano-chemical methods)..... | 10       |
| 2.3.1.4 กระบวนการรีเคลมโดยใช้สารเคมี (Chemical reclaiming processes).....                | 11       |
| 2.3.2 สมบัติของยางรีเคลม.....  | 12       |
| 2.3.3 การใช้งานยางรีเคลม.....  | 12       |
| 2.4 เทอร์โมพลาสติกอีลาสโตเมอร์ (Thermoplastic Elastomers, TPEs).....                     | 13       |

## สารบัญ (ต่อ)

|   | หน้า      |
|---|-----------|
| 2.4.1 การเตรียมเทอร์โมพลาสติกจากการเบลนด์ยางและพลาสติก.....   | 15        |
| 2.4.2 การแปรรูปและการประยุกต์ใช้งานเทอร์โมพลาสติกอิลาสโตเมอร์.....  | 19        |
| 2.5 การเข้ากันได้ของการเบลนด์ (Blend compatibilization).....  | 20        |
| 2.5.1 การใช้โคพอลิเมอร์แบบกราฟต์และบล็อกเป็นสารเพิ่มความเข้ากันได้.....   | 20        |
| 2.5.2 การใช้พอลิเมอร์ที่มีหมู่ฟังก์ชันเป็นสารเพิ่มความเข้ากันได้.....   | 20        |
| 2.5.3 รีเอกทีฟเบลนด์ (Reactive blending).....   | 21        |
| 2.6 งานวิจัยที่เกี่ยวข้อง.....  | 21        |
| 2.6.1 กระบวนการรีเคลม.....  | 21        |
| 2.6.2 การใช้ยางรีเคลมเป็นองค์ประกอบเบลนด์.....  | 22        |
| 2.6.3 ระบบวัลคาไนซ์ของพอลิเมอร์เบลนด์ที่มียางรีเคลมเป็นองค์ประกอบ.....  | 24        |
| 2.6.4 การใช้ยางรีเคลมเป็นองค์ประกอบเบลนด์ในการเตรียมเทอร์โมพลาสติกวัลคาไนซ์.....  | 26        |
| 2.6.5 การปรับปรุงความเข้ากันได้ของพอลิเมอร์เบลนด์ที่มียางรีเคลมเป็นองค์ประกอบ.....  | 27        |
| <b>บทที่ 3 สารเคมี อุปกรณ์ และวิธีการทดลอง.....</b>   | <b>29</b> |
| 3.1 สารเคมี.....  | 29        |
| 3.2 อุปกรณ์ที่ใช้ในการทดลอง.....  | 35        |
| 3.3 วิธีการทดลอง.....   | 38        |
| 3.3.1 การศึกษาสมบัติเบื้องต้นของยางรีเคลม.....  | 38        |
| 3.3.2 การศึกษาอิทธิพลของชนิดสารดัดแปรต่อสมบัติของยางวัลคาไนซ์จากการเบลนด์ยางธรรมชาติและยางรีเคลม.....   | 40        |
| 3.3.3 การศึกษาอิทธิพลของวิธีการผสมสารดัดแปรต่อสมบัติของเทอร์โมพลาสติกวัลคาไนซ์จากการเบลนด์ระหว่างยางธรรมชาติ ยางรีเคลม และโพรพิลีนเอทิลีนโคพอลิเมอร์..... | 42        |
| 3.3.4 การศึกษาอิทธิพลของปริมาณสารดัดแปรต่อสมบัติเทอร์โมพลาสติกวัลคาไนซ์จากการเบลนด์ระหว่าง NR/RR/PEC.....   | 46        |
| 3.3.5 การศึกษาอิทธิพลของอัตราส่วนการเบลนด์ต่อสมบัติเทอร์โมพลาสติกวัลคาไนซ์จากการเบลนด์ระหว่าง NR/RR/PEC.....  | 46        |

## สารบัญ (ต่อ)

## หน้า

|   |           |
|---|-----------|
| 3.3.6 การศึกษาผลของการใช้สารเพิ่มความเข้ากันได้ชนิดกราฟต์โคพอลิเมอร์<br>ของโพรพิลีนเอทิลีนโคพอลิเมอร์กับพีนอลิกเรซิน(Propylene-ethylene<br>copolymer grafted phenolic resin, PEC-g-Ph) ร่วมกับวิธีการปรับปรุง<br>ความเข้ากันได้โดยใช้สารดัดแปรต่อสมบัติเทอร์โมพลาสติกวัลคาไนซ์จากการ<br>เบลนดระหว่าง NR/RR/PEC..... | 47        |
| 3.3.7 การศึกษาอิทธิพลของชนิดยางธรรมชาติต่อสมบัติเทอร์โมพลาสติกวัลคา<br>ไนซ์จากการเบลนดระหว่าง NR/RR/PEC.....  | 51        |
| 3.4 วิธีการทดสอบสมบัติ.....   | 52        |
| 3.4.1 การทดสอบค่าความหนืดมูนี่.....   | 52        |
| 3.4.2 การทดสอบสมบัติความต้านทานต่อการดึง และความสามารถในการยืดจน<br>ขาด.....  | 52        |
| 3.4.3 การทดสอบการผิดรูปถาวรแบบดึง (Tension set).....  | 53        |
| 3.4.4 การทดสอบสมบัติเชิงกลหลังบ่มแรง.....   | 53        |
| 3.4.5 การทดสอบความแข็งด้วยเครื่อง Durometer.....  | 54        |
| 3.4.6 การทดสอบสมบัติการไหลด้วยเครื่อง Capillary rheometer.....  | 54        |
| 3.4.7 การทดสอบสมบัติเชิงกลพลวัตด้วยเครื่อง Moving die rheometer.....  | 55        |
| 3.4.8 การศึกษาลักษณะทางสัณฐานวิทยาด้วยเครื่อง Scanning electron<br>microscope (SEM).....  | 55        |
| <b>บทที่ 4 ผลและวิจารณ์ผลการทดลอง.....</b>  | <b>56</b> |
| 4.1 การศึกษาสมบัติของยางรีเคลม.....   | 56        |
| 4.1.1 การวิเคราะห์สมบัติเชิงความร้อนของยางรีเคลมด้วยเทคนิค Thermal<br>gravimetric analysis (TGA).....   | 56        |
| 4.1.2 การวิเคราะห์โครงสร้างทางเคมีของยางรีเคลมด้วยเทคนิคอินฟราเรดสเปค<br>โทรสโกปี (FTIR).....   | 59        |
| 4.1.3 การวิเคราะห์ปริมาณส่วนที่ละลายและไม่ละลาย (Sol-gel fraction) ใน<br>ยางรีเคลม.....   | 60        |
| 4.1.4 การหาความหนาแน่นพันธะเชื่อมขวางในยางรีเคลมด้วยวิธีการบวมพอง<br>(Swelling).....  | 60        |

## สารบัญ (ต่อ)

|   | หน้า |
|---|------|
| 4.1.5 การวิเคราะห์สัณฐานวิทยาของยางรีเคลม.....  | 61   |
| 4.2 การศึกษาอิทธิพลของชนิดสารดัดแปรต่อสมบัติของยางวัลคาไนซ์จากการเบลนด์ระหว่างยางธรรมชาติและยางรีเคลม (NR/RR blend).....  | 61   |
| 4.2.1 พฤติกรรมการวัลคาไนซ์ของยางเบลนด์ระหว่าง NR/RR เมื่อแปรชนิดสารดัดแปร.....  | 61   |
| 4.2.2 การศึกษาอิทธิพลของชนิดสารดัดแปรต่อสมบัติเชิงกลของยางวัลคาไนซ์จากการเบลนด์ระหว่าง NR/RR.....   | 68   |
| 4.2.3 การศึกษาอิทธิพลของชนิดสารดัดแปรต่อสมบัติเชิงกลหลังบ่มเร่งของยางวัลคาไนซ์จากการเบลนด์ระหว่าง NR/RR.....  | 69   |
| 4.2.4 สมบัติการไหลของยางเบลนด์ระหว่างยางธรรมชาติและยางรีเคลมเมื่อแปรชนิดสารดัดแปร.....  | 72   |
| 4.3 การศึกษาอิทธิพลของวิธีการผสมสารดัดแปรต่อสมบัติเทอร์โมพลาสติกวัลคาไนซ์จากการเบลนด์ระหว่างยางธรรมชาติ ยางรีเคลม และโพรพิลีนเอทิลีนโคพอลิเมอร์ (NR/RR/PEC TPVs)..... | 75   |
| 4.3.1 การศึกษาอิทธิพลของวิธีการผสมสารดัดแปรต่อพฤติกรรมการผสมในการเตรียมเทอร์โมพลาสติกวัลคาไนซ์จากการเบลนด์ NR/RR/PEC.....   | 75   |
| 4.3.2 การศึกษาอิทธิพลของวิธีการผสมสารดัดแปรต่อสมบัติเชิงกลของเทอร์โมพลาสติกวัลคาไนซ์จากการเบลนด์ระหว่าง NR/RR/PEC.....  | 76   |
| 4.3.3 การศึกษาอิทธิพลของวิธีการผสมสารดัดแปรต่อสมบัติเชิงกลภายหลังบ่มเร่งของเทอร์โมพลาสติกวัลคาไนซ์จากการเบลนด์ระหว่าง NR/RR/PEC.....                                  | 84   |
| 4.3.4 การศึกษาอิทธิพลของวิธีการผสมสารดัดแปรต่อสมบัติการไหลของเทอร์โมพลาสติกวัลคาไนซ์จากการเบลนด์ระหว่าง NR/RR/PEC.....  | 87   |
| 4.3.5 การศึกษาอิทธิพลของวิธีการผสมสารดัดแปรต่อสมบัติเชิงกลพลาสต์ของเทอร์โมพลาสติกวัลคาไนซ์จากการเบลนด์ระหว่าง NR/RR/PEC.....  | 90   |
| 4.3.6 การศึกษาอิทธิพลของวิธีการผสมสารดัดแปรต่อสัณฐานวิทยาของเทอร์โมพลาสติกวัลคาไนซ์จากการเบลนด์ระหว่าง NR/RR/PEC.....   | 93   |

## สารบัญ (ต่อ)

หน้า

|   |     |
|---|-----|
| 4.4 การศึกษาอิทธิพลของปริมาณสารดัดแปรต่อสมบัติเทอร์โมพลาสติกวัลคาไนซ์จาก<br>การเบลนดระหว่างยางธรรมชาติ ยางรีเคลม และโพรพิลีนเอทิลีนโคพอลิเมอร์<br>(NR/RR/PEC TPVs)..... | 94  |
| 4.4.1 การศึกษาอิทธิพลของปริมาณสารดัดแปรต่อพฤติกรรมกรรมการผสมในการ<br>เตรียมเทอร์โมพลาสติกวัลคาไนซ์จากการเบลนด NR/RR/PEC.....  | 94  |
| 4.4.2 การศึกษาอิทธิพลของปริมาณสารดัดแปรต่อสมบัติเชิงกลของเทอร์โม<br>พลาสติกวัลคาไนซ์จากการเบลนดระหว่าง NR/RR/PEC.....   | 95  |
| 4.4.3 การศึกษาอิทธิพลของปริมาณสารดัดแปรต่อสมบัติเชิงกลภายหลังบ่มเร่ง<br>ของเทอร์โมพลาสติกวัลคาไนซ์จากการเบลนดระหว่าง NR/RR/PEC.....                                     | 98  |
| 4.4.4 การศึกษาอิทธิพลของปริมาณสารดัดแปรต่อสมบัติการไหลของเทอร์โม<br>พลาสติกวัลคาไนซ์จากการเบลนดระหว่าง NR/RR/PEC.....   | 102 |
| 4.4.5 การศึกษาอิทธิพลของปริมาณสารดัดแปรต่อสมบัติเชิงกลพลวัตของเทอร์<br>โมพลาสติกวัลคาไนซ์จากการเบลนดระหว่าง NR/RR/PEC.....  | 104 |
| 4.4.6 การศึกษาอิทธิพลของปริมาณสารดัดแปรต่อสัณฐานวิทยาของเทอร์โม<br>พลาสติกวัลคาไนซ์จากการเบลนดระหว่าง NR/RR/PEC.....  | 108 |
| 4.5 การศึกษาอิทธิพลของอัตราส่วนการเบลนดต่อสมบัติเทอร์โมพลาสติกวัลคาไนซ์<br>จากการเบลนดระหว่างยางธรรมชาติ ยางรีเคลม และโพรพิลีนเอทิลีนโคพอลิเมอร์.....                   | 110 |
| 4.5.1 การศึกษาอิทธิพลของอัตราส่วนการเบลนดต่อพฤติกรรมกรรมการผสมในการ<br>เตรียมเทอร์โมพลาสติกวัลคาไนซ์จากการเบลนดNR/RR/PEC.....   | 110 |
| 4.5.2 การศึกษาอิทธิพลของอัตราส่วนการเบลนดต่อสมบัติเชิงกลของเทอร์โม<br>พลาสติกวัลคาไนซ์จากการเบลนดระหว่าง NR/RR/PEC.....   | 111 |
| 4.5.3 การศึกษาอิทธิพลของอัตราส่วนการเบลนดต่อสมบัติเชิงกลภายหลังบ่มเร่ง<br>ของเทอร์โมพลาสติกวัลคาไนซ์จากการเบลนดระหว่าง NR/RR/PEC.....                                   | 115 |
| 4.5.4 การศึกษาอิทธิพลของอัตราส่วนการเบลนดต่อสมบัติการไหลของเทอร์โม<br>พลาสติกวัลคาไนซ์จากการเบลนดระหว่าง NR/RR/PEC.....   | 120 |
| 4.5.5 การศึกษาอิทธิพลของอัตราส่วนการเบลนดต่อสมบัติเชิงกลพลวัตของเทอร์<br>โมพลาสติกวัลคาไนซ์จากการเบลนดระหว่าง NR/RR/PEC.....  | 121 |

## สารบัญ (ต่อ)

|  | หน้า |
|--|------|
| 4.5.6 การศึกษาอิทธิพลของอัตราส่วนการเบลนด์ต่อสัณฐานวิทยาของเทอร์โมพลาสติกวัลคาไนซ์จากการเบลนด์ระหว่าง NR/RR/PEC.....   | 126  |
| 4.6 การศึกษาอิทธิพลของการใช้สารเพิ่มความเข้ากันได้ชนิดกราฟต์โคพอลิเมอร์ของโพรพิลีนเอทิลีนโคพอลิเมอร์กับฟีนอลิกเรซิน (Propylene-ethylene copolymer grafted phenolic resin, PEC-g-Ph) ร่วมกับวิธีการปรับปรุงความเข้ากันได้โดยใช้สารตัดแปรต่อสมบัติเทอร์โมพลาสติกวัลคาไนซ์จากการเบลนด์ระหว่างยางธรรมชาติ ยางรีเคลม และโพรพิลีนเอทิลีนโคพอลิเมอร์..... | 128  |
| 4.6.1 การวิเคราะห์โครงสร้างทางเคมีของกราฟต์โคพอลิเมอร์ของโพรพิลีนเอทิลีนโคพอลิเมอร์กับฟีนอลิกเรซิน (PEC-g-Ph) เพื่อใช้เป็นสารเพิ่มความเข้ากันได้ (Compatibilizer).....   | 128  |
| 4.6.2 การศึกษาอิทธิพลของการใช้สารเพิ่มความเข้ากันได้ชนิด PEC-g-Ph ร่วมกับการใช้สารตัดแปรฟีนอลิกเรซินต่อพฤติกรรมผลการผสมในการเตรียมเทอร์โมพลาสติกวัลคาไนซ์จากการเบลนด์ NR/RR/PEC.....   | 130  |
| 4.6.3 การศึกษาอิทธิพลของการใช้สารเพิ่มความเข้ากันได้ชนิด PEC-g-Ph ร่วมกับการใช้สารตัดแปรฟีนอลิกเรซินต่อสมบัติเชิงกลของเทอร์โมพลาสติกวัลคาไนซ์จากการเบลนด์ระหว่าง NR/RR/PEC.....  | 131  |
| 4.6.4 การศึกษาอิทธิพลของการใช้สารเพิ่มความเข้ากันได้ชนิด PEC-g-Ph ร่วมกับการใช้สารตัดแปรฟีนอลิกเรซินต่อสมบัติเชิงกลภายหลังบ่มแรงของเทอร์โมพลาสติกวัลคาไนซ์จากการเบลนด์ระหว่าง NR/RR/PEC.....   | 137  |
| 4.6.5 การศึกษาอิทธิพลของการใช้สารเพิ่มความเข้ากันได้ชนิด PEC-g-Ph ร่วมกับการใช้สารตัดแปรฟีนอลิกเรซินต่อสมบัติการไหลของเทอร์โมพลาสติกวัลคาไนซ์จากการเบลนด์ระหว่าง NR/RR/PEC.....  | 141  |
| 4.6.6 การศึกษาอิทธิพลของการใช้สารเพิ่มความเข้ากันได้ชนิด PEC-g-Ph ร่วมกับการใช้สารตัดแปรฟีนอลิกเรซินต่อสมบัติเชิงกลพลวัตของเทอร์โมพลาสติกวัลคาไนซ์จากการเบลนด์ระหว่าง NR/RR/PEC.....   | 143  |
| 4.6.7 การศึกษาอิทธิพลของการใช้สารเพิ่มความเข้ากันได้ชนิด PEC-g-Ph ร่วมกับการใช้สารตัดแปรฟีนอลิกเรซินต่อสัณฐานวิทยาของเทอร์โมพลาสติกวัลคาไนซ์จากการเบลนด์ระหว่าง NR/RR/PEC.....   | 146  |

## สารบัญ (ต่อ)

หน้า

|   |            |
|---|------------|
| 4.7 การศึกษาอิทธิพลของชนิดยางธรรมชาติต่อสมบัติเทอร์โมพลาสติกวัลคาไนซ์จาก<br>การเบลนดระหว่างยางธรรมชาติ ยางรีเคลม และโพรพิลีนเอทิลีนโคพอลิเมอร์..... | 147        |
| 4.7.1 ยางธรรมชาติอีพอกไซด์.....   | 147        |
| 4.7.2 การศึกษาอิทธิพลของชนิดยางธรรมชาติต่อพฤติกรรมการผสมในการ<br>เตรียมเทอร์โมพลาสติกวัลคาไนซ์จากการเบลนด NR/RR/PEC.....                            | 151        |
| 4.7.3 การศึกษาอิทธิพลของชนิดยางธรรมชาติต่อสมบัติเชิงกลของเทอร์โม<br>พลาสติกวัลคาไนซ์จากการเบลนดระหว่าง NR/RR/PEC.....                               | 152        |
| 4.7.4 การศึกษาอิทธิพลของชนิดยางธรรมชาติต่อสมบัติเชิงกลภายหลังบ่มเร่ง<br>ของเทอร์โมพลาสติกวัลคาไนซ์จากการเบลนดระหว่าง NR/RR/PEC.....                 | 156        |
| 4.7.5 การศึกษาอิทธิพลของชนิดยางธรรมชาติต่อสมบัติการไหลของเทอร์โม<br>พลาสติกวัลคาไนซ์จากการเบลนดระหว่าง NR/RR/PEC.....                               | 160        |
| 4.7.6 การศึกษาอิทธิพลของชนิดยางธรรมชาติต่อสมบัติเชิงกลลวดของเทอร์โม<br>พลาสติกวัลคาไนซ์จากการเบลนดระหว่าง NR/RR/PEC.....                            | 163        |
| 4.7.7 การศึกษาอิทธิพลของชนิดยางธรรมชาติต่อสัณฐานวิทยาของเทอร์โม<br>พลาสติกวัลคาไนซ์จากการเบลนดระหว่าง NR/RR/PEC.....                                | 166        |
| <b>บทที่ 5 สรุปผลการทดลอง.....</b>  | <b>168</b> |
| บรรณานุกรม.....   | 175        |
| ภาคผนวก.....  | 182        |
| ประวัติผู้เขียน.....  | 190        |

## รายการตาราง

| ตารางที่   | หน้า |
|--|------|
| 2.1 สารรีเคลมมิ่งเอเจนต์ที่ใช้ในกระบวนการรีเคลมโดยใช้วิธีทางกลร่วมกับวิธีทางเคมี.....                                      | 11   |
| 2.2 สารเคมีที่ใช้ในกระบวนการรีเคลมโดยใช้สารเคมี.....   | 12   |
| 3.1 สูตรการเตรียมเทอร์โมพลาสติกวัลคาไนซ์เมื่อแปรชนิดสารตัดแปร.....   | 41   |
| 3.2 สูตรการเตรียมเทอร์โมพลาสติกวัลคาไนซ์.....  | 44   |
| 3.3 สูตรการเตรียมเทอร์โมพลาสติกวัลคาไนซ์ในการศึกษาอิทธิพลของอัตราส่วนการเบลนด์   | 47   |
| 3.4 สูตรการเตรียมเทอร์โมพลาสติกวัลคาไนซ์สำหรับศึกษาการใช้สารเพิ่มความเข้ากันได้.....                                       | 49   |
| 3.5 สารเคมีที่ใช้ในการเตรียมยางธรรมชาติอีพอกไซด์.....  | 51   |
| 4.1 องค์ประกอบของยางรีเคลมแบบแผ่นที่ทดสอบด้วยเทคนิค TGA ที่อุณหภูมิห้อง ถึง 750°C ภายใต้บรรยากาศไนโตรเจน และออกซิเจน.....  | 57   |
| 4.2 ปริมาณส่วนที่ละลายได้ ปริมาณส่วนที่ไม่ละลาย และความหนาแน่นพันธะเชื่อมขวาง....  | 60   |
| 4.3 สมบัติการวัลคาไนซ์ของยางเบลนด์ระหว่างยางธรรมชาติกับยางรีเคลม เมื่อแปรชนิดสารตัดแปร.....                                | 63   |
| 4.4 สมบัติเชิงกลของยางวัลคาไนซ์จากการเบลนด์ยางธรรมชาติกับยางรีเคลมเมื่อแปรชนิดสารตัดแปร.....                               | 69   |
| 4.5 สมบัติเชิงกลภายหลังการบ่มเร่งของยางวัลคาไนซ์จากการเบลนด์ยางธรรมชาติกับยางรีเคลมเมื่อแปรชนิดสารตัดแปร.....              | 71   |
| 4.6 สมบัติเชิงกลของเทอร์โมพลาสติกวัลคาไนซ์จากการเบลนด์ NR/RR/PEC เมื่อแปรวิธีการผสมสารตัดแปร.....                          | 78   |
| 4.7 ความต้านทานต่อแรงดึงภายหลังบ่มเร่งของเทอร์โมพลาสติกวัลคาไนซ์จากการเบลนด์ NR/RR/PEC เมื่อแปรวิธีการผสมสารตัดแปร.....    | 85   |
| 4.8 ความสามารถในการยืดจนขาดภายหลังบ่มเร่งของเทอร์โมพลาสติกวัลคาไนซ์จากการเบลนด์ NR/RR/PEC เมื่อแปรวิธีการผสมสารตัดแปร..... | 85   |
| 4.9 สมบัติเชิงกลของเทอร์โมพลาสติกวัลคาไนซ์จากการเบลนด์ NR/RR/PEC เมื่อแปรปริมาณสารตัดแปร.....                              | 96   |
| 4.10 ความต้านทานต่อแรงดึงภายหลังบ่มเร่งของเทอร์โมพลาสติกวัลคาไนซ์จากการเบลนด์ NR/RR/PEC เมื่อแปรปริมาณสารตัดแปร.....       | 100  |
| 4.11 ความสามารถในการยืดจนขาดหลังบ่มเร่งของเทอร์โมพลาสติกวัลคาไนซ์จากการเบลนด์ NR/RR/PEC เมื่อแปรปริมาณสารตัดแปร.....       | 100  |

รายการตาราง (ต่อ)

| ตารางที่  | หน้า |
|---|------|
| 4.12 สมบัติเชิงกลของเทอร์โมพลาสติกวัลคาไนซ์จากการเบลนด์ NR/RR/PEC เมื่อแปรอัตราส่วนการเบลนด์.....   | 113  |
| 4.13 ความต้านทานต่อแรงดึงภายหลังบ่มแรงของเทอร์โมพลาสติกวัลคาไนซ์จากการเบลนด์ NR/RR/PEC เมื่อแปรอัตราส่วนการเบลนด์.....  | 117  |
| 4.14 ความสามารถในการยืดจนขาดภายหลังบ่มแรงของเทอร์โมพลาสติกวัลคาไนซ์จากการเบลนด์ NR/RR/PEC เมื่อแปรอัตราส่วนการเบลนด์.....   | 117  |
| 4.15 สมบัติเชิงกลของเทอร์โมพลาสติกวัลคาไนซ์จากการเบลนด์ NR/RR/PEC เมื่อใช้สารเพิ่มความเข้ากันได้ชนิด PEC-g-Ph ร่วมกับการใช้สารดัดแปรฟีนอลิกเรซิน.....                         | 132  |
| 4.16 ความต้านทานต่อแรงดึงภายหลังบ่มแรงของเทอร์โมพลาสติกวัลคาไนซ์จากการเบลนด์ NR/RR/PEC เมื่อใช้สารเพิ่มความเข้ากันได้ชนิด PEC-g-Ph ร่วมกับการใช้สารดัดแปรฟีนอลิกเรซิน.....    | 138  |
| 4.17 ความสามารถในการยืดจนขาดภายหลังบ่มแรงของเทอร์โมพลาสติกวัลคาไนซ์จากการเบลนด์ NR/RR/PEC เมื่อใช้สารเพิ่มความเข้ากันได้ชนิด PEC-g-Ph ร่วมกับการใช้สารดัดแปรฟีนอลิกเรซิน..... | 139  |
| 4.18 ปริมาณหมู่ไฮดรอกไซด์เมื่อใช้ระยะเวลาการทำปฏิกิริยาที่แตกต่างกัน ที่อุณหภูมิในการทำปฏิกิริยา 50°C.....  | 148  |
| 4.19 ความหนืดมูนี้ของยางธรรมชาติและยางธรรมชาติอิพอกไซด์.....  | 150  |
| 4.20 ค่าทอร์กสูงสุดและระยะเวลาการเกิดการวัลคาไนเซชันแบบไดนามิกซ์.....   | 152  |
| 4.21 สมบัติเชิงกลของเทอร์โมพลาสติกวัลคาไนซ์จากการเบลนด์ NR/RR/PEC เมื่อแปรชนิดยางธรรมชาติ.....  | 154  |
| 4.22 ความต้านทานต่อแรงดึงภายหลังบ่มแรงของเทอร์โมพลาสติกวัลคาไนซ์จากการเบลนด์ NR/RR/PEC เมื่อแปรชนิดยางธรรมชาติ.....   | 158  |
| 4.23 ความสามารถในการยืดจนขาดภายหลังบ่มแรงของเทอร์โมพลาสติกวัลคาไนซ์จากการเบลนด์ NR/RR/PEC เมื่อแปรชนิดยางธรรมชาติ.....  | 158  |

## รายการรูป

| รูปที่   | หน้า |
|--|------|
| 1.1 การจัดการของเสียจากยางล้อในประเทศไทย ปี พ.ศ. 2554.....   | 1    |
| 2.1 โครงสร้างโมเลกุลของยางธรรมชาติ.....  | 5    |
| 2.2 ปฏิกริยาวัลพอกซิเดชันแบบ <i>In-situ</i> .....  | 7    |
| 2.3 กราฟมาตรฐานเปอร์เซ็นต์โมลอิพอกไซด์ของยางธรรมชาติอิพอกไซด์จากการวิเคราะห์ด้วยเครื่อง FTIR.....                                      | 8    |
| 2.4 ปฏิกริยาที่เกิดขึ้นในระหว่างการรีไซเคิลยางด้วยการรีเคลมและการดีวัลคาไนซ์.....  | 9    |
| 2.5 สันฐานวิทยาของเทอร์โมพลาสติกอีลาสโตเมอร์ที่เตรียมด้วย (a) วิธีเบลนด์แบบปกติ (b) ไดนามิกวัลคาไนซ์ และ (c) การเตรียมโคพอลิเมอร์..... | 14   |
| 2.6 ความสัมพันธ์ระหว่างอัตราส่วนความหนืดที่ใช้ในการเบลนด์กับสัดส่วนในการผสมของพอลิเมอร์ 2 องค์ประกอบ.....                              | 16   |
| 2.7 อิทธิพลของค่าความสามารถในการละลายต่อขนาดอนุภาคของพอลิเมอร์เบลนด์.....  | 17   |
| 2.8 การเปลี่ยนแปลงลักษณะทางสันฐานวิทยาของเทอร์โมพลาสติกอีลาสโตเมอร์จากการวัลคาไนซ์แบบไดนามิกส์.....                                    | 18   |
| 2.9 แผนภาพแสดงการประสานของโคพอลิเมอร์แบบกราฟต์และบล็อกในการเพิ่มความเข้ากันได้.....  | 21   |
| 3.1 สูตรโครงสร้างของยางธรรมชาติ.....   | 29   |
| 3.2 สูตรโครงสร้างของโพรพิลีนเอทิลีนโคพอลิเมอร์.....  | 30   |
| 3.3 โครงสร้างโมเลกุลของวีนิลสไตรีน แอล.....  | 32   |
| 3.4 โครงสร้างโมเลกุลของเอ็น เทอเทียรี บิวทิล-2-เบนโซโทอาซิล ซัลฟิโนไมด์.....   | 32   |
| 3.5 โครงสร้างโมเลกุลของกำมะถัน.....  | 32   |
| 3.6 โครงสร้างโมเลกุลของไฮดรอกซีเมทิลอลฟินอลิกเรซิน.....  | 33   |
| 3.7 โครงสร้างโมเลกุลมาลิกแอนไฮไดรด์.....   | 33   |
| 3.8 โครงสร้างโมเลกุลไกลซิดิลเมทาคริเลต.....  | 34   |
| 3.9 โครงสร้างโมเลกุลเบนโซอิลเปอร์ออกไซด์.....  | 34   |
| 3.10 ลำดับขั้นตอนการเตรียมคอมพาวนด์โดยใช้เครื่องผสมแบบปิด.....   | 42   |
| 3.11 ลำดับขั้นตอนการผสมวิธี Reactive blending method และ Melt mixing method.....   | 45   |

รายการรูป (ต่อ)

| รูปที่  | หน้า |
|---|------|
| 3.12 ลำดับขั้นตอนการผสมวิธี Melt mixing method เมื่อใช้สารเพิ่มความเข้ากันได้ PEC-g-Ph.....   | 50   |
| 4.1 เทอร์โมแกรมแสดงความสัมพันธ์ระหว่างน้ำหนักที่หายไป และอัตราการหายไปของ น้ำหนัก กับอุณหภูมิของยางรีเคลม เมื่อทดสอบที่อุณหภูมิห้องถึง 750°C ภายใต้สภาวะ (A) บรรยากาศไนโตรเจน (B) บรรยากาศออกซิเจน..... | 58   |
| 4.2 สเปกตรัม FTIR ของยางรีเคลมชนิดแผ่น.....   | 59   |
| 4.3 ลักษณะสัณฐานวิทยาของยางรีเคลมแบบก้อนที่กำลังขยาย 200, 500 และ 1,000 เท่า..  | 61   |
| 4.4 พฤติกรรมการวัลคาไนซ์ของยางเบลนด์ระหว่าง NR/RR เมื่อแปรชนิดสารตัดแปรที่ อุณหภูมิ 150°C.....  | 62   |
| 4.5 พฤติกรรมการวัลคาไนซ์ของยางเบลนด์ระหว่าง NR/RR เมื่อแปรชนิดสารตัดแปรชนิด โกลซีติลเมทาคริเลต ที่อุณหภูมิ 150°C.....   | 62   |
| 4.6 ปฏิกริยาที่เป็นไปได้ระหว่างฟีนอลิกเรซินเรซินกับสายโซ่โมเลกุลของยางไม่อิ่มตัวในยาง รีเคลม (a) และยางธรรมชาติ (b).....  | 65   |
| 4.7 ปฏิกริยาที่เป็นไปได้ระหว่างมาลิกแอนไฮไดรต์กับสายโซ่โมเลกุลของยางไม่อิ่มตัวใน ยางรีเคลม (a) และยางธรรมชาติ (b).....  | 66   |
| 4.8 ปฏิกริยาที่เป็นไปได้ระหว่างไกลซีติลเมทาคริเลตกับสายโซ่โมเลกุลของยางไม่อิ่มตัวใน ยางรีเคลม (a) และยางธรรมชาติ (b).....   | 67   |
| 4.9 ความสัมพันธ์ระหว่างความเค้นกับความเครียดของยางวัลคาไนซ์จากการเบลนด์ยาง ธรรมชาติกับยางรีเคลมเมื่อแปรชนิดของสารตัดแปร.....  | 68   |
| 4.10 ความสัมพันธ์ระหว่างความเค้นกับความเครียดของยางวัลคาไนซ์ภายหลังบ่มแรงจาก การเบลนด์ยางธรรมชาติกับยางรีเคลมเมื่อแปรชนิดของสารตัดแปร.....  | 70   |
| 4.11 เปอร์เซ็นต์การเปลี่ยนแปลงของสมบัติความต้านต่อแรงดึง และความสามารถในการยืด จนขาดภายหลังบ่มแรงของยางวัลคาไนซ์จากการเบลนด์ยางธรรมชาติกับยางรีเคลมเมื่อแปร ชนิดสารตัดแปร.....                          | 72   |
| 4.12 ความสัมพันธ์ระหว่างความเค้นเฉือนปรากฏกับอัตราเฉือนปรากฏของยางเบลนด์ ระหว่างยางธรรมชาติกับยางรีเคลมเมื่อแปรชนิดของสารตัดแปร.....  | 73   |
| 4.13 ความสัมพันธ์ระหว่างความหนืดเฉือนปรากฏกับอัตราเฉือนปรากฏของยางเบลนด์ ระหว่างยางธรรมชาติกับยางรีเคลมเมื่อแปรชนิดของสารตัดแปร.....  | 74   |

**รายการรูป (ต่อ)**

| รูปที่   | หน้า |
|--|------|
| 4.14 $\tan \delta$ ที่ความถี่ 10 Hz ของยางเบลนด์ระหว่างยางธรรมชาติกับยางรีเคลมเมื่อแปรชนิดของสารดัดแปร.....  | 74   |
| 4.15 ความสัมพันธ์ระหว่างค่าทอร์กกับเวลาการผสมของเทอร์โมพลาสติกวัลคาไนซ์จากการเบลนด์ NR/RR/PEC เมื่อแปรวิธีการผสมสารดัดแปร.....   | 75   |
| 4.16 ความสัมพันธ์ระหว่างความเค้นกับความเครียดของเทอร์โมพลาสติกวัลคาไนซ์จากการเบลนด์ NR/RR/PEC เมื่อแปรวิธีการผสมสารดัดแปร.....   | 77   |
| 4.17 ความต้านทานต่อแรงดึงของเทอร์โมพลาสติกวัลคาไนซ์จากการเบลนด์ NR/RR/PEC เมื่อแปรวิธีการผสมสารดัดแปร.....   | 78   |
| 4.18 ความสามารถในการยืดจนขาดของเทอร์โมพลาสติกวัลคาไนซ์จากการเบลนด์ NR/RR/PEC เมื่อแปรวิธีการผสมสารดัดแปร.....  | 79   |
| 4.19 โอกาสเกิดปฏิกิริยาระหว่างยางรีเคลม ยางธรรมชาติ และโพรพิลีนเอทิลีนโคพอลิเมอร์กับฟีนอลิกเรซินเมื่อใช้วิธีการผสมแบบ Melt mixing method.....                                    | 80   |
| 4.20 ปฏิกิริยาที่เป็นไปได้ระหว่างยางรีเคลม และยางธรรมชาติ กับฟีนอลิกเรซิน.....   | 81   |
| 4.21 ปฏิกิริยาที่เป็นไปได้ระหว่างเฟสยาง กับโพรพิลีนเอทิลีนโคพอลิเมอร์ เมื่อใช้สารดัดแปรฟีนอลิกเรซิน.....   | 82   |
| 4.22 การผิดรูปถาวรแบบดึงของเทอร์โมพลาสติกวัลคาไนซ์จากการเบลนด์ NR/RR/PEC เมื่อแปรวิธีการผสมสารดัดแปร.....  | 83   |
| 4.23 ความแข็งของเทอร์โมพลาสติกวัลคาไนซ์จากการเบลนด์ NR/RR/PEC เมื่อแปรวิธีการผสมสารดัดแปร.....   | 83   |
| 4.24 ความสัมพันธ์ระหว่างความเค้นกับความเครียดภายหลังบ่มแรงของเทอร์โมพลาสติกวัลคาไนซ์จากการเบลนด์ NR/RR/PEC เมื่อแปรวิธีการผสมสารดัดแปร.....                                      | 84   |
| 4.25 ความต้านทานต่อแรงดึงก่อนและหลังบ่มแรงของเทอร์โมพลาสติกวัลคาไนซ์จากการเบลนด์ NR/RR/PEC เมื่อแปรวิธีการผสมสารดัดแปร.....  | 86   |
| 4.26 ความสามารถในการยืดจนขาดก่อนและหลังบ่มแรงของเทอร์โมพลาสติกวัลคาไนซ์จากการเบลนด์ NR/RR/PEC เมื่อแปรวิธีการผสมสารดัดแปร.....   | 86   |
| 4.27 เปอร์เซ็นต์การเปลี่ยนแปลงของสมบัติความต้านต่อแรงดึงและความสามารถในการยืดจนขาดภายหลังบ่มแรงของเทอร์โมพลาสติกวัลคาไนซ์จากการเบลนด์ NR/RR/PEC เมื่อแปรวิธีการผสมสารดัดแปร..... | 87   |

รายการรูป (ต่อ)

| รูปที่  | หน้า |
|---|------|
| 4.28 ความสัมพันธ์ระหว่างความเค้นเฉือนปรากฏกับอัตราเฉือนปรากฏของเทอร์โมพลาสติกวัลคาไนซ์จากการเบลนด์ NR/RR/PEC เมื่อแปรวิธีการผสมสารตัดแปร.....         | 88   |
| 4.29 ความสัมพันธ์ระหว่างความหนืดเฉือนปรากฏกับอัตราเฉือนปรากฏของเทอร์โมพลาสติกวัลคาไนซ์จากการเบลนด์ NR/RR/PEC เมื่อแปรวิธีการผสมสารตัดแปร.....         | 88   |
| 4.30 ความเค้นเฉือนปรากฏและความหนืดเฉือนปรากฏที่อัตราเฉือน 100 (1/s) ของเทอร์โมพลาสติกวัลคาไนซ์จากการเบลนด์ NR/RR/PEC เมื่อแปรวิธีการผสมสารตัดแปร..... | 89   |
| 4.31 ความสัมพันธ์ระหว่างมอดุลัสสะสมกับความถี่ของเทอร์โมพลาสติกวัลคาไนซ์จากการเบลนด์ NR/RR/PEC เมื่อแปรวิธีการผสมสารตัดแปร.....                        | 90   |
| 4.32 ความสัมพันธ์ระหว่างความหนืดเชิงซ้อนกับความถี่ของเทอร์โมพลาสติกวัลคาไนซ์จากการเบลนด์ NR/RR/PEC เมื่อแปรวิธีการผสมสารตัดแปร.....                   | 91   |
| 4.33 ความสัมพันธ์ระหว่าง $\tan \delta$ กับความถี่ของเทอร์โมพลาสติกวัลคาไนซ์จากการเบลนด์ NR/RR/PEC เมื่อแปรวิธีการผสมสารตัดแปร.....                    | 92   |
| 4.34 ลักษณะสัญญาณวิทยาของเทอร์โมพลาสติกวัลคาไนซ์จากการเบลนด์ NR/RR/PEC เมื่อแปรวิธีการผสมสารตัดแปร.....   | 94   |
| 4.35 ความสัมพันธ์ระหว่างค่าทอร์กกับเวลาการผสมของเทอร์โมพลาสติกวัลคาไนซ์จากการเบลนด์ NR/RR/PEC เมื่อแปรปริมาณฟีนอลิกเรซิน.....                         | 94   |
| 4.36 ความสัมพันธ์ระหว่างความเค้นกับความเครียดของเทอร์โมพลาสติกวัลคาไนซ์จากการเบลนด์ NR/RR/PEC เมื่อแปรปริมาณฟีนอลิกเรซิน.....                         | 96   |
| 4.37 ความต้านทานต่อแรงดึงและความสามารถในการยืดจนขาดของเทอร์โมพลาสติกวัลคาไนซ์จากการเบลนด์ NR/RR/PEC เมื่อแปรปริมาณฟีนอลิกเรซิน.....                   | 97   |
| 4.38 การผิดรูปถาวรแบบดึงของเทอร์โมพลาสติกวัลคาไนซ์จากการเบลนด์ NR/RR/PEC เมื่อแปรปริมาณฟีนอลิกเรซิน.....  | 97   |
| 4.39 ความแข็งของเทอร์โมพลาสติกวัลคาไนซ์จากการเบลนด์ NR/RR/PEC เมื่อแปรปริมาณฟีนอลิกเรซิน.....   | 98   |
| 4.40 ความสัมพันธ์ระหว่างความเค้นกับความเครียดภายหลังบ่มแรงของเทอร์โมพลาสติกวัลคาไนซ์จากการเบลนด์ NR/RR/PEC เมื่อแปรปริมาณสารตัดแปร.....               | 99   |
| 4.41 ความต้านทานต่อแรงดึงก่อนและหลังบ่มแรงของเทอร์โมพลาสติกวัลคาไนซ์จากการเบลนด์ NR/RR/PEC เมื่อแปรปริมาณฟีนอลิกเรซิน.....                            | 101  |

**รายการรูป (ต่อ)**

| <b>รูปที่</b>   | <b>หน้า</b> |
|---|-------------|
| 4.42 ความสามารถในการยืดจนขาดก่อนและหลังบ่มแรงของเทอร์โมพลาสติกวัลคาไนซ์จากการเบลนด์ NR/RR/PEC เมื่อแปรปริมาณฟีนอลิกเรซิน.....   | 101         |
| 4.43 เปอร์เซ็นต์การเปลี่ยนแปลงของสมบัติความต้านต่อแรงดึงและความสามารถในการยืดจนขาดภายหลังบ่มแรงของเทอร์โมพลาสติกวัลคาไนซ์จากการเบลนด์ NR/RR/PEC เมื่อแปรปริมาณฟีนอลิกเรซิน..... | 102         |
| 4.44 ความสัมพันธ์ระหว่างความเค้นเฉือนปรากฏกับอัตราเฉือนปรากฏของเทอร์โมพลาสติกวัลคาไนซ์จากการเบลนด์ NR/RR/PEC เมื่อแปรปริมาณฟีนอลิกเรซิน.....                                    | 103         |
| 4.45 ความสัมพันธ์ระหว่างความหนืดเฉือนปรากฏกับอัตราเฉือนปรากฏของเทอร์โมพลาสติกวัลคาไนซ์จากการเบลนด์ NR/RR/PEC เมื่อแปรปริมาณฟีนอลิกเรซิน.....                                    | 103         |
| 4.46 ความเค้นเฉือนปรากฏและความหนืดเฉือนปรากฏที่อัตราเฉือน 100 (1/s) ของเทอร์โมพลาสติกวัลคาไนซ์จากการเบลนด์ NR/RR/PEC เมื่อแปรปริมาณฟีนอลิกเรซิน.....                            | 104         |
| 4.47 ความสัมพันธ์ระหว่างมอดุลัสสะสมกับความถี่ของเทอร์โมพลาสติกวัลคาไนซ์จากการเบลนด์ NR/RR/PEC เมื่อแปรปริมาณฟีนอลิกเรซิน.....   | 105         |
| 4.48 มอดุลัสสะสมที่ความถี่ 2 Hz ของเทอร์โมพลาสติกวัลคาไนซ์จากการเบลนด์ NR/RR/PEC เมื่อแปรปริมาณฟีนอลิกเรซิน.....  | 105         |
| 4.49 ความสัมพันธ์ระหว่างความหนืดเชิงซ้อนกับความถี่ของเทอร์โมพลาสติกวัลคาไนซ์จากการเบลนด์ NR/RR/PEC เมื่อแปรปริมาณฟีนอลิกเรซิน.....  | 106         |
| 4.50 ความสัมพันธ์ระหว่าง $\tan \delta$ กับความถี่ของเทอร์โมพลาสติกวัลคาไนซ์จากการเบลนด์ NR/RR/PEC เมื่อแปรปริมาณฟีนอลิกเรซิน.....   | 106         |
| 4.51 $\tan \delta$ และ ค่าความหนืดเชิงซ้อน ที่ความถี่ 2 Hz ของเทอร์โมพลาสติกวัลคาไนซ์จากการเบลนด์ NR/RR/PEC เมื่อแปรปริมาณฟีนอลิกเรซิน.....                                     | 107         |
| 4.52 ลักษณะสัญญาณวิทยาของเทอร์โมพลาสติกวัลคาไนซ์จากการเบลนด์ NR/RR/PEC เมื่อแปรปริมาณฟีนอลิกเรซิน.....  | 109         |
| 4.53 ความสัมพันธ์ระหว่างค่าทอร์กกับเวลาการผสมของเทอร์โมพลาสติกวัลคาไนซ์เมื่อแปรอัตราส่วนระหว่าง NR/RR/PEC.....  | 110         |
| 4.54 ความสัมพันธ์ระหว่างความเค้นกับความเครียดของเทอร์โมพลาสติกวัลคาไนซ์จากการเบลนด์ NR/RR/PEC เมื่อแปรอัตราส่วนการเบลนด์.....   | 112         |

รายการรูป (ต่อ)

| รูปที่   | หน้า |
|--|------|
| 4.55 ความต้านทานต่อแรงดึงและความสามารถในการยืดจนขาดของเทอร์โมพลาสติก<br>วัลคาไนซ์จากการเบลนด์ NR/RR/PEC เมื่อแปรอัตราส่วนการเบลนด์.....  | 113  |
| 4.56 การผิดรูปถาวรแบบดึงของเทอร์โมพลาสติกวัลคาไนซ์จากการเบลนด์ NR/RR/PEC<br>เมื่อแปรอัตราส่วนการเบลนด์.....  | 114  |
| 4.57 ความแข็งของเทอร์โมพลาสติกวัลคาไนซ์จากการเบลนด์ NR/RR/PEC เมื่อแปรอัตรา<br>ส่วนการเบลนด์.....  | 115  |
| 4.58 ความสัมพันธ์ระหว่างความเค้นกับความเครียดภายหลังบ่มแรงของเทอร์โมพลาสติก<br>วัลคาไนซ์จากการเบลนด์ NR/RR/PEC เมื่อแปรอัตราส่วนการเบลนด์.....                                       | 116  |
| 4.59 ความต้านทานต่อแรงดึงก่อนและหลังบ่มแรงของเทอร์โมพลาสติกวัลคาไนซ์จากการ<br>เบลนด์ NR/RR/PEC เมื่อแปรอัตราส่วนการเบลนด์.....   | 118  |
| 4.60 ความสามารถในการยืดจนขาดก่อนและหลังบ่มแรงของเทอร์โมพลาสติกวัลคาไนซ์จาก<br>การเบลนด์ NR/RR/PEC เมื่อแปรอัตราส่วนการเบลนด์.....  | 118  |
| 4.61 เปรอ์เซ็นต์การเปลี่ยนแปลงของสมบัติความต้านต่อแรงดึงและความสามารถในการยืด<br>จนขาดหลังบ่มแรงของเทอร์โมพลาสติกวัลคาไนซ์จากการเบลนด์ NR/RR/PEC เมื่อแปร<br>อัตราส่วนการเบลนด์..... | 119  |
| 4.62 ความสัมพันธ์ระหว่างความเค้นเฉือนปรากฏกับอัตราเฉือนปรากฏของเทอร์โม<br>พลาสติกวัลคาไนซ์จากการเบลนด์ NR/RR/PEC เมื่อแปรอัตราส่วนการเบลนด์.....                                     | 120  |
| 4.63 ความสัมพันธ์ระหว่างความหนืดเฉือนปรากฏกับอัตราเฉือนปรากฏของเทอร์โม<br>พลาสติกวัลคาไนซ์จากการเบลนด์ NR/RR/PEC เมื่อแปรอัตราส่วนการเบลนด์.....                                     | 121  |
| 4.64 ความสัมพันธ์ระหว่างมอดุลัสสะสมกับความถี่ของเทอร์โมพลาสติกวัลคาไนซ์จากการ<br>เบลนด์ NR/RR/PEC เมื่อแปรอัตราส่วนการเบลนด์.....  | 122  |
| 4.65 ความสัมพันธ์ระหว่างความหนืดเชิงซ้อนกับความถี่ของเทอร์โมพลาสติกวัลคาไนซ์จาก<br>การเบลนด์ NR/RR/PEC เมื่อแปรอัตราส่วนการเบลนด์.....   | 123  |
| 4.66 ความเค้นเฉือนปรากฏที่อัตราเฉือน 100 (1/s) และความหนืดเชิงซ้อนที่ความถี่ 2 Hz<br>ของเทอร์โมพลาสติกวัลคาไนซ์จากการเบลนด์ NR/RR/PEC เมื่อแปรอัตราส่วนการเบลนด์....                 | 124  |
| 4.67 ความสัมพันธ์ระหว่างมอดุลัสสูญเสียกับความถี่ของเทอร์โมพลาสติกวัลคาไนซ์จาก<br>การเบลนด์ NR/RR/PEC เมื่อแปรอัตราส่วนการเบลนด์.....   | 124  |

รายการรูป (ต่อ)

| รูปที่   | หน้า |
|--|------|
| 4.68 ความสัมพันธ์ระหว่าง $\tan \delta$ กับความถี่ของเทอร์โมพลาสติกวัลคาไนซ์จากการเบลนด์ NR/RR/PEC เมื่อแปรอัตราส่วนการเบลนด์.....  | 125  |
| 4.69 ลักษณะสัณฐานวิทยาของเทอร์โมพลาสติกวัลคาไนซ์จากการเบลนด์ NR/RR/PEC เมื่อแปรอัตราส่วนการเบลนด์.....   | 127  |
| 4.70 สเปกตรัม FTIR ของกราฟต์โคพอลิเมอร์ของโพรพิลีนเอทิลีนโคพอลิเมอร์กับฟีนอลิกเรซินเปรียบเทียบกับสเปกตรัมของโพรพิลีนเอทิลีนโคพอลิเมอร์.....  | 128  |
| 4.71 ปฏิกริยาที่เป็นไปได้ระหว่างฟีนอลิกเรซินกับโพรพิลีนเอทิลีนโคพอลิเมอร์.....   | 129  |
| 4.72 ความสัมพันธ์ระหว่างค่าทอร์กกับเวลาการผสมของเทอร์โมพลาสติกวัลคาไนซ์เมื่อใช้สารเพิ่มความเข้ากันได้ชนิด PEC-g-Ph ร่วมกับการใช้สารดัดแปรฟีนอลิกเรซิน.....                                     | 130  |
| 4.73 ความสัมพันธ์ระหว่างความเค้นกับความเครียดของเทอร์โมพลาสติกวัลคาไนซ์จากการเบลนด์ NR/RR/PEC เมื่อใช้สารเพิ่มความเข้ากันได้ชนิด PEC-g-Ph ร่วมกับการใช้สารดัดแปรฟีนอลิกเรซิน.....              | 132  |
| 4.74 ความต้านทานต่อแรงดึงและความสามารถในการยืดจนขาดของเทอร์โมพลาสติกวัลคาไนซ์จากการเบลนด์ NR/RR/PEC เมื่อใช้สารเพิ่มความเข้ากันได้ชนิด PEC-g-Ph ร่วมกับการใช้สารดัดแปรฟีนอลิกเรซิน.....        | 133  |
| 4.75 ความต้านทานต่อแรงดึงและความสามารถในการยืดจนขาดของเทอร์โมพลาสติกวัลคาไนซ์จากการเบลนด์ NR/RR/PEC เมื่อใช้สารเพิ่มความเข้ากันได้ชนิด PEC-g-Ph ร่วมกับการใช้สารดัดแปรฟีนอลิกเรซิน.....        | 133  |
| 4.76 การเกิดปฏิกริยาที่เป็นไปได้เมื่อใช้สารดัดแปรฟีนอลิกเรซินร่วมสารเพิ่มความเข้ากันได้ PEC-g-Ph.....  | 135  |
| 4.77 การผิดรูปถาวรแบบดึงของเทอร์โมพลาสติกวัลคาไนซ์จากการเบลนด์ NR/RR/PEC เมื่อใช้สารเพิ่มความเข้ากันได้ชนิด PEC-g-Ph ร่วมกับการใช้สารดัดแปรฟีนอลิกเรซิน.....                                   | 136  |
| 4.78 ความแข็งของเทอร์โมพลาสติกวัลคาไนซ์จากการเบลนด์ NR/RR/PEC เมื่อใช้สารเพิ่มความเข้ากันได้ชนิด PEC-g-Ph ร่วมกับการใช้สารดัดแปรฟีนอลิกเรซิน.....  | 136  |
| 4.79 ความสัมพันธ์ระหว่างความเค้นกับความเครียดภายหลังบ่มแรงของเทอร์โมพลาสติกวัลคาไนซ์จากการเบลนด์ NR/RR/PEC เมื่อใช้สารเพิ่มความเข้ากันได้ชนิด PEC-g-Ph ร่วมกับการใช้สารดัดแปรฟีนอลิกเรซิน..... | 137  |

รายการรูป (ต่อ)

| รูปที่  | หน้า |
|---|------|
| 4.80 ความต้านทานต่อแรงดึงก่อนและหลังบ่มแรงของเทอร์โมพลาสติกวัลคาไนซ์จากการเบลนด์ NR/RR/PEC เมื่อใช้สารเพิ่มความเข้ากันได้ชนิด PEC-g-Ph ร่วมกับการใช้สารดัดแปรฟีนอลิกเรซิน.....  | 139  |
| 4.81 ความสามารถในการยืดจนขาดก่อนและหลังบ่มแรงของเทอร์โมพลาสติกวัลคาไนซ์จากการเบลนด์ NR/RR/PEC เมื่อใช้สารเพิ่มความเข้ากันได้ชนิด PEC-g-Ph ร่วมกับการใช้สารดัดแปรฟีนอลิกเรซิน.....   | 140  |
| 4.82 เปอร์เซ็นต์การเปลี่ยนแปลงของสมบัติความต้านต่อแรงดึงและความสามารถในการยืดจนขาดภายหลังบ่มแรงของเทอร์โมพลาสติกวัลคาไนซ์จากการเบลนด์ NR/RR/PEC เมื่อใช้สารเพิ่มความเข้ากันได้ชนิด PEC-g-Ph ร่วมกับการใช้สารดัดแปรฟีนอลิกเรซิน..... | 141  |
| 4.83 ความสัมพันธ์ระหว่างความเค้นเฉือนปรากฏกับอัตราเฉือนปรากฏของเทอร์โมพลาสติกวัลคาไนซ์จากการเบลนด์ NR/RR/PEC เมื่อใช้สารเพิ่มความเข้ากันได้ชนิด PEC-g-Ph ร่วมกับการใช้สารดัดแปรฟีนอลิกเรซิน.....                                    | 142  |
| 4.84 ความสัมพันธ์ระหว่างความหนืดเฉือนปรากฏกับอัตราเฉือนปรากฏของเทอร์โมพลาสติกวัลคาไนซ์จากการเบลนด์ NR/RR/PEC เมื่อใช้สารเพิ่มความเข้ากันได้ชนิด PEC-g-Ph ร่วมกับการใช้สารดัดแปรฟีนอลิกเรซิน.....                                    | 142  |
| 4.85 ความสัมพันธ์ระหว่างมอดุลัสสะสมกับความถี่ของเทอร์โมพลาสติกวัลคาไนซ์จากการเบลนด์ NR/RR/PEC เมื่อใช้สารเพิ่มความเข้ากันได้ชนิด PEC-g-Ph ร่วมกับการใช้สารดัดแปรฟีนอลิกเรซิน.....   | 144  |
| 4.86 ความสัมพันธ์ระหว่างความหนืดเชิงซ้อนกับความถี่ของเทอร์โมพลาสติกวัลคาไนซ์จากการเบลนด์ NR/RR/PEC เมื่อใช้สารเพิ่มความเข้ากันได้ชนิด PEC-g-Ph ร่วมกับการใช้สารดัดแปรฟีนอลิกเรซิน.....  | 144  |
| 4.87 ความสัมพันธ์ระหว่าง $\tan \delta$ กับความถี่ของเทอร์โมพลาสติกวัลคาไนซ์จากการเบลนด์ NR/RR/PEC เมื่อใช้สารเพิ่มความเข้ากันได้ชนิด PEC-g-Ph ร่วมกับการใช้สารดัดแปรฟีนอลิกเรซิน.....   | 145  |
| 4.88 ลักษณะสัณฐานวิทยาของเทอร์โมพลาสติกวัลคาไนซ์จากการเบลนด์ NR/RR/PEC เมื่อใช้สารเพิ่มความเข้ากันได้ชนิด PEC-g-Ph ร่วมกับการใช้สารดัดแปรฟีนอลิกเรซิน.....  | 146  |
| 4.89 สเปกตรัม FTIR ของยางธรรมชาติโอพอกไซด์ที่มีปริมาณหมู่โอพอกไซด์ในระดับต่างๆ เปรียบเทียบกับสเปกตรัมของยางธรรมชาติ.....  | 147  |

**รายการรูป (ต่อ)**

| รูปที่   | หน้า |
|--|------|
| 4.90 ความสัมพันธ์ระหว่างปริมาณหม้อไอพอกไซต์กับระยะเวลาการทำปฏิกิริยา.....  | 149  |
| 4.91 ความสัมพันธ์ระหว่างความหนืดมุนีของยางธรรมชาติเปรียบเทียบกับยางธรรมชาติ<br>ไอพอกไซต์ที่มีปริมาณหม้อไอพอกไซต์ที่ระดับต่างๆ.....   | 150  |
| 4.92 ความสัมพันธ์ระหว่างค่าทอร์กกับเวลาการผสมของเทอร์โมพลาสติกวัลคาไนซ์เมื่อแปร<br>ชนิดยางธรรมชาติ.....  | 151  |
| 4.93 ความสัมพันธ์ระหว่างความเค้นกับความเครียดของเทอร์โมพลาสติกวัลคาไนซ์จากการ<br>เบลนด์ NR/RR/PEC เมื่อแปรชนิดยางธรรมชาติ.....   | 153  |
| 4.94 ความต้านทานต่อแรงดึงและความสามารถในการยืดจนขาดของเทอร์โมพลาสติก<br>วัลคาไนซ์จากการเบลนด์ NR/RR/PEC เมื่อแปรชนิดยางธรรมชาติ.....   | 154  |
| 4.95 การผิดรูปถาวรแบบดึงของเทอร์โมพลาสติกวัลคาไนซ์จากการเบลนด์ NR/RR/PEC<br>เมื่อแปรชนิดยางธรรมชาติ.....   | 155  |
| 4.96 ความแข็งของเทอร์โมพลาสติกวัลคาไนซ์จากการเบลนด์ NR/RR/PEC เมื่อแปรชนิด<br>ยางธรรมชาติ.....   | 156  |
| 4.97 ความสัมพันธ์ระหว่างความเค้นกับความเครียดภายหลังบ่มแรงของเทอร์โมพลาสติก<br>วัลคาไนซ์จากการเบลนด์ NR/RR/PEC เมื่อแปรชนิดยางธรรมชาติ.....  | 157  |
| 4.98 ความต้านทานต่อแรงดึงก่อนและหลังบ่มแรงของเทอร์โมพลาสติกวัลคาไนซ์จากการ<br>เบลนด์ NR/RR/PECเมื่อแปรชนิดยางธรรมชาติ.....   | 159  |
| 4.99 ความสามารถในการยืดจนขาดก่อนและหลังบ่มแรงของเทอร์โมพลาสติกวัลคาไนซ์จาก<br>การเบลนด์ NR/RR/PEC เมื่อแปรชนิดยางธรรมชาติ.....   | 159  |
| 4.100 เปอร์เซ็นต์การเปลี่ยนแปลงของสมบัติความต้านต่อแรงดึงและความสามารถในการ<br>ยืดจนขาดหลังบ่มแรงของเทอร์โมพลาสติกวัลคาไนซ์จากการเบลนด์ NR/RR/PEC เมื่อแปร<br>ชนิดยางธรรมชาติ..... | 160  |
| 4.101 ความสัมพันธ์ระหว่างความเค้นเฉือนปรากฏกับอัตราเฉือนปรากฏของเทอร์โม<br>พลาสติกวัลคาไนซ์จากการเบลนด์ NR/RR/PEC เมื่อแปรชนิดยางธรรมชาติ.....                                     | 161  |
| 4.102 ความสัมพันธ์ระหว่างความหนืดเฉือนปรากฏกับอัตราเฉือนปรากฏของเทอร์โม<br>พลาสติกวัลคาไนซ์จากการเบลนด์ NR/RR/PEC เมื่อแปรชนิดยางธรรมชาติ.....                                     | 162  |
| 4.103 ความสัมพันธ์ระหว่างมอดุลัสสะสมกับความถี่ของเทอร์โมพลาสติกวัลคาไนซ์จาก<br>การเบลนด์ NR/RR/PEC เมื่อแปรชนิดยางธรรมชาติ.....  | 163  |

รายการรูป (ต่อ)

| รูปที่   | หน้า |
|--|------|
| 4.104 ความสัมพันธ์ระหว่างความหนืดเชิงซ้อนกับความถี่ของเทอร์โมพลาสติกวัลคาไนซ์จากการเบลนด์ NR/RR/PEC เมื่อแปรชนิดยางธรรมชาติ.....                                 | 163  |
| 4.105 ความเค้นเฉือนปรากฏที่อัตราเฉือน 100 (1/s) และความหนืดเชิงซ้อนที่ความถี่ 2 Hz ของเทอร์โมพลาสติกวัลคาไนซ์จากการเบลนด์ NR/RR/PEC เมื่อแปรชนิดยางธรรมชาติ..... | 165  |
| 4.106 ความสัมพันธ์ระหว่าง $\tan \delta$ กับความถี่ของเทอร์โมพลาสติกวัลคาไนซ์จากการเบลนด์ NR/RR/PEC เมื่อแปรชนิดยางธรรมชาติ.....                                  | 165  |
| 4.107 $\tan \delta$ ที่ความถี่ 2 Hz ของเทอร์โมพลาสติกวัลคาไนซ์จากการเบลนด์ NR/RR/PEC เมื่อแปรชนิดยางธรรมชาติ.....  | 166  |
| 4.108 ลักษณะสัณฐานวิทยาของเทอร์โมพลาสติกวัลคาไนซ์จากการเบลนด์ NR/RR/PEC เมื่อแปรชนิดยางธรรมชาติ.....   | 167  |

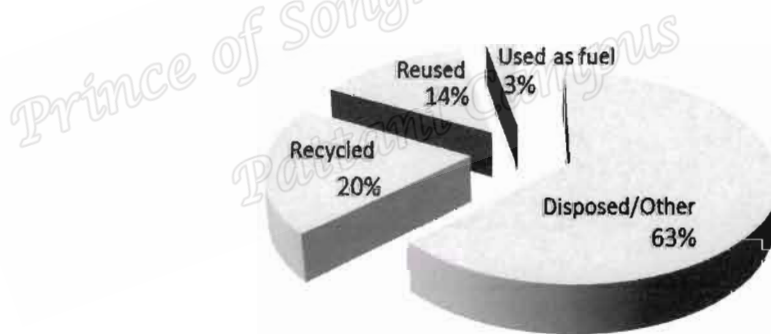
Prince of Songkla University  
Pattani Campus

## บทที่ 1

### บทนำ

#### 1.1 ความสำคัญและที่มาของปัญหา

จากปัญหาด้านสิ่งแวดล้อมทำให้ในปัจจุบันมีความพยายามนำของเสียจากอุตสาหกรรมต่างๆ กลับมาใช้ประโยชน์ใหม่ โดยทั่วโลกมีของเสียจำพวกยางวัลคาไนซ์จากอุตสาหกรรมยางล้อเป็นปริมาณมากถึง 20 ล้านตัน/ปี ในขณะที่ในประเทศไทยมีของเสียจากยางล้อประมาณ 400,000 - 600,000 ตัน (Duangburong *et al.*, 2015) อย่างไรก็ตามในประเทศไทยมีการใช้ประโยชน์จากของเสียดังกล่าว โดยการนำกลับมาใช้ใหม่ (Reuse) การรีไซเคิล (Recycle) หรือการใช้เป็นเชื้อเพลิง (Used as fuel) เพียงประมาณไม่เกินครึ่งหนึ่งของปริมาณของเสียทั้งหมด ส่วนที่เหลือจะถูกกำจัดโดยวิธีการฝังกลบและอื่นๆ ดังข้อมูลสรุปการจัดการของเสียจากยางล้อในประเทศไทย (Duangburong *et al.*, 2015) ดังแสดงในรูปที่ 1.1



รูปที่ 1.1 การจัดการของเสียจากยางล้อในประเทศไทย ปี พ.ศ. 2554 (Duangburong *et al.*, 2015)

กระบวนการรีเคลม (Reclamation) เป็นกระบวนการที่พัฒนาขึ้นมาเพื่อนำยางวัลคาไนซ์ที่มีการเชื่อมขวางระหว่างโซโมเลกุลกลับมาแปรรูปใหม่หรือรีไซเคิล โดยผ่านวิธีการต่างๆ ได้แก่ วิธีการย่อยทางกลร่วมกับความร้อน (Thermomechanical pulping process) วิธีการย่อยทางกลร่วมกับปฏิกิริยาเคมี (Chemomechanical pulping process) หรือวิธีการย่อยทางกลร่วมกับความร้อนและปฏิกิริยาเคมี (Thermo-chemomechanical pulping process) โดยกระบวนการดังกล่าวจะทำให้พันธะเชื่อมขวางตัดขาดออกบางส่วน ได้เป็นยางรีเคลม (Reclaimed rubber) ที่มีลักษณะแบบ

กึ่งของแข็งและของเหลว (Paste-like) (คลังศัพท์ไทย, สำนักงานพัฒนาวิทยาศาสตร์และเทคโนโลยีแห่งชาติ) ที่มีการเชื่อมขวางระหว่างสายโซ่โพลิเมอร์บางส่วน และอาจจะมีส่วนของสารตัวเติมและสารวัลคาไนซ์อยู่ภายในร่วมด้วย ในการใช้งานยางรีเคลมโดยทั่วไปจะเป็นการนำยางรีเคลมมาเบลนด์ร่วมกับยางหรือเทอร์โมพลาสติกเพื่อลดต้นทุนการผลิต สมบัติของพอลิเมอร์เบลนด์ที่มียางรีเคลมเป็นองค์ประกอบจะขึ้นอยู่กับปัจจัยต่างๆ เช่น องค์ประกอบของยางรีเคลม ความเข้ากันได้ของยางรีเคลมกับวัสดุใหม่ ปริมาณของยางรีเคลม และระบบวัลคาไนซ์ เป็นต้น โดยในปัจจัยที่กล่าวมาข้างต้นความเข้ากันได้ของยางรีเคลมกับวัสดุใหม่เป็นปัจจัยหนึ่งที่มีความสำคัญเป็นอย่างมาก เนื่องจากหากพอลิเมอร์เบลนด์มีความไม่เข้ากันจะส่งผลให้แรงยึดเหนี่ยวระหว่างผิวประจัญ (Interfacial adhesion) ต่ำ การกระจายตัวของยางรีเคลมในเมทริกซ์ของวัสดุใหม่มีลักษณะแบบไม่สม่ำเสมอและมีโอกาสที่จะเกิดการรวมกันอยู่บางบริเวณ กอปรกับยางรีเคลมมีสมบัติเชิงกล เช่น ความทนทานต่อการสึกหรอ ความต้านทานต่อแรงดึง ความสามารถในการยืดจนขาด และความกระด้างตัว เป็นต้น ค่อนข้างต่ำ (พรพวรรณ, 2528) จากการที่โพลิเมอร์บางส่วนขาดออกในระหว่างกระบวนการรีเคลม จึงส่งผลกระทบต่อสัดส่วนการใช้ยางรีเคลมเพื่อแทนที่ยางใหม่ทำได้น้อย และพอลิเมอร์เบลนด์ที่มียางรีเคลมเป็นองค์ประกอบมีสมบัติเชิงกลที่ด้อยลง การปรับปรุงความเข้ากันได้ของยางรีเคลมกับยางหรือเทอร์โมพลาสติกสามารถทำได้โดยการตัดแปรพื้นผิวของยางรีเคลม (Shanmugharaj *et al.*, 2007; Zhang *et al.*, 2009a; Zhang *et al.*, 2009b) และการใช้สารเพิ่มความเข้ากันได้ (Compatibilizers) (Zhang *et al.*, 2009b)

เทอร์โมพลาสติกวัลคาไนซ์ (Thermoplastic vulcanizates, TPVs) เป็นวัสดุที่มีสมบัติการใช้งานแบบยางแต่สามารถแปรรูปได้ด้วยเครื่องแปรรูปเทอร์โมพลาสติกทั่วไป รวมถึงสามารถนำกลับมาขึ้นรูปใหม่ได้ง่ายเมื่อเทียบกับยางวัลคาไนซ์ โดยเทอร์โมพลาสติกวัลคาไนซ์ที่เตรียมขึ้นจากการเบลนด์ระหว่างยางกับเทอร์โมพลาสติกในสถานะไดนามิกวัลคาไนเซชัน (Dynamic vulcanization) ซึ่งเฟสของยางจะเกิดการเชื่อมขวางขึ้นในระหว่างการผสมและเกิดการกระจายตัวในเมทริกซ์ต่อเนื่องของเทอร์โมพลาสติก เฟสของยางวัลคาไนซ์ส่งผลให้เทอร์โมพลาสติกวัลคาไนซ์มีสมบัติแบบยาง ส่วนเฟสเทอร์โมพลาสติกทำหน้าที่ให้ความแข็งแรง และช่วยให้เทอร์โมพลาสติกวัลคาไนซ์สามารถแปรรูปได้อย่างวัสดุเทอร์โมพลาสติก ดังจะเห็นได้ว่ากระบวนการดังกล่าวจะช่วยลดปริมาณของเสียจากยางวัลคาไนซ์ลงได้จากความสามารถในการนำกลับมาขึ้นรูปใหม่ อีกทั้งเป็นกระบวนการที่เป็นมิตรต่อสิ่งแวดล้อม และสิ้นเปลืองพลังงานน้อยกว่าเมื่อเทียบกับการแปรรูปยางแบบทั่วไป

งานวิจัยนี้มีแนวคิดจากความต้องการในการเพิ่มปริมาณการใช้งานยางรีเคลมและวัสดุเทอร์โมพลาสติกวัลคาไนซ์ จึงทำการศึกษาการเตรียมเทอร์โมพลาสติกวัลคาไนซ์จากการเบลนด์ระหว่างยางธรรมชาติ ยางรีเคลม และโพรพิลีนเอทิลีนโคพอลิเมอร์ (NR/RR/PEC TPVs) โดยมุ่งเน้นการศึกษาการปรับปรุงแรงยึดเหนี่ยวระหว่างผิวประจัญของยางรีเคลมกับองค์ประกอบการเบลนด์ โดยใช้การ

ดัดแปรพื้นผิวของยางรีเคลม และการทำรีแอกทีฟเบลนด์ นอกจากนี้จะศึกษาการใช้สารเพิ่มความเข้ากันได้ และชนิดยางธรรมชาติ

## 1.2 วัตถุประสงค์

1.2.1 เพื่อศึกษาผลของวิธีการปรับปรุงความเข้ากันได้ ชนิดและปริมาณของสารดัดแปรต่อสมบัติของเทอร์โมพลาสติกวัลคาไนซ์จากการเบลนด์ระหว่างยางธรรมชาติ ยางรีเคลม และโพรพิลีนเอทิลีนโคพอลิเมอร์ เปรียบเทียบกับการใช้สารเพิ่มความเข้ากันได้

1.2.2 เพื่อศึกษาอิทธิพลของอัตราส่วนการเบลนด์และชนิดของยางธรรมชาติต่อสมบัติเทอร์โมพลาสติกวัลคาไนซ์จากการเบลนด์ระหว่างยางธรรมชาติ ยางรีเคลม และโพรพิลีนเอทิลีนโคพอลิเมอร์

## 1.3 ขอบเขตการศึกษา

1.3.1 การศึกษาสมบัติพื้นฐานของยางรีเคลม ได้แก่ โครงสร้างทางเคมี องค์ประกอบของยางรีเคลม ปริมาณส่วนที่ละลายได้และส่วนที่ไม่ละลาย (Sol-gel fraction) ความหนาแน่นพันธะเชื่อมขวางในยางรีเคลม และสัณฐานวิทยา

1.3.2 การศึกษาเปรียบเทียบผลของชนิดของสารดัดแปรต่อสมบัติของยางวัลคาไนซ์จากการเบลนด์ระหว่างยางธรรมชาติ และยางรีเคลม โดยแปรชนิดของสารดัดแปร 3 ชนิด ได้แก่ มาลิกแอนไฮไดรด์ (Maleic anhydride) ไกลซิดิลเมทาคริเลท (Glycidyl methacrylate) และ ฟีนอลิกเรซิน (Phenolic resin)

1.3.3 การศึกษาเปรียบเทียบผลของวิธีการผสมสารดัดแปรต่อสมบัติของเทอร์โมพลาสติกวัลคาไนซ์จากการเบลนด์ระหว่างยางธรรมชาติ ยางรีเคลม และโพรพิลีนเอทิลีนโคพอลิเมอร์ (NR/RR/PEC TPVs) โดยศึกษาผลของวิธีการผสมสารดัดแปร 2 วิธี ได้แก่ วิธีที่ 1. วิธีการดัดแปรพื้นผิวของยางรีเคลมในสภาวะหลอม (Melt mixing method) และวิธีที่ 2. วิธีการเบลนด์แบบรีแอกทีฟ (Reactive blending method)

1.3.4 การศึกษาปริมาณสารดัดแปรต่อสมบัติของเทอร์โมพลาสติกวัลคาไนซ์จากการเบลนด์ NR/RR/PEC โดยแปรปริมาณสารดัดแปรที่ 0, 3, 5, 7 และ 10 phr โดยใช้สารริเริ่มปฏิกิริยาที่ปริมาณคงที่ที่ 1 phr

1.3.5 การศึกษาอิทธิพลของอัตราส่วนการเบลนด์ของ NR/RR/PEC TPV ที่อัตราส่วน 60/0/40, 45/15/40, 30/30/40, 15/45/40 และ 0/60/40 ส่วนโดยน้ำหนัก โดยเลือกใช้ชนิดสารดัดแปร วิธีการผสมสารดัดแปร และปริมาณของสารดัดแปรที่ให้ประสิทธิภาพดีที่สุดในการปรับปรุงความเข้ากันได้ของเทอร์โมพลาสติกวัลคาไนซ์

1.3.6 การศึกษาอิทธิพลของการใช้สารเพิ่มความเข้ากันได้ชนิดกราฟต์โคพอลิเมอร์ของโพรพิลีนเอทิลีนโคพอลิเมอร์กับพีนอลิกเรซิน (Propylene ethylene copolymer grafted phenolic resin, PEC-g-Ph) ที่ปริมาณ 7 เปอร์เซ็นต์โดยน้ำหนักของโพรพิลีนเอทิลีนโคพอลิเมอร์ ร่วมกับวิธีการปรับปรุงความเข้ากันได้โดยใช้สารดัดแปรต่อสมบัติเทอร์โมพลาสติกวัลคาไนซ์

1.3.7 การศึกษาอิทธิพลของชนิดยางธรรมชาติ 2 ชนิด ได้แก่ยางแผ่นรมควัน (NR) และยางธรรมชาติอีพอกไซด์ที่มีปริมาณหมู่อีพอกไซด์ 10 (ENR-10), 20 (ENR-20), 30 (ENR-30), 40 (ENR-40) และ 50 (ENR-50) เปอร์เซ็นต์โดยโมล

1.3.8 การทดสอบสมบัติของเทอร์โมพลาสติกวัลคาไนซ์ ได้แก่ สมบัติเชิงกลก่อนและหลังบ่มเร่งสมบัติการไหล สมบัติเชิงกลพลวัต และสัณฐานวิทยา

#### 1.4 ประโยชน์ที่คาดว่าจะได้รับ

1.4.1 สามารถเตรียมเทอร์โมพลาสติกวัลคาไนซ์จากการเบลนดระหว่างยางธรรมชาติ ยางรีเคลม และโพรพิลีนเอทิลีนโคพอลิเมอร์ได้

1.4.2 ทราบถึงผลของชนิดสารดัดแปร วิธีการผสมสารดัดแปร ปริมาณสารดัดแปร อัตราส่วนการเบลนด และชนิดยางธรรมชาติ ต่อสมบัติของเทอร์โมพลาสติกวัลคาไนซ์จากการเบลนดระหว่างยางธรรมชาติ ยางรีเคลม และโพรพิลีนเอทิลีนโคพอลิเมอร์

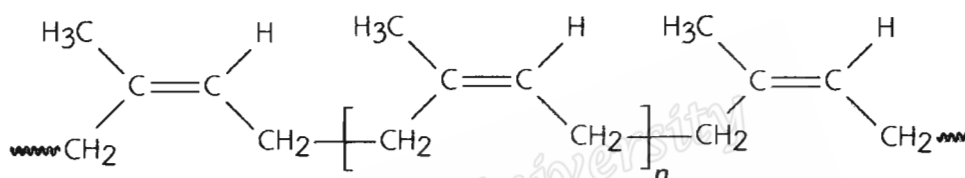
1.4.3 เพิ่มปริมาณของการใช้งานยางรีเคลมในการเตรียมวัสดุเทอร์โมพลาสติกวัลคาไนซ์

## บทที่ 2

### ทฤษฎีและงานวิจัยที่เกี่ยวข้อง

#### 2.1 ยางธรรมชาติ

ยางธรรมชาติเป็นพอลิเมอร์ที่มีน้ำหนักโมเลกุลสูง และมีการกระจายน้ำหนักโมเลกุลกว้าง มีความหนาแน่นเท่ากับ  $0.93 \text{ g/cm}^3$  ที่  $20^\circ\text{C}$  และจะมีค่าเพิ่มขึ้นเมื่อยางถูกยืดหรือเย็นตัวลง มีดัชนีหักเหแสงเท่ากับ 1.5215 ถึง 1.5238 ที่  $20^\circ\text{C}$  โดยมีสูตรโครงสร้างทางเคมี ดังรูปที่ 2.1



รูปที่ 2.1 โครงสร้างโมเลกุลของยางธรรมชาติ

ยางธรรมชาติมีสูตรโครงสร้างทางเคมี คือ ซิส-1,4-พอลิไอโซพรีน (*cis*-1,4-polyisoprene) กล่าวคือมีหน่วยย่อยไอโซพรีน (isoprene unit,  $\text{C}_5\text{H}_8$ ) โดยที่  $n$  มีค่าตั้งแต่ 5,000 ถึง 50,000 มีน้ำหนักโมเลกุลตั้งแต่ 50,000 ถึง 3,000,000  $\text{g/mol}$  และประมาณร้อยละ 60 ของโมเลกุลเหล่านี้มีน้ำหนักโมเลกุลสูงกว่า 1,300,000 (ชัยวัฒน์, 2527) ส่วนประกอบของยางธรรมชาติเป็นไฮโดรคาร์บอนไม่มีขั้ว ดังนั้นยางธรรมชาติจึงละลายได้ดีในตัวทำละลายที่ไม่มีขั้ว เช่น เบนซีน เฮกเซน เป็นต้น โดยทั่วไปยางธรรมชาติมีโครงสร้างการจัดเรียงตัวของโมเลกุลแบบอสัณฐาน (Amorphous) การเกิดผลึกเนื่องจากการยืดตัว (Strain induced crystallization) ทำให้ยางมีสมบัติเชิงกลที่ดี นั่นคือยางจะมีความต้านทานต่อแรงดึง (Tensile strength) ความทนทานต่อแรงฉีกขาด (Tear strength) และความทนต่อการขัดสี (Abrasion resistance) สูง เมื่อแรงภายนอกที่มากระทำหมดไป ยางจะกลับคืนสู่รูปร่างเดิมหรือใกล้เคียงอย่างรวดเร็ว

สมบัติของยางธรรมชาติอันเนื่องมาจากโครงสร้างทางเคมี

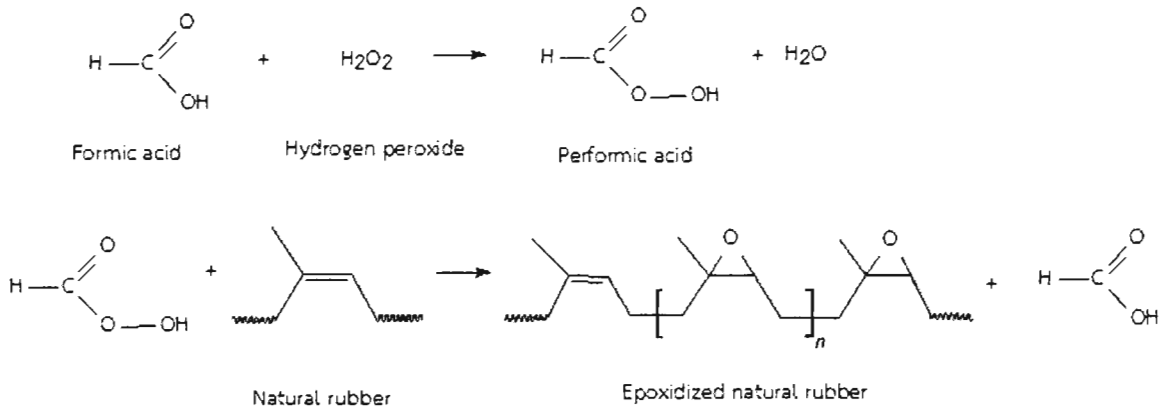
1. ประกอบด้วยคาร์บอนและไฮโดรเจน ไม่มีหมู่หรืออะตอมที่มีสภาพขั้วในโครงสร้าง ทำให้ยางธรรมชาติมีสมบัติไม่ทนน้ำมันปิโตรเลียม
2. มีพันธะที่ว่องไวต่อปฏิกิริยา ทำให้วัลคาไนซ์ได้ด้วยกำมะถัน และทำให้ยางเกิดปฏิกิริยาได้ง่ายกับออกซิเจน และโอโซน ซึ่งเป็นสาเหตุของการเสื่อมของยาง

3. การมีพันธะคู่และพันธะเดี่ยวในโมเลกุล ทำให้สายโซ่โมเลกุลเคลื่อนไหวได้ง่าย ทำให้ยางธรรมชาติมีสภาพยืดหยุ่น และมีความกระด้างตัวสูง
4. ยางธรรมชาติมีโครงสร้างโมเลกุลที่สม่ำเสมอ ดังนั้นจึงสามารถตกผลึกได้เมื่อยืด โดยผลึกที่เกิดขึ้นจะเป็นตัวเสริมแรงส่งผลให้ยางธรรมชาติ มีความต้านทานต่อแรงดึงสูงมาก
5. ยางธรรมชาติมีความกระด้างตัวสูง มีความร้อนสะสม (Heat build up) ต่ำ ทำให้ยางธรรมชาตินิยมใช้ในการทำยางรถบรรทุก ซึ่งต้องรับน้ำหนักมาก
6. มีน้ำหนักโมเลกุลสูง ทำให้ยางมีความหนืดสูง และแปรรูปได้ยาก ดังนั้นจึงต้องมีการบดเพื่อตัดสายโซ่โมเลกุล ให้ยางธรรมชาติมีความหนืด และน้ำหนักโมเลกุลลดลงก่อนทำการบดผสมสารเคมีและแปรรูป

## 2.2 ยางธรรมชาติอีพอกไซด์

ยางธรรมชาติอีพอกไซด์สามารถเตรียมได้จากการตัดแปรรูปโมเลกุลของยางธรรมชาติโดยผ่านกระบวนการที่เรียกว่าปฏิกิริยาอีพอกซิเดชัน (Epoxidation) ทำให้เกิดวงแหวนอีพอกไซด์หรือวงแหวนออกซิเรน (Oxirane ring) ตรงตำแหน่งพันธะคู่ของโมเลกุลยางธรรมชาติบางตำแหน่งกระจายอยู่ในสายโซ่โมเลกุลยางธรรมชาติ ซึ่งสามารถปรับปรุงหรือเพิ่มสมบัติความทนต่อตัวทำละลายที่มีขี้ผึ้งมากขึ้น มีค่าอุณหภูมิคล้ายแก้ว (Glass transition temperature, Tg) เพิ่มขึ้น ทนทานต่อการเสื่อมสลายจากความร้อนมากขึ้น และความต้านทานต่อการซึมผ่านของอากาศเพิ่มขึ้นทำให้สามารถประยุกต์ใช้งานยางธรรมชาติในอุตสาหกรรมต่างๆได้กว้างขึ้น (Baker and Gelling, 1987) พบว่ายางธรรมชาติอีพอกไซด์ที่มีหมู่ปริมาณอีพอกไซด์ 50 โมลเปอร์เซ็นต์ (ENR-50) สามารถทนทานต่อน้ำมันและต้านทานต่อการซึมผ่านของอากาศได้เทียบเท่ากับยางสังเคราะห์บางชนิด เช่น ยางไนไตรล์ ยางบิวทิล และยางคลอโรพรีน นอกจากนี้ยางธรรมชาติอีพอกไซด์ยังสามารถเกิดการจัดเรียงตัวขณะดึงยืดได้เป็นผลให้เกิดผลึกได้เช่นเดียวกับยางธรรมชาติที่ไม่ตัดแปรรูปโมเลกุล ทำให้ยางธรรมชาติอีพอกไซด์มีความต้านทานต่อแรงดึง และทนทานต่อการฉีกขาดได้ดีด้วย

การเตรียมยางธรรมชาติอีพอกไซด์จากปฏิกิริยาอีพอกซิเดชันโดยการทำให้เกิดเปอร์เอไซด์ ในขณะที่ทำปฏิกิริยาอีพอกซิเดชัน (*In-situ* peracid) ดังปฏิกิริยาแสดงในรูปที่ 2.2 ซึ่งอัตราส่วนโดยโมลของกรดฟอร์มิกกับไฮโดรเปอร์ออกไซด์ที่นิยมใช้อยู่ในช่วง 0.2 - 0.5 (Baker and Gelling, 1987) ปฏิกิริยาเริ่มจากกรดฟอร์มิกจะทำปฏิกิริยากับไฮโดรเจนเปอร์ออกไซด์ เกิดกรดเปอร์ฟอร์มิก จากนั้นกรดเปอร์ฟอร์มิกจะเข้าทำปฏิกิริยากับยางธรรมชาติตรงตำแหน่งพันธะคู่เกิดปฏิกิริยาอีพอกซิเดชันอย่างรวดเร็ว



รูปที่ 2.2 ปฏิกริยาอีพอกซิเดชันแบบ *In-situ* (ดัดแปลงจาก Baker and Gelling, 1987)

### 2.2.1 สมบัติของยางธรรมชาติอีพอกไซด์

สมบัติของยางธรรมชาติอีพอกไซด์โดยรวมจะขึ้นอยู่กับปริมาณหมู่อีพอกไซด์ในโครงสร้างโมเลกุลของยางธรรมชาติอีพอกไซด์ โดยเมื่อปริมาณหมู่อีพอกไซด์เพิ่มขึ้นความต้านทานต่อแรงดึงและความต้านทานต่อการฉีกขาดลดลง เนื่องจากปริมาณหมู่อีพอกไซด์สูงจะทำให้ยางธรรมชาติอีพอกไซด์มีโอกาสเกิดผลึกได้น้อยลง ทั้งนี้การเพิ่มปริมาณหมู่อีพอกไซด์เป็นการเพิ่มสภาพขี้ในโมเลกุลของยางส่งผลให้ความเหนียวเพิ่มขึ้น ขณะที่ความสามารถในการละลายของยางธรรมชาติอีพอกไซด์ขึ้นอยู่กับระดับของการเกิดอีพอกซิเดชัน และชนิดของตัวทำละลาย โดยยางธรรมชาติอีพอกไซด์สามารถละลายได้ง่ายขึ้นหากมีการบดขยี้ก่อน ตัวทำละลายที่เหมาะสมได้แก่ โทลูอีน คลอโรฟอร์ม และเตตระไฮโดรฟิวแรน เป็นต้น สำหรับค่าอุณหภูมิคล้ายแก้วของยางธรรมชาติอีพอกไซด์ พบว่าการเกิดหมู่อีพอกไซด์ที่เพิ่มขึ้นทุกๆ 1 เปอร์เซ็นต์โดยโมลในโมเลกุลยางธรรมชาติทำให้ค่าอุณหภูมิคล้ายแก้วเพิ่มขึ้น 1°C ซึ่งพบว่า ENR-25 มีค่าอุณหภูมิคล้ายแก้วประมาณ -47°C และ ENR-50 มีค่าอุณหภูมิคล้ายแก้วประมาณ -22°C (Baker and Gelling, 1987) นอกจากนี้ Chuayjuljit *et al.*, (2006) ได้พบว่า ยาง ENR-20 มีค่าอุณหภูมิคล้ายแก้วประมาณ -38.2°C ยาง ENR-45 มีค่าอุณหภูมิคล้ายแก้วประมาณ -27.8°C และยาง ENR-65 มีค่าอุณหภูมิคล้ายแก้วประมาณ -19.7°C

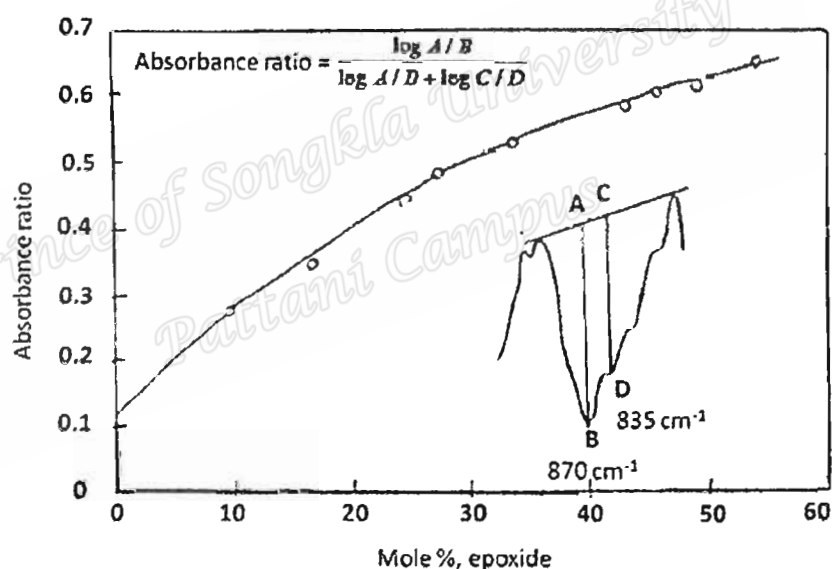
### 2.2.2 การวิเคราะห์ยางธรรมชาติอีพอกไซด์

การวิเคราะห์โครงสร้างของโมเลกุลของยางธรรมชาติอีพอกไซด์ด้วยเทคนิค FTIR จะได้สเปกตรัมของยางธรรมชาติอีพอกไซด์ที่แตกต่างจากสเปกตรัมของยางธรรมชาติ สามารถคำนวณหา (Absorbance ratio, Ar) ของพีคที่ตำแหน่งเลขคลื่น 870 cm<sup>-1</sup> ซึ่งเกิดจากการดูดกลืนแสง

อินฟราเรดของหมู่เอพอกไซด์หรือวงแหวนออกซิเรน เปรียบเทียบกับตำแหน่งเลขคลื่นที่  $835\text{ cm}^{-1}$  ซึ่งเป็นการสั่นแบบอนอกระนาบของพันธะ C-H ที่ต่อกับ C=C ของพอลิไอโซพรีน ดังสมการที่ 2.1 แล้วเปรียบเทียบกับกราฟมาตรฐาน ซึ่งแสดงดังรูปที่ 2.3

$$\text{Absorbance ratio, Ar} = \frac{\log A/B}{\log A/B + \log C/D} \quad (2.1)$$

โดยที่ A/B และ C/D เป็นความสูงของพีคการดูดกลืนที่ตำแหน่งเลขคลื่น  $870\text{ cm}^{-1}$  และ  $835\text{ cm}^{-1}$  ตามลำดับ

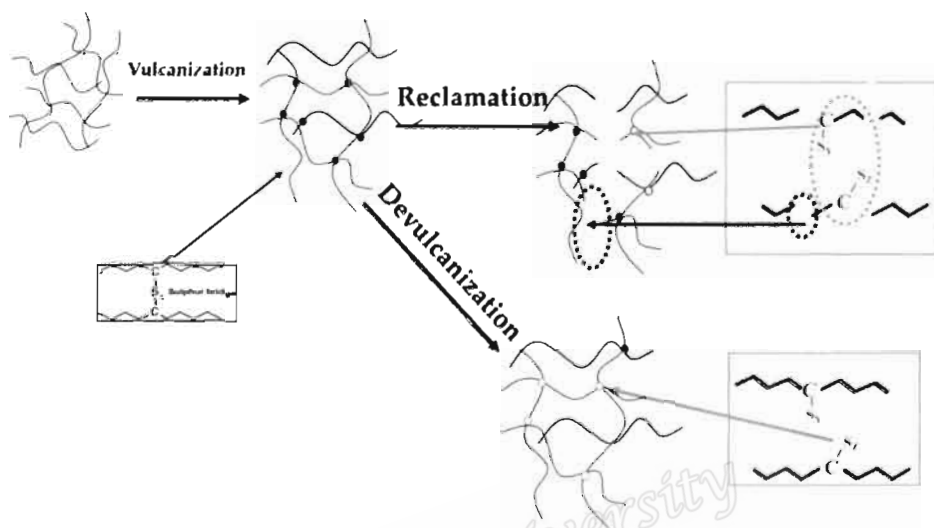


รูปที่ 2.3 กราฟมาตรฐานเปอร์เซ็นต์โมลอีพอกไซด์ของยางธรรมชาติอีพอกไซด์จากการวิเคราะห์ด้วยเครื่อง FTIR (Davey and Loadman, 1984)

### 2.3 ยางรีเคลม (Reclaimed Rubber)

ยางรีเคลม คือ ยางที่ได้จากการนำยางวัลคาไนซ์มาผ่านกระบวนการรีเคลม (Reclamation) เพื่อให้สามารถนำยางวัลคาไนซ์ที่ใช้แล้วกลับมาใช้ใหม่ได้ โดยการตัดพันธะเชื่อมขวางระหว่างสายโซ่โมเลกุลยางโดยอาศัยวิธีทางความร้อน ทางเคมี และทางกล เพื่อให้สามารถกลับเข้าสู่กระบวนการผสม และวัลคาไนซ์ได้อีกครั้ง อย่างไรก็ตามในกระบวนการทำยางรีเคลมไม่สามารถควบคุมตำแหน่งในการตัดพันธะได้ ฉะนั้นการตัดพันธะด้วยกระบวนการรีเคลม จะเกิดการตัดพันธะที่ตำแหน่งพันธะ

เชื่อมขวางและตำแหน่งสายโซ่ตัวเอง (ชิตีไซยิตะห์ และคณะ, 2551) ลักษณะการตัดโครงสร้างตาข่ายของโมเลกุลยางด้วยวิธีทั้งสองแสดงดังรูปที่ 2.4



รูปที่ 2.4 ปฏิกริยาที่เกิดขึ้นในระหว่างการรีไซเคิลยางด้วยการรีเคลมและการดีวัลคาไนซ์ (Saiwari, 2013)

กระบวนการรีเคลมเป็นกระบวนการทำให้ยางที่ผ่านการวัลคาไนซ์แล้วเกิดเป็นโครงสร้างตาข่าย สามารถนำกลับมาใช้ได้อีกโดยใช้เทคนิคการให้ความร้อน วิธีทางเคมี หรือวิธีทางกล โดยการเปลี่ยนแปลงที่เกิดขึ้นในระหว่างกระบวนการรีเคลม คือโครงสร้างตาข่ายของโมเลกุลยางถูกตัดแบบสุ่ม อาจเกิดการตัดหรือทำลายพันธะเคมีทั้งบริเวณพันธะเชื่อมขวางที่เกิดจากสารวัลคาไนซ์ (C-S, S-S) หรือบริเวณสายโซ่หลักของโมเลกุลยาง ยางรีเคลมที่ได้จึงมีสมบัติทางกลต่ำ

กระบวนการรีเคลมทำได้หลายวิธี สามารถแบ่งออกเป็น 2 กลุ่มใหญ่ (Myhre *et al.*, 2012) คือวิธีทางกายภาพ (Physical process) และวิธีทางเคมี (Chemical process) การรีเคลมโดยใช้วิธีทางกายภาพ (Adhikari *et al.*, 2000) เช่น วิธีทางกล (Mechanical reclaiming process) การใช้ความร้อนร่วมกับวิธีทางกล (Thermo-mechanical reclaiming process) การใช้คลื่นอัลตราโซนิก (Ultrasonic method) และคลื่นไมโครเวฟ (Microwave method) เป็นต้น การรีเคลมโดยใช้วิธีทางเคมี คือการใช้สารเคมีเพื่อช่วยให้ประสิทธิภาพการรีเคลมสูงขึ้นเรียกสารเคมีดังกล่าวว่า สารรีเคลมมิ่งเอเจนต์ (Reclaiming agents) เช่น ไดอัลลิสไดซัลไฟด์ (Diallyldisulfide), 2,3-ไดเมทิล-2-บิวทีน (2,3-Dimethyl-2-butene), ไดฟีนิลไดซัลไฟด์ (Diphenyldisulfide, DPDS), เฮกซะเดคซิลามีน (Hexadecylaminine), เตตระเมทิลไทอูรัมไดซัลไฟด์ (Tetramethylthiuram disulfide, TMTD) และ ไดเบนซามิโดไดฟีนิลไดซัลไฟด์ (Dibenzamido diphenyldisulfide) เป็นต้น

### 2.3.1 ตัวอย่างกระบวนการเตรียมยางรีเคลม

#### 2.3.1.1 กระบวนการรีเคลมโดยใช้ความร้อน (พรพรรณ, 2540)

- Heater หรือ pan process กระบวนการนี้เป็นหนึ่งในกระบวนการเตรียมยางรีเคลม โดยยางที่ถูกบดเป็นอนุภาคเล็กๆ และกำจัดเส้นใยออกไปแล้วจะถูกนำไปผสมเข้ากับน้ำมันและสารรีเคลมมิ่งเอเจนต์ แล้วจึงเทลงบนถาด ซึ่งถาดที่ใช้ได้ถูกออกแบบให้สามารถแผ่กระจายความร้อนได้อย่างทั่วถึง โดยการฝังขดลวดความร้อนตลอดแนว การให้ความร้อนด้วยไอน้ำภายในถาดที่อุณหภูมิประมาณ 180°C เป็นเวลา 5 ถึง 10 ชั่วโมง สารรีเคลมมิ่งเอเจนต์ที่ใช้คืออะโรมาติกไทออล ไคซัลไฟด์ และน้ำมันอะโรมาติก ซึ่งช่วยลดอุณหภูมิและเวลาในการเกิดปฏิกิริยาโดยยังคงให้สมบัติเชิงกลที่เหนือกว่า

- Digester process วิธีนี้ยังที่ผ่านการบดถูกผสมเข้ากับสารเคมี ส่วนผสมทั้งหมดจะถูกใส่เข้าไปในตู้อบความดันที่ประกอบด้วย ชุดกวน และให้ความร้อนที่ 180 ถึง 210°C ที่ 5 ถึง 24 ชั่วโมง โดยการใช้ไอน้ำ หลังจากนั้นวัสดุที่ได้จะถูกล้างทำความสะอาด อบแห้งและบดให้ละเอียด จากนั้นจึงกรองเป็นขั้นตอนสุดท้าย

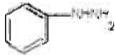
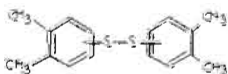
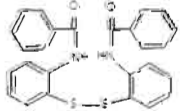
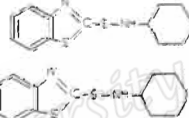
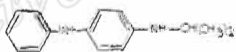
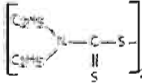
#### 2.3.2.2 กระบวนการรีเคลมโดยใช้ความร้อนร่วมกับวิธีทางกล (Thermo-mechanical process) (Adhikari *et al.*, 2000; Myhre *et al.*, 2012)

ในกระบวนการรีเคลมโดยใช้ความร้อนร่วมกับวิธีทางกล โดยอาศัยแรงเฉือนทำให้เกิดความร้อนขึ้น โดยเมื่อวัสดุได้รับแรงเฉือนจะส่งผลให้มีอุณหภูมิ และเมื่ออุณหภูมิเพิ่มขึ้นจะส่งผลให้เกิดการเสื่อมสภาพของพันธะเชื่อมขวางในยาง และเนื่องจากกระบวนการนี้ไม่มีการใช้สารเคมีแต่อาศัยความร้อนที่เกิดจากกระบวนการทางกลทำให้วิธีนี้มีข้อเสียคือจะเกิดการตัดสายโซ่ที่ตำแหน่งของสายโซ่หลัก

#### 2.3.3.3 กระบวนการรีเคลมโดยใช้วิธีทางกลร่วมกับวิธีทางเคมี (Mechano-chemical methods) (Rajan *et al.*, 2006)

การทำให้ยางนิ่ม สามารถปรับปรุงโดยใช้ Reclaiming accelerator ในขณะที่ให้แรงทางกลแก่ยาง ในสภาวะบรรยากาศที่อุณหภูมิห้อง โดยทั่วไปแล้วการทำยางรีเคลมที่อุณหภูมิต่ำจะมีการใช้สาร Reclaiming catalyst, Reclaiming oil และ Process oil ร่วมกับการใช้สารรีเคลมมิ่งเอเจนต์ (Reclaiming agent) ตัวอย่างการใช้สารเคมีแสดงดังตารางที่ 2.1

ตารางที่ 2.1 สารรีเคลมมิ่งเอเจนต์ที่ใช้ในกระบวนการรีเคลมโดยใช้วิธีทางกลร่วมกับวิธีทางเคมี (Rajan *et al.*, 2006)

| No | Chemical name/abbreviation                                       | Reclaiming accelerator  | Reclaiming cataly:  |
|----|--|---|---|
| 1  | Peroxide-methyl halides  | ROOR  | $Me_nX_m$   |
| 2  | Phenyl hydrazine-ferrous chloride (PH-FeCl <sub>2</sub> )        |    | FeCl <sub>2</sub> ·4H <sub>2</sub> O  |
| 3  | Tributylamine-cuprous chloride (TBA-CuCl)                        | (nC <sub>4</sub> H <sub>9</sub> ) <sub>3</sub> N                                      | Cu <sub>2</sub> Cl <sub>2</sub>   |
| 4  | Dixylyldisulfide   |     |   |
| 5  | 2,2'-Dibenzamidodipheyl disulfide                                |     |   |
| 6  | N-cyclohexylbenzothiazole-2-sulfenamide (CBS)                    |     |   |
| 7  | N-isopropyl-N'-phenyl-p-phenylenediamine (IPPD)                  |    |   |
| 8  | Thiophenol-n-butylamine (TP-BA)                                  |  | n-BuNH <sub>2</sub>   |
| 9  | Toluene sulfonic acid-1,8-diazabicyclo 5,4,0undec-7-ene (TS-DBU) |   |  |
| 10 | Tetraethylthiuramdisulfide-triphenyl phosphine (TETD-TPP)        |   |  |

#### 2.3.4.4 กระบวนการรีเคลมโดยใช้สารเคมี (Chemical reclaiming processes)

(Adhikari *et al.*, 2006)

กระบวนการรีเคลมโดยใช้สารเคมี จะใช้สารเคมีช่วยในการสลายพันธะซัลเฟอร์ สารเคมีที่นิยมใช้คือ ไดซัลไฟด์ (Disulfides) หรือ เมอร์แคปแทน (Mercaptans) หรือสารเคมีอื่นๆ ดังแสดงในตารางที่ 2.2 ซึ่งมีหน้าที่ในการทำลายพันธะซัลเฟอร์ที่เกิดจากกระบวนการคงรูปที่แตกต่างกัน ซึ่งกระบวนการนี้สามารถเตรียมโดยการนำยางที่ใช้แล้วมาแช่ในตัวทำละลายอินทรีย์ เช่น โทลูอีน เบนซีน หรือไซโคลเฮกเซน เพื่อให้โมเลกุลของยางเกิดการบวมตัว และง่ายต่อการซึมผ่านของสารเคมีที่ช่วยในการสลายพันธะซัลเฟอร์ในโครงสร้างสามมิติ แม้ว่าการใช้สารเคมีในการเตรียมยางรีเคลมจะมีความจำเพาะเจาะจงในการทำลายพันธะโควาเลนต์ระหว่างพันธะคาร์บอน-ซัลเฟอร์ และซัลเฟอร์-ซัลเฟอร์ แต่อย่างไรก็ตามกระบวนการนี้มีข้อเสียคือความยากในการพาดตัวทำลายออกจากเนื้อยางและความเสี่ยงที่เกิดจากสารเคมีที่ใช้

ตารางที่ 2.2 สารเคมีที่ใช้ในกระบวนการรีเคลมโดยใช้สารเคมี (Adhikari *et al.*, 2006)

| Name of the chemical probes | Attacking position of the crosslink bonds                                 |
|-----------------------------|---|
| Triphenylphosphine          | Polysulfide links into monosulfide and to a lesser extent disulfide links |
| Sodium di-n-butyl phosphite | Di and polysulfide crosslinks   |
| Propane-thiol/piperidine    | Polysulfide linkages  |
| Hexane-1-thiol              | Both polysulfide and disulfide linkages                                   |
| Dithiothreitol              | Disulfide bonds into two thiol groups                                     |
| Lithium aluminium hydride   | Disulfide and polysulfide bonds   |
| Phenyl lithium in benzene   | Polysulfide and disulfide bonds   |
| Methyl iodide               | Monosulfide linkages  |

### 2.3.2 สมบัติของยางรีเคลม (พรพรรณ, 2540)

ยางรีเคลมที่นำมาวัลคาไนซ์โดยทั่วไปจะมีค่าความต้านทานต่อแรงดึง ความสามารถในการยืดจนขาด ความกระด้างตัว และความต้านทานต่อการสึกหรอต่ำกว่ายางใหม่ที่ไม่ผ่านกระบวนการรีเคลม นอกจากนี้ยางรีเคลมจะวัลคาไนซ์ได้เร็วกว่ายางปกติ และมีความทนทานต่อการออกซิไดซ์ที่ดี อาจเป็นเพราะในกระบวนการทำยางรีเคลมต้องผ่านกระบวนการออกซิเดชัน การให้ความร้อน และการล้าง เป็นต้น

### 2.3.3 การใช้งานยางรีเคลม (วราภรณ์, 2552)

การใช้งานยางรีเคลมโดยส่วนใหญ่จะใช้เพื่อลดต้นทุน แต่นอกจากลดต้นทุนแล้วยางรีเคลมยังมีข้อได้เปรียบเมื่อเทียบกับการใช้ยางใหม่ในด้านกระบวนการผลิต กล่าวคือในกระบวนการเตรียมยางรีเคลมจะมีขั้นตอนการบดย่อยพันธะเชื่อมโมเลกุลยาง แต่ก็ยังคงมีพันธะเชื่อมขวางของ Sulfur crosslink ที่มีส่วนทำให้คอมพาวนด์มีความหยุ่นน้อย (Reduce nerve) ดังนั้นการขึ้นรูปผลิตภัณฑ์โดยกระบวนการอัดผ่านตาย (Extrude) หรือการฉีดจะมีผิวที่เรียบ ทำให้ได้ชิ้นงานที่มีขนาดแน่นอนทำให้ช่วยเพิ่มอัตราการผสมได้ นอกจากนี้การใช้ยางรีเคลมเพื่อเตรียมคอมพาวนด์จะใช้เวลาบดผสมและพลังงานน้อยกว่ากรณีการใช้ยางใหม่ เพราะยางรีเคลมได้ผ่านการบดมาแล้วในกระบวนการเตรียมยางรีเคลม อย่างไรก็ตามสมบัติความแข็งแรงของยางรีเคลมจะไม่ทัดเทียมยางใหม่ ดังนั้นการใช้ยางรีเคลมจะขึ้นอยู่กับเงื่อนไขด้านคุณภาพของผลิตภัณฑ์ ถ้าต้องการลดต้นทุนและใช้กับผลิตภัณฑ์ที่ไม่ต้องการความแข็งแรงมาก ก็สามารถใช้อย่างรีเคลมล้วนๆได้โดยไม่ต้องผสมกับยางใหม่

เช่น พื้นรองเท้า ยางปูพื้น เป็นต้น แต่ถ้าต้องการให้ได้ผลิตภัณฑ์ที่มีคุณภาพสูงระดับหนึ่งก็อาจจะผสมยางรีเคลมกับยางใหม่ เพื่อให้ส่วนของยางใหม่ช่วยเพิ่มความแข็งแรงขณะที่ยางรีเคลมจะช่วยปรับปรุงกระบวนการผลิต

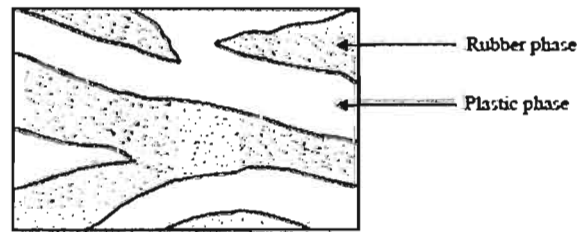
## 2.4 เทอร์โมพลาสติกอีลาสโตเมอร์ (Thermoplastic Elastomers, TPEs)

เทอร์โมพลาสติกอีลาสโตเมอร์ หมายถึง วัสดุอีลาสโตเมอร์ที่มีพฤติกรรมแปรรูปของเทอร์โมพลาสติก โดยจะแสดงสมบัติวิสโคอีลาสติก (Viscoelastic) หรือการมีสมบัติยืดหยุ่นคล้ายยางที่อุณหภูมิห้องหรืออุณหภูมิการใช้งาน และมีพฤติกรรมไหลแบบพลาสติกที่อุณหภูมิการแปรรูป การเปลี่ยนแปลงระหว่างสภาวะหลอมกับของแข็งที่ยืดหยุ่นแบบยางเมื่อให้อุณหภูมิหลอมหรือทำให้เย็นตัวเป็นแบบผันกลับได้ (Reversible process) ทำให้สามารถแปรรูปเทอร์โมพลาสติกอีลาสโตเมอร์ซ้ำได้ เช่นเดียวกับการแปรรูปเทอร์โมพลาสติก

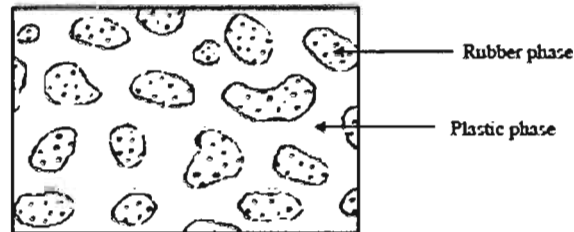
เทอร์โมพลาสติกอีลาสโตเมอร์จากการเตรียมพอลิเมอร์เบลนด์และการเตรียมโคพอลิเมอร์มีลักษณะทางสัณฐานวิทยาแบบเฟสคู่ (Two-Phase morphology) ประกอบด้วยเฟสแข็ง (Hard phase) ซึ่งเป็นองค์ประกอบของเทอร์โมพลาสติก และเฟสนิ่ม (Soft phase) หรือเฟสของยางมีลักษณะทางสัณฐานวิทยาระหว่างเฟสที่สามารถเกิดได้ 2 แบบ คือ สัณฐานวิทยาแบบเฟสร่วม (Co-continuous phase morphology) คือเกิดการกระจายซึ่งกันและกันของทั้ง 2 เฟส และ สัณฐานวิทยาแบบเฟสกระจาย (Dispersed phase morphology) กล่าวคือเกิดการกระจายตัวของเฟสหนึ่ง ในเมทริกซ์ต่อเนื่องของอีกเฟสหนึ่ง ทั้งนี้ขึ้นอยู่กับวิธีการเตรียมดังแสดงในรูปที่ 2.5

เทอร์โมพลาสติกอีลาสโตเมอร์ที่เตรียมจากการเบลนด์ยางกับเทอร์โมพลาสติกทั้งการ เบลนด์แบบปกติ (Simple blend) และการเบลนด์แบบไดนามิกส์วัลคาไนซ์ (Dynamic vulcanization) ส่วนของเฟสแข็งทั้งที่เป็นเฟสร่วมและเฟสต่อเนื่อง ให้คุณสมบัติด้านความแข็งแรง และควบคุมไม่ให้เกิดการไหลเมื่อได้รับแรงหรือความร้อน แต่เมื่อได้รับแรงหรือความร้อนที่เหมาะสมเฟสแข็งก็จะเกิดการหลอมไหล (ขึ้นรูปได้) เมื่อเย็นตัวก็จะกลับสู่สภาวะที่เป็นของแข็งยืดหยุ่นอีกครั้ง

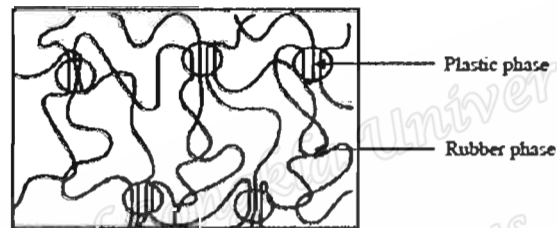
เทอร์โมพลาสติกอีลาสโตเมอร์ที่ได้จากการเตรียมโคพอลิเมอร์นั้นส่วนของเฟสแข็งที่เกิดการรวมกลุ่มกันของผลึกเป็นโดเมนของแข็ง (Hard domain) จะกระจายตัวต่อเนื่องอยู่ในเฟสยาง และทำหน้าที่เป็นตัวเชื่อมขวางทางกายภาพ (Physical crosslink) ควบคุมไม่ให้เกิดการไหล และเนื่องจากการเชื่อมขวางระหว่างโมเลกุลเป็นการเชื่อมขวางทางกายภาพ หรือการมีอันตรกิริยาระหว่างโมเลกุลไม่ได้เกิดการเชื่อมขวางทางเคมี ดังนั้นเมื่อได้รับพลังงานที่เหมาะสมก็จะสูญเสียการเชื่อมขวาง โขโมเลกุลจะเกิดการเคลื่อนไหวหรือสั่นไถลผ่านกันได้ (ขึ้นรูปได้) แต่เมื่อกลับสู่สภาวะที่มีพลังงานต่ำอีกครั้งการเชื่อมขวางทางกายภาพก็จะเกิดขึ้นใหม่ เรียกการเชื่อมขวางที่มีลักษณะดังกล่าวว่า การเชื่อมขวางแบบผันกลับได้ (Physical reversible crosslink)



(a) Co-Continuous rubber and plastic phases



(b) Rubber particles dispersed in the continuous phase



(c) Hard domains dispersed in the amorphous polymer phase

รูปที่ 2.5 สันฐานวิทยาของเทอร์โมพลาสติกอิลาสโตเมอร์ที่เตรียมด้วย (a) วิธีเบลนด์แบบปกติ (b) ไดนามิกส์วัลคาไนซ์ และ (c) การเตรียมโคพอลิเมอร์ (Holden, 2000)

เทอร์โมพลาสติกอิลาสโตเมอร์มีช่วงอุณหภูมิการเปลี่ยนสถานะที่สำคัญ 2 ช่วง คือ อุณหภูมิการเปลี่ยนสถานะคล้ายแก้วและอุณหภูมิหลอมผลึก โดยที่อุณหภูมิห้องหรืออุณหภูมิการใช้งาน คือ ระหว่างช่วงอุณหภูมิการเปลี่ยนสถานะคล้ายแก้วและอุณหภูมิหลอมผลึก วัสดุจะมีสมบัติเป็นยาง คือ มีความสามารถในการคืนกลับรูปเดิมหลังจากสิ้นสุดแรงกระทำ ที่เป็นเช่นนี้เนื่องจากลักษณะของเฟสแข็งควบคุมไม่ให้เฟสของยางเกิดการไหลเสมือนการมีพันธะเชื่อมขวางในยางวัลคาไนซ์ ส่วนที่อุณหภูมิสูงกว่าอุณหภูมิหลอมผลึก เทอร์โมพลาสติกอิลาสโตเมอร์จะอยู่ในสภาวะหลอม (Molten state) และมีพฤติกรรมการไหลแบบซูโดพลาสติก (Pseudoplastic behavior) คือ ความหนืดของวัสดุจะขึ้นกับอัตราเฉือน (Shear rate) ทำให้เหมาะแก่การขึ้นรูปแบบฉีด หรือการเอกทрудซ์ที่มีอัตราเฉือนสูง เนื่องจากเทอร์โมพลาสติกอิลาสโตเมอร์จะไหลได้ดีเพราะมีความหนืดต่ำ และเมื่อเทอร์โมพลาสติกอิลาสโตเมอร์กลับสู่สภาวะที่มีพลังงานต่ำก็จะมีความสามารถในการคงรูปใหม่ ซึ่งเป็นข้อได้เปรียบเหนือยางวัลคาไนซ์ที่เกิดการคงรูปถาวรด้วยพันธะทางเคมี ทำให้มีความนิยมในการผลิต

เทอร์โมพลาสติกอีลาสโตเมอร์เป็นผลิตภัณฑ์ต่างๆ มากขึ้น ตัวอย่างผลิตภัณฑ์ เช่น ชิ้นส่วนยาง ประกอบเครื่องจักร ท่อ ปะเก็น อุปกรณ์อุดรอยรั่ว สายไฟ และฉนวนไฟฟ้า เป็นต้น

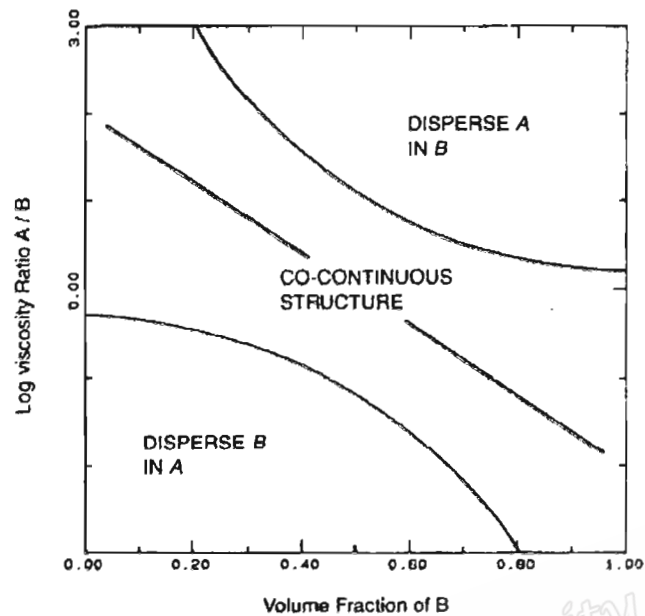
#### 2.4.1 การเตรียมเทอร์โมพลาสติกจากการเบลนด์ยางและพลาสติก

เทอร์โมพลาสติกอีลาสโตเมอร์จากการเบลนด์พลาสติกกับยางจัดเป็นกลุ่มเทอร์โมพลาสติกอีลาสโตเมอร์ที่มีความนิยมทางการค้า เนื่องด้วยมีสมบัติเป็นที่ยอมรับและมีความสะดวกในการเตรียม โดยสามารถแบ่งลักษณะการเบลนด์เป็น 2 ประเภท คือ

##### ก. เทคนิคการเบลนด์แบบปกติ (Simple blend)

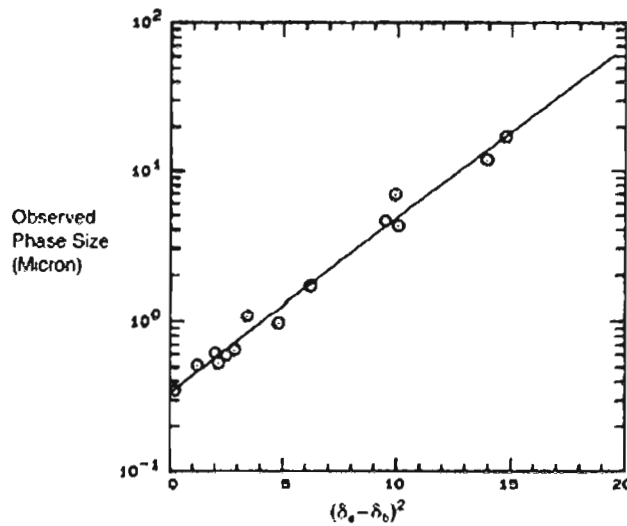
การเตรียมเทอร์โมพลาสติกอีลาสโตเมอร์จากการเบลนด์แบบปกติทำได้โดยการเบลนด์เทอร์โมพลาสติกกับยางโดยไม่เติมสารวัลคาไนซ์ ซึ่งการเบลนด์จะทำในสภาวะที่มีแรงเฉือนสูง และให้ความร้อนเพียงพอให้เกิดการหลอมในพลาสติกโดยไม่ทำให้เฟสของยางเสื่อมสภาพ ซึ่งการเบลนด์แบบปกติมีโอกาสดังกล่าวเกิดลักษณะทางสัณฐานวิทยาได้ 2 ลักษณะ คือ พอลิเมอร์ชนิดหนึ่งกระจายตัวในเฟสต่อเนื่อง (หรือเมทริกซ์) ของพอลิเมอร์อีกชนิดหนึ่ง ซึ่งพอลิเมอร์เบลนด์ที่ได้จะแสดงสมบัติเด่นของพอลิเมอร์ชนิดที่เป็นเมทริกซ์ และลักษณะทางสัณฐานวิทยาอีกลักษณะ คือ เกิดจากการกระจายตัวซึ่งกันและกันเป็นแบบเฟสร่วม ดังแสดงในรูปที่ 2.5 (a) ซึ่งในการเตรียมเทอร์โมพลาสติกอีลาสโตเมอร์ด้วยวิธีเบลนด์แบบปกติต้องควบคุมลักษณะทางสัณฐานวิทยาให้เป็นแบบเฟสร่วม เนื่องจากการสมบัติที่ผสมกันระหว่าง 2 เฟส โดยปัจจัยที่เป็นตัวกำหนดลักษณะทางสัณฐานวิทยาของการเตรียมพอลิเมอร์เบลนด์ด้วยวิธีการเบลนด์แบบปกติ คือ อิทธิพลของความหนืด อัตราส่วนการเบลนด์ และความเข้ากันของพอลิเมอร์เบลนด์

พอลิเมอร์ที่นำมาเบลนด์กันต้องมีค่าความหนืดใกล้เคียงกันที่อุณหภูมิ และอัตราเฉือนที่ทำการเบลนด์ ความสัมพันธ์ระหว่างค่า  $\log$  ของอัตราส่วนความหนืดระหว่างเฟสทั้ง 2 (A และ B) กับสัดส่วนโดยปริมาตรของเฟส B (อาจจะเป็นเฟสอีลาสโตเมอร์หรือพลาสติก) แสดงดังรูปที่ 2.6 พบว่าพอลิเมอร์เบลนด์มีความหนืดใกล้เคียงกัน (ค่า  $\log$  ของอัตราส่วนความหนืดระหว่างพอลิเมอร์ A กับ พอลิเมอร์ B มีค่าใกล้ 0) จะให้ลักษณะสัณฐานวิทยาแบบเฟสร่วมที่ทุกสัดส่วนการเบลนด์ และที่อัตราส่วนความหนืดค่าอื่นๆ การเตรียมพอลิเมอร์เบลนด์ให้ได้สัณฐานวิทยาแบบเฟสร่วมจะต้องคำนึงถึงสัดส่วนการเบลนด์ซึ่งจะมีสัดส่วนช่วงหนึ่งๆ เท่านั้นที่จะให้สัณฐานวิทยาแบบดังกล่าว



รูปที่ 2.6 ความสัมพันธ์ระหว่างอัตราส่วนความหนืดที่ใช้ในการเบลนด์กับสัดส่วนในการผสมของพอลิเมอร์ 2 องค์ประกอบ (Holden, 2000)

ความเข้ากันได้ของการเบลนด์ซึ่งพิจารณาจากความแตกต่างระหว่างค่าความสามารถในการละลาย (Solubility parameter) ซึ่งค่าความสามารถในการละลายของพอลิเมอร์ทั้ง 2 ชนิดเกี่ยวข้องกับแรงตึงผิวประจัญ (Interfacial tension) กล่าวคือ ถ้าพอลิเมอร์ทั้งสองชนิดมีค่าแรงตึงผิวสูงจะทำให้เกิดเป็นระบบสองเฟส (Two phase system) ที่มีเฟสขนาดใหญ่ (Coarse dispersion) โดยการเกิดเฟสขนาดใหญ่จะไปลดพื้นที่ผิวประจัญ (Interfacial area) และพลังงานผิวประจัญ (Interfacial energy) ในทางกลับกันถ้าพอลิเมอร์มีค่าความสามารถในการละลายใกล้เคียงกันทำให้เกิดการกระจายตัวของเฟสที่มีขนาดเล็กมากกว่า (Finer dispersion) ทำให้พื้นที่ผิวประจัญและพลังงานผิวประจัญมีค่าสูง พอลิเมอร์เบลนด์จึงมีความเข้ากันได้เพิ่มขึ้น ดังแสดงในรูปที่ 2.7 ซึ่งแสดงความสัมพันธ์ระหว่างขนาดอนุภาคของพอลิเมอร์เบลนด์กับค่าความแตกต่างของความสามารถในการละลายของพอลิเมอร์ทั้งสองชนิดที่นำมาเบลนด์กัน พบว่าขนาดอนุภาคของ พอลิเมอร์เบลนด์มีขนาดเพิ่มขึ้นตามการเพิ่มความแตกต่างระหว่างค่าความสามารถในการละลายของพอลิเมอร์ที่ใช้ ซึ่งถ้าพอลิเมอร์ทั้งสองชนิดมีค่าความสามารถในการละลายต่างกันมาก เช่น พอลิเมอร์ชนิดหนึ่งมีขั้วในขณะที่พอลิเมอร์อีกชนิดหนึ่งไม่มีขั้วก็จะเกิดเฟสขนาดใหญ่



รูปที่ 2.7 อิทธิพลของค่าความสามารถในการละลายต่อขนาดอนุภาคของพอลิเมอร์เบลนด์ (Holden, 2000)

#### ข. เทคนิคการวัลคาไนซ์แบบไดนามิกส์

เทอร์โมพลาสติกอีลาสโตเมอร์ที่เตรียมโดยกระบวนการวัลคาไนเซชันแบบไดนามิกส์ หรือที่เรียกว่า เทอร์โมพลาสติกวัลคาไนซ์ หรือไดนามิกส์วัลคาไนซ์ มีหลักการในการเตรียม คือ การปรับปรุงสัมพันธภาพของอนุภาคยางที่กระจายตัวในเฟสต่อเนื่องของพลาสติกให้มีความเสถียรโดยการผสมสารวัลคาไนซ์ในขณะเบลนด์หรือการนำยางมาผ่านกระบวนการผสมสารเคมีแล้วนำมาทำการเบลนด์ ซึ่งสามารถทำได้ทั้งแบบแบช (Batch process) ด้วยเครื่องผสมแบบปิด (Internal mixer) หรือแบบต่อเนื่อง (Continuous process) ด้วยเครื่องอัดรีดชนิดสกรูคู่ (Co-Rotating twin screw extruder) เป็นต้น การวัลคาไนซ์จะเกิดขึ้นในระหว่างการบดผสมภายใต้อุณหภูมิสูง เมื่อเกิดการวัลคาไนซ์ในเฟสยาง ความหนืดของเฟสยางจะเพิ่มขึ้นอย่างรวดเร็วจนถึงจุดที่ความหนืดระหว่างเฟสยางกับเฟสพลาสติกต่างกันมาก (Viscosity mismatch) เมื่อทำการผสมต่อเนื่องไปเฟสของยางที่หนืดได้รับแรงเฉือนจากกลไกของเครื่องมือกลก็จะเกิดการแตกออกเป็นอนุภาคขนาดเล็กระดับไมครอนกระจายตัวในเมทริกซ์ของพลาสติก โดยต้องให้แรงเฉือน และอุณหภูมิจนกระทั่งเกิดการวัลคาไนซ์ที่สมบูรณ์ เพื่อป้องกันไม่ให้อนุภาคยางกลับมารวมตัวเป็นกลุ่มก้อน (Agglomerate) ซึ่งอนุภาคขนาดเล็กที่เกิดขึ้นระหว่างทำการผสมทำให้เกิดการปรับปรุงสมบัติทางฟิสิกส์ของเทอร์โมพลาสติกอีลาสโตเมอร์ เช่น สมบัติเชิงกล สมบัติด้านการคืนตัว ความทนทานต่อความล้า และความทนทานต่อน้ำมัน เป็นต้น

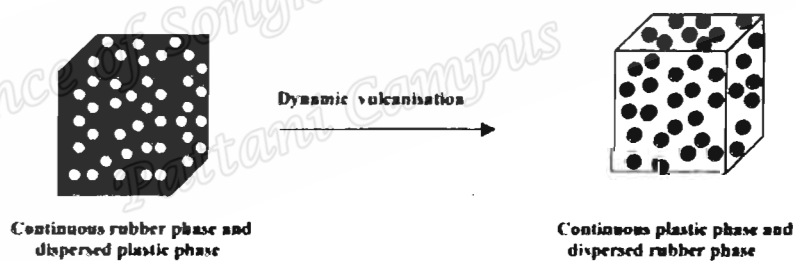
สัมพันธภาพของพอลิเมอร์เบลนด์ที่เตรียมด้วยกระบวนการเบลนด์แบบปกติจะถูกควบคุมโดยอิทธิพลของความหนืดและสัดส่วนการเบลนด์ แต่ในการเตรียมพอลิเมอร์เบลนด์ด้วย

กระบวนการเบลนด์แบบไดนามิกส์วัลคาไนซ์ พอลิเมอร์ที่นำมาเบลนด์กันจะมีการเปลี่ยนแปลงความหนืด และเทอร์โมไดนามิกส์ที่อุณหภูมิและอัตราเฉือนที่ทำการเบลนด์ทำให้เกิดการเปลี่ยนแปลงทางสัณฐานวิทยาได้หลายแบบดังแสดงในรูปที่ 2.8 กล่าวคือ มีการเปลี่ยนจากเฟสรวมกลายเป็นเฟสกระจาย การเปลี่ยนในลักษณะของการกลับเฟส (เปลี่ยนจากเฟสพลาสติกที่กระจายตัวในเฟสยางกลายเป็นเฟสยางกระจายตัวในเฟสพลาสติก) และการลดลงของขนาดอนุภาคยางที่กระจายตัวในเทอร์โมพลาสติก

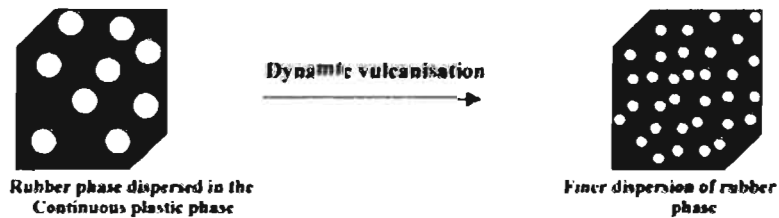
**Co-continuous morphology could be transferred in to Matrix /dispersed phase morphology**



**Possibility of phase inversion**



**Finer dispersion of dispersed rubber domains**



รูปที่ 2.8 การเปลี่ยนแปลงลักษณะทางสัณฐานวิทยาของเทอร์โมพลาสติกอิลาสโตเมอร์จากการวัลคาไนซ์แบบไดนามิกส์ (John *et al.*, 2003)

#### 2.4.2 การแปรรูปและการประยุกต์ใช้งานเทอร์โมพลาสติกอิลาสโตเมอร์

ด้วยสมบัติของเทอร์โมพลาสติกอิลาสโตเมอร์ที่มีพฤติกรรมเหมือนเทอร์โมพลาสติกในสถานะหลอม (Molten state) มีพฤติกรรมการไหลแบบซูโดพลาสติก จึงสามารถแปรรูปเทอร์โมพลาสติกอิลาสโตเมอร์ด้วยเครื่องแปรรูปพลาสติกทั่วไปและสามารถนำกลับมาใช้ใหม่ได้

##### 2.4.2.1 การขึ้นรูปโดยกระบวนการฉีดเข้าเบ้า (Injection Molding)

การขึ้นรูปโดยการฉีดเข้าเบ้าเป็นเทคนิคการขึ้นรูปเทอร์โมพลาสติกอิลาสโตเมอร์ที่สำคัญที่สุด เนื่องจากมีระยะเวลาต่อรอบการผลิต (Cycle time) สั้นและสามารถนำเศษวัสดุ (Scrap) จากการขึ้นรูปมาใช้ได้อีก เครื่องฉีดเข้าเบ้าทั่วไปที่ใช้ในการขึ้นรูปเทอร์โมพลาสติกสามารถนำมาใช้กับเทอร์โมพลาสติกอิลาสโตเมอร์ได้ โดยแรงดันประกบแม่พิมพ์ (Clamping pressure) ควรจะอยู่ในช่วง 40-70 MPa หัวฉีด (Nozzle) กรวยนำฉีด (Sprue cone) และประตู (gates) ควรใช้ขนาดกลาง อุณหภูมิที่ใช้ควรมากกว่าอุณหภูมิหลอมของเทอร์โมพลาสติกอิลาสโตเมอร์ เนื่องจากระบบท่อวิ่งที่ร้อน (Hot runner system) จะลดการเสียหายของวัสดุทำให้ประหยัดวัสดุและระยะเวลาต่อรอบการผลิต ดังนั้นวิธีนี้จึงเป็นที่นิยมใช้ในอุตสาหกรรมการผลิตชิ้นงานขนาดใหญ่และขนาดเล็ก โดยจะต้องใช้ช่องว่างของเบ้า (Cavities) มากกว่า 1 หรือ 2 ช่องสำหรับชิ้นงานขนาดใหญ่

##### 2.4.2.2 การขึ้นรูปโดยกระบวนการอัดรีด (Extrusion Molding)

เทอร์โมพลาสติกอิลาสโตเมอร์สามารถนำไปขึ้นรูปด้วยการอัดรีดร้อนให้มีรูปทรงต่าง ๆ กัน เช่น เป็นท่อ แผ่นพลาสติก หรือโพรไฟล์พลาสติกได้โดยใช้เครื่องอัดรีดร้อนสกรูเดี่ยวหรือสกรูคู่ที่ใช้สำหรับเทอร์โมพลาสติกทั่วไป การควบคุมขนาดของเทอร์โมพลาสติกอิลาสโตเมอร์ที่ผ่านกระบวนการอัดรีดร้อนนั้นทำได้โดยการควบคุมการบวมพองที่หัวตาย (Die swell) ซึ่งสำหรับเทอร์โมพลาสติกอิลาสโตเมอร์โดยทั่วไปแล้วจะเกิดการบวมพองน้อยกว่าเทอร์โมพลาสติกชนิดแข็งหรือยางวัลคาไนซ์ที่ผสมเขม่าดำ ปัจจัยสำคัญที่มีผลต่อการบวมพอง คือ อัตราเฉือน กล่าวคือจะมีค่าเพิ่มขึ้นเมื่อความเร็วในการอัดรีดร้อนเพิ่มขึ้น ตัวเครื่องจะมีค่าอัตราส่วนความยาวต่อเส้นผ่าศูนย์กลาง (L/D) ของสกรู (Screw) อย่างน้อย 20/1 (โดยทั่วไปแล้วนิยมให้อยู่ในช่วง 24/1 ถึง 30/1) สกรูที่ใช้กับเทอร์โมพลาสติกอิลาสโตเมอร์ โดยทั่วไปแล้วจะเป็นแบบเดียวกันกับที่ใช้สำหรับพอลิโอเลฟินด์และอาจใช้สกรูที่ออกแบบพิเศษเพื่อช่วยในการผสมได้เช่นกัน

##### 2.4.2.3 การประยุกต์ใช้งานเทอร์โมพลาสติกอิลาสโตเมอร์

เนื่องจากการใช้งานวัสดุประเภทเทอร์โมพลาสติกอิลาสโตเมอร์เพิ่มมากขึ้น จึงได้มีการคิดค้นและพัฒนาวัสดุดังกล่าวให้มีสมบัติที่ดีขึ้น เช่น สมบัติด้านความต้านทานต่อน้ำมันร้อน สมบัติ

ความต้านทานต่ออุณหภูมิสูง เป็นต้น โดยในปัจจุบันนิยมนำวัสดุเทอร์โมพลาสติกอีลาสโตเมอร์ไปใช้งานอย่างกว้างขวางในอุตสาหกรรม เช่น

(1) การนำไปใช้เป็นสินค้าที่ใช้ในเครื่องจักรที่เป็นยาง เช่น ลูกกลิ้งที่ติดไว้ที่ขาโต๊ะไดอะเฟรมที่ยืดหยุ่นได้ ปะเก็น ท่อ เครื่องกันชน อุปกรณ์อุดรูรั่ว วาล์ว และปลั๊ก เป็นต้น

(2) การนำไปใช้ภายใต้ฝากระโปรงรถ เช่น เป็นที่ครอบท่อเครื่องปรับอากาศ ครอบท่อน้ำมัน ท่อดูดสูญญากาศ ตัวต่อเครื่องดูดสูญญากาศ ตัวปลั๊ก อุปกรณ์อุดรูรั่ว วงแหวน ส่วนประกอบของอุปกรณ์ไฟฟ้า เป็นต้น

(3) การนำไปใช้ในอุตสาหกรรมทอผ้าใบ เช่น สเปรย์ในงานเกษตรกรรม สเปรย์ในงานสี อุตสาหกรรมทอ เป็นต้น

(4) การนำไปใช้ในอุตสาหกรรมไฟฟ้า เช่น ปลั๊ก สายไฟ และสายเคเบิล เป็นต้น

## 2.5 การเข้ากันได้ของการเบลนด์ (Blend compatibilization) (เจริญ, 2546)

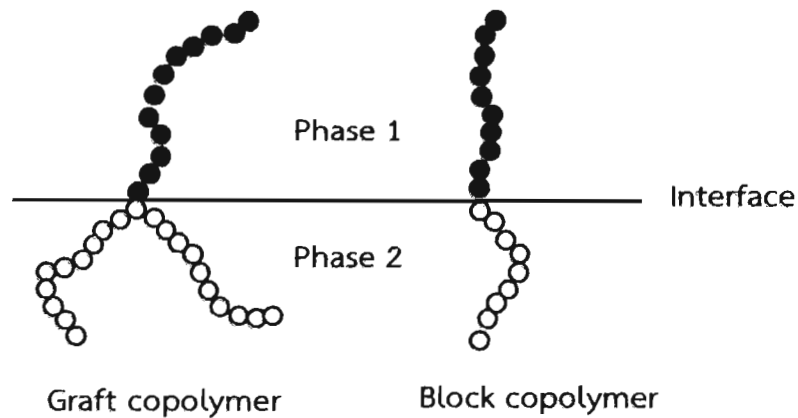
การเข้ากันได้ (Compatibilization) ของการเบลนด์เป็นปัจจัยหลักในการพัฒนาพอลิเมอร์เบลนด์ การเข้ากันได้หมายถึง การผสมเข้ากันได้ (Miscibility) ในระดับของโมเลกุลพอลิเมอร์ที่นำมาผสมไม่มีการแยกเฟสขององค์ประกอบที่ต่างกัน และสามารถเตรียมพอลิเมอร์เบลนด์ที่มีสมบัติเหมาะสมกับการใช้งานรูปแบบต่างๆ

### 2.5.1 การใช้โคพอลิเมอร์แบบกราฟต์และบล็อกเป็นสารเพิ่มความเข้ากันได้

การเพิ่มความเข้ากันได้ของพอลิเมอร์เบลนด์ โดยใช้โคพอลิเมอร์แบบกราฟต์และบล็อกเป็นตัวประสาน เป็นวิธีการที่มีการศึกษาวิจัยและมีการผลิตพอลิเมอร์เบลนด์กันมากที่สุด โดยทั่วไปจะนิยมใช้โคพอลิเมอร์แบบบล็อกมากกว่า โดยเฉพาะโคพอลิเมอร์แบบบล็อกที่มีส่วนของโมเลกุลที่มีลักษณะทางเคมีเหมือนกับพอลิเมอร์ที่ต้องการผสม โคพอลิเมอร์ที่ทำหน้าที่เป็นตัวประสานจะมีตำแหน่งอยู่ที่ผิวประจัญ (Interface) ของพอลิเมอร์ที่ผสม ซึ่งแสดงดังรูปที่ 2.9 โคพอลิเมอร์จะผสมส่วนที่มีธรรมชาติทางเคมีเหมือนกันกับพอลิเมอร์

### 2.5.2 การใช้พอลิเมอร์ที่มีหมู่ฟังก์ชันก็เป็นสารเพิ่มความเข้ากันได้

เตรียมโดยการนำพอลิเมอร์ที่มีลักษณะทางเคมีเหมือนกับพอลิเมอร์ที่จะทำการเบลนด์ มาทำการดัดแปรโมเลกุลโดยการเพิ่มหมู่ฟังก์ชันที่ว่องไวต่อปฏิกิริยาเคมีลงบนโมเลกุล ซึ่งหมู่ฟังก์ชันที่เพิ่มเข้าไปจะสามารถเกิดปฏิกิริยาเคมีกับพอลิเมอร์ชนิดที่สองที่นำมาทำการเบลนด์ได้ การดัดแปรโมเลกุลทำได้โดยการทำปฏิกิริยาในปฏิกรณ์เคมี (Reactor) ซึ่งมักจะทำในสภาวะที่เป็นสารละลายหรือทำโดยการใช้กระบวนการเอ็กซ์ทรูดดัดแปรโมเลกุลในสภาวะหลอม



รูปที่ 2.9 แผนภาพแสดงการประสานของโคพอลิเมอร์แบบกราฟต์และบล็อกในการเพิ่มความเข้ากันได้ (Bonner and Hope, 1993 อ้างถึงโดย เจริญ, 2546)

### 2.5.3 รีเอกทีฟเบลนด์ (Reactive blending)

เทคนิครีเอกทีฟเบลนด์ จะเตรียมโดยการปรับสภาวะให้พอลิเมอร์ที่นำมาเบลนด์ให้เกิดปฏิกิริยาระหว่างโมเลกุลต่างชนิดในสภาวะหลอม (Melt blending) เทคนิคนี้ใช้ในการผลิตพอลิเมอร์ในเชิงพาณิชย์หลายชนิด เช่น การเตรียมพอลิเมอร์เบลนด์จากพอลิเอไมด์กับยางเอทิลีนโพรพิลีน ที่มีการตัดแปรรวมด้วยมาลิกแอนไฮไดรด์ ทำให้เกิดปฏิกิริยาระหว่างหมู่อะมิโนของพอลิเอไมด์กับหมู่คาร์บอนิลอิสระบนโมเลกุลของยางเอทิลีนโพรพิลีน

### 2.6 งานวิจัยที่เกี่ยวข้อง

ยางรีเคลมเป็นวัตถุดิบยางในอุตสาหกรรมการผลิตผลิตภัณฑ์ยางประเภทหนึ่ง มีลักษณะแบบกึ่งของแข็งและของเหลว มีส่วนของสารตัวเติม น้ำมัน และสารวัลคาไนซ์อยู่ภายใน รวมถึงมีการเชื่อมขวางระหว่างสายโซ่โมเลกุลคงเหลืออยู่บางส่วน ในการใช้งานโดยทั่วไปมักนำยางรีเคลมมาเบลนด์ร่วมกับยางหรือเทอร์โมพลาสติก สมบัติของพอลิเมอร์เบลนด์ที่มียางรีเคลมเป็นองค์ประกอบจะขึ้นอยู่กับปัจจัยต่างๆ เช่น องค์ประกอบของยางรีเคลม ความเข้ากันได้ของยางรีเคลมกับวัสดุใหม่ ปริมาณของยางรีเคลม และระบบวัลคาไนซ์ เป็นต้น

#### 2.6.1 กระบวนการรีเคลม

กระบวนการรีเคลม เป็นกระบวนการที่เปลี่ยนสภาพยางวัลคาไนซ์หรือยางเทอร์โมเซตให้มีความสามารถในการแปรรูปและสามารถวัลคาไนซ์ได้อีกครั้ง โดยการทำให้พันธะเชื่อมขวางระหว่างโซ่โมเลกุลยางวัลคาไนซ์นั้นขาดออกด้วยการใช้แรงเชิงกลร่วมกับความร้อน และ/หรือปฏิกิริยาเคมี เป็นต้น (พรพรรณ, 2528) อย่างไรก็ตามในกระบวนการรีเคลมนอกจากพันธะเชื่อมขวางแล้ว ยังมีโซ่โมเลกุลบางส่วนที่สามารถขาดออกได้ด้วย เป็นผลให้ยางรีเคลมที่นำมาวัลคาไนซ์ใหม่มีค่าความ

119  
2560

ต้านทานต่อแรงดึง ความสามารถในการยืดจนขาด ความกระด้างตัว และความต้านทานการสึกหรอต่ำกว่ายางวัลคาไนซ์ทั่วไป (พรพรรณ, 2528) ตัวอย่างงานวิจัยที่ศึกษากระบวนการรีไซเคิล เช่น De *et al.* (2005) ได้ศึกษาการเตรียมยางรีไซเคิลจากยางครัมป์ (Crumb rubber) ที่ได้จากล้อรถยนต์เก่า โดยเตรียมยางรีไซเคิลบนเครื่องบดผสมสองลูกกลิ้งที่อุณหภูมิห้อง แปรเวลาการบดผสม 20-40 นาที และแปรปริมาณสารช่วยรีไซเคิล (Reclaiming agent) ชนิด Tetramethyl thiuram disulfide (TMTD) ปริมาณ 1.5-3.25 phr โดยใช้น้ำมันสปีนเดิลคิงที่ 10 มิลลิลิตร ต่อยาง 100 กรัม นำยางรีไซเคิลที่ได้มาวัลคาไนซ์ใหม่ที่อุณหภูมิ 160°C จากการศึกษาพบว่าการใช้สารช่วยรีไซเคิลที่ปริมาณ 2.75 phr ร่วมกับการบดผสม 40 นาที เป็นสภาวะการเตรียมยางรีไซเคิลที่ทำให้ยางรีไซเคิลวัลคาไนซ์มีสมบัติเชิงกลโดยรวม ได้แก่ ความต้านทานต่อแรงดึง ความสามารถในการยืดจนขาด โมดูลัส และความแข็งที่ดีที่สุด ต่อมา อัญชลี (2551) ได้ศึกษาการเตรียมยางรีไซเคิลจากยางครัมป์ที่ได้จากผิวหน้ายางล้อรถบรรทุกในกระบวนการหล่อตอกด้วยกระบวนการทางกลร่วมกับการใช้สารช่วยรีไซเคิลบนเครื่องบดผสมสองลูกกลิ้งที่อุณหภูมิบดผสมเริ่มต้น 40°C ทำการแปรชนิดสารช่วยรีไซเคิล 4 ชนิด ได้แก่ Tetramethyl thiuram monosulfide (TMTM), TMTD, Dipentamethylene thiuramtetrasulfide (DPTS) และ Mercaptobenzothiazole disulfide (MBTS) แปรปริมาณสารช่วยรีไซเคิลในช่วง 0-2 เปอร์เซ็นต์โดยน้ำหนักของยางครัมป์ แปรระยะเวลาการบดผสมที่ 40 และ 120 นาที และนำยางรีไซเคิลที่ได้กลับมาวัลคาไนซ์ใหม่ที่อุณหภูมิ 142°C ผลการศึกษาพบว่าการใช้ MBTS ที่ปริมาณ 0.5 เปอร์เซ็นต์โดยน้ำหนักของยางครัมป์ ที่ระยะเวลาการบดผสม 40 นาที จะให้ยางรีไซเคิลวัลคาไนซ์ที่มีสมบัติเชิงกล ได้แก่ ความต้านทานต่อแรงดึง ความสามารถในการยืดจนขาด 100% โมดูลัส และความแข็ง ที่ดีที่สุด การเพิ่มเวลาในการบดผสมเป็น 120 นาที จะทำให้สมบัติเชิงกลดังกล่าวของยางรีไซเคิลวัลคาไนซ์มีแนวโน้มลดลง นอกจากนี้ในการศึกษาของ ปฎิญา (2556) ได้ศึกษาการเตรียมยางรีไซเคิลจากยางครัมป์ที่ได้จากผิวหน้ายางล้อรถบรรทุกในกระบวนการหล่อตอกด้วยกระบวนการทางกลร่วมกับการใช้สารช่วยรีไซเคิลที่อุณหภูมิ 60°C และทำการแปรปริมาณน้ำมันสปีนเดิล (Spindle oil) ที่ 0-30 phr พบว่ายางรีไซเคิลวัลคาไนซ์ ที่ใช้อุณหภูมิวัลคาไนซ์ 160°C จะมีค่าความต้านทานต่อแรงดึง ความสามารถในการยืดจนขาด และความต้านทานต่อการฉีกขาดเพิ่มสูงขึ้นตามปริมาณน้ำมันจนถึงที่ 5 phr การใช้ปริมาณน้ำมันมากกว่านี้จะมีผลให้สมบัติดังกล่าวลดลงตามปริมาณน้ำมันที่มากขึ้น

### 2.6.2 การใช้ยางรีไซเคิลเป็นองค์ประกอบเบลนด์

การใช้งานยางรีไซเคิลในปัจจุบันค่อนข้างมีข้อจำกัดเนื่องจากยางรีไซเคิลมีสมบัติเชิงกลที่ค่อนข้างต่ำ โดยทั่วไปจะนิยมใช้ยางรีไซเคิลเติมลงในยางคอมพาวด์เพื่อลดต้นทุนการผลิตผลิตภัณฑ์ยาง ทั้งนี้เนื่องจากยางรีไซเคิลมีราคาถูกเมื่อเทียบกับวัตถุดิบยางอื่นๆ ประกอบกับการใช้งานยาง

รีเคลมยังมีข้อได้เปรียบบางประการเช่น ช่วยให้เพิ่มอัตราการผลิต ลดการบวมพอง (Die swell) ในการขึ้นรูปผลิตภัณฑ์โดยกระบวนการอัดรีด (Extrusion) เนื่องจากยางรีเคลมมีพันธะเชื่อมขวางคงเหลืออยู่บางส่วน เป็นผลให้ยางคอมพาวนด์มีความยืดหยุ่นน้อยลง จึงสามารถได้ชิ้นงานที่มีขนาดแน่นอน (วารสาร, 2552) เป็นต้น งานวิจัยที่ศึกษาสมบัติของพอลิเมอร์เบลนด์ที่มีองค์ประกอบของยางรีเคลม เช่น Sombatsompop and Kumnuantip (2003) ได้ศึกษาอิทธิพลของปริมาณยางรีเคลมในยางเบลนด์ระหว่างยางธรรมชาติกับยางรีเคลม จากการทดสอบสมบัติของยางคอมพาวนด์พบว่าค่าพลาสติกซิตี และค่าความหนืดเฉือน มีแนวโน้มเพิ่มขึ้นตามปริมาณยางรีเคลมที่เพิ่มขึ้น ทั้งนี้เนื่องจากผลของเคมีค่าที่เป็นองค์ประกอบของยางรีเคลม และในการศึกษาสมบัติของยางวัลคาไนซ์พบว่ามอดูลัส ความแข็ง และปริมาณพันธะเชื่อมขวางของยางเบลนด์ มีแนวโน้มเพิ่มขึ้นตามการเพิ่มปริมาณยางรีเคลม เนื่องจากในยางรีเคลมมีเคมีค่าซึ่งเป็นสารตัวเติมเสริมแรง และการมีพันธะเชื่อมขวางที่คงอยู่ในยางรีเคลมซึ่งไปขัดขวางการเคลื่อนที่ของสายโซ่โพลิเมอร์ ในขณะที่ยังมีความต้านทานต่อแรงดึง ความสามารถในการยืดจนขาด และค่าความต้านทานต่อการฉีกขาด มีแนวโน้มลดลงตามการเพิ่มปริมาณยางรีเคลม ซึ่งเป็นผลมาจากความเป็นเนื้อเดียวกันของยางเบลนด์จากยางธรรมชาติและยางรีเคลมลดลงเมื่อมีปริมาณยางรีเคลมในองค์ประกอบเบลนด์เพิ่มมากขึ้น รวมถึงการเกิดการรวมตัวเป็นกลุ่มก้อนของยางรีเคลมเพิ่มขึ้น นอกจากนี้ในการศึกษาของ Kumnuantip and Sombatsompop (2003) แสดงให้เห็นอีกว่าการเพิ่มสัดส่วนยางรีเคลมในยางเบลนด์ระหว่างยางธรรมชาติและยางรีเคลมมีผลทำให้แนวโน้มพีคของค่าแทนเจนต์สูญเสียเลื่อนไปที่อุณหภูมิสูงขึ้นและมีค่าแทนเจนต์สูญเสียสูงสุดลดลงตามปริมาณยางรีเคลมที่เพิ่มขึ้น เนื่องจากเคมีค่าที่อยู่ในยางรีเคลม โดยเคมีค่าเป็นสารที่มี loss angle ต่ำมาก การผสมยางรีเคลมลงในยางเบลนด์จะทำให้ยางเบลนด์มีค่าแทนเจนต์สูญเสียลดลงได้ ต่อมา Tantayanon and Juikham (2004) ศึกษาการแปรอัตราส่วนระหว่างยางรีเคลมกับพอลิโพรพิลีนที่อัตราส่วนเท่ากับ 20/80, 25/75, 30/70, 35/65 และ 40/60 ส่วนโดยน้ำหนัก พบว่าความต้านทานต่อการกระแทกมีแนวโน้มเพิ่มขึ้นตามการเพิ่มปริมาณยางรีเคลม เนื่องจากยางรีเคลมช่วยในการดูดซับแรงได้มากขึ้น ร่วมกับการเกิดพันธะเชื่อมขวางในเฟสยางทำให้มีความแข็งแรงเพิ่มขึ้นเป็นผลให้ความสามารถในการรับแรงตีขึ้น ที่ระดับสัดส่วนของยางรีเคลมมากกว่า 30 ส่วนโดยน้ำหนักในองค์ประกอบเบลนด์ ความต้านทานต่อการกระแทกมีแนวโน้มลดลงตามปริมาณสัดส่วนยางรีเคลมที่มากขึ้น ซึ่งเป็นผลมาจากปริมาณเคมีค่าจากยางรีเคลมเพิ่มมากขึ้น ทำให้เคมีค่าเกิดการแยกชั้นออกมา (Layer like structure) ส่งผลให้ความต่อเนื่องของเฟสลดลงทำให้พอลิเมอร์เบลนด์มีความต้านทานต่อการกระแทกลดลงต่อมา Farahani *et al.* (2006) ศึกษาความหนืดมูนนี่ (Mooney viscosity) และสมบัติเชิงกลของยางเบลนด์ระหว่างธรรมชาติกับยางรีเคลม โดยแปรอัตราส่วนการเบลนด์เท่ากับ 100/0, 75/25, 50/50, 25/75 และ 0/100 ส่วนโดยน้ำหนัก พบว่าความหนืดมูนนี่ของยางเบลนด์มีค่าต่ำกว่าความหนืดมูนนี่ของยาง

ธรรมชาติเนื่องจากยางรีเคลมมีน้ำหนักโมเลกุลต่ำจากผลของการตัดขาดสายโซ่ในระหว่างกระบวนการรีเคลม และความหนืดมูนนี้ของยางเบลนด์จะมีค่าเพิ่มขึ้นตามปริมาณยางรีเคลมที่อยู่ในยางเบลนด์ จากผลของสารตัวเติมในยางรีเคลมและความไม่เข้ากันระหว่างเฟสในยางเบลนด์ ขณะที่สมบัติเชิงกลของยางเบลนด์ ได้แก่ ความต้านทานต่อแรงดึง ความสามารถในการยืดจนขาด ความต้านทานต่อการล้า และความกระด้างตัว มีแนวโน้มลดลงตามปริมาณสัดส่วนยางรีเคลมที่เพิ่มขึ้น ในขณะที่ค่ามอดูลัส ความแข็ง และการผิดรูปเนื่องจากการกด มีแนวโน้มเพิ่มขึ้นตามปริมาณสัดส่วนยางรีเคลมที่มากขึ้น ซึ่งเกี่ยวข้องกับผลของน้ำหนักโมเลกุลยางรีเคลมที่ต่ำ การมีสารตัวเติมและการเชื่อมขวางภายในโมเลกุลของยางรีเคลมบางส่วน จึงทำให้ยางเบลนด์เกิดการแยกเฟสจากผลของความไม่เข้ากันขององค์ประกอบ นอกจากนี้ในงานวิจัยของ Mandal *et al.* (2014) ได้ศึกษาสมบัติเชิงกล และสมบัติเชิงกลพลวัตของยางเบลนด์ระหว่างยางธรรมชาติกับยางรีเคลม โดยแปรอัตราส่วนการเบลนด์ระหว่างยางธรรมชาติกับยางรีเคลมที่ 100/0, 80/20, 70/30, 60/40 และ 50/50 ส่วนโดยน้ำหนัก ในการศึกษาสมบัติของยางวัลคาไนซ์พบว่าค่าความต้านทานต่อแรงดึง และความสามารถในการยืดจนขาด มีแนวโน้มลดลงตามปริมาณสัดส่วนยางรีเคลมที่เพิ่มมากขึ้น เนื่องจากในยางรีเคลมจะมีส่วนพันธะเชื่อมขวางเป็นองค์ประกอบ ทำให้เมื่อนำยางรีเคลมมาเบลนด์ร่วมกับยางธรรมชาติ ส่วนของพันธะเชื่อมขวางที่อยู่ในยางรีเคลมจะทำให้ยางรีเคลมไม่สามารถกระจายตัวอย่างต่อเนื่องในยางธรรมชาติได้ และส่วนของพันธะเชื่อมขวางในยางรีเคลมเป็นจุดอ่อนแอในการส่งผ่านแรงไปยังเฟสยางธรรมชาติทำให้ความต้านทานต่อแรงดึง และความสามารถในการยืดจนขาดมีค่าด้อยลง ขณะที่ความแข็ง และมอดูลัสมีแนวโน้มเพิ่มขึ้นตามปริมาณสัดส่วนยางรีเคลมที่เพิ่มมากขึ้น แสดงถึงการมีปริมาณพันธะเชื่อมขวางในยางเบลนด์วัลคาไนซ์เพิ่มมากขึ้นนอกเหนือจากพันธะเชื่อมขวางเดิมที่อยู่ในยางรีเคลม และการที่มีเขม่าดำทำให้ยางเบลนด์วัลคาไนซ์มีความแข็งในโมเลกุลเพิ่มขึ้น ในการศึกษาสมบัติเชิงกลพลวัตพบว่าที่อัตราส่วนการเบลนด์ระหว่างยางธรรมชาติกับยางรีเคลมเท่ากับ 80/20 ให้ค่ามอดูลัสสะสม มอดูลัสสูญเสีย และค่าแทนเจนต์สูญเสียที่สูงที่สุด

### 2.6.3 ระบบวัลคาไนซ์ของพอลิเมอร์เบลนด์ที่มียางรีเคลมเป็นองค์ประกอบ

การวัลคาไนซ์ยางเบลนด์ที่มีองค์ประกอบของยางรีเคลมจะแตกต่างไปจากกรณีการใช้ยางใหม่ที่ไม่ผสมยางรีเคลม มีความจำเป็นต้องพิจารณาการใช้สารในระบบวัลคาไนซ์ที่เหมาะสม (วรภรณ์, 2552) งานวิจัยที่ศึกษาผลของการวัลคาไนซ์ขั้นต่อสมบัติของพอลิเมอร์เบลนด์ที่มียางรีเคลมเป็นองค์ประกอบ เช่น Sombatsompop and Kumnuantip (2003) ได้ศึกษาอิทธิพลของปริมาณยางรีเคลมในยางเบลนด์ระหว่างยางธรรมชาติกับยางรีเคลม ในการทดสอบพฤติกรรมการวัลคาไนซ์ของยางคอมพาวนด์พบว่าอัตราการวัลคาไนซ์มีแนวโน้มเพิ่มขึ้น เนื่องจากในยางรีเคลมมีสารวัลคาไนซ์และสารตัวเร่งหลงเหลืออยู่ ในขณะที่เวลาสกอซมีแนวโน้มลดลงตามปริมาณยางรีเคลม

ที่เพิ่มขึ้น แสดงให้เห็นว่ายางรีเคลมยังมีส่วนที่่องไวในการเกิดพันธะเชื่อมขวางเหลืออยู่ สอดคล้องกับงานวิจัยของ Mandal *et al.* (2014) ซึ่งศึกษาพฤติกรรมการวัลคาไนซ์ และปริมาณพันธะเชื่อมขวางของยางเบลนด์ระหว่างยางธรรมชาติกับยางรีเคลม ที่อัตราส่วนการเบลนด์แตกต่างกัน พบว่าค่าทอร์กสูงสุด ดัชนีอัตราการวัลคาไนซ์ และความหนาแน่นพันธะเชื่อมขวางของยางเบลนด์ จะมีแนวโน้มเพิ่มขึ้นตามปริมาณสัดส่วนของยางรีเคลมที่เพิ่มมากขึ้น ขณะที่เวลาการวัลคาไนซ์ลดลง เป็นผลมาจากปริมาณพันธะเชื่อมขวางที่คงอยู่ในยางรีเคลมซึ่งเพิ่มขึ้นตามปริมาณยางรีเคลม ต่อมา Tantayanon and Juikham (2004) ได้ศึกษาเปรียบเทียบการใช้ยางรีเคลมและยางครีမ်เบลนด์ร่วมกับพอลิโพรพิลีนเพื่อปรับปรุงความต้านทานต่อการกระแทกของพอลิโพรพิลีน ร่วมกับการศึกษาการใช้สารวัลคาไนซ์ในพอลิเมอร์เบลนด์ ผลการศึกษาพบว่าการใช้ยางรีเคลมจะช่วยปรับปรุงสมบัติความต้านทานต่อการกระแทกของพอลิโพรพิลีนได้ดีกว่ายางครีမ် และพบว่าการใช้สารวัลคาไนซ์ทำให้พอลิเมอร์เบลนด์มีค่าความต้านทานต่อการกระแทกสูงกว่ากรณีที่ไม่ใช้สารวัลคาไนซ์ โดยการใช้สารวัลคาไนซ์ผสมระหว่างมาลิกอิกแอนไฮไดรด์ร่วมกับเปอร์ออกไซด์จะให้พอลิเมอร์เบลนด์ที่มีสมบัติความต้านทานต่อการกระแทกสูงที่สุด ทั้งนี้เนื่องจากเกิดการกราฟต์ของมาลิกอิกแอนไฮไดรด์บนโมเลกุลของพอลิโพรพิลีน และยาง ทำให้เกิดอันตรกิริยาระหว่างเฟสของยางรีเคลมกับพอลิโพรพิลีนเพิ่มขึ้น โดยสารวัลคาไนซ์ทำให้พอลิเมอร์เบลนด์ที่มีสมบัติความต้านทานต่อการกระแทกสูงรองลงมาคือ เปอร์ออกไซด์ กำมะถัน และมาลิกอิกแอนไฮไดรด์ ตามลำดับ ส่วนในงานวิจัยของ Rattanasom *et al.* (2005) ศึกษาอิทธิพลของระบบวัลคาไนซ์กำมะถันแบบปกติ และแบบประสิทธิภาพ ต่อสมบัติเชิงกลและความต้านทานต่อการบ่มเร่งของยางเบลนด์ระหว่างยางธรรมชาติกับยางรีเคลม ผลการศึกษาพบว่ายางเบลนด์ที่วัลคาไนซ์ด้วยระบบกำมะถันแบบปกติมีความแข็ง โมดูลัส และความต้านทานต่อการสึกหรอ สูงกว่ากรณียางเบลนด์ที่วัลคาไนซ์ด้วยระบบกำมะถันแบบประสิทธิภาพ ยกเว้นความสามารถในการยืดจนขาดที่มีค่าต่อยกกว่า เนื่องจากการใช้ระบบกำมะถันแบบปกติจะให้ปริมาณพันธะเชื่อมขวางในยางเบลนด์มากกว่าการใช้ระบบกำมะถันแบบประสิทธิภาพ เพราะระบบกำมะถันแบบปกติจะมีปริมาณกำมะถันที่สามารถเกิดปฏิกิริยาเชื่อมขวางได้มากกว่า ในขณะที่ความต้านทานต่อแรงดึงจะไม่ขึ้นกับระบบวัลคาไนซ์ นอกจากนี้ในการศึกษาความต้านทานต่อการบ่มเร่งของยางเบลนด์ พบว่ายางเบลนด์ที่วัลคาไนซ์ด้วยระบบกำมะถันแบบปกติจะมีความต้านทานต่อการบ่มเร่งที่ต่อยกกว่าการใช้ระบบกำมะถันแบบประสิทธิภาพ เนื่องจากพันธะเชื่อมขวางในการวัลคาไนซ์ด้วยระบบกำมะถันแบบประสิทธิภาพจะเป็นแบบ โมโนซัลฟิดิก และไดซัลฟิดิก ซึ่งจะมีความเสถียรมากกว่าพันธะเชื่อมขวางแบบโพลีซัลฟิดิกในการใช้ระบบกำมะถันแบบปกติ

#### 2.6.4 การใช้ยางรีเคลมเป็นองค์ประกอบเบลนด์ในการเตรียมเทอร์โมพลาสติกวัลคาไนซ์

นอกจากใช้งานยางรีเคลมในการเบลนด์ร่วมกับยางหรือเทอร์โมพลาสติกดังที่กล่าวผ่านมา นี้ ยังมีงานวิจัยที่ศึกษาการใช้ยางรีเคลมเป็นองค์ประกอบเบลนด์ในเทอร์โมพลาสติกวัลคาไนซ์ เช่น ในการศึกษาของ Magioli *et al.* (2010) ได้ศึกษาสมบัติของเทอร์โมพลาสติกวัลคาไนซ์จากการเบลนด์ยางสไตรีนบิวทาไดอีน (Styrene butadiene rubber, SBR) ยางรีเคลม และพอลิพรพิลีน โดยใช้ระบบวัลคาไนซ์เปอร์ออกไซด์ ทำการแปรอัตราส่วนระหว่างไดคิวมีลเปอร์ออกไซด์ (Dicumyl peroxide, DCP) และสารโคเอเจนท์ *N,N*-m-phenylene-bis-maleimide (BMI) และศึกษาเปรียบเทียบสมบัติของเทอร์โมพลาสติกวัลคาไนซ์ที่มีและไม่มียางสไตรีนบิวทาไดอีนเป็นองค์ประกอบเบลนด์ จากผลการศึกษาพบว่า การเพิ่มปริมาณสารโคเอเจนท์ในระบบเปอร์ออกไซด์ ส่งผลให้เทอร์โมพลาสติกวัลคาไนซ์มีค่าความต้านทานต่อแรงดึง ความสามารถในการยืดจนขาด และความแข็งที่เพิ่มสูงขึ้น เนื่องจาก BMI สามารถช่วยในการเพิ่มความเข้ากันได้ระหว่างเฟสของพอลิเมอร์เบลนด์โดยการเกิดปฏิกิริยาระหว่างพันธะคู่ของ BMI กับอนุมูลอิสระในยางรีเคลมและพอลิพรพิลีน และพบว่าสูตรที่มีองค์ประกอบของยางสไตรีนบิวทาไดอีนทำให้เทอร์โมพลาสติกวัลคาไนซ์ที่มีสมบัติเด่นด้านความสามารถในการยืดจนขาด นูรอัสวาริ (2557) พบว่าการใช้ยางรีเคลมเป็นองค์ประกอบในการเตรียมเทอร์โมพลาสติกวัลคาไนซ์จากการเบลนด์ระหว่างยางธรรมชาติ ยางรีเคลม และพอลิพรพิลีน มีผลทำให้ปริมาณพันธะเชื่อมขวางในเทอร์โมพลาสติกวัลคาไนซ์มีค่าลดลงเมื่ออัตราส่วนของยางรีเคลมเพิ่มขึ้น ซึ่งเกิดจากการใช้สารวัลคาไนซ์ในปริมาณคงที่แทนที่จะไปวัลคาไนซ์โมเลกุลยางธรรมชาติเพียงอย่างเดียว สารวัลคาไนซ์บางส่วนสามารถเข้าไปวัลคาไนซ์ยางรีเคลมได้ด้วยทำให้ระดับการวัลคาไนซ์ในยางธรรมชาติลดลง เป็นผลให้เทอร์โมพลาสติกวัลคาไนซ์มีค่ามอดุลัส ความต้านทานต่อแรงดึง ความสามารถในการยืดจนขาด และสมบัติการไหลลดลง เนื่องจากความแตกต่างระหว่างเฟสและความเข้ากันได้ขององค์ประกอบ รวมถึงการที่ยางรีเคลมมีน้ำหนักโมเลกุลต่ำเนื่องจากโมเลกุลถูกตัดในกระบวนการเตรียมยางรีเคลม ในขณะที่ค่าความแข็งเพิ่มขึ้นตามปริมาณสัดส่วนของยางรีเคลมที่มากขึ้น และในการศึกษาอิทธิพลของระดับของหมู่ไอพอกไซด์ในยางธรรมชาติไอพอกไซด์ต่อสมบัติของเทอร์โมพลาสติกวัลคาไนซ์จากการเบลนด์ระหว่างยางธรรมชาติไอพอกไซด์ ยางรีเคลม และพอลิพรพิลีน โดยแปรระดับของหมู่ไอพอกไซด์ในยางธรรมชาติไอพอกไซด์เท่ากับ 25 และ 50 เปอร์เซนต์โมล พบว่าเทอร์โมพลาสติกวัลคาไนซ์มีค่าความต้านทานต่อแรงดึง ความสามารถในการยืดจนขาด และสมบัติการไหลมีค่าลดลง ตามปริมาณหมู่ไอพอกไซด์ที่เพิ่มมากขึ้น ซึ่งเป็นผลมาจากความเข้ากันได้ระหว่างเฟสของยางธรรมชาติ ยางรีเคลม และพอลิพรพิลีนที่ลดลง เนื่องจากยางธรรมชาติไอพอกไซด์มีสภาพขั้วที่แตกต่างจากเฟสยางรีเคลมและพอลิพรพิลีน

### 2.6.5 การปรับปรุงความเข้ากันได้ของพอลิเมอร์เบลนด์ที่มียางรีเคลมเป็นองค์ประกอบ

ในการปรับปรุงความเข้ากันได้ของพอลิเมอร์เบลนด์ที่มียางรีเคลมเป็นองค์ประกอบ โดยทั่วไปนิยมทำโดยการตัดแปรพื้นผิวของยางรีเคลมและการใช้สารเพิ่มความเข้ากันได้ เพื่อให้มีหมู่ฟังก์ชันที่เข้ากันได้กับคู่เบลนด์ได้มากขึ้น ตัวอย่างงานวิจัยที่ศึกษาในหัวข้อนี้ เช่น Shanmugharaj *et al.* (2007) ศึกษาการเตรียมพอลิเมอร์เบลนด์จากการเบลนด์ระหว่างยางรีเคลมกับพอลิโพรพิลีนโดยใช้สารเพิ่มความเข้ากันได้ คือ พอลิโพรพิลีนกราฟต์มาลิกอิกแอนไฮไดรด์ (Polypropylene grafted maleic anhydride, PP-g-MA) ทำการศึกษาเปรียบเทียบระหว่างการใช้ยางรีเคลมที่ไม่ตัดแปรพื้นผิว และยางรีเคลมที่ตัดแปรพื้นผิวด้วยอัลลิลเอมีน (Allylamine) พบว่าพอลิเมอร์เบลนด์ที่มีองค์ประกอบของยางรีเคลมตัดแปรพื้นผิวจะมีความต้านทานต่อแรงดึง และความสามารถในการยึดจนขาดสูงกว่ากรณีของพอลิเมอร์เบลนด์ที่ใช้ยางรีเคลมที่ไม่ตัดแปรพื้นผิว ทั้งนี้เป็นผลมาจากการเพิ่มขึ้นของความเข้ากันได้ระหว่างยางรีเคลมตัดแปรพื้นผิวกับพอลิโพรพิลีน เนื่องจากยางรีเคลมที่ตัดแปรพื้นผิวด้วยอัลลิลเอมีนทำให้มีหมู่เอมีนอยู่ที่ผิว ซึ่งหมู่เอมีนสามารถเกิดอันตรกิริยากับมาลิกอิกแอนไฮไดรด์จากสารเพิ่มความเข้ากันได้ PP-g-MA ทำให้ยางรีเคลมที่ตัดแปรพื้นผิวด้วยอัลลิลเอมีนถูกเคลือบด้วย PP-g-MA ซึ่งช่วยในการเพิ่มความเข้ากันได้ของพอลิเมอร์เบลนด์ และปรับปรุงการกระจายตัวของยางรีเคลมในเฟสพอลิโพรพิลีน ต่อมา Zhang *et al.* (2009b) ศึกษาการตัดแปรพื้นผิวยางรีเคลมด้วยน้ำมันดิน (Bitumen) ร่วมกับการใช้สารเพิ่มความเข้ากันได้ 3 ชนิดคือ styrene-ethylene/butylene-styrene (SEBS), Maleic anhydride grafted styrene-ethylene/butylene-styrene (SEBS-g-MA) และ Maleic anhydride grafted Ethylene propylene diene (EPDM-g-MA) ในการเตรียมพอลิเมอร์เบลนด์จากการเบลนด์ระหว่างยางรีเคลมกับพอลิโพรพิลีน พบว่าพอลิเมอร์เบลนด์ที่มีองค์ประกอบของยางรีเคลมที่ตัดแปรพื้นผิวด้วยน้ำมันดิน จะมีค่าความสามารถในการยึดจนขาดและความเสถียรต่อความร้อนที่สูงกว่ากรณีการใช้ยางรีเคลมที่ไม่ได้ตัดแปรพื้นผิว เนื่องจากน้ำมันดินสามารถเกิดปฏิกิริยากับกำมะถันในยางรีเคลม ทำให้ลดโอกาสที่พันธะเชื่อมขวางที่ถูกตัดขาดสามารถกลับมารวมตัวกันใหม่ จึงทำให้ยางรีเคลมมีพันธะเชื่อมขวางน้อยลง และมีโอกาสที่สายโซ่โมเลกุลสามารถเคลื่อนไหวได้มากขึ้น (เกิดการเกี่ยวพันของโมเลกุลเพิ่มมากขึ้น) และในการศึกษาผลของการใช้สารเพิ่มความเข้ากันได้ร่วมกับยางรีเคลมที่ตัดแปรพื้นผิวด้วยน้ำมันดินพบว่าการใช้สารเพิ่มความเข้ากันได้จะช่วยปรับปรุงความสามารถในการยึดจนขาด และความเสถียรต่อความร้อนของพอลิเมอร์เบลนด์ได้ โดยสามารถเรียงลำดับประสิทธิภาพในการปรับปรุงสมบัติดังกล่าวจากมากไปน้อย ดังนี้ SEBS>SEBS-g-MA>EPDM-g-MA เนื่องจากจะมีส่วนของเอทิลีนบิวทาไดอีนที่สามารถเข้ากับพอลิโพรพิลีนได้ นอกจากนี้ยังมีรายงานวิจัยที่ทำการปรับปรุงความเข้ากันได้ของพอลิเมอร์เบลนด์ที่มีองค์ประกอบของยางรีเคลมโดยใช้รังสี เช่น การศึกษาของ Zhang *et al.* (2009a) ได้ศึกษาการใช้พลาสมาในการตัดแปรพื้นผิวของยางรีเคลมเพื่อเพิ่มความเข้ากันได้

ระหว่างยางรีเคลมกับยางไนไตรล์ พบว่ายางรีเคลมมีหมู่ไฮดรอกซิล (-OH groups) ปรากฏอยู่บนพื้นผิวภายหลังจากทำทรีทเมนต์ด้วยพลาสมา (Plasma treatment) และในการทดสอบสมบัติเชิงกลของยางเบลนด์พบว่าการใช้ยางรีเคลมที่ตัดแปรพื้นผิว ค่ามอดุลัส ความต้านทานต่อแรงดึง และความต้านทานต่อการฉีกขาด สูงกว่ากรณียางเบลนด์ที่ผสมยางรีเคลมที่ไม่ตัดแปรพื้นผิว เนื่องจากยางรีเคลมที่ตัดแปรพื้นผิวจะมีออกซิเจนที่ผิวของยางรีเคลมซึ่งเป็นหมู่ฟังก์ชันที่มีขั้ว ทำให้เกิดแรงดึงดูดระหว่างผิวของยางรีเคลมตัดแปรพื้นผิวและยางไนไตรล์

Prince of Songkla University  
Pattani Campus

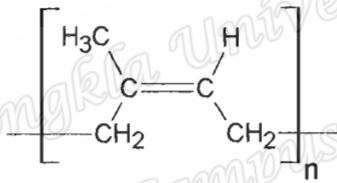
### บทที่ 3

#### สารเคมี อุปกรณ์ และวิธีการทดลอง

##### 3.1 สารเคมี

###### 3.1.1 ยางแผ่นรมควัน (Ribbed smoke sheet, RSS#3)

ใช้สำหรับเบลนด์ร่วมกับยางรีเคลมและโพรพิลีนเอทิลีนโคพอลิเมอร์ เพื่อเตรียมเทอร์โมพลาสติกวัลคาไนซ์ ได้จากการนำน้ำยางสดมาจับตัวเป็นก้อนแล้วนำไปรีดเป็นแผ่นสี่เหลี่ยม จากนั้นนำไปรมควันที่อุณหภูมิประมาณ 45-46°C มีลักษณะเป็นแผ่นสี่เหลี่ยมสีน้ำตาลเข้ม ความหนาแน่น 0.92 g/cm<sup>3</sup> ผลิตโดยชมรมสหกรณ์สวนยาง อำเภอโคกโพธิ์-แม่ลาน จังหวัดปัตตานี มีสูตรโครงสร้างแสดงดังในรูปที่ 3.1



รูปที่ 3.1 สูตรโครงสร้างของยางธรรมชาติ

###### 3.1.2 ยางรีเคลมชนิดแผ่น (Reclaimed rubber, RR)

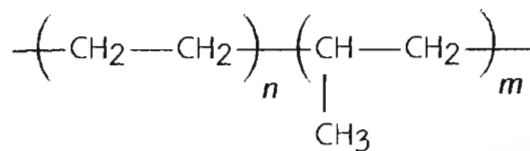
ใช้สำหรับเบลนด์ร่วมกับยางธรรมชาติและโพรพิลีนเอทิลีนโคพอลิเมอร์ เพื่อเตรียมเทอร์โมพลาสติกวัลคาไนซ์ โดยยางรีเคลมที่เลือกใช้เป็นยางรีเคลมชนิดแผ่น มีลักษณะเป็นแผ่นบางๆ ซ้อนกันหลายๆชั้นจนมีลักษณะเป็นก้อนสีดำ มีความหนาแน่น 1.10 g/cm<sup>3</sup> ผลิตโดยบริษัท ยูเนี่ยนพัฒนาจิก จำกัด จังหวัดสมุทรปราการ ประเทศไทย

###### 3.1.3 น้ำยางธรรมชาติชั้นชนิดแอมโมเนียมสูง (High ammonia concentrated natural rubber latex, HA)

ใช้สำหรับเตรียมยางธรรมชาติอิพอกไซด์ มีปริมาณเนื้อยางแห้ง (Dry rubber content, DRC) โดยประมาณ 60% มีปริมาณของแข็งทั้งหมดในยาง (Total solid content, TSC) 61.65% ผลิตโดยบริษัท ยะลาลาเท็กซ์ จำกัด จังหวัดยะลา ประเทศไทย

### 3.1.4 โพรพิลีนเอทิลีนโคพอลิเมอร์ (Propylene-ethylene copolymer, PEC)

ใช้สำหรับเบลนด์ร่วมกับยางธรรมชาติและยางรีเคลม เพื่อเตรียมเทอร์โมพลาสติกวัลคาไนซ์ โดยในงานวิจัยนี้ใช้โพรพิลีนเอทิลีนโคพอลิเมอร์เกรด Versify®3300 มีลักษณะเป็นเม็ดใส ไม่มีสี มีค่าดัชนีการไหล (Melt Flow Index, MFI) เท่ากับ 8 g/10min (230°C, 2.16 kg) ความหนาแน่นเท่ากับ 0.869 g/cm<sup>3</sup> มีปริมาณเอทิลีน (Ethylene content) 12% และมีปริมาณผลึก 11% ผลิตโดยบริษัท Dow Chemical Company ประเทศสหรัฐอเมริกา มีสูตรโครงสร้างแสดงดังในรูปที่ 3.2



รูปที่ 3.2 สูตรโครงสร้างของโพรพิลีนเอทิลีนโคพอลิเมอร์

### 3.1.5 กรดฟอร์มิก (Formic acid)

ใช้ร่วมกับไฮโดรเจนเปอร์ออกไซด์ในการเตรียมกรดเปอร์ฟอร์มิกในปฏิกิริยาการเตรียมยางธรรมชาติอีพอกไซด์ มีสถานะเป็นของเหลว สูตรโมเลกุลคือ HCOOH มีความเข้มข้น 94 %w/w น้ำหนักโมเลกุล 46.03 g/mol ความหนาแน่น 1.22 g/cm<sup>3</sup> ผลิตโดยบริษัท Riedel De Haen ประเทศเยอรมัน

### 3.1.6 ไฮโดรเจนเปอร์ออกไซด์ (Hydrogen peroxide)

ใช้ร่วมกับกรดฟอร์มิกสำหรับการเตรียมกรดเปอร์ฟอร์มิกในปฏิกิริยาการเตรียมยางธรรมชาติอีพอกไซด์ มีสถานะเป็นของเหลว สูตรโมเลกุลคือ H<sub>2</sub>O<sub>2</sub> มีความเข้มข้น 50 %w/w น้ำหนักโมเลกุล 34.0 g/mol ความหนาแน่น 1.44 g/cm<sup>3</sup> ผลิตโดยบริษัท Riedel De Haen ประเทศเยอรมัน

### 3.1.7 เทอร์ริก เอ็น 30 (Terric N30)

เป็นสารลดแรงตึงผิวประเภทนอนไอออนิก (Non-ionic surfactant) ซึ่งจัดอยู่ในกลุ่มอัลคิลฟีนอลเอทอกซิเลท (Alkylphenol ethoxylate) มีลักษณะเป็นขี้สีขาวขุ่น pH ประมาณ 6-8 ผลิตโดยบริษัท Huntsman ประเทศออสเตรเลีย

### 3.1.8 เมทานอล (Methanol)

ใช้จับตัวน้ำยางหลังจากปฏิกิริยาออกซิเดชัน มีสถานะเป็นของเหลว สูตรโมเลกุลคือ  $\text{CH}_3\text{OH}$  น้ำหนักโมเลกุล 32.05 g/mol ความหนาแน่น 0.79 g/cm<sup>3</sup> จุดเดือด 64.7°C ผลิตโดยบริษัท J.T Baker ประเทศสหรัฐอเมริกา

### 3.1.9 กรดสเตียริก (Stearic acid)

ใช้เป็นสารกระตุ้นในการวัลคาไนซ์ด้วยระบบกำมะถัน มีสูตรโมเลกุลคือ  $\text{CH}_3(\text{CH}_2)_{16}\text{COOH}$  น้ำหนักโมเลกุล 284.47 g/mol ลักษณะเป็นเกล็ดสีขาวขุ่น มีความหนาแน่น 0.85 g/cm<sup>3</sup> มีจุดหลอมเหลว 69-70°C ผลิตโดยบริษัท Imperial Chemical จำกัด ประเทศไทย

### 3.1.10 ซิงค์ออกไซด์ (Zinc oxide, ZnO)

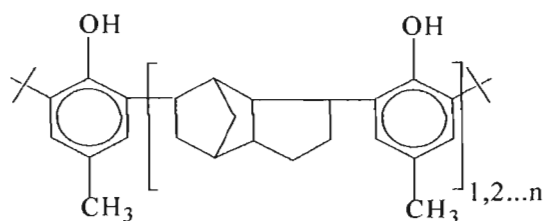
ใช้เป็นสารกระตุ้นในการวัลคาไนซ์ด้วยระบบกำมะถัน เกรดที่ใช้คือ White seal มีน้ำหนักโมเลกุล 81.41 g/mol ลักษณะเป็นผงสีขาว ความหนาแน่น 5.57 g/cm<sup>3</sup> อุณหภูมิสลายตัวที่ 1975°C ผลิตโดยบริษัท Global Chemical จำกัด ประเทศไทย

### 3.1.11 น้ำมันขาว (White oil)

เป็นน้ำมันสำหรับช่วยแปรรูป (Processing aid) โดยเป็นน้ำมันปิโตรเลียมที่องค์ประกอบส่วนใหญ่คือ สารประกอบไฮโดรคาร์บอนชนิดพาราฟินิก และแนฟทานิก เกรดที่ใช้ในงานวิจัยคือ GRADE A มีลักษณะเป็นของเหลวใส มีความหนืดที่อุณหภูมิ 40°C เท่ากับ 18.86 mm<sup>2</sup>/s ความหนาแน่นเท่ากับ 0.87 g/cm<sup>3</sup> ผลิตโดย บริษัท Maoming Fulida Chemical จำกัด ประเทศจีน

### 3.1.12 วิงสเตย์ แอล (Wingstay L<sup>®</sup>)

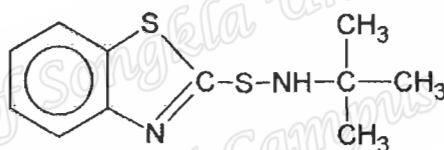
ใช้เป็นสารป้องกันการเสื่อมเนื่องจากการออกซิเดชัน (Antioxidant) จัดอยู่ในกลุ่มอนุพันธ์ของฟีนอล (Phenol derivatives) ชื่อทางเคมีคือ Polymeric sterically hindered phenol มีลักษณะเป็นผงละเอียดสีขาวขุ่น น้ำหนักโมเลกุลเฉลี่ย 650 g/mol มีความหนาแน่น 1.08 g/cm<sup>3</sup> มีจุดหลอมเหลว 115°C ผลิตโดยบริษัท Eliokem. Inc., ประเทศสหรัฐอเมริกา มีสูตรโครงสร้างดังแสดงในรูปที่ 3.3



รูปที่ 3.3 โครงสร้างโมเลกุลของวิงสเตย์ แอล

### 3.1.13 เอ็น เทอเทียร์ บิวทิล-2-เบนโซไทอาซิล ซัลฟีนามิด (N-tert-butyl-2-benzothiazyl sulphenamide, TBBS)

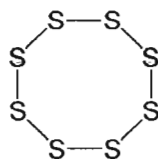
ใช้เป็นสารตัวเร่งปฏิกิริยาการวัลคาไนซ์ด้วยระบบกำมะถัน จัดอยู่ในกลุ่มของซัลฟีนามิด มีสูตรโมเลกุล  $C_{11}H_{14}N_2S_2$  น้ำหนักโมเลกุล 238.37 g/mol มีจุดหลอมเหลว  $105^{\circ}C$  ผลิตโดยบริษัท Flexsys America L.P. ประเทศสหรัฐอเมริกา มีสูตรโครงสร้างดังแสดงในรูปที่ 3.4



รูปที่ 3.4 โครงสร้างโมเลกุลของเอ็น เทอเทียร์ บิวทิล-2-เบนโซไทอาซิล ซัลฟีนามิด

### 3.1.14 กำมะถัน (Sulphur)

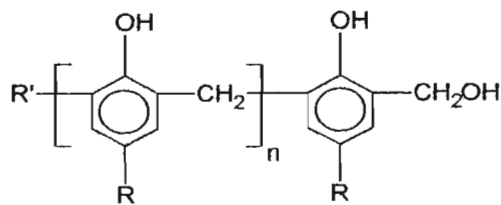
ใช้เป็นสารวัลคาไนซ์ มีสูตรโมเลกุลคือ  $S_8$  ลักษณะเป็นผงสีเหลือง มีจุดหลอมเหลว  $115.21^{\circ}C$  ผลิตโดยบริษัท Siam Chemical จำกัด ประเทศไทย มีสูตรโครงสร้างดังแสดงในรูปที่ 3.5



รูปที่ 3.5 โครงสร้างโมเลกุลของกำมะถัน

### 3.1.15 ไฮดรอกซีเมทิลลอลฟีนอลิกเรซิน (Hydroxymethyl phenolic resin, HR-10518)

ใช้เป็นสารดัดแปรสำหรับยางรีเคลมเพื่อเพิ่มความเข้ากันได้ระหว่างเฟส เป็นสารเคมีในกลุ่มฟีนอลิกเรซินที่มีหมู่เมทิลลอล( $\text{CH}_2\text{OH}$ ) อยู่ในช่วง 6-9% ลักษณะเป็นของแข็งสีเหลืองอำพัน ช่วงจุดหลอมเหลวอยู่ระหว่าง  $60\text{-}70^\circ\text{C}$  มีความถ่วงจำเพาะ 1.05 ผลิตโดยบริษัท Schenectady International Inc. ประเทศสหรัฐอเมริกา มีสูตรโครงสร้างดังแสดงในรูปที่ 3.6



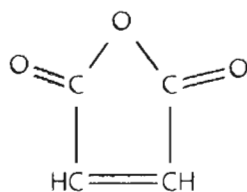
รูปที่ 3.6 โครงสร้างโมเลกุลของไฮดรอกซีเมทิลลอลฟีนอลิกเรซิน

### 3.1.16 สแตนนัสคลอไรด์ไดไฮเดรต (Stannous chloride dihydrate)

ใช้เป็นสารเร่งปฏิกิริยาสำหรับฟีนอลิกเรซินเพื่อดัดแปรยางรีเคลมสำหรับเพิ่มความเข้ากันได้ มีสูตรโมเลกุลคือ  $\text{SnCl}_2 \cdot 2\text{H}_2\text{O}$  มีน้ำหนักโมเลกุล 226.63 g/mol ความหนาแน่น  $2.71 \text{ g/cm}^3$  และมีจุดหลอมเหลว  $37\text{-}38^\circ\text{C}$  ผลิตโดยบริษัท Carlo Erba Reagent ประเทศฝรั่งเศส

### 3.1.17 มาลิกแอนไฮไดรด์ (Maleic anhydride, $\text{C}_4\text{H}_2\text{O}_3$ )

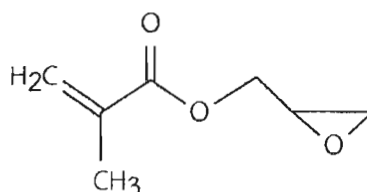
ใช้เป็นสารดัดแปรสำหรับยางรีเคลมเพื่อเพิ่มความเข้ากันได้ระหว่างเฟส เกรดที่ใช้ในงานวิจัยเป็นเกรดวิเคราะห์ (AR-grade) มีความบริสุทธิ์ 99.0% มีลักษณะเป็นเม็ดสีขาวขุ่น น้ำหนักโมเลกุล 98.06 g/mol ความหนาแน่น  $1.48 \text{ g/cm}^3$  ผลิตโดยบริษัท Fluka chemical ประเทศสวิตเซอร์แลนด์ มีสูตรโครงสร้างดังแสดงในรูปที่ 3.7



รูปที่ 3.7 โครงสร้างโมเลกุลมาลิกแอนไฮไดรด์

### 3.1.18 ไกลซิดิลเมทาคริเลต (Glycidyl methacrylate, $C_7H_{10}O_3$ )

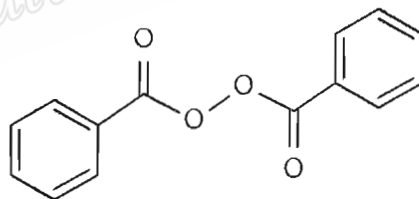
ใช้เป็นสารดัดแปรสำหรับยางรีเคลมเพื่อเพิ่มความเข้ากันได้ระหว่างเฟส เกรดที่ใช้ในงานวิจัยเป็นเกรดวิเคราะห์ (AR-grade) มีความบริสุทธิ์ 97.0% มีลักษณะเป็นของเหลวใสไม่มีสี น้ำหนักโมเลกุล 142.15 g/mol และมีความหนาแน่น 1.07 g/cm<sup>3</sup> ผลิตโดยบริษัท Sigma Aldrich chemistry ประเทศญี่ปุ่น มีสูตรโครงสร้างดังแสดงในรูปที่ 3.8



รูปที่ 3.8 โครงสร้างโมเลกุลไกลซิดิลเมทาคริเลต

### 3.1.19 เบนโซอิลเปอร์ออกไซด์ (Benzoyl peroxide, $C_{14}H_{10}O_4$ )

ใช้เป็นตัวริเริ่มปฏิกิริยาสำหรับมาลิกแอนไฮไดรด์และไกลซิดิลเมทาคริเลตเพื่อดัดแปรยางรีเคลมสำหรับเพิ่มความเข้ากันได้ เบนโซอิลเปอร์ออกไซด์ใช้ในการทดลองมีความบริสุทธิ์ 98.0% ความหนาแน่น 1.33 g/cm<sup>3</sup> ผลิตโดย Fluka chemical Co., Ltd มีสูตรโครงสร้างดังแสดงในรูปที่ 3.9



รูปที่ 3.9 โครงสร้างโมเลกุลเบนโซอิลเปอร์ออกไซด์

### 3.1.20 อะซิโตน (Acetone)

ใช้เป็นตัวทำละลายในการสกัดยางรีเคลมเพื่อหาปริมาณส่วนที่สามารถละลายได้มีลักษณะเป็นของเหลวใสไม่มีสี มีสูตรโมเลกุล คือ  $C_3H_6O$  มีจุดเดือดที่ 56.53°C ผลิตโดยบริษัท Labscan Asia จำกัด ประเทศไทย

### 3.1.21 เตตระไฮโดรฟูแรน (Tetrahydrofuran; THF)

ใช้เป็นตัวทำละลายในการสกัดยางรีเคลมเพื่อหาปริมาณส่วนที่สามารถละลายได้ มีสูตรโมเลกุลคือ  $C_4H_8O$  มีลักษณะเป็นของเหลวใสไม่มีสี มีจุดเดือดเท่ากับ  $66^{\circ}C$  ผลิตโดยบริษัท Labscan Asia จำกัด ประเทศไทย

### 3.1.22 โทลูอีน (Toluene)

ใช้เป็นตัวทำละลายสำหรับทดสอบปริมาณพันธะเชื่อมขวางในยางรีเคลม มีสูตรโมเลกุลคือ  $C_6H_5(CH_3)$  ลักษณะเป็นของเหลวใสไม่มีสี น้ำหนักโมเลกุล  $92.14 \text{ g/mol}$  ความหนาแน่นเท่ากับ  $0.87 \text{ g/cm}^3$  มีค่าพารามิเตอร์การละลายเท่ากับ  $8.9 \text{ cal}^{-1/2} \cdot \text{cm}^{-3/2}$  มีความบริสุทธิ์ 99.5% มีจุดเดือดเท่ากับ  $110.6^{\circ}C$  ผลิตโดยบริษัท Labscan Asia จำกัด ประเทศไทย

### 3.1.23 ไกลีน (Xylene)

ใช้เป็นตัวทำละลายในการสกัดเฟสของโพรพิลีนเอทิลีนโคพอลิเมอร์ เพื่อเตรียมตัวอย่างในการทดสอบสัณฐานวิทยา มีสูตรโมเลกุล  $C_8H_{10}$  จุดเดือด  $138.5^{\circ}C$  ความหนาแน่น  $0.864 \text{ g/cm}^3$  ผลิตโดยบริษัท Fisher Scientific, Inc. ประเทศสหรัฐอเมริกา

## 3.2 อุปกรณ์ที่ใช้ในการทดลอง

### 3.2.1 ชุดสกัดด้วยตัวทำละลายโดยวิธี Soxhlet extraction

ชุดสกัดประกอบด้วยเครื่องมือสกัดแบบช็อกเล็ต (Soxhlet extractor) ขวดก้นกลม (Round bottle flask) คอนเดนเซอร์แบบไส้กระเปาะ (Condenser allihn) และตัวให้ความร้อน (Heating mantle) โดยใช้ในการสกัดยางรีเคลมเพื่อวิเคราะห์หาปริมาณส่วนที่สามารถละลายได้

### 3.2.2 เครื่องทดสอบการสลายตัวด้วยความร้อน (Thermogravimetric analyzer, TGA)

ใช้ในการวิเคราะห์ความเสถียรต่อความร้อน โดยศึกษาหาอุณหภูมิในการสลายตัวและเปอร์เซ็นต์ของน้ำหนักที่หายไปของชิ้นตัวอย่าง สามารถทดสอบได้ตั้งแต่อุณหภูมิ 30 ถึง  $750^{\circ}C$  ภายใต้สภาวะก๊าซออกซิเจนและก๊าซไนโตรเจน โดยสภาวะบรรยากาศออกซิเจน เป็นการสลายตัวจากปฏิกิริยาออกซิเดชันภายใต้ความร้อน (Thermo-oxidative degradation) ส่วนสภาวะบรรยากาศไนโตรเจน เป็นการสลายตัวที่มีผลมาจากความร้อน (Thermal degradation) โดยใช้เครื่องรุ่น STA 6000 ผลิตโดย บริษัท Perkin Elmer Co., Ltd ประเทศสหรัฐอเมริกา

### 3.2.3 เครื่องฟูเรียร์ทรานสฟอร์มอินฟราเรดสเปกโตรโฟโตมิเตอร์ (Fourier transform infrared spectrophotometer, FTIR)

ใช้สำหรับวิเคราะห์โครงสร้างโมเลกุลของยางรีไซเคิล ยางธรรมชาติอีพอกไซด์ และสารเพิ่มความเข้ากันได้ มีช่วงรังสีแม่เหล็กไฟฟ้าอินฟราเรดที่มีความยาวคลื่นตั้งแต่ 0.8-200 ไมโครเมตร ซึ่งมีช่วงเลขคลื่นตั้งแต่  $4000-400\text{ cm}^{-1}$  สำหรับการวิเคราะห์หมู่ฟังก์ชันทางเคมีโดยใช้เทคนิค Attenuated Total Reflectance Spectroscopy (ATR) และเทคนิค Infrared spectroscopy (IR) เป็นเครื่องรุ่น Tensor27/Hyperion ผลิตโดยบริษัท Bruker ประเทศเยอรมัน

### 3.2.4 กล้องจุลทรรศน์อิเล็กตรอนแบบส่องกราด (Scanning electron microscope, SEM)

ใช้ในการศึกษาลักษณะสัณฐานวิทยา โครงสร้างระดับจุลภาค โดยมีกำลังขยายสูงสุด 300,000 เท่า ส่วนประกอบของเครื่องประกอบด้วยแหล่งกำเนิดอิเล็กตรอน (Electron gun) ระบบเลนส์ (Electromagnetic lens) หัวตรวจจับสัญญาณ (Signal detector) และส่วนแสดงภาพ จอคอมพิวเตอร์ เป็นเครื่องยี่ห้อ JEOL รุ่น JSM-5800 ผลิตโดยบริษัท Philips Co., Ltd ประเทศเนเธอร์แลนด์

### 3.2.5 เครื่องมูนนี่วิสโคมิเตอร์ (Mooney viscometer)

ใช้ในการทดสอบค่าความหนืดมูนนี่ของยางธรรมชาติ และยางธรรมชาติอีพอกไซด์ ประกอบด้วยแผ่นโลหะที่หมุนในยาง สามารถควบคุมอุณหภูมิได้ วัดแรงบิดที่เกิดขึ้นในการหมุนของแผ่นโลหะในยางด้วยความเร็วคงที่ 2 รอบต่อนาที เป็นเครื่องรุ่น VISCAL ผลิตโดย Tech Pro Co., Ltd ประเทศสหรัฐอเมริกา

### 3.2.6 เครื่องผสมแบบปิดชนิดบราเบนเดอร์ พลาสติกอร์เตอร์ (Brabender plasticorder)

เป็นเครื่องผสมแบบปิดขนาดเล็ก รุ่น mixer 50EHT 3Z ประกอบด้วยโรเตอร์ 2 ตัวมีปริมาตรความจุของห้องผสม  $50\text{ cm}^3$  สามารถควบคุมความเร็วโรเตอร์ และอุณหภูมิขณะผสมได้ อุปกรณ์หลักประกอบด้วย ห้องผสม และชุดให้ความร้อนแบบใช้ไฟฟ้าเพื่อควบคุมอุณหภูมิผสมด้วยตัวควบคุมอุณหภูมิ (Thermostat) โดยตัวเครื่องจะเชื่อมต่อกับเครื่องรับสัญญาณข้อมูล (Data acquisition system) เพื่อวัดค่าทอร์กและอุณหภูมิของการผสม ซึ่งเครื่องบราเบนเดอร์จัดเป็นอุปกรณ์ประเภท Torque Rheometer โดยเครื่องจะบันทึกกราฟที่แสดงลักษณะตามการเปลี่ยนแปลงขณะการผสมที่สำคัญ คือกราฟระหว่างค่าทอร์กกับเวลาและกราฟระหว่างอุณหภูมิกับเวลา ผลิตโดยบริษัท Brabender® GmbH & Co. KG ประเทศเยอรมัน

### 3.2.7 เครื่องผสมสองลูกกลิ้ง (Two roll mill)

เป็นเครื่องมือที่ใช้สำหรับการบดผสมยางกับสารเคมี ในงานวิจัยใช้เพื่อรีดยางคอมพาวนด์และเทอร์โมพลาสติกวัลคาไนซ์ให้เป็นแผ่นหลังจากผสมจากเครื่องผสมแบบปิด ประกอบด้วยลูกกลิ้งที่มีขนาดเส้นผ่านศูนย์กลาง 6 นิ้ว ความยาว 14 นิ้ว ความเร็วผิวลูกกลิ้งหน้า 21.4 รอบต่อนาที ความเร็วผิวลูกกลิ้งหลัง 25.7 รอบต่อนาที อัตราความเร็วของลูกกลิ้งหน้าต่อลูกกลิ้งหลัง (Friction ratio) เท่ากับ 1/1.21 สามารถปรับอุณหภูมิสูงสุดที่ 399°C ผลิตโดย ห้างหุ้นส่วนจำกัด ชัยเจริญการช่าง จังหวัดกรุงเทพมหานคร ประเทศไทย

### 3.2.8 เครื่องรีโอมิเตอร์แบบค้ายเคลื่อนที่ (Moving die rheometer, Mini-MDR)

เป็นเครื่องมือที่ใช้สำหรับทดสอบพฤติกรรมการวัลคาไนซ์ของยางคอมพาวด์รุ่น Mini-MDR โดยค่าที่ทดสอบได้คือ เวลาในการไหลของยาง (Scorch time) เวลาในการวัลคาไนซ์ (Cure time) ค่าแรงบิดสูงสุด ค่าแรงบิดต่ำสุด และผลต่างของค่าแรงบิดสูงสุดและแรงบิดต่ำสุด ผลิตโดยบริษัท Prescott Instruments Ltd ประเทศอังกฤษ

### 3.2.9 เครื่องอัดเข้า (Compression moulding machine)

เครื่องอัดเข้าแบบมีระบบหล่อเย็นรุ่น PR2D-W300L350-PM-WCL-HMI เป็นเครื่องอัดขึ้นรูปในแม่พิมพ์ โดยการกดอัดเข้าด้วยระบบไฮดรอลิก ตัวเครื่องประกอบด้วยแผ่นให้ความร้อนที่มีขนาดเท่ากับ 300 x 350 mm จำนวน 2 แผ่น ซึ่งแต่ละแผ่นตั้งอุณหภูมิได้ถึง 300°C สำหรับแผ่นอัดล่างสามารถลดอุณหภูมิด้วยระบบน้ำหล่อเย็น ผลิตโดยบริษัท เจริญทัศน์ จำกัด จังหวัดสมุทรปราการ ประเทศไทย

### 3.2.10 เครื่องทดสอบสมบัติเชิงกล (Tensile testing machine)

เป็นเครื่องที่ใช้ทดสอบความต้านทานต่อแรงดึงและความต้านทานต่อการฉีกขาด ยี่ห้อ Hounsfield รุ่น H 10KS สามารถรับแรงได้สูงสุด 10 kN มี load cell ทำหน้าที่แปลงสัญญาณจากค่าแรงที่วัดได้ผ่านวงจรรีเลย์ทรอนิกส์ เป็นค่าแรงดึงหรือแรงกดในหน่วยนิวตัน สามารถตั้งความเร็วในการเคลื่อนที่ 0.01 ถึง 1,000 mm/min ผลิตโดยบริษัท Hounsfield Test Equipment ประเทศอังกฤษ

### 3.2.11 เครื่องทดสอบความแข็ง (Digital Hardness Tester)

เป็นเครื่องวัดความแข็งดิจิตอล แบบชอร์ดูโรมิเตอร์ (Shore durometer) ใช้วัดความแข็งขึ้นทดสอบ โดยใช้แรงกดจากสปริง ผลิตโดยบริษัท Toyosetki Co., Ltd ประเทศญี่ปุ่น

### 3.2.12 เครื่องทดสอบสมบัติการไหล (Capillary rheometer)

ใช้ในการทดสอบสมบัติการไหลของพอลิเมอร์ ประกอบด้วยบาร์เรล 2 ตัว มีความยาวตลอดแนวของกระบอก ส่วนปลายกระบอกจะมีร่องเกลียวที่สามารถติดตั้งหัวตายได้ ความเร็วในการอัดกระบอกสูบอยู่ในช่วง 0.0001 – 40 mm/s สามารถปรับเปลี่ยนอุณหภูมิได้ตั้งแต่อุณหภูมิห้องถึง 400°C สามารถปรับความดันได้ตั้งแต่ 20 ถึง 2,000 bar เครื่องที่ใช้คือ Goettfert รุ่น RG 20 ผลิตโดยบริษัท Goettfert Inc. ประเทศสหรัฐอเมริกา

### 3.2.13 เครื่องทดสอบความสามารถในการแปรรูป (Moving die processability, MDpt)

เป็นเครื่องที่ใช้ทดสอบสมบัติเชิงกลพลวัต สามารถปรับอุณหภูมิได้ตั้งแต่ 50-220°C แปรความถี่ได้ตั้งแต่ 0.02-30 Hz สามารถทดสอบหาค่ามอดุลัสสะสม ( $G'$ ) มอดุลัสสูญเสีย ( $G''$ ) แทนเจนต์สูญเสีย ( $\tan \delta$ ) และค่าความหนืดเชิงซ้อน ( $\eta^*$ ) ได้ เป็นเครื่องรุ่น Rheo Tech MDpt ผลิตโดยบริษัท Tech Pro Inc. ประเทศสหรัฐอเมริกา

## 3.3 วิธีการทดลอง

### 3.3.1 การศึกษาสมบัติเบื้องต้นของยางรีเคลม

► การวิเคราะห์โครงสร้างทางเคมีของยางรีเคลมด้วยเทคนิคอินฟราเรดสเปกโทรสโกปี โดยใช้เครื่องฟูเรียร์ทรานสฟอร์มอินฟราเรดสเปกโทรมิเตอร์ (Fourier-transform infrared spectrophotometer, FT-IR) โดยนำยางรีเคลมแผ่นบางๆ ไปอบที่อุณหภูมิ 40°C 24 ชั่วโมง เพื่อไล่ความชื้น จากนั้นนำไปวิเคราะห์โครงสร้างทางเคมีของยางรีเคลมด้วยเทคนิค Attenuated Total Reflectance Spectroscopy (ATR) ในช่วงความยาวคลื่น 4000-400  $\text{cm}^{-1}$

► การวิเคราะห์องค์ประกอบของยางรีเคลมด้วยเครื่องวิเคราะห์การสลายตัวเนื่องจากความร้อน (Thermogravimetric analyzer, TGA) ในช่วงอุณหภูมิห้องถึง 750°C ที่อัตราการเปลี่ยนแปลงอุณหภูมิเท่ากับ 10°C/min ใช้ตัวอย่างหนักประมาณ 8-12 mg ทดสอบในบรรยากาศไนโตรเจนและออกซิเจนโดยใช้อัตราการไหลของไนโตรเจนและออกซิเจนเท่ากับ 20 มิลลิลิตร/นาที

► การวิเคราะห์ปริมาณโซลเจล (Sol-gel fraction) ของยางรีเคลมด้วยวิธีสกัดด้วยซอกซ์เลต (Soxhlet extraction) ทำการทดสอบโดยนำชิ้นทดสอบยางรีเคลมมาชั่งน้ำหนักละเอียด 0.0001 g ใส่ในตะแกรงที่พับเป็นกลอง นำไปสกัดด้วยตัวทำละลายอะซีโตน (Acetone) เป็นเวลา 72 ชั่วโมง จากนั้นจึงเปลี่ยนตัวทำละลายเป็นเตตระไฮโดรฟูแรน (Tetrahydrofuran, THF) และทำการสกัดต่อเนื่องอีก 72 ชั่วโมง จากนั้นนำตัวอย่างมาอบให้แห้งที่อุณหภูมิ 40°C แล้วนำมาชั่งน้ำหนักหลัง

สกัด คำนวณหาปริมาณโซลเจลโดยใช้น้ำหนักตัวอย่างก่อนและหลังการสกัด ตั้งความสัมพันธ์ในสมการที่ 3.1 และ 3.2 ตามลำดับ

$$\text{Sol fraction} = \frac{W_1 - W_2}{W_1} \quad (3.1)$$

$$\text{Gel fraction} = 1 - \text{Sol fraction} \quad (3.2)$$

โดยที่  $W_1$  คือ น้ำหนักของยางรีเคลมเริ่มต้น และ  $W_2$  คือ น้ำหนักของยางรีเคลมหลังการสกัด

► การหาความหนาแน่นพันธะเชื่อมขวางในยางรีเคลมด้วยวิธีการบวมพอง (Swelling) โดยใช้สมการ Flory-Rehner equation ในการหาปริมาณพันธะเชื่อมขวางในยางรีเคลม นำชิ้นทดสอบที่สกัดส่วนที่สามารถละลายได้เหลือเฉพาะส่วนที่ไม่ละลาย (Gel fraction) จากการทดลองในหัวข้อการวิเคราะห์ปริมาณโซลเจล มาแช่ในโทลูอีน เป็นเวลา 72 ชั่วโมง ที่อุณหภูมิห้องแล้วชั่งน้ำหนักชิ้นทดสอบ โดยใช้กระดาษชั่งมาชั่งก่อนนำไปชั่งน้ำหนัก คำนวณปริมาณพันธะเชื่อมขวางโดยใช้สมการของ Flory-Rehner ดังสมการ 3.3 และ 3.4 ดังนี้

$$v_e = \frac{V_r + xV_r^2 + \ln(1-V_r)}{V_s(0.5V_r - V_r^{1/3})} \quad (3.3)$$

$$V_r = \frac{m_r}{m_r + m_s (p_r/p_s)} \quad (3.4)$$

โดยที่

$v_e$  = crosslink density per unit volume

$V_r$  = polymer volume fraction of the swollen sample

$V_s$  = solvent molar volume

$m_r$  = mass of the rubber network

$m_s$  = weight of solvent in the sample at equilibrium swelling

$p_r$  = density of the rubber

$p_s$  = density of solvent

$x$  = Flory-Huggins polymer-solvent interaction parameter

ปริมาณพันธะเชื่อมขวางที่คำนวณโดยใช้สมการของ Flory-Rehner จากสมการ 3.3 และ 3.4 นิยมใช้ในการคำนวณปริมาณพันธะเชื่อมขวางของยางที่ไม่ใช้สารตัวเติมเท่านั้น ดังนั้นสำหรับยางที่ใช้สารตัวเติมจึงจำเป็นต้องคำนวณเพิ่มเติมโดยใช้การคำนวณแก้ไขของ Kraus (Kraus correction) โดยการคำนวณจะเพิ่มค่าคงที่ต่างๆ ที่เกี่ยวข้องกับชนิดและปริมาณสารตัวเติมที่มีอยู่ในยางนั้น ดังสมการ 3.5 และ 3.6

$$V_{actual} = \frac{V_{apparent}}{1 + K + \phi} \quad (3.5)$$

$$\phi = \frac{\text{Weight fraction of filler} \times \text{Density of compound} \times W_b}{\text{Density of filler} \times W_a} \quad (3.6)$$

โดยที่

$V_{actual}$  = the actual chemical crosslink density

$V_{apparent}$  = the measured chemical crosslink density

$K$  = a constant for a given filler

$\phi$  = the volume fraction of filler in the specimen which is calculate

$W_b$  = the weight of the specimen before extraction

$W_a$  = the weight of the specimen after extraction

► การตรวจสอบลักษณะสัณฐานวิทยาของยางรีเคลม โดยกล้องจุลทรรศน์อิเล็กตรอนแบบส่องกราด (Scanning electron microscope, SEM) นำยางรีเคลมมาเคลือบผิวด้วยทองคำก่อนการทดสอบและใช้โหมด SEI (Secondary electron image) ในการบันทึกภาพ โดยทดสอบที่ กำลังขยาย 200, 500 และ 1,000 เท่า

### 3.3.2 การศึกษาอิทธิพลของชนิดสารดัดแปรต่อสมบัติของยางวัลคาไนซ์จากการเบลนด์ยางธรรมชาติและยางรีเคลม

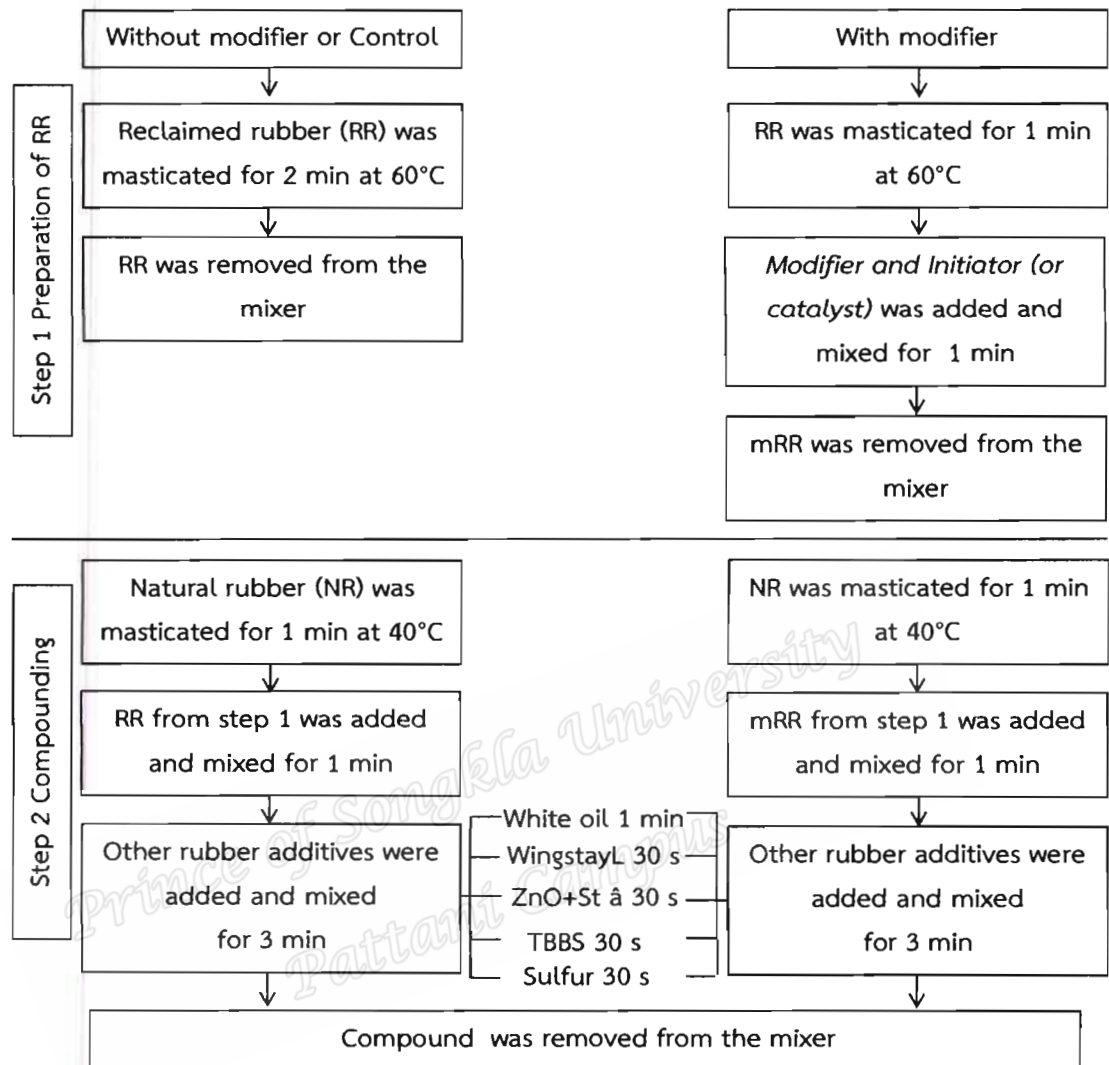
เตรียมคอมพาวนด์จากการเบลนด์ยางธรรมชาติและยางรีเคลม โดยแปรชนิดของสารดัดแปร 3 ชนิดคือ ฟีนอลิกเรซิน (Phenolic resin, Ph) มาลิกแอนไฮไดรด์ (Maleic anhydride, MA) และ ไกลซิดีลเมทาคริเลต (Glycidyl methacrylate, GM) โดยใช้สารเคมีดังแสดงในตารางที่ 3.1

ทำการผสมยางคอมพาวนด์จากการเบลนดอย่างธรรมชาติและยางรีเคลมที่อัตราส่วนการเบลนด 50/50 ส่วนโดยน้ำหนักของเนื้อยาง โดยใช้เครื่องผสมแบบปิด อุณหภูมิการผสมเริ่มต้น 40°C ความเร็วรอบโรเตอร์ 60 รอบต่อนาที fill factor เท่ากับ 0.8 ของปริมาตรความจุห้องผสม โดยขั้นตอนการเตรียมคอมพาวนด์แสดงดังรูปที่ 3.10 จากนั้นนำยางคอมพาวนด์ออกมาบดด้วยเครื่องผสมสองลูกกลิ้ง (Two roll mill) เพื่อเพิ่มการกระจายตัวของสารเคมี โดยนำยางมาผ่านลูกกลิ้ง 10 ครั้ง จากนั้นปรับความหนาและรีดอย่างเป็นแผ่นยางให้เหมาะสม พักยางทิ้งไว้ที่อุณหภูมิห้องเป็นเวลา 24 ชั่วโมง นำไปทดสอบหาลักษณะการวัลคาไนซ์ของยางด้วยเครื่อง Mini-MDR ที่อุณหภูมิ 150°C จากนั้นนำไปเตรียมชิ้นทดสอบด้วยวิธีการอัดเข้า และนำยางวัลคาไนซ์ที่ได้ไปทดสอบสมบัติความต้านทานต่อแรงดึง ความสามารถในการยืดจนขาด ความแข็ง การผิดรูปถาวรแบบดึง และความต้านทานต่อการบ่มเร่ง

ตารางที่ 3.1 สูตรการเตรียมเทอร์โมพลาสติกวัลคาไนซ์เมื่อแปรชนิดสารตัดแปร

| Ingredients           | Quantity (phr) |     |     |     |
|-----------------------|----------------|-----|-----|-----|
|                       | Control        | Ph  | MA  | GM  |
| Natural rubber, NR    | 50             | 50  | 50  | 50  |
| Reclaimed rubber, RR* | 90             | 90  | 90  | 90  |
| Phenolic resin        | -              | 5   | -   | -   |
| Maleic anhydride      | -              | -   | 5   | -   |
| Glycidyl methacrylate | -              | -   | -   | 5   |
| Stannous chloride     | -              | 1   | -   | -   |
| Benzoyl peroxide      | -              | -   | 1   | 1   |
| White oil             | 5              | 5   | 5   | 5   |
| Stearic acid          | 1              | 1   | 1   | 1   |
| ZnO                   | 5              | 5   | 5   | 5   |
| Wingstay L            | 1              | 1   | 1   | 1   |
| TBBS                  | 0.8            | 0.8 | 0.8 | 0.8 |
| Sulfur                | 4              | 4   | 4   | 4   |

หมายเหตุ: \*ยางรีเคลมมีปริมาณเนื้อยาง 55%



รูปที่ 3.10 ลำดับขั้นตอนการเตรียมคอมพาวนด์โดยใช้เครื่องผสมแบบปิด

### 3.3.3 การศึกษาอิทธิพลของวิธีการผสมสารดัดแปรต่อสมบัติของเทอร์โมพลาสติกวัลคาไนซ์จากการเบลนด์ระหว่างยางธรรมชาติ ยางรีเคลม และโพรพิลีนเอทิลีนโคพอลิเมอร์

จากการศึกษาอิทธิพลของชนิดสารดัดแปรในหัวข้อที่ 3.3.1 เลือกใช้สารดัดแปรชนิดฟีนอลิกเรซิน เพื่อนำมาศึกษาอิทธิพลของวิธีการผสมสารดัดแปร 2 วิธี ได้แก่ วิธีที่ 1. วิธีการดัดแปรพื้นผิวของยางรีเคลมในสภาวะหลอม (Melt mixing method) และ วิธีที่ 2. วิธีการเบลนด์แบบรีแอคทีฟ (Reactive blending method) วิธีการทดลองแสดงในหัวข้อที่ 3.3.3.1 และ 3.3.3.2 ตามลำดับ โดยจะนำมาเปรียบเทียบกับเทอร์โมพลาสติกวัลคาไนซ์ที่ไม่ใส่สารดัดแปร (Without modifier)

### 3.3.3.1 วิธีการตัดแปรพื้นผิวของยางรีเคลมในสภาวะหลอม (Melt mixing method)

เตรียมเทอร์โมพลาสติกวัลคาไนซ์จากการเบลนด์ยางธรรมชาติ ยางรีเคลม และ โพรพิลีนเอทิลีนโคพอลิเมอร์ ซึ่งสารเคมีที่ใช้ในการทดลองแสดงในตารางที่ 3.2 และมีขั้นตอนการผสม แสดงดังรูปที่ 3.11 โดยขั้นตอนที่ 1 นำยางรีเคลมไปบดผสมกับสารตัดแปรชนิดฟีนอลิกเรซินด้วย เครื่องบราเวนเดอร์พลาสติกคอคเตอร์ที่อุณหภูมิ 60°C ความเร็วรอบโรเตอร์ 60 รอบต่อนาที fill factor 0.8 ของปริมาตรความจุห้องผสม เป็นเวลารวม 2 นาที ขั้นตอนที่ 2 นำยางรีเคลมจากขั้นตอนที่ 1 มาเบลนด์กับยางธรรมชาติและสารเคมียางเพื่อเตรียมยางคอมพาวนด์ โดยบดผสมที่อุณหภูมิ 40°C ใช้สภาวะการผสมอื่นๆเช่นเดียวกับข้างต้น จากนั้นนำยางคอมพาวนด์มาบดผสมด้วยเครื่องบดผสมสองลูกกลิ้ง และพักยางทิ้งไว้ที่อุณหภูมิห้องเป็นเวลา 24 ชั่วโมง จากนั้นนำยางคอมพาวนด์ที่ได้มาเบลนด์กับโพรพิลีนเอทิลีนโคพอลิเมอร์เพื่อเตรียมเป็นเทอร์โมพลาสติกวัลคาไนซ์ โดยใช้อัตราส่วนการเบลนด์ของ NR/RR/PEC เท่ากับ 30/30/40 ส่วนโดยน้ำหนัก การผสมใช้เครื่องบราเวนเดอร์พลาสติกคอคเตอร์ที่อุณหภูมิ 155°C ขณะที่สภาวะการผสมยังคงเดิม จากนั้นนำเทอร์โมพลาสติกวัลคาไนซ์ที่เตรียมได้มารีดเป็นแผ่นด้วยเครื่องบดผสมสองลูกกลิ้ง นำไปขึ้นรูปด้วยวิธีการอัดเบ้าที่อุณหภูมิ 165°C แล้วทำการหล่อเย็นภายใต้ความดันเพื่อให้เกิดการคงรูป ก่อนนำไปเตรียมเป็นชิ้นตัวอย่างสำหรับทดสอบสมบัติเชิงกล ก่อนและหลังบ่มแรง สมบัติการไหล สมบัติเชิงกลพลวัต และลักษณะทางสัณฐานวิทยา

### 3.3.3.2 วิธีการเบลนด์แบบรีแอคทีฟ (Reactive blending method)

การเตรียมแบบรีแอคทีฟ จะใช้สารเคมีและขั้นตอนการเตรียมเหมือนกับหัวข้อที่ 3.3.3.1 แต่จะเปลี่ยนลำดับขั้นตอนในการใส่ฟีนอลิกเรซิน โดยวิธีเบลนด์แบบรีแอคทีฟจะใส่ฟีนอลิกเรซินในขั้นตอนการเตรียมเทอร์โมพลาสติกวัลคาไนซ์ดังแสดงในรูปที่ 3.11

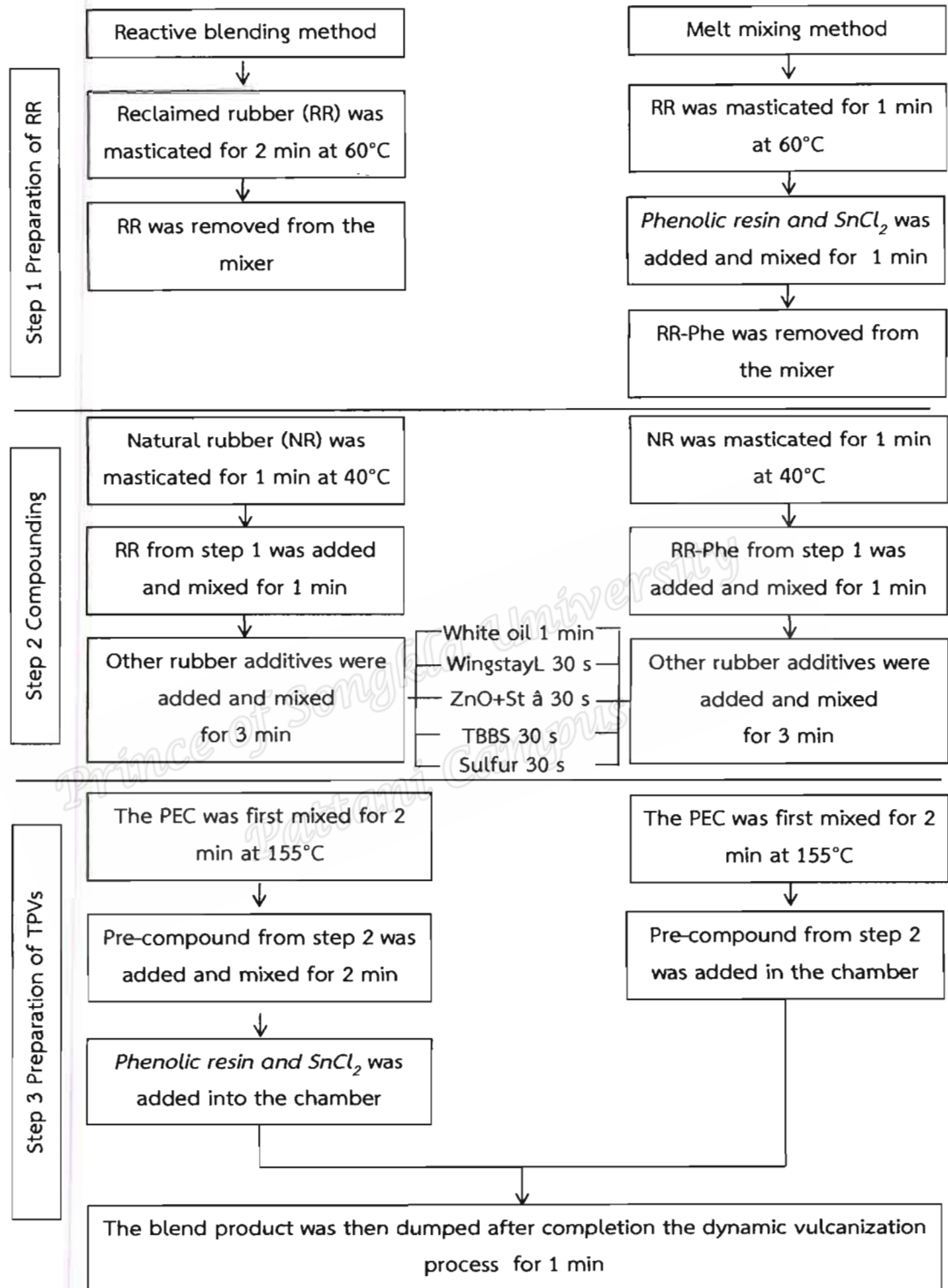
ตารางที่ 3.2 สูตรการเตรียมเทอร์โมพลาสติกวัลคาไนซ์

| Ingredients                         | Quantity (phr) |
|-------------------------------------|----------------|
| Natural rubber, NR                  | 50             |
| Reclaimed rubber, RR*               | 90             |
| Phenolic resin                      | 5              |
| Stannous chloride                   | 1              |
| Propylene-ethylene copolymer, PEC** | 67             |
| White oil                           | 5              |
| Stearic acid                        | 1              |
| ZnO                                 | 5              |
| Wingstay L                          | 1              |
| TBBS                                | 0.8            |
| Sulfur                              | 4              |

หมายเหตุ: \*ยางรีเคลมมีปริมาณเนื้อยาง 55%

\*\*สัดส่วน NR/RR/PEC คิดเป็น 30/30/40 ส่วนโดยน้ำหนัก

Prince of Songkhla University  
Pattani Campus



รูปที่ 3.11 ลำดับขั้นตอนการผสมวิธี Reactive blending method และ Melt mixing method

### 3.3.4 การศึกษาอิทธิพลของปริมาณสารตัดแปรต่อสมบัติเทอร์โมพลาสติกวัลคาไนซ์จากการเบลนด์ระหว่าง NR/RR/PEC

เตรียมเทอร์โมพลาสติกวัลคาไนซ์ โดยใช้อัตราส่วนการเบลนด์ของ NR/RR/PEC เท่ากับ 30/30/40 ส่วนโดยน้ำหนัก ใช้วิธีการผสมแบบ Melt mixing method ตามหัวข้อที่ 3.3.3.1 โดยใช้เครื่องบราเวนเดอร์พลาสติกคอคเตอร์ขนาดห้องผสม 55 cm<sup>3</sup> ที่อุณหภูมิ 60, 40 และ 155°C เพื่อเตรียมยางรีเคลมผสมกับสารตัดแปรชนิดฟีนอลิกเรซิน ยางคอมพาวนด์ และเทอร์โมพลาสติกวัลคาไนซ์ตามลำดับ ความเร็วโรเตอร์ 60 รอบต่อนาที ใช้ Fill factor 0.8 ของปริมาตรความจุห้องผสม โดยแปรปริมาณฟีนอลิกเรซินที่ 0, 3, 5, 7 และ 10 เปอร์เซ็นต์โดยน้ำหนักของเนื้อยางทั้งหมด กำหนดปริมาณของสแตนท์สโคลอไรด์คงที่ที่ 1 เปอร์เซ็นต์โดยน้ำหนักของเนื้อยางทั้งหมด สารเคมีที่ใช้แสดงในตารางที่ 3.2 และขั้นตอนการผสมแสดงในรูปที่ 3.11 จากนั้นนำเทอร์โมพลาสติกวัลคาไนซ์ที่เตรียมได้ไปเตรียมเป็นชิ้นทดสอบเพื่อทดสอบสมบัติเชิงกลก่อนและหลังการบ่มแรง สมบัติเชิงกลพลวัต สมบัติการไหล และลักษณะทางสัณฐานวิทยา

### 3.3.5 การศึกษาอิทธิพลของอัตราส่วนการเบลนด์ต่อสมบัติเทอร์โมพลาสติกวัลคาไนซ์จากการเบลนด์ระหว่าง NR/RR/PEC

เตรียมเทอร์โมพลาสติกวัลคาไนซ์ โดยแปรอัตราส่วนการเบลนด์ของ NR/RR/PEC เท่ากับ 60/0/40, 45/15/40, 30/30/40, 15/45/40 และ 0/60/40 ส่วนโดยน้ำหนัก ใช้วิธีการผสมแบบ Melt mixing method ตามหัวข้อที่ 3.3.3.1 โดยใช้เครื่องบราเวนเดอร์พลาสติกคอคเตอร์ขนาดห้องผสม 55 cm<sup>3</sup> ที่อุณหภูมิ 60, 40 และ 155°C เพื่อเตรียมยางรีเคลมผสมกับสารตัดแปรชนิดฟีนอลิกเรซิน ยางคอมพาวนด์ และเทอร์โมพลาสติกวัลคาไนซ์ตามลำดับ ความเร็วโรเตอร์ 60 รอบต่อนาที ใช้ Fill factor 0.8 ของปริมาตรความจุห้องผสม สารเคมีที่ใช้แสดงในตารางที่ 3.3 และขั้นตอนการผสมแสดงในรูปที่ 3.11 จากนั้นนำเทอร์โมพลาสติกวัลคาไนซ์ที่เตรียมได้ไปเตรียมเป็นชิ้นทดสอบเพื่อทดสอบสมบัติเชิงกลก่อนและหลังการบ่มแรง สมบัติเชิงกลพลวัต สมบัติการไหล และลักษณะทางสัณฐานวิทยา

ตารางที่ 3.3 สูตรการเตรียมเทอร์โมพลาสติกวัลคาไนซ์ในการศึกษาอิทธิพลของอัตราส่วนการเบลนด์

| Ingredients       | Quantity (phr) |          |          |          |         |
|-------------------|----------------|----------|----------|----------|---------|
|                   | 60/0/40        | 45/15/40 | 30/30/40 | 15/45/40 | 0/60/40 |
| NR                | 100            | 75       | 50       | 25       | -       |
| RR*               | -              | 45       | 90       | 135      | 180     |
| PEC               | 67             | 67       | 67       | 67       | 67      |
| Phenolic resin    | 10             | 10       | 10       | 10       | 10      |
| Stannous chloride | 1              | 1        | 1        | 1        | 1       |
| White oil         | 5              | 5        | 5        | 5        | 5       |
| Stearic acid      | 1              | 1        | 1        | 1        | 1       |
| ZnO               | 5              | 5        | 5        | 5        | 5       |
| Wingstay L        | 1              | 1        | 1        | 1        | 1       |
| TBBS              | 0.8            | 0.8      | 0.8      | 0.8      | 0.8     |
| Sulfur            | 4              | 4        | 4        | 4        | 4       |

หมายเหตุ: \*ยางรีเคลมมีปริมาณเนื้อยาง 55%

3.3.6 การศึกษาผลของการใช้สารเพิ่มความเข้ากันได้ชนิดกราฟต์โคพอลิเมอร์ของโพรพิลีนเอทิลีนโคพอลิเมอร์กับฟีนอลิกเรซิน (Propylene-ethylene copolymer grafted phenolic resin, PEC-g-Ph) ร่วมกับวิธีการปรับปรุงความเข้ากันได้โดยใช้สารตัดแปรต่อสมบัติเทอร์โมพลาสติกวัลคาไนซ์จากการเบลนด์ระหว่าง NR/RR/PEC

3.3.6.1 การเตรียมกราฟต์โคพอลิเมอร์ของโพรพิลีนเอทิลีนโคพอลิเมอร์กับฟีนอลิกเรซิน (PEC-g-Ph)

เตรียม PEC-g-Ph โดยนำโพรพิลีนเอทิลีนโคพอลิเมอร์ไปอบที่อุณหภูมิ 40°C เป็นเวลา 24 ชั่วโมง เพื่อกำจัดความชื้น ซึ่งโพรพิลีนเอทิลีนโคพอลิเมอร์ที่อบแล้วปริมาณ 100 ส่วนโดยน้ำหนัก โดยใช้ฟีนอลิกเรซิน (HRJ-10518) ปริมาณ 4 ส่วนโดยน้ำหนักโพรพิลีนเอทิลีนโคพอลิเมอร์ และสแตนนัสคลอไรด์ปริมาณ 0.8 ส่วนโดยน้ำหนักโพรพิลีนเอทิลีนโคพอลิเมอร์ เตรียมโดยใช้เครื่องบราเวนเดอร์พลาสติกคอคเตอร์ที่อุณหภูมิ 180°C ความเร็วโรเตอร์เท่ากับ 60 รอบต่อนาที และ Fill factor 0.8 ของปริมาตรความจุห้องผสม โดยบดโพรพิลีนเอทิลีนโคพอลิเมอร์ เป็นเวลา 2 นาที จากนั้นเติมฟีนอลิกเรซิน (HRJ-10518) ลงในห้องผสมแล้วบดต่อเป็นเวลา 1 นาที และเติมสแตนนัสคลอไรด์ บดผสมต่ออีก 1 นาที นำพอลิเมอร์ออกทำให้เย็นที่อุณหภูมิห้อง จากนั้นนำพอลิเมอร์ที่ได้ไปตัดเป็นชิ้นเล็กๆ แล้วนำไปสกัดเอาสารเคมีที่เหลือจากการทำปฏิกิริยาออกโดยแช่ในสารละลายผสม

ของน้ำและอะซีโตน (95/5 vol/vol) พร้อมทั้งกวน เป็นเวลา 3 ชั่วโมง นำไปกรองและนำมาสกัดซ้ำอีก 2 ครั้ง (สกุลรัตน์, 2551) จากนั้นนำไปอบที่อุณหภูมิ 60°C เป็นเวลา 1 คืน หลังจากนั้นนำไปวิเคราะห์โครงสร้างด้วยเทคนิคอินฟราเรดสเปกโตรสโคปี (FTIR)

### 3.3.6.2 การเตรียมเทอร์โมพลาสติกวัลคาไนซ์เพื่อศึกษาผลของการใช้สารเพิ่มความเข้ากันได้ชนิด (PEC-g-Ph) ร่วมกับวิธีการปรับปรุงความเข้ากันได้โดยใช้สารตัดแปรต่อสมบัติเทอร์โมพลาสติกวัลคาไนซ์จากการเบลนดระหว่าง NR/RR/PEC

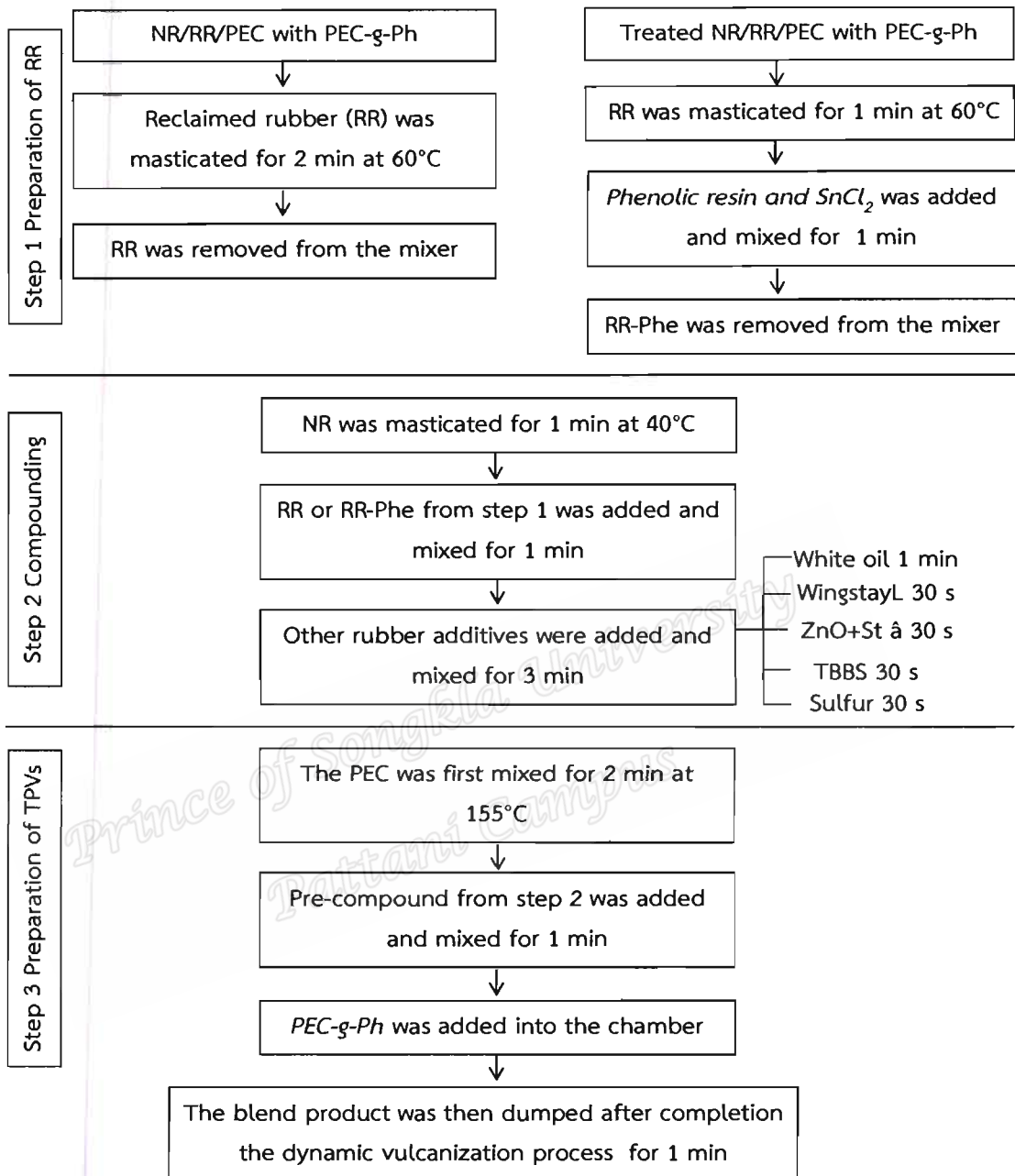
ในศึกษาผลของการใช้สารเพิ่มความเข้ากันได้ชนิด PEC-g-Ph ร่วมกับการใช้สารตัดแปรชนิดฟีนอลิกเรซิน ซึ่งจะเปรียบเทียบผลของการใช้และไม่ใช้สารตัดแปรฟีนอลิกเรซิน ผลของการใช้และไม่ใช้สารเพิ่มความเข้ากันได้ชนิด PEC-g-Ph และผลของการใช้สารตัดแปรฟีนอลิกเรซินร่วมกับสารเพิ่มความเข้ากันได้ชนิด PEC-g-Ph โดยสารเคมีที่ใช้แสดงดังตารางที่ 3.4 สำหรับการเตรียมเทอร์โมพลาสติกวัลคาไนซ์เมื่อใช้และไม่ใช้สารตัดแปรฟีนอลิกเรซิน เตรียมด้วยวิธีการผสมสารตัดแปรแบบ Melt mixing method ตามวิธีการทดลองดังแสดงในรูปที่ 3.11 การเตรียมเทอร์โมพลาสติกวัลคาไนซ์เพื่อศึกษาผลของสารเพิ่มความเข้ากันได้ชนิด PEC-g-Ph จะเตรียมด้วยวิธีการผสมสารตัดแปรแบบ Melt mixing method เช่นเดียวกัน แต่จะมีการเติมสารเพิ่มความเข้ากันได้ชนิด PEC-g-Ph ในขั้นตอนการเตรียมเทอร์โมพลาสติกวัลคาไนซ์ ดังแสดงในรูปที่ 3.12 เตรียมโดยใช้เครื่องบราเวนเดอร์พลาสติกคอเดอร์ขนาดห้องผสม 55 cm<sup>3</sup> ที่อุณหภูมิ 60, 40 และ 155°C เพื่อเตรียมยางรีเคลมผสมกับสารตัดแปรชนิดฟีนอลิกเรซิน ยางคอมพาวนด์ และเทอร์โมพลาสติกวัลคาไนซ์ตามลำดับ ความเร็วโรเตอร์ 60 รอบต่อนาที ใช้ Fill factor 0.8 ของปริมาตรความจุห้องผสม โดยจะเติมสารเพิ่มความเข้ากันได้ชนิด PEC-g-Ph ในขั้นตอนการเตรียมเทอร์โมพลาสติกวัลคาไนซ์หลังบดผสมยางคอมพาวนด์เป็นเวลา 1 นาที จากนั้นนำเทอร์โมพลาสติกวัลคาไนซ์ที่เตรียมได้ไปเตรียมเป็นชิ้นทดสอบเพื่อทดสอบสมบัติเชิงกลก่อนและหลังการบ่มแรง สมบัติเชิงกลพลวัต สมบัติการไหล และลักษณะทางสัณฐานวิทยา

ตารางที่ 3.4 สูตรการเตรียมเทอร์โมพลาสติกวัลคาไนซ์สำหรับศึกษาการใช้สารเพิ่มความเข้ากันได้

| Ingredients                | Quantity (phr) |                               |                        |                                       |
|----------------------------|----------------|-------------------------------|------------------------|---------------------------------------|
|                            | NR/RR/PEC*     | NR/RR/PEC<br>with<br>PEC-g-Ph | Treated<br>NR/RR/PEC** | Treated<br>NR/RR/PEC with<br>PEC-g-Ph |
| NR                         | 50             | 50                            | 50                     | 50                                    |
| RR                         | 90             | 90                            | 90                     | 90                                    |
| PEC                        | 67             | 67                            | 67                     | 67                                    |
| PEC-g-Ph<br>(7 wt% of PEC) | -              | 4.7                           | -                      | 4.7                                   |
| Phenolic resin             | -              | -                             | 10                     | 10                                    |
| Stannous chloride          | -              | -                             | 1                      | 1                                     |
| White oil                  | 5              | 5                             | 5                      | 5                                     |
| Stearic acid               | 1              | 1                             | 1                      | 1                                     |
| ZnO                        | 5              | 5                             | 5                      | 5                                     |
| Wingstay L                 | 1              | 1                             | 1                      | 1                                     |
| TBBS                       | 0.8            | 0.8                           | 0.8                    | 0.8                                   |
| Sulfur                     | 4              | 4                             | 4                      | 4                                     |

หมายเหตุ: \*\*NR/RR/PEC คือ เทอร์โมพลาสติกวัลคาไนซ์ที่ไม่ใส่ฟีนอลิกเรซิน (Without modifier)

\*\*Treated NR/RR/PEC คือ เทอร์โมพลาสติกวัลคาไนซ์ที่ใช้ฟีนอลิกเรซินเป็นสารดัดแปร



รูปที่ 3.12 ลำดับขั้นตอนการผลิตวิธี Melt mixing method เมื่อใช้สารเพิ่มความเข้ากันได้ PEC-g-Ph

### 3.3.7 การศึกษาอิทธิพลของชนิดยางธรรมชาติต่อสมบัติเทอร์โมพลาสติกวัลคาไนซ์จากการเบลนด์ระหว่าง NR/RR/PEC

#### 3.3.7.1 การเตรียมยางธรรมชาติอิพอกไซด์

นำน้ำยางชั้นชนิดแอมโมเนียสูงมาเจือจางด้วยน้ำให้มีเปอร์เซ็นต์เนื้อยางเท่ากับ 20% จากนั้นเติมสบู่ Teric N30 เพื่อให้อนุภาคยางเสถียร จากนั้นกวนเป็นเวลา 25 นาทีที่อุณหภูมิห้อง หลังจากนั้นหยดกรดฟอร์มิกพร้อมกับไฮโดรเจนเปอร์ออกไซด์อย่างช้าๆ เป็นเวลา 30 นาที หลังจากนั้นทำปฏิกิริยาที่อุณหภูมิ 50°C เป็นเวลา 1.30, 2.30, 3.30, 4.30 และ 6.30 ชั่วโมง ต่อมาจึงนำมาจับตัวด้วยเมทานอล นำไปรีดแผ่นด้วยเครื่องรีดแผ่นยาง แล้วจึงนำไปล้างด้วยน้ำสะอาดเพื่อกำจัดสารเคมีหลงเหลือออกไป นำแผ่นยางที่ได้ไปอบที่อุณหภูมิ 40°C จนแห้ง และนำไปวิเคราะห์ด้วยเทคนิคอินฟราเรดสเปกโตรสโคปี รายละเอียดสารเคมีที่ใช้แสดงดังตารางที่ 3.5

ตารางที่ 3.5 สารเคมีที่ใช้ในการเตรียมยางธรรมชาติอิพอกไซด์

| Chemicals             | Quantity (g) |
|-----------------------|--------------|
| 60% HA latex          | 192.67       |
| 10% Teric N30         | 44.04        |
| 94% Formic acid       | 176.80       |
| 50% Hydrogen peroxide | 13.00        |
| H <sub>2</sub> O      | 385.00       |

#### 3.3.7.2 การเตรียมเทอร์โมพลาสติกวัลคาไนซ์จากการเบลนด์ระหว่าง NR/RR/PEC เพื่อศึกษาชนิดยางธรรมชาติ

เตรียมเทอร์โมพลาสติกวัลคาไนซ์จากยางธรรมชาติ และยางธรรมชาติอิพอกไซด์ที่มีปริมาณหมู่อิพอกไซด์ 10, 20, 30, 40 และ 50 เปอร์เซ็นต์โดยโมล ใช้อัตราส่วนการเบลนด์ของ (E)NR/RR/PP เท่ากับ 30/30/40 ส่วนโดยน้ำหนัก ใช้วิธีการผสมแบบ Melt mixing method ตามหัวข้อที่ 3.3.3.1 โดยใช้เครื่องบราเวนเดอร์พลาสติกคอคเตอร์ขนาดห้องผสม 55 cm<sup>3</sup> ที่อุณหภูมิ 60, 40 และ 155°C เพื่อเตรียมยางรีเคลมผสมกับสารตัดแปรงชนิดฟีนอลิกเรซิน ยางคอมพาวนด์ และเทอร์โมพลาสติกวัลคาไนซ์ตามลำดับ ความเร็วโรเตอร์ 60 รอบต่อนาที ใช้ Fill factor 0.8 ของปริมาตรความจุห้องผสม สารเคมีที่ใช้แสดงในตารางที่ 3.2 และขั้นตอนการผสมแสดงในรูปที่ 3.11 จากนั้นนำเทอร์โมพลาสติกวัลคาไนซ์ที่เตรียมได้ไปเตรียมเป็นชิ้นทดสอบเพื่อทดสอบสมบัติเชิงกลก่อนและหลังการบ่มแรง สมบัติเชิงกลพลวัต สมบัติการไหล และลักษณะทางสัณฐานวิทยา

### 3.4 วิธีการทดสอบสมบัติ

#### 3.4.1 การทดสอบค่าความหนืดมูนนี่

ทดสอบค่าความหนืดมูนนี่ของยางธรรมชาติ และยางธรรมชาติอีพอกไซด์ที่มีปริมาณหมู่อีพอกไซด์แตกต่างกัน โดยใช้เครื่อง Mooney viscometer ทำการทดสอบโดยใช้โรเตอร์เล็ก เนื่องจากยางมีความหนืดสูง ใช้เวลาในการอุ่นยาง 1 นาที เดินเครื่อง 4 นาที ที่อุณหภูมิ 100°C อ่านค่าได้เป็น MS(1+4), 100°C

#### 3.4.2 การทดสอบสมบัติความต้านทานต่อการดึงและความสามารถในการยืดจนขาด

ทดสอบสมบัติความต้านทานต่อแรงดึงและความสามารถในการยืดจนขาดตามมาตรฐาน ASTM D412 โดยการเตรียมชิ้นทดสอบจะต้องมีความหนาระหว่าง 1.5-3.0 mm นำมาตัดเป็นชิ้นทดสอบรูปดัมเบล (Dumbbell) Die C ซึ่งจะมีขนาดความยาว 115 mm กว้าง  $6.0 \pm 0.4$  mm ชิ้นทดสอบทุกชิ้นจะต้องวัดความหนาที่บริเวณกึ่งกลาง 3 จุดแล้วหาค่ากลาง พร้อมทั้งกำหนดระยะเริ่มต้นของการทดสอบ เพื่อติดตามระยะการยืดของชิ้นทดสอบ

นำไปทดสอบโดยใช้เครื่องทดสอบสมบัติเทนไซล์ (Tensile testing machine) โดยชิ้นทดสอบจะถูกติดตั้งเข้ากับเครื่องทดสอบ และถูกดึงด้วยความเร็ว  $500 \pm 5$  mm/min ค่าที่ตรวจวัดคือความสัมพันธ์ของความเค้นและความเครียด ความต้านทานต่อแรงดึง (Tensile strength) และความสามารถในการยืดจนขาด (Elongation at break) สามารถคำนวณโดยใช้สมการดังต่อไปนี้

#### การคำนวณ

$$\text{ความต้านทานต่อแรงดึง (MPa)} = \frac{F}{A} \quad (3.7)$$

โดยที่ F คือ แรงที่ใช้ดึงยางจนขาด (N)

A คือ พื้นที่หน้าตัดของชิ้นทดสอบขณะไม่ได้ยืด ( $\text{mm}^2$ )

$$\text{ความสามารถในการยืดจนขาด (\%)} = \left( \frac{L_1 - L_0}{L_0} \right) \times 100 \quad (3.8)$$

โดยที่  $L_1$  คือ ระยะห่างระหว่างเส้นที่ขีดบนชิ้นทดสอบเมื่อยืดจนขาด (cm)

$L_0$  คือ ระยะห่างระหว่างเส้นที่ขีดบนชิ้นทดสอบเดิม (cm)

### 3.4.3 การทดสอบการผิดรูปถาวรแบบดึง (Tension set)

นำชิ้นทดสอบตามมาตรฐานการทดสอบสมบัติการดึงในหัวข้อ 3.8.2 นำชิ้นทดสอบโดยใช้เครื่องทดสอบสมบัติการดึง โดยนำชิ้นตัวอย่างมาจับด้วยตัวยึดจับ (Grip) โดยวางตัวอย่างให้ได้แนวกลางของที่จับ จากนั้นยืดชิ้นทดสอบให้มีระยะยืด 100% ปล่อยให้ยางยืดในระยะนี้เป็นเวลา 10 นาที จากนั้นนำชิ้นทดสอบออกจากเครื่องทดสอบ แล้ววางตัวอย่างทิ้งไว้ 10 นาที ที่อุณหภูมิห้องจึงวัดระยะห่างระหว่างรอยขีดที่ขีดไว้ คำนวณหา Tension set (%) ได้จากสมการดังต่อไปนี้

$$\text{การผิดรูปถาวรแบบดึง (\%)} = \left( \frac{L_1 - L_0}{L_0} \right) \times 100 \quad (3.9)$$

โดยที่  $L_1$  คือ ระยะห่างระหว่างขีดสัญลักษณ์หลังทดสอบ (cm)

$L_0$  คือ ระยะห่างระหว่างขีดสัญลักษณ์ก่อนทดสอบ (cm)

### 3.4.4 การทดสอบสมบัติเชิงกลหลังบ่มเร่ง

ทดสอบการบ่มเร่งโดยนำชิ้นทดสอบที่เตรียมตามมาตรฐาน ASTM D412 สำหรับใช้ทดสอบสมบัติการดึงตามหัวข้อที่ 3.8.2 นำไปบ่มเร่งโดยใช้ตู้อบอากาศร้อนที่มีการไหลของอากาศบ่มเร่งที่อุณหภูมิ 100°C เป็นเวลา 22 ชั่วโมง จากนั้นนำตัวอย่างออกจากตู้อบเร่ง และวางตัวอย่างทิ้งไว้ที่อุณหภูมิห้องอย่างน้อย 16 ชั่วโมง ก่อนนำมาทดสอบสมบัติการดึงตามวิธีในหัวข้อที่ 3.8.1 จากนั้นจึงนำค่าที่ได้จากการทดสอบมาคำนวณเปอร์เซ็นต์การเปลี่ยนแปลงสมบัติ (%Change in property) ได้จากสมการที่ (3.10)

$$\text{เปอร์เซ็นต์การเปลี่ยนแปลงสมบัติ} = \left( \frac{B - A}{A} \right) \times 100 \quad (3.10)$$

โดยที่ A คือ สมบัติก่อนบ่มเร่ง

B คือ สมบัติหลังบ่มเร่ง

### 3.4.5 การทดสอบความแข็งด้วยเครื่อง Durometer

ทดสอบสมบัติด้านความแข็งโดยใช้ Durometer แบบ Shore A โดยใช้ชิ้นทดสอบสมบัติการดึงนำมาซ้อนทับกันให้แนบสนิทไม่มีอากาศให้มีความหนา 10 มิลลิเมตร ความกว้างและความยาวไม่น้อยกว่า 20 มิลลิเมตร การทดสอบจะใช้เครื่องมือวัดความแข็งโดยการกดลงให้แป้นสัมผัสกับผิวหน้าของชิ้นตัวอย่าง โดยทำการวัดที่จุดต่างๆบริเวณผิวหน้าของชิ้นทดสอบ 5 จุด หลังจากนั้นอ่านค่าความแข็งของชิ้นทดสอบจากหน้าปัดของเครื่องมือ ใช้ค่ากลางของข้อมูลเป็นความแข็งของตัวอย่างที่ทดสอบ

### 3.4.6 การทดสอบสมบัติการไหลด้วยเครื่อง Capillary rheometer

ทดสอบหาความเค้นเฉือนและความหนืดเฉือนของเทอร์โมพลาสติกโพลีเอทิลีน ที่อุณหภูมิ 150°C ความดัน 1400 bar ใช้อัตราการเฉือนตั้งแต่ 1 ถึง 1,000 s<sup>-1</sup> ใช้บาร์เรลเดี่ยว ใช้หัว die ที่มี L/D ratio 32/2 โดยเครื่องจะอัดพอลิเมอร์ผ่าน die ที่อัตราเฉือนที่เพิ่มขึ้น ซึ่งอัตราเฉือนที่เปลี่ยนไปนั้นจะขึ้นอยู่กับความเร็วในการอัดผ่าน die ใช้เวลาทดสอบ 10 นาที ซึ่งจะเป็นการอุ่น 5 นาทีและทดสอบ 5 นาที โดยในระหว่างการทดสอบความดันตกคร่อมที่เกิดขึ้นที่ตายจะถูกบันทึก คำนวณหาค่าปรากฏของความเค้นและความหนืดตามกฎของ the Poiseuille law สำหรับการไหลในคาร์บิลลารีตามสมการที่ 3.11-3.13

- ความเค้นเฉือนปรากฏ (Pa)

$$\tau = \frac{R\Delta P}{2L} \quad (3.11)$$

- อัตราเฉือนปรากฏ (s<sup>-1</sup>)

$$\dot{\gamma}_{app} = \frac{4Q}{\pi R^3} \quad (3.12)$$

- ความหนืดเฉือนปรากฏ (Pa.s)

$$\eta_s = \frac{\tau}{\dot{\gamma}_{app}} \quad (3.13)$$

- โดยที่  $\Delta P$  คือ ความดันตกคร่อมในตาย  
 Q คือ อัตราการไหล ( $m^3/s$ )  
 R คือ รัศมีของตายคาปิลลารี (m)  
 L คือ ความยาวของตายคาปิลลารี (m)

จากสมการที่ (3.11)-(3.13) เป็นค่าที่เป็นสมบัติปรากฏ (Apparent values) แทนที่จะเป็นค่าจริงของการไหลของพอลิเมอร์หลอม ทั้งนี้เนื่องจากการคำนวณได้ใช้ของไหลนิวโตเนียนเป็นตัวเปรียบเทียบการทดสอบจะเปรียบเทียบสมบัติการไหลในรูปแบบของความสัมพันธ์ระหว่างอัตราการไหลปรากฏกับความเค้นเฉือนปรากฏ และความสัมพันธ์ระหว่างอัตราการไหลปรากฏกับความหนืดเฉือนปรากฏ

#### 3.4.7 การทดสอบสมบัติเชิงกลพลวัตด้วยเครื่อง Moving die rheometer

ทดสอบสมบัติเชิงกลพลวัต โดยทดสอบตามมาตรฐาน ASTM D6601 โดยใช้เครื่อง rheoTECH MDpt โดยทดสอบที่อุณหภูมิ 165°C ค่าความเครียด (Strain) 3% แปรค่าความถี่ในการทดสอบ (Frequency sweep) ซึ่งจะรายงานค่าออกมาเป็น ค่ามอดุลัสสะสม (Storage modulus,  $G'$ ) มอดุลัสสูญเสีย (Loss modulus,  $G''$ ) แทนเจนต์สูญเสีย (Tan  $\delta$ ) และ ค่าความหนืดเชิงซ้อน (Complex viscosity,  $\eta^*$ )

#### 3.4.8 การศึกษาลักษณะทางสัณฐานวิทยาด้วยเครื่อง Scanning electron microscope (SEM)

การวิเคราะห์สัณฐานวิทยาโดยใช้เครื่องจุลทรรศน์อิเล็กตรอนแบบส่องกราด เตรียมตัวอย่างด้วยการทำให้ขึ้นตัวอย่างแตกหักด้วยไนโตรเจนเหลวเพื่อให้ได้ผิวหน้าใหม่สำหรับทดสอบ หลังจากนั้นนำตัวอย่างที่ได้ไปสกัดเฟสพลาสติกออกด้วยไซลีนที่อุณหภูมิเดือด เป็นเวลา 15-25 นาที นำไปอบแห้งที่อุณหภูมิ 40°C จากนั้นนำไปเคลือบผิวหน้าขึ้นตัวอย่างด้วยทองคำโดยนำตัวอย่างวางในเครื่องสำหรับเคลือบทองคำภายใต้สุญญากาศเป็นเวลา 2 นาที ก่อนนำไปทดสอบในโหมด SEI (Secondary electron image) ในการบันทึกภาพ โดยทดสอบที่กำลังขยาย 1,000 เท่า

## บทที่ 4

### ผลและวิจารณ์ผลการทดลอง

#### 4.1 การศึกษาสมบัติของยางรีเคลม

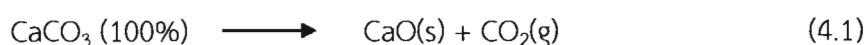
ยางรีเคลม คือ ยางที่ได้จากการนำยางที่ผ่านการวัลคาไนซ์มาผ่านกระบวนการรีเคลม (Reclamation) เพื่อให้สามารถนำยางวัลคาไนซ์ที่ใช้แล้วกลับมาใช้ใหม่ได้ กล่าวคือการทำให้โมเลกุลยางสามารถวัลคาไนซ์ได้อีกครั้ง โดยยางรีเคลมที่ใช้ในการทดลองมีลักษณะเป็นแผ่นสีดำไม่ทราบสมบัติ ฉะนั้นจึงต้องทดสอบและวิเคราะห์สมบัติเบื้องต้นของยางรีเคลม ได้แก่ สมบัติเชิงความร้อน การวิเคราะห์โครงสร้างทางเคมี การวิเคราะห์ปริมาณส่วนที่ละลายและไม่ละลาย การหาปริมาณพันธะเชื่อมขวาง และการวิเคราะห์สัณฐานวิทยา

##### 4.1.1 การวิเคราะห์สมบัติเชิงความร้อนของยางรีเคลมด้วยเทคนิค Thermal gravimetric analysis (TGA)

การวิเคราะห์สมบัติเชิงความร้อนโดยใช้เทคนิค TGA ตามวิธีในหัวข้อ 3.3.1.2 เพื่อศึกษาชนิดและปริมาณองค์ประกอบในยางรีเคลม ได้ผลเทอร์โมแกรมแสดงความสัมพันธ์ระหว่างน้ำหนักที่หายไป (Weight loss (%)) และอัตราการหายไปของน้ำหนัก (Derivative weight (%/min)) กับ อุณหภูมิ (Temperature (°C)) ดังรูปที่ 4.1(A) และ (B) และ ตารางที่ 4.1 แสดงองค์ประกอบของยางรีเคลมจากการทดสอบด้วยเทคนิค TGA

จากรูปที่ 4.1(A) เป็นการทดสอบสมบัติเชิงความร้อนโดยใช้เทคนิค TGA ภายใต้บรรยากาศไนโตรเจน จะพบการสลายตัวของยางรีเคลม 4 ช่วง แบ่งเป็นช่วงที่ 1 ที่อุณหภูมิ 49-300°C มีปริมาณการสลายตัว 9.5% ซึ่งเป็นการสลายตัวของ น้ำมัน พลาสติกไซเซออร์ และสารเคมีบางชนิดในยางรีเคลมที่สลายตัวที่อุณหภูมิต่ำ (Chen and Qian, 2003) จากนั้นการสลายตัวในช่วงที่ 2 และ ช่วงที่ 3 จะเกิดในช่วงอุณหภูมิ 300-490°C และ 490-585°C ตามลำดับ ในช่วงนี้จะเป็นการสลายตัวขององค์ประกอบหลักของสายโซ่โมเลกุลยางซึ่งเป็นสารไฮโดรคาร์บอน ซึ่งจะเห็นว่ายางเกิดการสลายตัวเป็น 2 ช่วง แสดงให้เห็นว่ายางรีเคลมมียางเป็นองค์ประกอบเท่ากับหรือมากกว่า 2 ชนิด ซึ่งมีปริมาณการสลายตัวรวมกันเท่ากับ 55% โดยจากการสลายตัวทั้งสองช่วงนั้นคาดว่า ในช่วงที่ 1 ที่อุณหภูมิ 355°C เป็นการสลายตัวของยางธรรมชาติ (Gisbert *et al.*, 2007) และช่วงที่ 2 ที่อุณหภูมิประมาณ 422°C เป็นการสลายตัวของยางสังเคราะห์คือ ยางบิวทาไดอิน (Butadiene rubber) และ ยางสไตรีนบิวทาไดอิน (Styrene-Butadiene rubber) (Chen and Qian, 2003; Berrueco *et al.*, 2004; Gisbert *et al.*, 2007) รวมถึงอาจจะเป็นการสลายตัวของยางเอทิลีนโพรพิลีนไดอิน

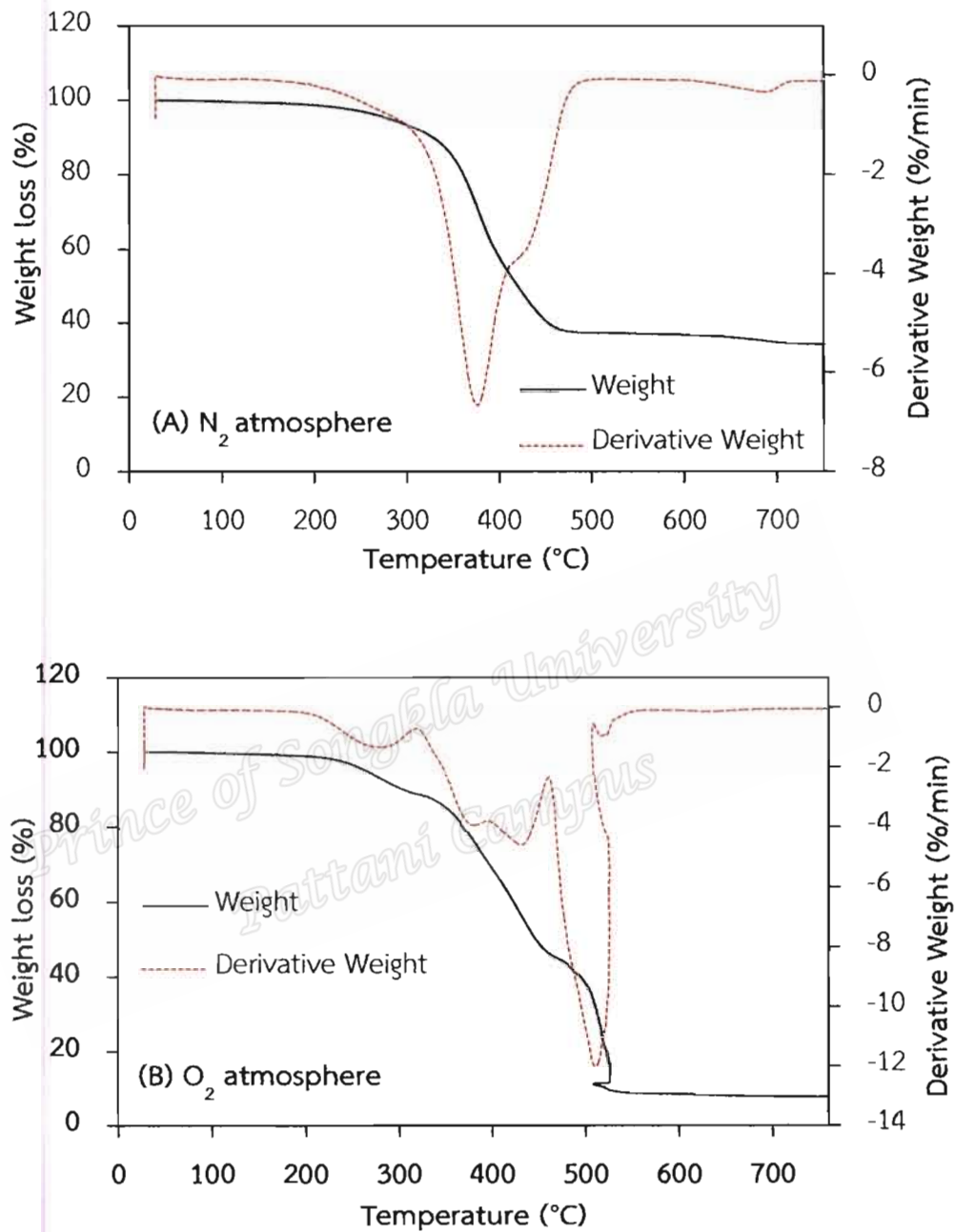
(Ethylene-Propylene Diene Rubber, EPDM) เนื่องจากสามารถสลายตัวได้ในช่วงอุณหภูมิ 410 - 440°C (Gamlin *et al.*, 2003) และในการสลายตัวของยางรีเคลมในช่วงที่ 4 ซึ่งเกิดในช่วงอุณหภูมิ 615-750°C พบการสลายตัวขององค์ประกอบในยางรีเคลมประมาณ 2% ซึ่งคาดว่าจะเป็นการสลายตัวของสารตัวเติมแคลเซียมคาร์บอเนต (Calcium carbonate, CaCO<sub>3</sub>) ได้ก๊าซคาร์บอนไดออกไซด์ (Huang and Wang, 2009) ดังสมการที่ 4.1 และมีซี้เถ้าหลงเหลืออยู่ 33.5%



จากนั้นเพื่อวิเคราะห์องค์ประกอบของสารตัวเติมเข้ามาดำในยางรีเคลมเพิ่มเติม จึงได้นำยางรีเคลมไปวิเคราะห์การสลายตัวภายใต้บรรยากาศออกซิเจน ดังรูปที่ 4.1(B) พบว่าเข้ามาดำมีการสลายตัวที่อุณหภูมิ 460-510°C และมีปริมาณ 33% ขณะที่เถ้าหลงเหลืออยู่ 8.0% ซึ่งเป็นสารที่ไม่สลายตัวในช่วงอุณหภูมิต่ำกว่า 620°C เช่น สารอนินทรีย์ ซิงค์ออกไซด์ และแคลเซียมออกไซด์จากแคลเซียมคาร์บอเนต เป็นต้น

ตารางที่ 4.1 องค์ประกอบของยางรีเคลมแบบแผ่นที่ทดสอบด้วยเทคนิค TGA ที่อุณหภูมิห้อง ถึง 750°C ภายใต้บรรยากาศไนโตรเจน และออกซิเจน

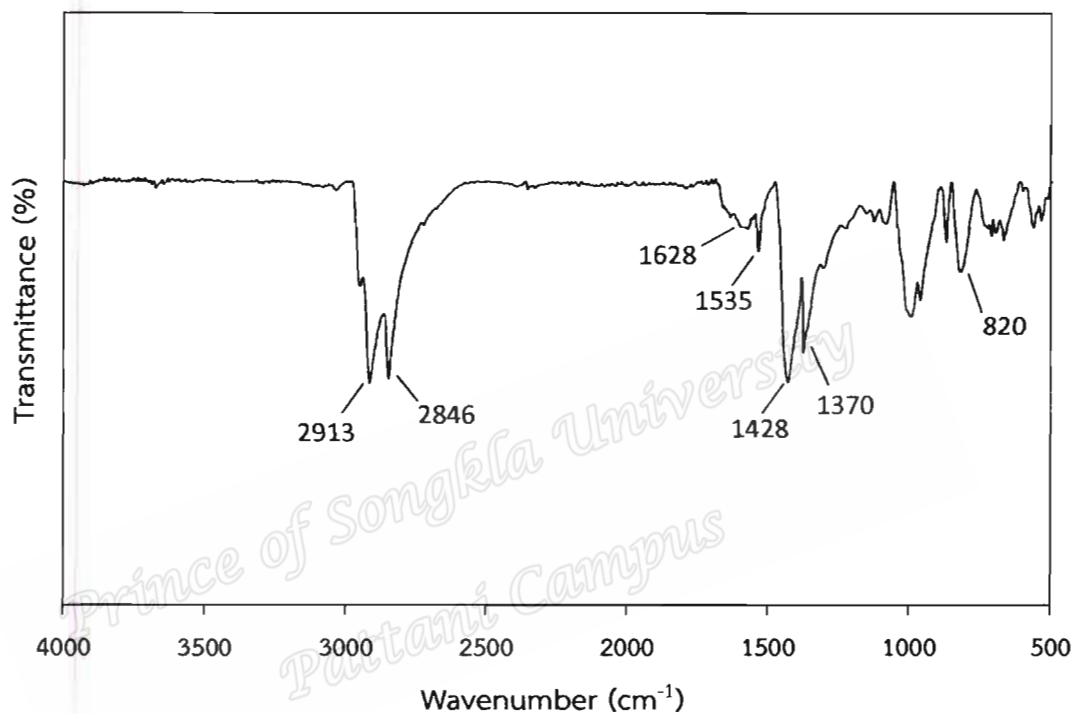
| Number | Atmosphere     | T <sub>d</sub> onset (°C) | T <sub>d</sub> (°C) | Component (%) | Type of component                    |
|--------|----------------|---------------------------|---------------------|---------------|--------------------------------------|
| 1      | N <sub>2</sub> | 59                        | 49-300              | 9.5           | Water, Oil                           |
| 2      | N <sub>2</sub> | 349                       | 300-490             | 36.5          | Rubber                               |
| 3      | N <sub>2</sub> | 410                       | 490-585             | 18.5          | Rubber                               |
| 4      | N <sub>2</sub> | 623                       | 685-750             | 2.0           | CO <sub>2</sub> in CaCO <sub>3</sub> |
| 5      | N <sub>2</sub> | -                         | >750                | 33.5          | Ash                                  |
| 6      | O <sub>2</sub> | 485                       | 460 – 510           | 33.0          | Carbon black                         |
| 7      | O <sub>2</sub> | 618                       | 510 – 620           | 4.0           | CO <sub>2</sub> in CaCO <sub>3</sub> |
| 8      | O <sub>2</sub> | -                         | >620                | 8.0           | Ash                                  |



รูปที่ 4.1 เทอร์โมแกรมแสดงความสัมพันธ์ระหว่างน้ำหนักที่หายไป และอัตราการหายไปของน้ำหนัก กับอุณหภูมิของยางรีเคลม เมื่อทดสอบที่อุณหภูมิห้องถึง 750°C ภายใต้สภาวะ (A) บรรยากาศไนโตรเจน (B) บรรยากาศออกซิเจน

#### 4.1.2 การวิเคราะห์โครงสร้างทางเคมีของยางรีเคลมด้วยเทคนิคอินฟราเรดสเปกโทรสโกปี (FTIR)

วิเคราะห์โครงสร้างทางเคมีของยางรีเคลมด้วยเทคนิคอินฟราเรดสเปกโทรสโกปี โดยใช้เครื่องฟูเรียร์ทรานสฟอร์มอินฟราเรดสเปกโตรมิเตอร์ (FT-IR) ได้สเปกตรัมของยางรีเคลม ดังรูปที่ 4.2



รูปที่ 4.2 สเปกตรัม FTIR ของยางรีเคลมชนิดแผ่น

รูปที่ 4.2 แสดงสเปกตรัม FTIR ของยางรีเคลม ซึ่งพบเห็นว่า FTIR ของยางรีเคลม ปรากฏแถบการดูดกลืนที่ตำแหน่งเลขคลื่นประมาณ 2913 และ 2846  $\text{cm}^{-1}$  แสดงถึงการสั่นแบบยืดของ C-H ใน  $-\text{CH}_3$  และ  $-\text{CH}_2$  ขณะที่ 1432 และ 1370  $\text{cm}^{-1}$  ซึ่งแสดงถึงพันธะ  $-\text{CH}_2$  และ  $-\text{CH}_3$  ในโครงสร้างของยาง (Zanchet *et al.*, 2012; Imyim *et al.*, 2016) และพบว่าที่ตำแหน่งเลขคลื่นที่ 1628  $\text{cm}^{-1}$  แสดงถึงส่วนที่ไม่อิ่มตัวในไอโซพรีนซึ่งแสดงถึงพันธะ C=C (Hassan *et al.*, 2013) สำหรับตำแหน่งเลขคลื่นที่ 1535  $\text{cm}^{-1}$  แสดงถึงการสั่นแบบยืดของ Zinc carboxylates (Zanchet *et al.*, 2012) ซึ่งเป็นอนุพันธ์ที่ได้จากการสลายตัวภายใต้ความร้อนของยางวัลคาไนซ์ที่ใช้กำมะถันเป็นสารวัลคาไนซ์ และที่ตำแหน่งเลขคลื่น 820  $\text{cm}^{-1}$  แสดงถึงการสั่นแบบงอของพันธะ C-H ในโมเลกุลยางธรรมชาติ และในวงเบนซีน

เป็นสารวัลคาไนซ์ และที่ตำแหน่งเลขคลื่น  $820\text{ cm}^{-1}$  แสดงถึงการสั่นแบบงอของพันธะ C-H ในโมเลกุลยางธรรมชาติ และในวงเบนซีน

#### 4.1.3 การวิเคราะห์ปริมาณส่วนที่ละลายและไม่ละลาย (Sol-gel fraction) ในยางรีเคลม

ทำการวิเคราะห์หาส่วนที่ละลายได้ในยางรีเคลมด้วยวิธี Soxhlet extraction ตามวิธีในหัวข้อ 3.3.1.3 โดยเป็นการทดสอบหาส่วนที่ละลายได้ (Sol fraction) ของยางด้วยตัวทำละลายอะซิโตน และเตตระไฮโดรฟูแรน เช่น น้ำมัน ยางที่ไม่วัลคาไนซ์ สารวัลคาไนซ์ เป็นต้น และส่วนที่ไม่สามารถละลายได้ (Gel fraction) เช่น ยางส่วนที่วัลคาไนซ์ สารตัวเติม เป็นต้น ผลการวิเคราะห์หาปริมาณส่วนที่ละลายได้ในยางรีเคลมแสดงผลดังตารางที่ 4.2

ส่วนที่ละลายได้ของยางรีเคลม เป็นการทดสอบเพื่อทราบถึงประสิทธิภาพในการรีเคลม โดยปกติปริมาณส่วนที่ละลายได้ของยางวัลคาไนซ์โดยทั่วไปจะอยู่ที่ 5-20% ขึ้นอยู่กับชนิดยาง ความยาวสายโซ่โมเลกุลยาง ระบบการวัลคาไนซ์ และความสมบูรณ์ในโครงสร้างแบบร่างแหของโมเลกุลยาง (Saiwari, 2013) ในขณะที่จากการทดลองยางรีเคลมชนิดแผ่น พบว่ามีส่วนที่สามารถละลายได้ประมาณ 24.64% ซึ่งถือว่าเป็นค่าที่สูงกว่ายางวัลคาไนซ์แสดงให้เห็นถึงประสิทธิภาพในการทำรีเคลม

ตารางที่ 4.2 ปริมาณส่วนที่ละลายได้ ปริมาณส่วนที่ไม่ละลาย และความหนาแน่นพันธะเชื่อมขวาง

| Number | Initial weight (g) | weight after test (g) | Weight loss (g) | Sol (%) | Gel (%) | Crosslink density ( $\times 10^{-4}\text{ mol/cm}^3$ ) |
|--------|--------------------|-----------------------|-----------------|---------|---------|--|
| 1      | 0.1864             | 0.1408                | 0.0456          | 24.46   | 75.54   | 2.24   |
| 2      | 0.1857             | 0.1395                | 0.0462          | 24.88   | 75.12   | 2.28   |
| 3      | 0.2623             | 0.1975                | 0.0648          | 24.70   | 75.30   | 2.40   |
| 4      | 0.2700             | 0.2037                | 0.0663          | 24.56   | 75.44   | 2.30   |
| 5      | 0.1727             | 0.1302                | 0.0425          | 24.61   | 75.39   | 2.18   |
|        |                    |                       | เฉลี่ย          | 24.64   | 75.36   | 2.28   |

#### 4.1.4 การหาความหนาแน่นพันธะเชื่อมขวางในยางรีเคลมด้วยวิธีการบวมพอง (Swelling)

ทำการทดสอบหาปริมาณพันธะเชื่อมขวางในยางรีเคลมด้วยวิธีการตามหัวข้อที่ 3.3.1.4 โดยใช้โทลูอีนเป็นตัวทำละลาย จากนั้นจึงคำนวณหาปริมาณพันธะเชื่อมขวางโดยใช้สมการ Flory-Rehner ผลการทดลองแสดงดังตารางที่ 4.2

เติมเขม่าดำผสมอยู่ จึงจะหักลบปัจจัยของสารตัวเติมออกไป กล่าวคือความหนาแน่นพันธะเชื่อมขวางในยางรีเคลมเป็นพันธะเชื่อมขวางที่เกิดจากยางซึ่งมีปริมาณ  $2.28 \times 10^{-4} \text{ mol/cm}^3$

#### 4.1.5 การวิเคราะห์สัณฐานวิทยาของยางรีเคลม

ผลการวิเคราะห์ลักษณะทางกายภาพของยางรีเคลมด้วยกล้องจุลทรรศน์อิเล็กตรอนแบบส่องกราดที่กำลังขยาย 200, 500 และ 1000 เท่า ดังรูปที่ 4.3 พบว่าสัณฐานวิทยาของยางรีเคลมมีลักษณะเป็นผิวต่อเนื่องของยาง โดยที่ผิวหน้าของยางมีทั้งที่เป็นเรียบและขรุขระ และพบว่ามีกลุ่มของสารเคมีกระจายตัวอยู่



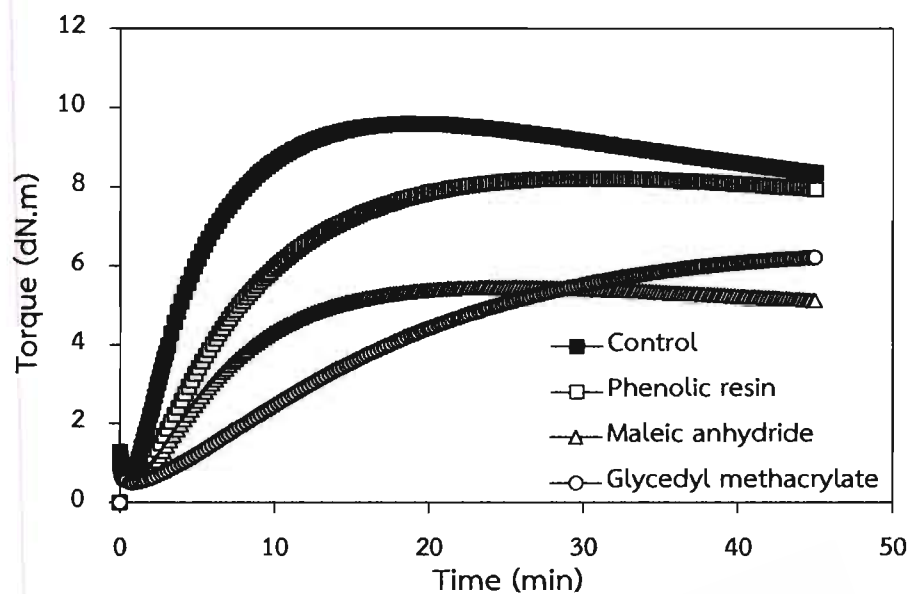
รูปที่ 4.3 ลักษณะสัณฐานวิทยาของยางรีเคลมแบบแผ่นที่กำลังขยาย 200, 500 และ 1,000 เท่า

#### 4.2 การศึกษาอิทธิพลของชนิดสารตัดแปรรต่อสมบัติของยางวัลคาไนซ์จากการเบลนดระหว่างยางธรรมชาติและยางรีเคลม (NR/RR blend)

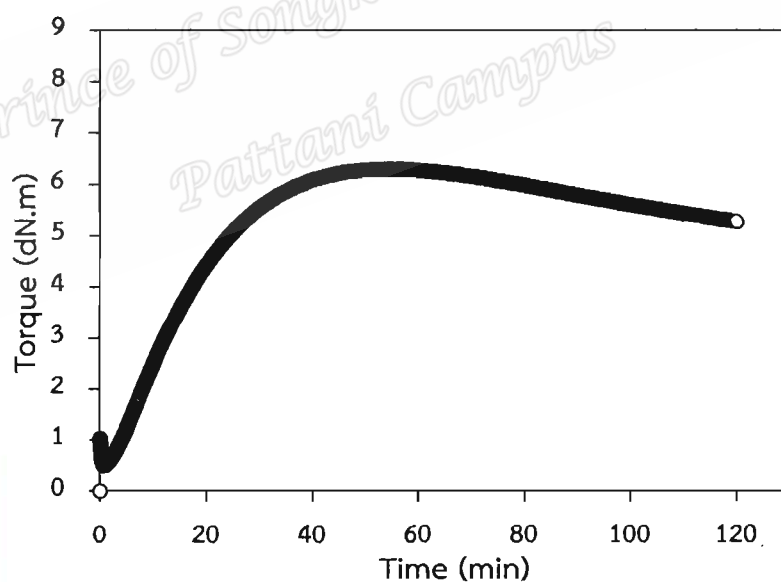
ทำการศึกษาผลของชนิดสารตัดแปรรต่อพฤติกรรมการวัลคาไนซ์ สมบัติเชิงกล และสมบัติการไหลของยางวัลคาไนซ์จากการเบลนดระหว่างยางธรรมชาติ และยางรีเคลม โดยแปรรชนิดของสารตัดแปรร 3 ชนิด ได้แก่ ฟีนอลิกเรซิน (Phenolic resin, Ph) มาลิกแอนไฮไดรด์ (Maleic anhydride, MA) และ โกลซิดีลเมทาคริเลต (Glycidyl methacrylate, GM) เตรียมยางคอมพาวนด์จากการเบลนดระหว่างยางธรรมชาติและยางรีเคลมตามวิธีการในหัวข้อที่ 3.3.2

##### 4.2.1 พฤติกรรมการวัลคาไนซ์ของยางเบลนดระหว่าง NR/RR เมื่อแปรรชนิดสารตัดแปรร

นำยางเบลนดระหว่าง NR/RR โดยแปรรชนิดสารตัดแปรรตามวิธีการในหัวข้อที่ 3.3.2.1 มาทดสอบหาพฤติกรรมการวัลคาไนซ์ด้วยเครื่อง mini-MDR ที่อุณหภูมิ  $150^{\circ}\text{C}$  ผลการทดลองแสดงดังรูปที่ 4.4



รูปที่ 4.4 พฤติกรรมการวัลคาไนซ์ของยางเบลนด์ระหว่าง NR/RR เมื่อแปรชนิดสารตัดแปรรูปที่อุณหภูมิ 150°C



รูปที่ 4.5 พฤติกรรมการวัลคาไนซ์ของยางเบลนด์ระหว่าง NR/RR เมื่อแปรชนิดสารตัดแปรรูปชนิดไกลซีดีลเมทาคริเลต ที่อุณหภูมิ 150°C

จากรูปที่ 4.4 และ 4.5 แสดงพฤติกรรมการวัลคาไนซ์ของยางธรรมชาติเบลนด์ยางรีเคลม เมื่อมีการใช้สารตัดแปรรูป 3 ชนิด ได้แก่ ฟีนอลิกเรซิน มาลิกแอนไฮไดรด์ และไกลซีดีลเมทาคริเลต จะเห็นว่า การใช้สารตัดแปรรูปแต่ละชนิดจะให้ลักษณะกราฟการวัลคาไนซ์ของยางเบลนด์ที่มีอัตราเร็วและ

ประสิทธิภาพการวัลคาไนซ์แตกต่างกัน ยกเว้นพฤติกรรมการวัลคาไนซ์ในช่วงหลัง Optimum cure time (ระยะเวลาวัลคาไนซ์ที่ทำให้ยางมีสมบัติที่ดีที่สุด) ที่ปรากฏเหมือนกัน คือมีพฤติกรรมเป็นแบบ Reversion โดยยางจะเกิดการเสื่อมเมื่อวัลคาไนซ์มากเกินไป (Over cure) สังเกตได้จากยางจะมีความแข็งหรือมอดูลัสลดลง โดยพฤติกรรมดังกล่าวเกิดจากการใช้ยางธรรมชาติเป็นองค์ประกอบในการเบลนด์ร่วมกับการใช้ระบบกำมะถันแบบปกติเป็นระบบวัลคาไนซ์ ซึ่งจะเกิด Reversion เนื่องจากโมเลกุลยางธรรมชาติถูกตัดขาดสายโซ่จากผลของความร้อน และพันธะเชื่อมขวางมีการเปลี่ยนรูปแบบจากพอลิซัลฟิดิกเป็นได-หรือโมโนซัลฟิดิกได้

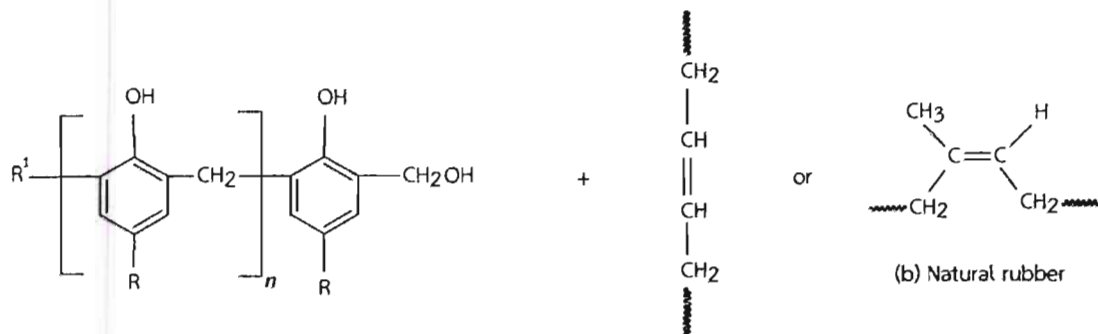
จากความสัมพันธ์ระหว่างค่าทอร์กกับเวลาในรูปที่ 4.4 สามารถหาค่าทอร์กต่ำสุด (Minimum torque,  $M_L$ ) ค่าทอร์กสูงสุด (Maximum torque,  $M_H$ ) ผลต่างของค่าทอร์ก ( $M_H - M_L$ ) เวลาที่ยางเริ่มเกิดการวัลคาไนซ์ (Scorch time,  $t_{s1}$ ) เวลาการวัลคาไนซ์ (Cure time,  $t_{c90}$ ) และดัชนีการวัลคาไนซ์ (Cure rate index, CRI) ได้ผลแสดงดังตารางที่ 4.3

ตารางที่ 4.3 สมบัติการวัลคาไนซ์ของยางเบลนด์ระหว่างยางธรรมชาติกับยางรีคอมเม เมื่อแปรชนิดสารดัดแปร

| Types of modifier | $M_L$ (dN.m) | $M_H$ (dN.m) | $M_H - M_L$ (dN.m) | Scorch Time (min) | Cure Time (min) | CRI ( $\text{min}^{-1}$ ) |
|-------------------|--------------|--------------|--------------------|-------------------|-----------------|---------------------------|
| Control           | 0.61         | 9.59         | 8.98               | 1.57              | 10.10           | 11.72                     |
| Ph                | 0.64         | 8.22         | 7.58               | 2.81              | 16.43           | 7.34                      |
| MA                | 0.66         | 5.47         | 4.81               | 3.45              | 13.73           | 9.73                      |
| GM                | 0.49         | 6.31         | 5.82               | 6.11              | 32.61           | 3.77                      |

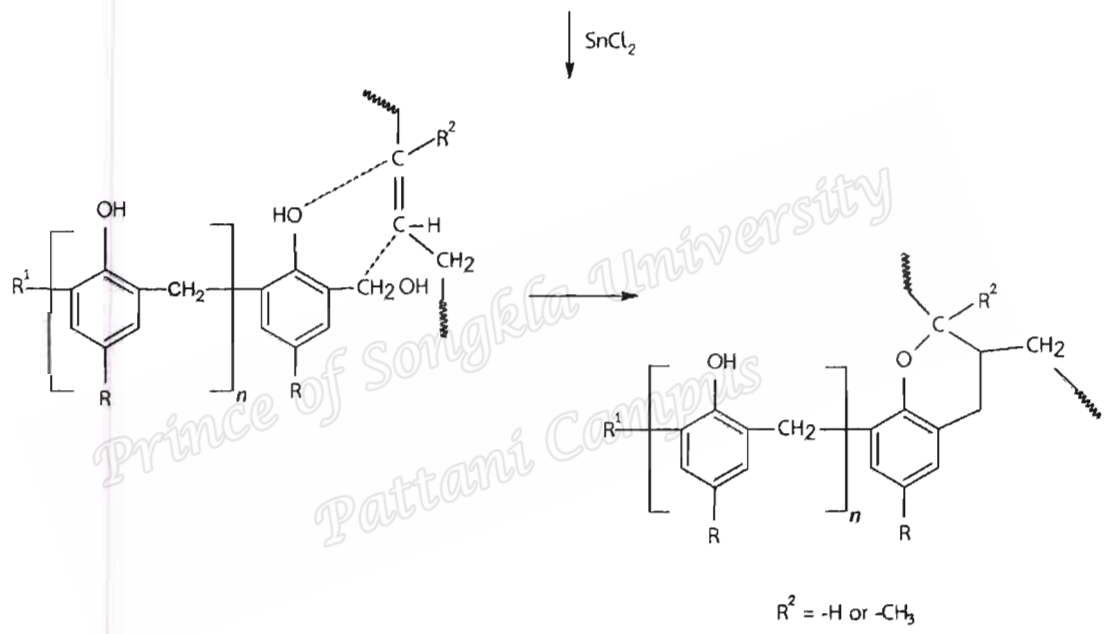
จากข้อมูลในตารางที่ 4.3 จะพบว่าค่าทอร์กต่ำสุดของยางเบลนด์มีค่าใกล้เคียงกันทั้งสูตรที่ไม่ใช้และสูตรที่ใช้สารดัดแปร ยกเว้นยางเบลนด์สูตรที่ใช้สารดัดแปรชนิดไกลซีดีลเมทาคริเลต จะให้ค่าทอร์กต่ำสุดมีค่าน้อยที่สุด ซึ่งน่าจะเป็นผลมาจากสารดัดแปรชนิดไกลซีดีลเมทาคริเลตมีสถานะเป็นของเหลวที่อุณหภูมิห้อง ซึ่งแสดงถึงโมเลกุลจะยิ่งเคลื่อนไหวได้ง่ายเมื่อเจอความร้อนขณะทดสอบ ส่งผลให้ยางมีความนิ่มลง ในขณะที่ค่าทอร์กสูงสุดของยางเบลนด์จะให้ค่าที่แตกต่างกัน คือ สูตรที่ไม่ใช้สารดัดแปรจะมีค่าทอร์กสูงสุดมากที่สุด รองลงมาคือ ยางเบลนด์ที่ใช้สารดัดแปรชนิดฟีนอลิกเรซิน ไกลซีดีลเมทาคริเลต และมาลิกแอนไฮไดรด์ ตามลำดับ โดยที่ค่าทอร์กสูงสุดจะขึ้นอยู่กับมอดูลัสของยางที่เปลี่ยนแปลงไปเมื่อโมเลกุลยางเกิดพันธะเชื่อมขวาง โดยระดับพันธะเชื่อมขวางหรือความหนาแน่นพันธะเชื่อมขวางสามารถพิจารณาได้จากผลต่างของค่าทอร์กสูงสุดและค่าทอร์กต่ำสุด ( $M_H - M_L$ ) ข้อมูลในตารางที่ 4.3 แสดงให้เห็นว่ายางเบลนด์สูตรที่ไม่ใช้สารดัดแปรจะมีปริมาณพันธะ

เชื่อมขวางมากที่สุด รองลงมาคือ ยางเบลนด์ที่ใช้สารดัดแปรชนิดฟีนอลิกเรซินเรซิน โกลซิติลเมทาคริเลต และมาลิกแอนไฮไดรด์ ตามลำดับ และเมื่อพิจารณาค่าระยะเวลาการสกอร์ช ระยะเวลาการวัลคาไนซ์ และดัชนีการวัลคาไนซ์ พบว่ายางเบลนด์สูตรที่ใช้สารดัดแปรจะทำให้ระยะเวลาการสกอร์ช และระยะเวลาการวัลคาไนซ์มีค่าเพิ่มขึ้น ในขณะที่ดัชนีการวัลคาไนซ์ และปริมาณพันธะเชื่อมขวางมีค่าลดลง ซึ่งลักษณะที่พบสามารถอธิบายได้จาก ความเป็นไปได้ของการเกิดปฏิกิริยาแข่งขันระหว่างสารวัลคาไนซ์และสารดัดแปร โดยปฏิกิริยาที่เป็นไปได้ระหว่างยางและสารดัดแปรชนิดต่างๆ แสดงในรูปที่ 4.6 - 4.8 ซึ่งปฏิกิริยาที่เกิดขึ้นอาจมีผลทำให้ปริมาณหมู่ฟังก์ชันในยางธรรมชาติลดลง และเกิดปฏิกิริยาการวัลคาไนซ์กับกำมะถันได้น้อยลง นอกจากนี้สภาพความเป็นกรด-ด่างของสารดัดแปรทั้ง 3 ชนิดที่มีค่าดังนี้ มาลิกแอนไฮไดรด์ โกลซิติลเมทาคริเลต และฟีนอลิกเรซิน มีค่าความเป็นกรด (pH) เท่ากับ 0.5, 4.5, และ 5.5 ตามลำดับ โดยสภาพความเป็นกรดจะไปรบกวนระบบการทำงานของสารตัวเร่งในระบบการวัลคาไนซ์แบบกำมะถัน ให้มีประสิทธิภาน้อยลง นอกจากนี้การที่ยางเบลนด์สูตรที่ใช้สารดัดแปรชนิดมาลิกแอนไฮไดรด์มีพฤติกรรมการวัลคาไนซ์แย่ที่สุดเป็นผลมาจากสารดัดแปรชนิดมาลิกแอนไฮไดรด์ จะแตกตัวได้ง่ายได้สารที่มีฤทธิ์เป็นกรด ทำให้มาลิกแอนไฮไดรด์ทำหน้าที่เป็นเสมือนสารหน่วง (Cure retarders) ส่งผลให้ปฏิกิริยาวัลคาไนซ์เกิดได้ช้าลง (Nelson and Kutty, 2004; Pasbakhsh *et al.*, 2009; วราภรณ์, 2552) ในขณะที่สารดัดแปรชนิดโกลซิติลเมทาคริเลต ซึ่งมีหมู่ฮิพอกไซด์อยู่ในโครงสร้าง โดยที่หมู่ฮิพอกไซด์มีโอกาสเกิดอันตรกิริยากับสารตัวเร่ง ทำให้สารตัวเร่งจำนวนหนึ่งไม่สามารถเร่งปฏิกิริยาวัลคาไนซ์ได้ (ภูริพงศ์, 2548) ทำให้ระยะเวลาการวัลคาไนซ์นานขึ้น และเช่นเดียวกันในกรณีของการใช้สารดัดแปรชนิดฟีนอลิกเรซินที่ซึ่งในขั้นแรกของการเกิดปฏิกิริยาจะมีการกำจัดน้ำจาก o-methylol phenol ได้เป็น Methylene quinone ก่อนจะเกิดปฏิกิริยากับพันธะคู่ในยางธรรมชาติ (Brydson, 1978) ส่งผลให้ระยะเวลาการวัลคาไนซ์นานขึ้น



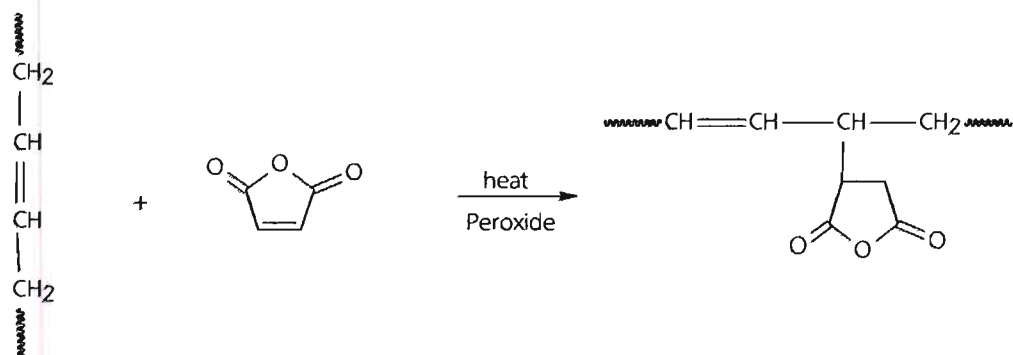
$R^1 = -H \text{ or } -CH_2OH$   
 $R = -C(CH_3)_2CH_2C(CH_3)_3$

(a) Unsaturated backbone in reclaim rubber

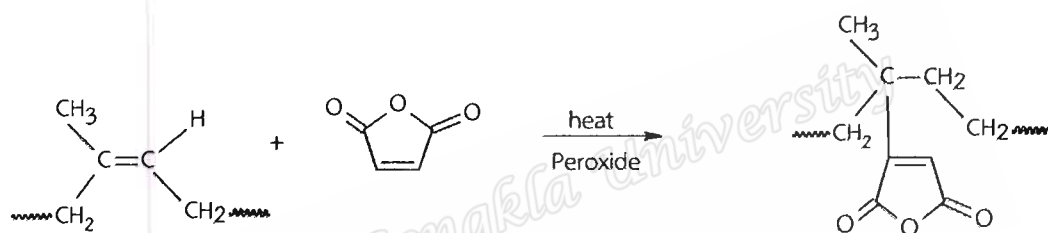


Chroman ring structure form reaction of phenolic resin with unsaturation sites in rubber

รูปที่ 4.6 ปฏิกิริยาที่เป็นไปได้ระหว่างฟีนอลิกเรซินกับสายโซ่โมเลกุลของยางไม้เชื่อมตัวในยางรีเคลม (a) และยางธรรมชาติ (b) (ดัดแปลงจาก Coran, 2005 และ Nakason *et al.*, 2006b)

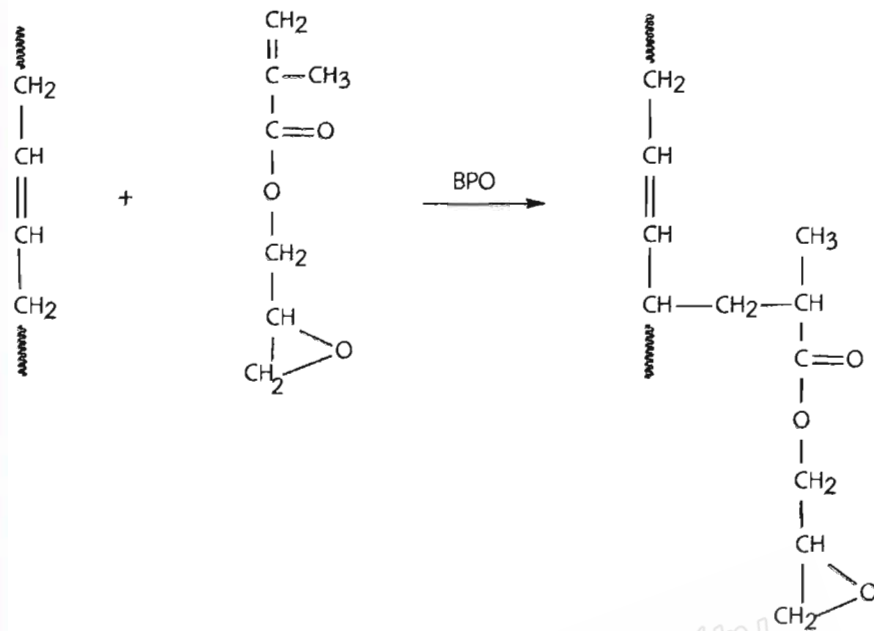


(a) Reaction of maleic anhydride with unsaturated backbone in reclaim rubber

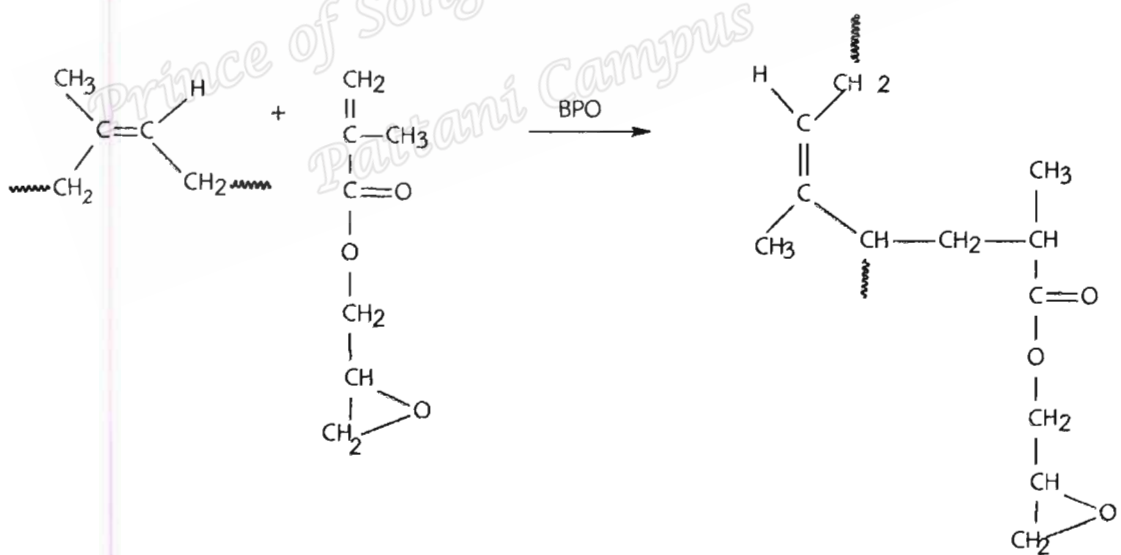


(b) Reaction of maleic anhydride with natural rubber

รูปที่ 4.7 ปฏิกิริยาที่เป็นไปได้ระหว่างมาลิกแอนไฮไดรด์กับสายโซ่โพลีเมอร์ของยางไม่อิมตัวในยางรีไซเคิล (a) และยางธรรมชาติ (b) (Nelson, 2003 และ Nakason *et al.*, 2006a)



(a) Reaction of glycidyl methacrylate with unsaturated backbone in reclaim rubber

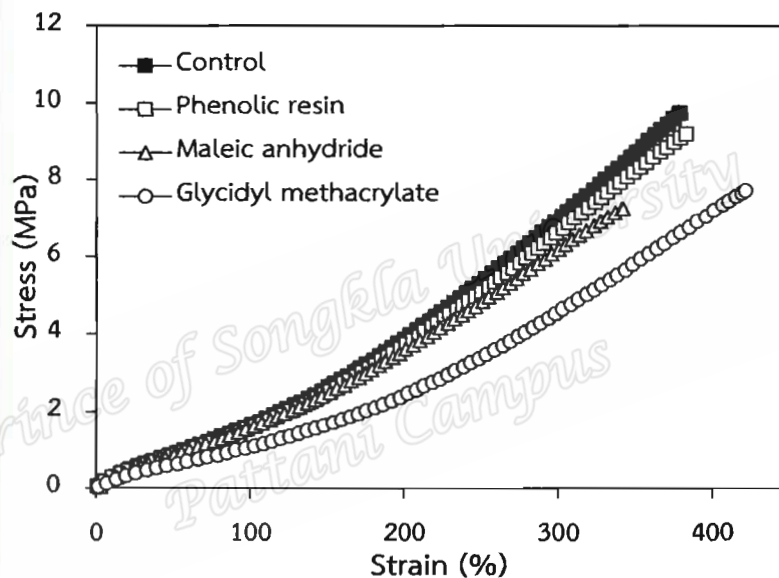


(b) Reaction of glycidyl methacrylate with natural rubber

รูปที่ 4.8 ปฏิกริยาที่เป็นไปได้ระหว่างไกลซิديلเมทาคริเลตกับสายโซ่โมเลกุลของยางไม่อิมตัวในยางรีไซเคิล (a) และยางธรรมชาติ (b) (ดัดแปลงจาก Nelson, 2003 และ Juntuek *et al.*, 2011)

#### 4.2.2 การศึกษาอิทธิพลของชนิดสารดัดแปรต่อสมบัติเชิงกลของยางวัลคาไนซ์จากการเบลนดระหว่าง NR/RR

นำยางคอมพาวนด์จากการเบลนดระหว่างยางธรรมชาติ และยางรีเคลมมาศึกษาสมบัติเชิงกล โดยการนำยางคอมพาวนด์ไปขึ้นรูปด้วยวิธีการอัดแก้ว ที่อุณหภูมิ 150°C หลังจากนั้นนำยางที่ผ่านการขึ้นรูปแล้วมาทดสอบสมบัติความต้านทานต่อแรงดึง ความสามารถในการยืดจนขาด ความสามารถในการคืนรูป และความแข็ง ตามวิธีการทดสอบในหัวข้อ 3.4.2, 3.4.3 และ 3.4.5 ตามลำดับ ผลทดลองที่ได้แสดงดังรูปที่ 4.9 และตารางที่ 4.4



รูปที่ 4.9 ความสัมพันธ์ระหว่างความเค้นกับความเครียดของยางวัลคาไนซ์จากการเบลนดยางธรรมชาติกับยางรีเคลมเมื่อแปรชนิดของสารดัดแปร

จากรูปที่ 4.9 แสดงความสัมพันธ์ระหว่างความเค้นและความเครียดเมื่อใช้สารดัดแปรชนิดต่างๆ พบว่ายางเบลนดระหว่างยางธรรมชาติและยางรีเคลมมีการผิดรูปแบบอิลาสติก และเมื่อพิจารณาที่เปอร์เซ็นต์การผิดรูปต่างๆ จะสังเกตได้ว่าความแข็งตึง (Stiffness) ของยางวัลคาไนซ์ที่ใช้สารดัดแปรจะมีค่าน้อยกว่าสูตรที่ไม่ใส่สารดัดแปรมากนักตามชนิดสารดัดแปร

จากกราฟในรูปที่ 4.9 สามารถนำมาคำนวณหาค่าความต้านทานต่อแรงดึง และความสามารถในการยืดจนขาด ได้ผลแสดงดังตารางที่ 4.4 นอกจากนี้ ยังแสดงผลการทดสอบสมบัติความสามารถในการคืนรูปและความแข็งด้วย

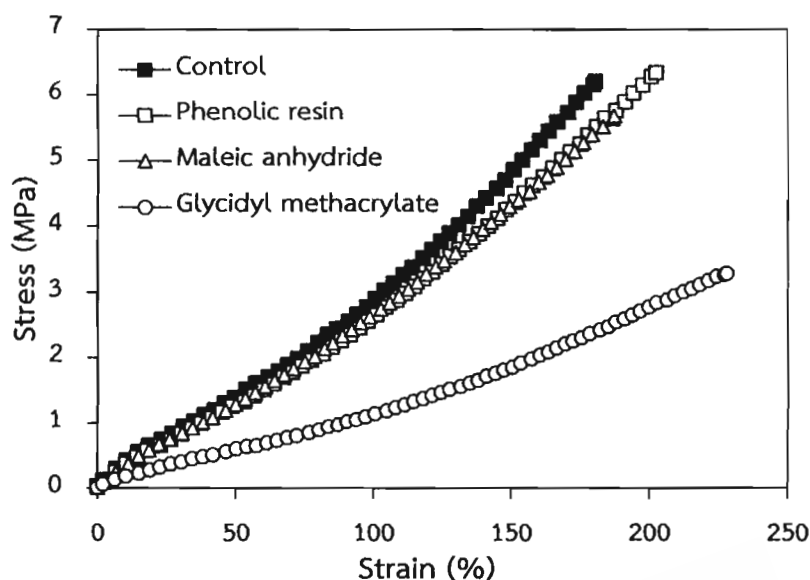
ตารางที่ 4.4 สมบัติเชิงกลของยางวัลคาไนซ์จากการเบลนด์อย่างธรรมชาติกับยางรีเคลมเมื่อแปรชนิดสารดัดแปร

| Type of modifier | Tensile strength (MPa) | Elongation at break (%) | Hardness (shore A) | Tension set (%) |
|------------------|------------------------|-------------------------|--------------------|-----------------|
| Control          | 9.85±0.12              | 383±19.05               | 51                 | 2.07±0.12       |
| Ph               | 9.25±0.09              | 384±12.07               | 51                 | 2.22±0.07       |
| MA               | 7.75±0.12              | 328±15.42               | 49                 | 2.20±0.35       |
| GM               | 7.91±0.19              | 427±13.35               | 43                 | 2.23±0.06       |

จากตารางที่ 4.4 พบว่ายางเบลนด์สูตรที่ไม่ใส่สารดัดแปร และยางเบลนด์สูตรที่ใช้สารดัดแปรชนิดฟีนอลิกเรซิน มีค่าความต้านทานต่อแรงดึง ความสามารถในการยืดจนขาด และความแข็งใกล้เคียงกัน ในขณะที่ยางเบลนด์ที่ใช้สารดัดแปรชนิดมาลิกแอนไฮไดรด์ และไกลซิดิลเมทาคริเลต จะมีค่าความต้านทานต่อแรงดึง และความแข็งลดลง ซึ่งสอดคล้องกับปริมาณความหนาแน่นพันธะเชื่อมขวางที่ได้จากผลต่างของค่าทอร์กสูงสุด และค่าทอร์กต่ำสุด ( $M_H - M_L$ ) ในตารางที่ 4.3 กล่าวคือ สารดัดแปรชนิดมาลิกแอนไฮไดรด์ และไกลซิดิลเมทาคริเลตจะไปรบกวนการทำงานของสารวัลคาไนซ์ส่งผลให้ความหนาแน่นของพันธะเชื่อมขวางน้อยลง ยางเบลนด์จึงแสดงสมบัติเชิงกลที่ต่ำกว่ากรณียางเบลนด์ที่มีพันธะเชื่อมขวางสูง อย่างไรก็ตามเป็นที่น่าสนใจว่ายางเบลนด์ทุกสูตรที่ใช้สารดัดแปรต่างชนิดกันมีความสามารถในการคืนรูปไม่แตกต่างกันอย่างมีนัยสำคัญ

#### 4.2.3 การศึกษาอิทธิพลของชนิดสารดัดแปรต่อสมบัติเชิงกลหลังบ่มเร่งของยางวัลคาไนซ์จากการเบลนด์ระหว่าง NR/RR

ศึกษาอิทธิพลของชนิดสารดัดแปรต่อสมบัติเชิงกลภายหลังบ่มเร่ง โดยนำยางวัลคาไนซ์จากการเบลนด์ระหว่าง NR/RR ไปบ่มเร่งด้วยการนำไปอบในตู้อบสำหรับบ่มเร่งที่อุณหภูมิ 100°C เป็นเวลา 22 ชั่วโมง ผลการทดลองแสดงดังรูปที่ 4.10 และตารางที่ 4.5



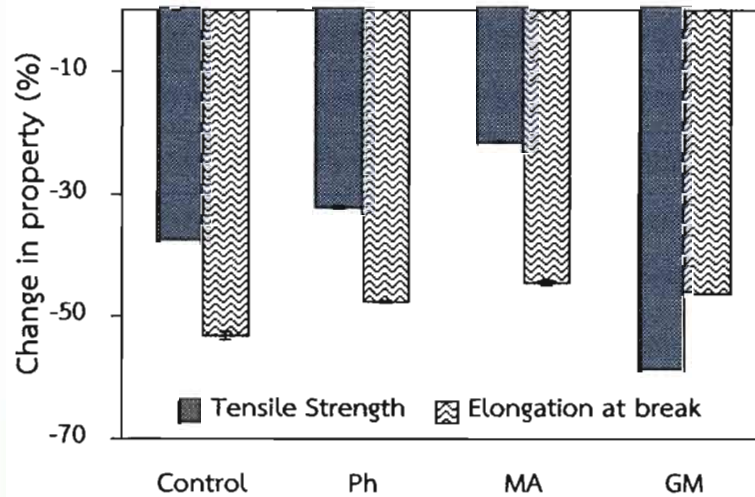
รูปที่ 4.10 ความสัมพันธ์ระหว่างความเค้นกับความเครียดของยางวัลคาไนซ์ภายหลังบ่มเร่งจากการเบลนดอย่างธรรมชาติกับยางรีเคลมเมื่อแปรชนิดของสารตัดแปร

จากรูปที่ 4.10 แสดงความสัมพันธ์ระหว่างความเค้น และความเครียดหลังการบ่มเร่งเมื่อใช้สารตัดแปรชนิดต่างๆ จะเห็นได้ว่ากราฟมีลักษณะเช่นเดียวกับก่อนบ่มเร่ง กล่าวคือยางเบลนดยังคงแสดงลักษณะการผิดรูปแบบอลาสติก แต่มีสมบัติเชิงกลด้อยลง จากกราฟในรูปที่ 4.10 สามารถนำมาคำนวณหาค่าความต้านทานต่อแรงดึง และความสามารถในการยืดจนขาดภายหลังบ่มเร่ง ได้ผลแสดงดังตารางที่ 4.5 นอกจากนี้ ยังแสดงเปอร์เซ็นต์การเปลี่ยนแปลงสมบัติหลังบ่มเร่ง (% Change in property) และสามารถนำเปอร์เซ็นต์การเปลี่ยนแปลงสมบัติหลังบ่มเร่ง มาเขียนกราฟแสดงได้ดังรูปที่ 4.11

ตารางที่ 4.5 สมบัติเชิงกลภายหลังการบ่มเร่งของยางวัลคาไนซ์จากการเบลนด้อย่างธรรมชาติกับยางรีคอมเมือแปรชนิดสารดัดแปร

| Type of modifier | Tensile strength (MPa) |           | Change in property of T.S. (%) | Elongation at break (%) |           | Change in property of E.B. (%) |
|------------------|------------------------|-----------|--------------------------------|-------------------------|-----------|--------------------------------|
|                  | Unaged                 | Aged      |                                | Unaged                  | Aged      |                                |
| Control          | 9.85±0.12              | 6.19±0.14 | -37.73                         | 383±19.05               | 182±5.57  | -53.21                         |
| Ph               | 9.25±0.09              | 6.27±0.07 | -32.36                         | 384±12.07               | 201±8.49  | -47.66                         |
| MA               | 7.75±0.12              | 5.67±0.18 | -21.79                         | 328±15.42               | 182±11.74 | -44.51                         |
| GM               | 7.91±0.19              | 3.25±0.07 | -58.91                         | 427±13.35               | 229±6.69  | -46.37                         |

จากตารางที่ 4.5 และรูปที่ 4.11 แสดงสมบัติเชิงกลและเปอร์เซ็นต์การเปลี่ยนแปลงสมบัติของยางเบลนด NR/RR หลังบ่มเร่ง จะเห็นได้ว่าค่าความต้านทานต่อแรงดึงและความสามารถในการยืดจนขาดหลังการบ่มเร่งมีค่าลดลงสอดคล้องกับเปอร์เซ็นต์การเปลี่ยนแปลงของสมบัติที่มีค่าติดลบ ซึ่งผลดังกล่าวเป็นไปในแนวเดียวกันกับพฤติกรรมการวัลคาไนซ์ที่เป็นแบบ Reversion กล่าวคือยางจะเกิดการเสื่อมสภาพเมื่อระยะเวลาการวัลคาไนซ์มากเกินไป โดยจะทำให้มีความแข็งหรือมอดุลัสลดลง เนื่องจากผลของการตัดขาดสายโซ่อย่างธรรมชาติและการเปลี่ยนรูปแบบพันธะเชื่อมขวางด้วยกำมะถันในโครงสร้างยาง ซึ่งในการทดลองใช้กำมะถัน 4 phr จะให้พันธะเชื่อมขวางในโมเลกุลยางแบบพอลิซัลฟิดิกเป็นส่วนใหญ่ ซึ่งมักจะเกิดการแตกออกของพันธะเมื่อได้รับความร้อนส่งผลให้สมบัติเชิงกลของยางวัลคาไนซ์เปลี่ยนแปลงไป



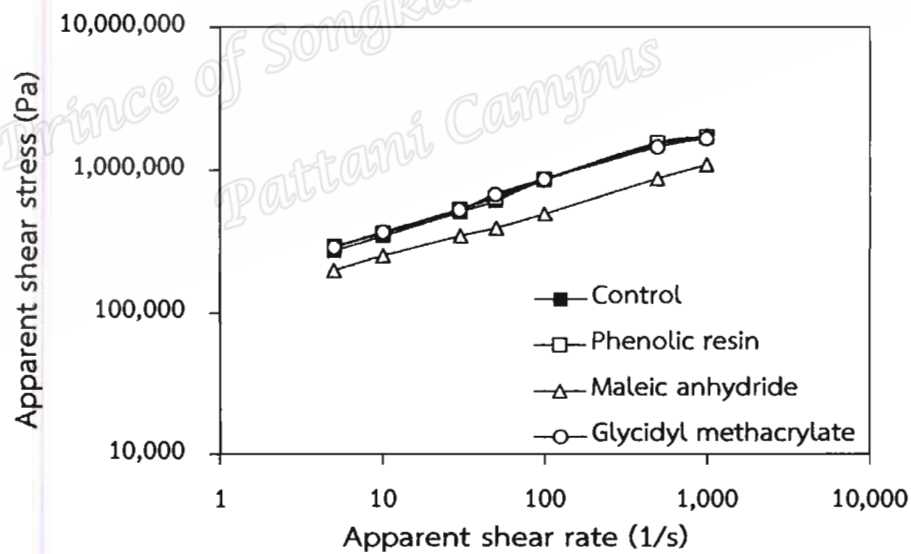
รูปที่ 4.11 เปอร์เซ็นต์การเปลี่ยนแปลงของสมบัติความต้านต่อแรงดึง และความสามารถในการยืดจนขาดภายหลังบ่มแรงของยางวัลคาไนซ์จากการเบลนด้วยธรรมชาติกับยางรีเคลมเมื่อแปรชนิดสารตัดแปรร

#### 4.2.4 สมบัติการไหลของยางเบลนระหว่างยางธรรมชาติและยางรีเคลมเมื่อแปรชนิดสารตัดแปรร

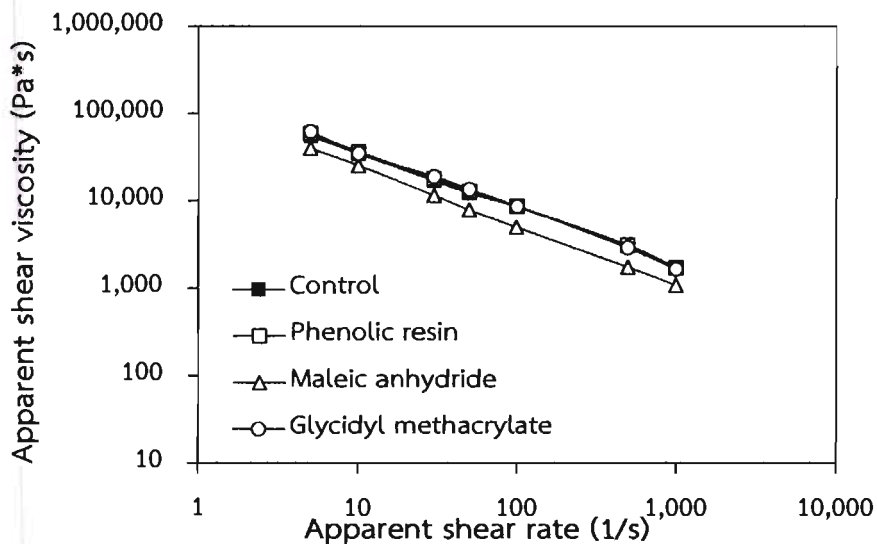
นำยางเบลนระหว่างยางธรรมชาติและยางรีเคลมที่แปรสารตัดแปรรชนิดต่างๆ มาวิเคราะห์สมบัติการไหลตามวิธีการทดลองในหัวข้อที่ 3.8.5 โดยใช้เครื่องรีโอมิเตอร์แบบคาปิลลารี ได้ความสัมพันธ์ระหว่างความเค้นเฉือนปรากฏกับอัตราเฉือนปรากฏ และความหนืดเฉือนปรากฏกับอัตราเฉือนปรากฏ ดังแสดงในรูปที่ 4.12 และ 4.13 พบว่าความเค้นเฉือนปรากฏมีค่าเพิ่มขึ้นตามอัตราเฉือนที่เพิ่มขึ้น ในขณะที่ความหนืดเฉือนปรากฏมีค่าลดลงเมื่ออัตราเฉือนเพิ่มขึ้น เนื่องจากภายใต้ความร้อนพอลิเมอร์จัดเป็นวัสดุประเภท non-newtonian ชนิด shear thinning fluid ซึ่งวัสดุประเภทนี้มีความหนืดลดลงเมื่อได้รับแรงกระทำหรืออัตราเฉือนเพิ่มขึ้น และเมื่อเปรียบเทียบค่าความเค้นเฉือนปรากฏและความหนืดเฉือนปรากฏของยางเบลนที่ใช้สารตัดแปรรชนิดต่างๆ พบว่าเมื่อพิจารณาที่อัตราเฉือนเดียวกัน ยางเบลนแต่ละสูตรมีค่าความเค้นเฉือนปรากฏและความหนืดเฉือนปรากฏไม่แตกต่างกันอย่างมีนัยสำคัญ ยกเว้นยางเบลนที่ใช้สารตัดแปรรชนิดมาลิกแอนไฮไดรด์พบว่าให้ค่าความเค้นเฉือนปรากฏและความหนืดเฉือนปรากฏต่ำที่สุดอย่างเห็นได้ชัด เนื่องจาก มาลิกแอนไฮไดรด์มีสภาพความเป็นกรดสูงที่สุด (pH 0.5) เมื่อเทียบกับสารตัดแปรรชนิดอื่นๆ ประกอบกับมาลิกแอนไฮไดรด์สามารถเกิดการปลดปล่อยกรดได้เมื่อได้รับความร้อน (Nelson and Kutty,

2004, Pasbakhsh *et al.*, 2009 และ วราภรณ์, 2552) จึงเป็นผลให้ยางมีระดับการวัลคาไนซ์ที่ต่ำ ยางเบลนด์ในสูตรนี้จึงมีความเค้นเฉือนและความหนืดเฉือนปรากฏต่ำที่สุด

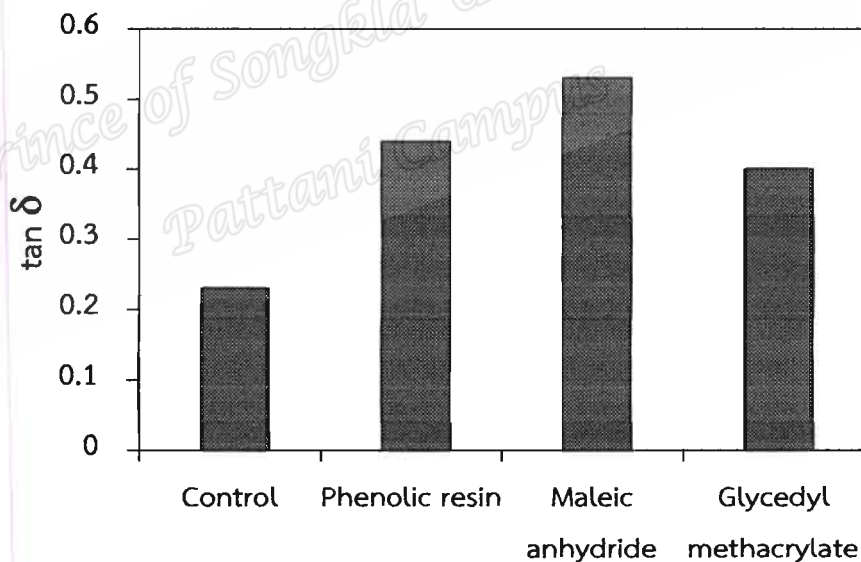
อย่างไรก็ตามจากผลของการทดสอบสมบัติการไหลด้วยเครื่องรีโอมิเตอร์แบบคาปิลลารี จะเห็นว่าไม่พบความแตกต่างของค่าสมบัติการไหล (ค่าความเค้นเฉือนปรากฏ และความหนืดเฉือนปรากฏ) เมื่อใช้สารดัดแปรต่างชนิดกัน จึงทำการวิเคราะห์เพิ่มเติมเพื่อดูค่า  $\tan \delta$  ด้วยเทคนิค MDPT ได้ผลการทดลองแสดงดังรูปที่ 4.14 พบว่าการใช้สารดัดแปรต่างชนิดกัน จะไปรบกวนการวัลคาไนซ์ของยางเบลนด์ และทำให้ค่า  $\tan \delta$  ของวัสดุเปลี่ยนไป โดยพบว่ายางเบลนด์สูตรที่ไม่ใส่สารดัดแปรจะมีค่า  $\tan \delta$  ต่ำที่สุด แสดงให้เห็นถึงระดับความเป็นอีลาสติกเมื่อยางได้รับการวัลคาไนซ์ปกติ ในขณะที่ยางเบลนด์สูตรที่ใช้สารดัดแปรจะมีค่า  $\tan \delta$  เพิ่มสูงขึ้น ซึ่งเป็นผลมาจากยางเบลนด์เกิดการวัลคาไนซ์ที่ไม่สมบูรณ์จากผลการรบกวนของสารดัดแปรที่มีสภาพเป็นกรด โดยที่มาลิกอานไฮไดรด์จะมีสภาพเป็นกรดแก่ที่สุด (pH = 0.5) จึงมีค่า  $\tan \delta$  ของยางเบลนด์สูงที่สุด รองลงมาคือยางเบลนด์ที่ใช้สารดัดแปรฟีนอลิกเรซิน และไกลซิديلเมทาคริเลต ตามลำดับ



รูปที่ 4.12 ความสัมพันธ์ระหว่างความเค้นเฉือนปรากฏกับอัตราเฉือนปรากฏของยางเบลนด์ระหว่างยางธรรมชาติกับยางรีเคลมเมื่อแปรชนิดของสารดัดแปร



รูปที่ 4.13 ความสัมพันธ์ระหว่างความหนืดเฉือนปรากฏกับอัตราเฉือนปรากฏของยางเบลนด์ระหว่างยางธรรมชาติกับยางรีเคลมเมื่อแปรชนิดของสารตัดแปร

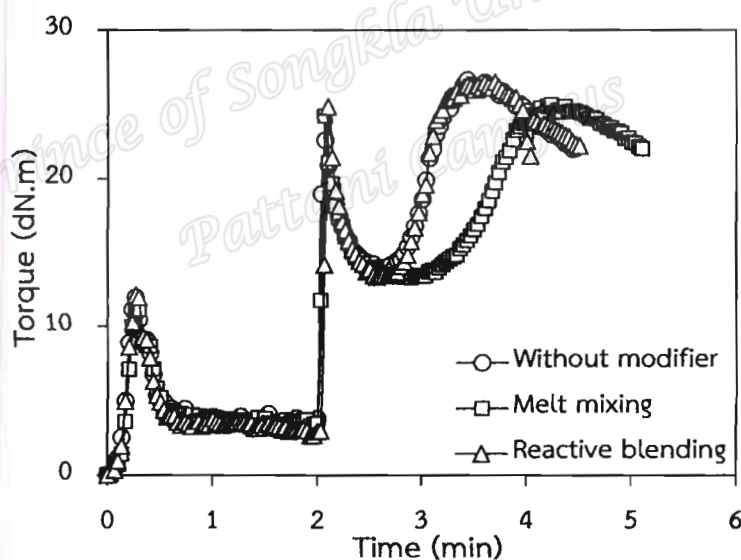


รูปที่ 4.14  $\tan \delta$  ที่ความถี่ 10 Hz ของยางเบลนด์ระหว่างยางธรรมชาติกับยางรีเคลมเมื่อแปรชนิดของสารตัดแปร

#### 4.3 การศึกษาอิทธิพลของวิธีการผสมสารตัดแปรต่อสมบัติเทอร์โมพลาสติกวัลคาไนซ์จากการเบลนด์ระหว่างยางธรรมชาติ ยางรีเคลม และโพรพิลีนเอทิลีนโคพอลิเมอร์ (NR/RR/PEC TPVs)

เตรียมเทอร์โมพลาสติกวัลคาไนซ์จากการเบลนด์ยางธรรมชาติ ยางรีเคลม และโพรพิลีนเอทิลีนโคพอลิเมอร์ที่อัตราส่วน 30/30/40 ส่วนโดยน้ำหนัก โดยศึกษาผลของวิธีการผสมสารตัดแปรชนิดฟีนอลิกเรซิน 2 วิธี ได้แก่ วิธีที่ 1. วิธีการตัดแปรพื้นผิวของยางรีเคลมในสภาวะหลอม (Melt mixing method) โดยนำยางรีเคลมมาผสมกับสารตัดแปรก่อนนำไปเตรียมคอมพาวด์และเทอร์โมพลาสติกวัลคาไนซ์ ตามลำดับ และ วิธีที่ 2 วิธีการเบลนด์แบบรีแอคทีฟ (Reactive blending method) โดยผสมสารตัดแปรในขั้นตอนการเตรียมเทอร์โมพลาสติกวัลคาไนซ์ ตามวิธีการทดลองในหัวข้อที่ 3.3.3

##### 4.3.1 การศึกษาอิทธิพลของวิธีการผสมสารตัดแปรต่อพฤติกรรมการผสมในการเตรียมเทอร์โมพลาสติกวัลคาไนซ์จากการเบลนด์ NR/RR/PEC



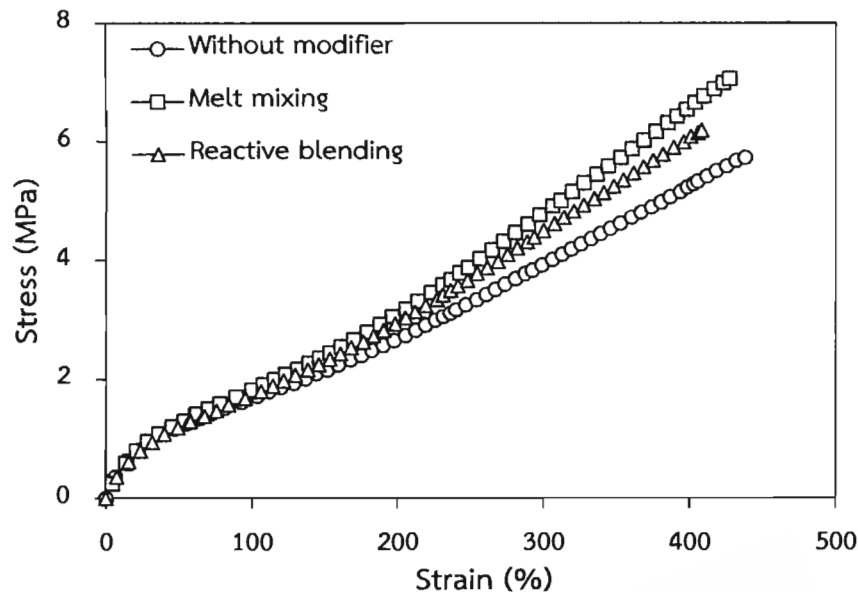
รูปที่ 4.15 ความสัมพันธ์ระหว่างค่าทอร์กกับเวลาการผสมของเทอร์โมพลาสติกวัลคาไนซ์จากการเบลนด์ NR/RR/PEC เมื่อแปรวิธีการผสมสารตัดแปร

จากค่าทอร์กการผสมพบว่าในช่วงเริ่มต้นการผสมค่าทอร์กการผสมจะเพิ่มขึ้นอย่างรวดเร็ว ซึ่งเป็นผลมาจากการใส่เม็ดพลาสติก PEC ลงไปในห้องผสม ซึ่ง PEC ที่ยังไม่หลอมจะต้านการหมุนโรเตอร์สูง ทำให้ทอร์กมีค่าสูง และค่าทอร์กจะลดลงเมื่อ PEC เกิดการหลอมเนื่องจากความร้อนและแรงเฉือนที่ได้รับ จากนั้นทอร์กจะเพิ่มขึ้นอีกครั้งที่นาทีที่ 2 เนื่องจากการใส่ยางคอมพาวด์ซึ่งมี

ความหนืดสูงลงไปในห้องผสม หลังจากนั้นเมื่ออย่างได้รับแรงเฉือนและความร้อนซึ่งจะส่งผลให้ยางนิ่มลงทำให้ค่าทอร์กจะมีแนวโน้มลดลงเรื่อยๆ จนกระทั่งเวลาประมาณ 2.70 นาที สูตรที่ไม่ใส่สารดัดแปร (Without modifier) และวิธีดัดแปรผิวแบบ Reactive blending ค่าทอร์กจะมีแนวโน้มเพิ่มขึ้น ในขณะที่สูตรที่ใช้วิธีการผสมสารดัดแปรแบบ Melt mixing จะมีค่าทอร์กเพิ่มขึ้นอีกครั้งที่เวลาประมาณ 3 นาที ซึ่งค่าทอร์กที่เพิ่มขึ้นในช่วงนี้แสดงให้เห็นถึงการเกิดการวัลคาไนซ์แบบไดนามิกซีในโมเลกุลยาง ทำให้มีความหนืดเพิ่มสูงขึ้น หลังจากเฟสยางเกิดการวัลคาไนซ์สมบูรณ์หรือเมื่อถึงจุดที่ทอร์กสูงที่สุด จะบดผสมต่อเนื่องไปอีก 1 นาที เพื่อให้เฟสยางที่เกิดการวัลคาไนซ์เกิดการแตกออกและกระจายตัวไปในเฟสพลาสติกภายใต้การผสมที่มีแรงเฉือนสูง โดยจะสังเกตได้จากค่าทอร์กการผสมที่มีแนวโน้มลดลง และจากค่าทอร์กการผสมพบว่าการใช้วิธีผสมสารดัดแปรที่แตกต่างกันจะปรากฏลักษณะของทอร์กการผสมที่ต่างกัน กล่าวคือ เทอร์โมพลาสติกวัลคาไนซ์ที่เตรียมแบบไม่ใส่สารดัดแปร (Without modifier) และที่เตรียมโดยวิธีการผสมสารดัดแปรแบบ Reactive blending จะมีลักษณะทอร์กการผสมเหมือนกัน ขณะที่เทอร์โมพลาสติกวัลคาไนซ์ที่ผสมสารดัดแปรแบบ Melt mixing จะมีทอร์กการผสมที่ตำแหน่งการเกิดไดนามิกส์วัลคาไนซ์ชันช้ากว่า ทั้งนี้อาจเป็นผลจากวิธีการผสมสารดัดแปรแบบ Melt mixing ทำการผสมสารดัดแปรกับยางรีเคลมในขั้นตอนแรกของการเตรียมยางรีเคลม ก่อนนำมาเตรียมเป็นยางคอมพาวด์ และเตรียมเทอร์โมพลาสติกวัลคาไนซ์เป็นขั้นตอนสุดท้าย ซึ่งการมีฟิโนลิกเรซินอยู่ในยางคอมพาวด์ ทำให้ฟิโนลิกเรซินมีโอกาสเกิดปฏิกิริยาดัดแปรผิวประจัญกับโมเลกุลยางรีเคลมและยางธรรมชาติได้ ซึ่งการเกิดปฏิกิริยานี้จำเป็นต้องใช้พลังงานความร้อนเช่นกัน ทำให้รบกวนพลังงานความร้อนโดยรวมที่วัสดุได้รับในขณะผสม และพลังงานที่ใช้ในการวัลคาไนซ์ด้วยกัมมะถัน ส่งผลให้การเกิดไดนามิกส์วัลคาไนซ์ชันในเทอร์โมพลาสติกวัลคาไนซ์ที่เตรียมโดยวิธี Melt mixing ช้าลงกว่าเดิม ซึ่งแตกต่างจากวิธีการเตรียมแบบ Reactive blending ที่ใส่สารดัดแปรฟิโนลิกเรซินเข้าไปในขั้นตอนการเตรียมเทอร์โมพลาสติกวัลคาไนซ์ โดยปกติฟิโนลิกเรซินจะเป็นสารวัลคาไนซ์ที่เกิดปฏิกิริยาได้ช้า จึงทำให้ ณ เวลาสิ้นสุดการผสมจึงยังไม่เห็นผลของการรบกวนการวัลคาไนซ์ในเฟสยางของเทอร์โมพลาสติกวัลคาไนซ์

#### 4.3.2 การศึกษาอิทธิพลของวิธีการผสมสารดัดแปรต่อสมบัติเชิงกลของเทอร์โมพลาสติกวัลคาไนซ์จากการเบลนด์ระหว่าง NR/RR/PEC

นำเทอร์โมพลาสติกวัลคาไนซ์จากการเบลนด์ระหว่าง NR/RR/PEC โดยแปรวิธีการผสมสารดัดแปร 2 วิธีคือ Melt mixing method และ Reactive blending method มาเตรียมเป็นชิ้นทดสอบด้วยวิธีการอัดเข้า จากนั้นจึงนำไปทดสอบสมบัติเชิงกล ได้กราฟความสัมพันธ์ระหว่างความเค้นและความเครียดดังแสดงในรูปที่ 4.16



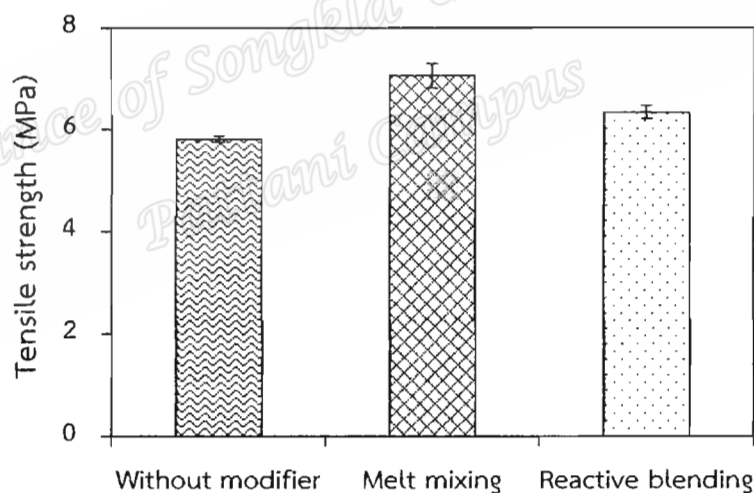
รูปที่ 4.16 ความสัมพันธ์ระหว่างความเค้นกับความเครียดของเทอร์โมพลาสติกวัลคาไนซ์จากการเบลนด์ NR/RR/PEC เมื่อแปรวิธีการผสมสารตัดแปรร

จากรูปที่ 4.16 พบว่าเทอร์โมพลาสติกวัลคาไนซ์จากการเบลนด์อย่างธรรมชาติ ยางรีเคลม และโพรพิลีนเอทิลีนโคพอลิเมอร์ แสดงลักษณะการผิดรูปแบบอิลาสติก โดยจากกราฟจะเห็นได้ว่า ช่วงเริ่มต้นจนถึงที่มอดุลัสที่ 100% มีค่ามอดุลัสยืดหยุ่นที่ไม่แตกต่างกันมากนักเมื่อใช้วิธีการผสมสารตัดแปรรที่แตกต่างกัน เนื่องจากในช่วงแรกของการยืดเฟสพลาสติกเป็นเฟสที่ทำหน้าที่รับแรงเค้น แต่เมื่อพิจารณาโมดูลัสและระยะยืดช่วงสุดท้าย พบว่า NR/RR/PEC TPVs ที่ใส่สารตัดแปรรคือ Melt mixing และ Reactive blending จะให้ค่ามอดุลัสสูงกว่าไม่ใส่สารตัดแปรร แสดงให้เห็นถึงผลของการใส่สารตัดแปรรส่งผลต่อความแข็งตึงของเทอร์โมพลาสติกวัลคาไนซ์เพิ่มขึ้น ในขณะที่เมื่อเปรียบเทียบผลของการใส่สารตัดแปรรด้วยวิธีการผสมที่แตกต่างกันทั้ง 2 วิธี พบว่าเทอร์โมพลาสติกวัลคาไนซ์ที่เตรียมจากวิธีการผสมสารตัดแปรรแบบ Melt mixing ให้ค่ามอดุลัสสูงกว่าเทอร์โมพลาสติกวัลคาไนซ์ที่เตรียมจากวิธีการผสมสารตัดแปรรแบบ Reactive blending เล็กน้อย จากจุดขาดของกราฟความสัมพันธ์ระหว่างความเค้นกับความเครียดในรูปที่ 4.16 สามารถนำมาคำนวณหาค่าความต้านทานต่อแรงตึงและความสามารถในการยืดจนขาด ได้ผลแสดงดังตารางที่ 4.6 รวมถึงยังแสดงผลการทดสอบสมบัติด้านความแข็ง และการผิดรูปถาวรแบบตึงด้วย

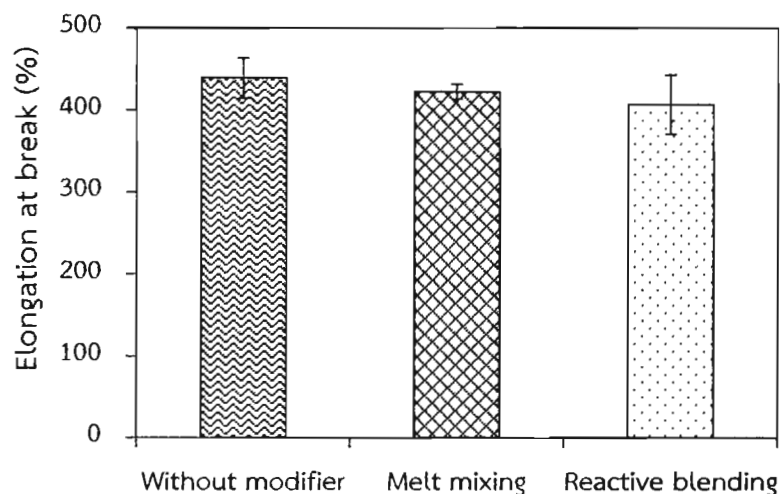
ตารางที่ 4.6 สมบัติเชิงกลของเทอร์โมพลาสติกวัลคาไนซ์จากการเบลนด์ NR/RR/PEC เมื่อแปรวิธีการผสมสารตัดแปร

| Blend methods     | Tensile strength (MPa) | Elongation at break (%) | Tension set (%) | Hardness (shore A) |
|-------------------|------------------------|-------------------------|-----------------|--------------------|
| Without modifier  | 5.81±0.06              | 439±24.64               | 6.28±0.58       | 52                 |
| Melt mixing       | 7.06±0.24              | 422±8.87                | 5.13±0.44       | 55                 |
| Reactive blending | 6.34±0.14              | 406±35.96               | 5.17±0.86       | 55                 |

จากตารางที่ 4.6 สามารถเขียนกราฟเปรียบเทียบค่าความต้านทานต่อแรงดึง ค่าความสามารถในการยืดจนขาด ค่าการผิดรูปถาวรแบบดึง และค่าความแข็งของเทอร์โมพลาสติกวัลคาไนซ์จากการเบลนด์ NR/RR/PEC เมื่อแปรวิธีการผสมสารตัดแปร ดังรูปที่ 4.17, 4.18, 4.22 และ 4.23 ตามลำดับ

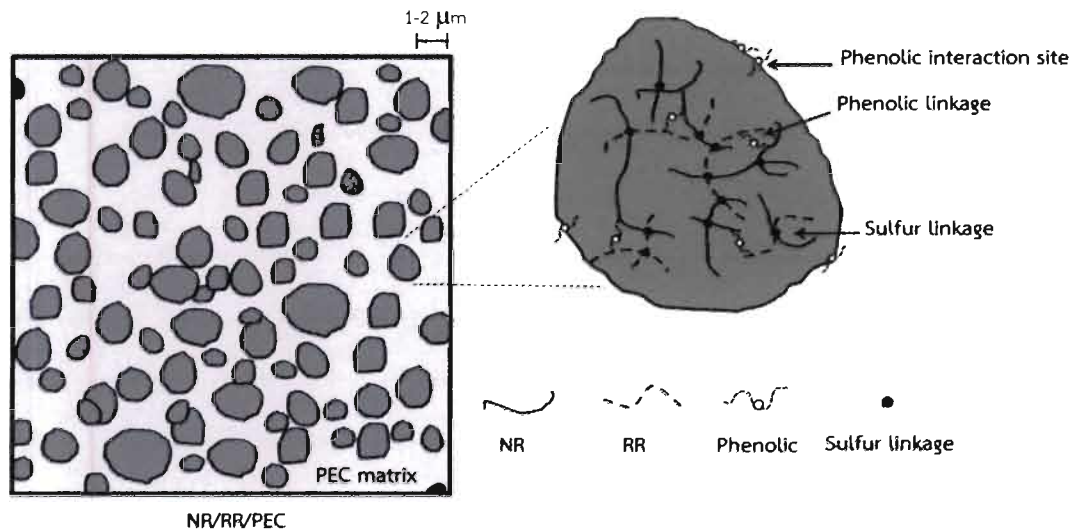


รูปที่ 4.17 ความต้านทานต่อแรงดึงของเทอร์โมพลาสติกวัลคาไนซ์จากการเบลนด์ NR/RR/PEC เมื่อแปรวิธีการผสมสารตัดแปร



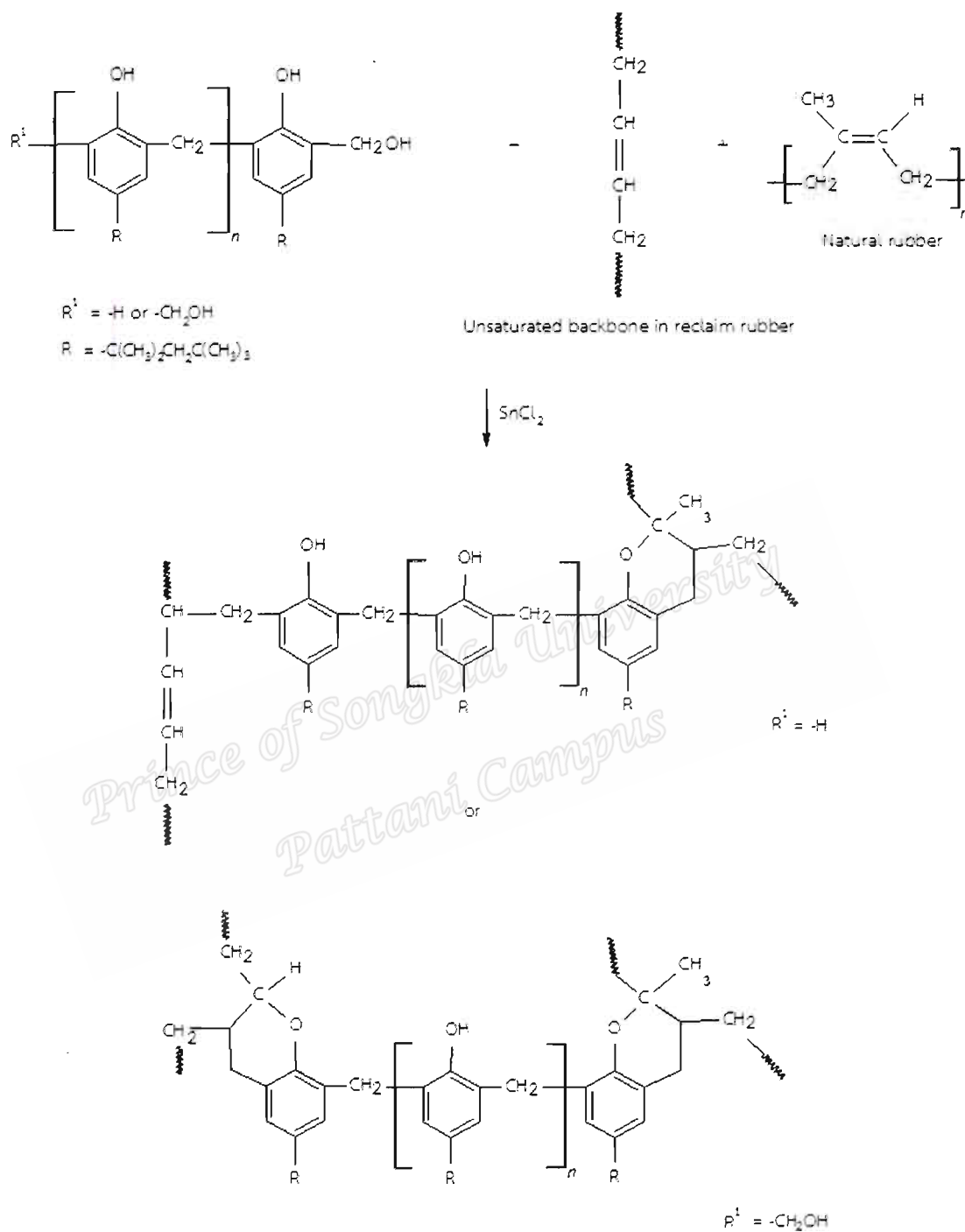
**รูปที่ 4.18** ความสามารถในการยืดจนขาดของเทอร์โมพลาสติกวัลคาไนซ์จากการเบลนด์ NR/RR/PEC เมื่อแปรวิธีการผสมสารตัดแปรร

จากที่รูปที่ 4.17 พบว่าเมื่อใช้สารตัดแปรรเทอร์โมพลาสติกวัลคาไนซ์จะให้ค่าความต้านทานต่อแรงดึงสูงกว่าไม่ใส่สารตัดแปรร เนื่องจากสารตัดแปรรเข้าไปช่วยเพิ่มความเข้ากันได้ระหว่างเฟสยางรีเคลมกับยางธรรมชาติทำให้มีแรงยึดเหนี่ยวที่ผิวประจัญสูงขึ้นไปส่งผลให้การส่งผ่านแรงเค้นระหว่างรอยต่อของโมเลกุลยางดีขึ้น ค่าความต้านทานต่อแรงดึงเพิ่มขึ้น รวมถึงเมื่อมีฟีนอลิกเรซินจะมีโอกาสเกิดพันธะเชื่อมขวางแบบ C-C และ C-O ซึ่งมีพลังงานพันธะ 346 kJ/mol และ 358 kJ/mol ตามลำดับ ทำให้ช่วยเพิ่มความแข็งแรงของเทอร์โมพลาสติกวัลคาไนซ์จากเดิมที่มีการใช้กำมะถันเพียงอย่างเดียวซึ่งจะให้พันธะเชื่อมขวางส่วนใหญ่แบบพอลิซัลไฟด์ (C-S<sub>x</sub>-C) ซึ่งมีพลังงานพันธะต่ำกว่า (270 kJ/mol) (Brydson, 1978) และเมื่อเปรียบเทียบระหว่างขั้นตอนการผสมที่แตกต่างระหว่างวิธีการผสมสารตัดแปรรทั้ง 2 วิธี คือ Melt mixing และ Reactive blending พบว่าเทอร์โมพลาสติกวัลคาไนซ์ที่เตรียมโดยการใช้วิธีผสมสารตัดแปรรแบบ Melt mixing ให้ค่าความต้านทานต่อแรงดึงและความสามารถในการยืดจนขาดสูงกว่าวิธีการผสมสารตัดแปรรแบบ Reactive blending เนื่องจากการใช้วิธี Melt mixing จะเตรียมยางรีเคลมผสมกับฟีนอลิกเรซินในขั้นตอนแรกก่อนที่จะนำยางรีเคลมผสมฟีนอลิกเรซินที่ได้ไปเตรียมเป็นยางคอมพาวนด์ และนำไปเตรียมเป็นเทอร์โมพลาสติกวัลคาไนซ์ในลำดับสุดท้าย (วิธีการเตรียมแบบ Melt mixing method แสดงในรูปที่ 3.2) ทำให้ฟีนอลิกเรซินที่อยู่ในยางรีเคลมมีโอกาสเกิดอันตรกิริยาได้กับทั้งเฟสยางและเฟสพลาสติก ซึ่งความเป็นไปได้ของการเกิดปฏิกิริยาระหว่างเฟสแสดงในรูปที่ 4.19

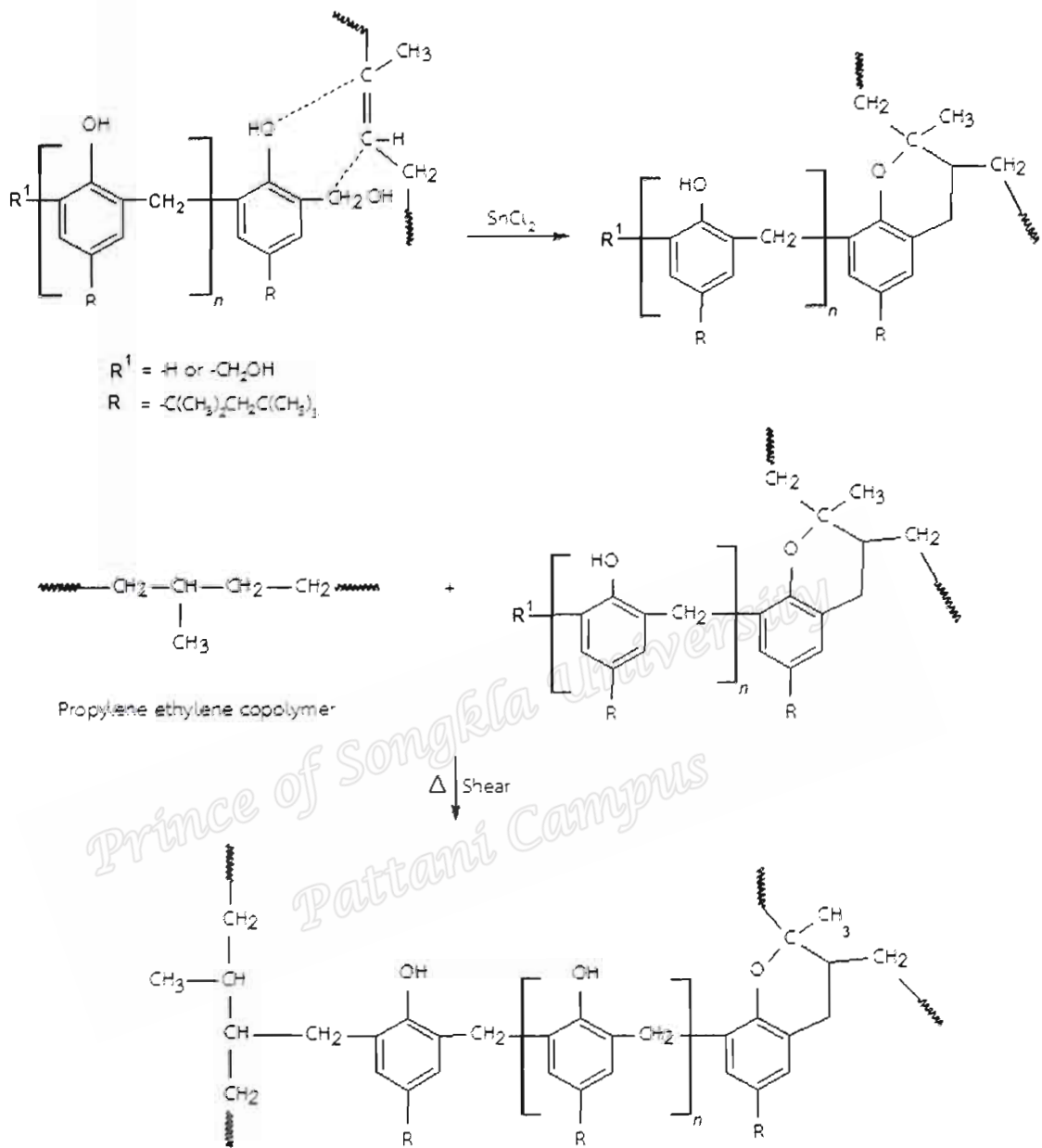


รูปที่ 4.19 โอกาสเกิดปฏิกิริยาระหว่างยางรีเคลม ยางธรรมชาติ และโพรพิลีนเอทิลีนโคพอลิเมอร์ กับฟีนอลิกเรซินเมื่อใช้วิธีการผสมแบบ Melt mixing method

โดยที่หมู่เมทิลลอล (Methylol groups,  $-\text{CH}_2\text{OH}$ ) ในโมเลกุลของฟีนอลิกเรซินสามารถเกิดปฏิกิริยากับพันธะคู่ในสายโซ่โมเลกุลของยางได้ (Nakason *et al.*, 2006b) ดังปฏิกิริยาในรูปที่ 4.20 รวมถึงมีโอกาสที่จะเกิดปฏิกิริยาระหว่างเฟสยางและเฟสโพรพิลีนเอทิลีนโคพอลิเมอร์ได้ ดังปฏิกิริยาที่แสดงดังรูปที่ 4.21 แสดงให้เห็นว่าการเตรียมเทอร์โมพลาสติกวัลคาไนซ์ด้วยวิธีผสมสารตัดแปรแบบ Melt mixing ซึ่งผสมสารตัดแปรชนิดฟีนอลิกเรซินกับยางรีเคลมก่อนในขั้นตอนแรก ก่อนนำไปเบลนด์กับยางธรรมชาติเพื่อเตรียมคอมพาวนด์ ทำให้ช่วยเพิ่มแรงยึดติดระหว่างเฟสยาง รวมถึงช่วยเพิ่มความเข้ากันได้ระหว่างเฟสยางรีเคลมและยางธรรมชาติก่อนที่จะนำไปเบลนด์กับโพรพิลีนเอทิลีนโคพอลิเมอร์เพื่อเตรียมเป็นเทอร์โมพลาสติกวัลคาไนซ์ในขั้นตอนสุดท้าย นอกจากนี้การใส่ฟีนอลิกเรซินในขั้นตอนแรกของการเตรียมเทอร์โมพลาสติกวัลคาไนซ์จะทำให้ฟีนอลิกเรซินมีเวลาในการเกิดปฏิกิริยากับเฟสต่างๆ เพื่อปรับปรุงความเข้ากันได้มากกว่าวิธีการเตรียมแบบ Reactive blending ซึ่งจะใส่ฟีนอลิกเรซินในขั้นตอนที่ 3 ซึ่งเป็นขั้นตอนสุดท้ายสำหรับเตรียมเทอร์โมพลาสติกวัลคาไนซ์ ซึ่งวิธีการนี้มีระยะเวลาในการกระจายตัวและเกิดปฏิกิริยาระหว่างองค์ประกอบเบลนด์ (เกิดปฏิกิริยาระหว่างเฟส) ที่สั้นกว่าเทอร์โมพลาสติกวัลคาไนซ์ที่เตรียมโดยวิธีการผสมแบบ Melt mixing มากจึงทำให้เทอร์โมพลาสติกวัลคาไนซ์ที่เตรียมโดยวิธีการผสมแบบ Reactive blending มีสมบัติเชิงกลต่ำกว่าการใช้วิธีการผสมสารตัดแปรแบบ Melt mixing method

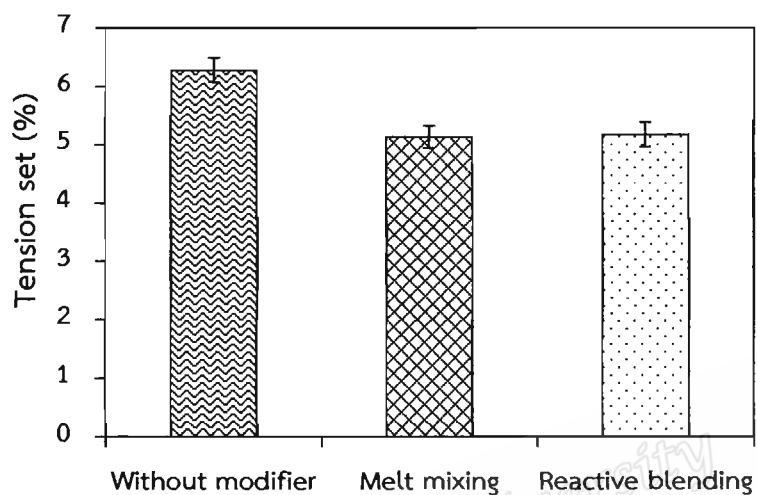


รูปที่ 4.20 ปฏิกิริยาที่เป็นไปได้ระหว่างยางรีไซเคิล และยางธรรมชาติ กับฟีนอลิกเรซิน (ดัดแปลงจาก Nakason *et al.*, 2006b; Nelson, 2003; Brydson, 1978)

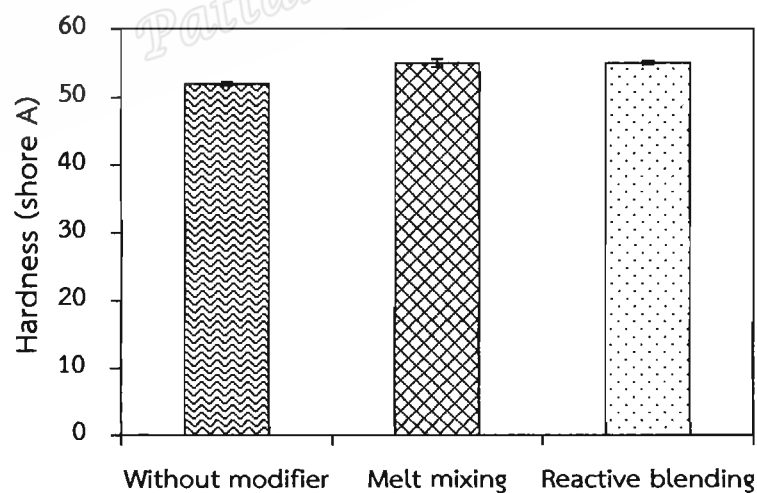


รูปที่ 4.21 ปฏิกิริยาที่เป็นไปได้ระหว่างเฟสยาง กับโพรพิลีนเอทิลีนโคพอลิเมอร์ เมื่อใช้สารดัดแปร ฟีนอลิกเรซิน (ดัดแปลงจาก Nakason *et al.*, 2006b; George *et al.*, 1999; Brydson, 1978)

การผิดรูปถาวรแบบดึงและความแข็งของเทอร์โมพลาสติกวัลคาไนซ์ที่แปรวิธีการผสมสารตัดแปร แสดงดังรูปที่ 4.22 และ 4.23



รูปที่ 4.22 การผิดรูปถาวรแบบดึงของเทอร์โมพลาสติกวัลคาไนซ์จากการเบลนด์ NR/RR/PEC เมื่อแปรวิธีการผสมสารตัดแปร

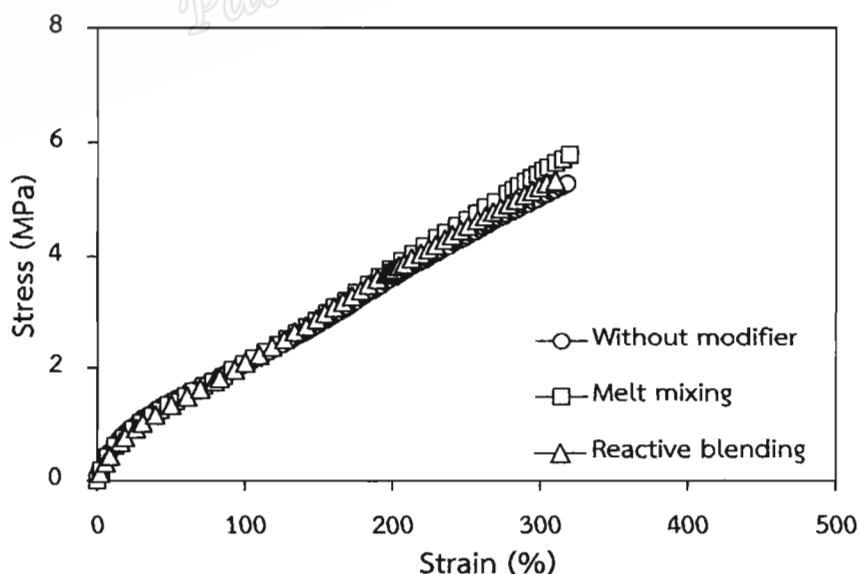


รูปที่ 4.23 ความแข็งของเทอร์โมพลาสติกวัลคาไนซ์จากการเบลนด์ NR/RR/PEC เมื่อแปรวิธีการผสมสารตัดแปร

จากรูปที่ 4.22 พบว่าเทอร์โมพลาสติกวัลคาไนซ์ที่ใช้สารดัดแปรที่มีความสามารถคืนรูปได้ดีกว่าเทอร์โมพลาสติกวัลคาไนซ์ที่ไม่ใช้สารดัดแปร ขณะที่เมื่อใช้วิธีการผสมที่แตกต่างกัน ความสามารถในการคืนรูปของเทอร์โมพลาสติกวัลคาไนซ์ไม่แตกต่างกัน และเมื่อพิจารณาค่าความแข็งแรงซึ่งแสดงในรูปที่ 4.23 พบว่าเทอร์โมพลาสติกวัลคาไนซ์ที่ใช้สารดัดแปรให้ค่าความแข็งแรงสูงกว่าเทอร์โมพลาสติกวัลคาไนซ์ที่ไม่ใช้สารดัดแปรเล็กน้อย แต่ให้ค่าไม่แตกต่างกันเมื่อใช้วิธีการผสมสารดัดแปรที่แตกต่างกัน ซึ่งแสดงให้เห็นว่าสารดัดแปรที่เติมเข้าไปเพื่อปรับปรุงความเข้ากันได้ของเฟสยาง และเฟสพลาสติกในเทอร์โมพลาสติกวัลคาไนซ์มีผลต่อการเพิ่มแรงยึดเหนี่ยวที่ผิวประจัญดังที่ได้อธิบายก่อนหน้านี

#### 4.3.3 การศึกษาอิทธิพลของวิธีการผสมสารดัดแปรต่อสมบัติเชิงกลภายหลังบ่มแรงของเทอร์โมพลาสติกวัลคาไนซ์จากการเบลนดระหว่าง NR/RR/PEC

เตรียมเทอร์โมพลาสติกวัลคาไนซ์จากการเบลนดระหว่าง NR/RR/PEC โดยแปรวิธีการผสมสารดัดแปรวิธีต่างๆ ตามวิธีการในหัวข้อ 3.3.3 จากนั้นนำมาทดสอบความต้านทานต่อการบ่มแรงที่อุณหภูมิ 100°C เป็นเวลา 22 ชั่วโมง เมื่อครบเวลานำตัวอย่างออกพักทิ้งไว้ที่อุณหภูมิห้องอย่างน้อย 16 ชั่วโมง ก่อนนำไปทดสอบความต้านทานต่อแรงดึง และความสามารถในการยืดจนขาด ได้ผลการทดลองแสดงดังรูปที่ 4.24



รูปที่ 4.24 ความสัมพันธ์ระหว่างความเค้นกับความเครียดภายหลังบ่มแรงของเทอร์โมพลาสติกวัลคาไนซ์จากการเบลนด NR/RR/PEC เมื่อแปรวิธีการผสมสารดัดแปร

จากรูปที่ 4.24 แสดงความสัมพันธ์ระหว่างความเค้นและความเครียดภายหลังบ่มแรงของเทอร์โมพลาสติกวัลคาไนซ์เมื่อแปรวิธีการผสมที่ต่างกัน จากรูปพบว่าเทอร์โมพลาสติกวัลคาไนซ์มีลักษณะการผิดรูปแบบอิลาสติกเช่นเดียวกับก่อนบ่มแรง แต่พบว่าเทอร์โมพลาสติกวัลคาไนซ์เมื่อใช้วิธีการผสมที่ต่างกันภายหลังบ่มแรงจะให้ความอดุลัสใกล้เคียงกัน และจากจุดขาดของกราฟความสัมพันธ์ระหว่างความเค้นกับความเครียดในรูปที่ 4.24 สามารถนำมาคำนวณหาค่าความต้านทานต่อแรงดึง และความสามารถในการยืดจนขาด ได้ผลแสดงดังตารางที่ 4.7 และ 4.8 รวมถึงแสดงเปอร์เซ็นต์การเปลี่ยนแปลงของสมบัติด้วย

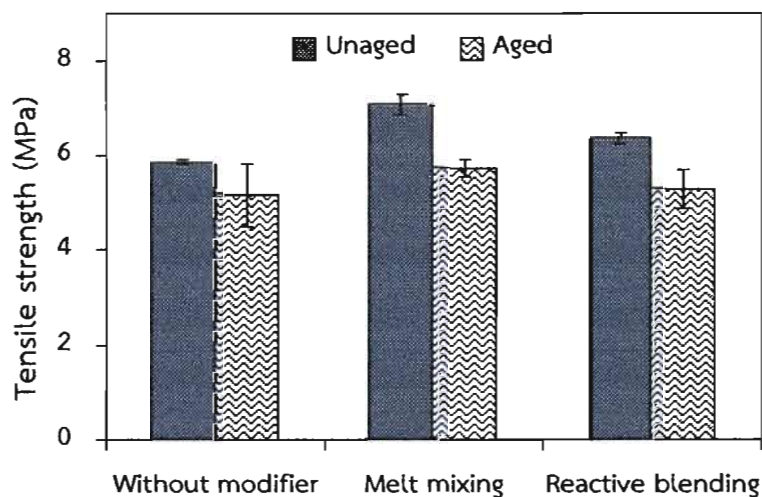
ตารางที่ 4.7 ความต้านทานต่อแรงดึงภายหลังบ่มแรงของเทอร์โมพลาสติกวัลคาไนซ์จากการเบลนด์ NR/RR/PEC เมื่อแปรวิธีการผสมสารตัดแปร

| Blend method      | Tensile strength (MPa) |           | Change in property of tensile strength (%) |
|-------------------|------------------------|-----------|--|
|                   | Unaged                 | Aged      |  |
| Without modifier  | 5.81±0.06              | 5.16±0.67 | -11.19                                     |
| Melt mixing       | 7.06±0.24              | 5.72±0.19 | -18.98                                     |
| Reactive blending | 6.34±0.14              | 5.28±0.41 | -16.72                                     |

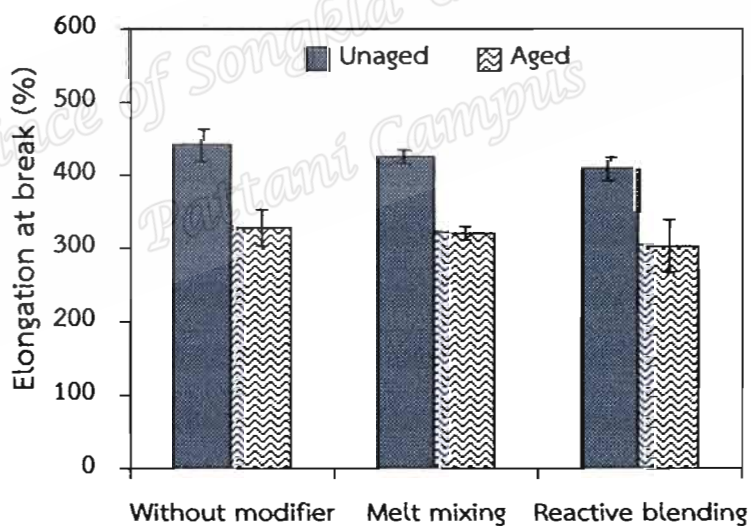
ตารางที่ 4.8 ความสามารถในการยืดจนขาดภายหลังบ่มแรงของเทอร์โมพลาสติกวัลคาไนซ์จากการเบลนด์ NR/RR/PEC เมื่อแปรวิธีการผสมสารตัดแปร

| Blend method      | Elongation at break (%) |           | Change in property of elongation at break (%) |
|-------------------|-------------------------|-----------|---|
|                   | Unaged                  | Aged      |   |
| Without modifier  | 439±24.64               | 328±24.08 | -25.28  |
| Melt mixing       | 422±8.87                | 320±9.58  | -24.17  |
| Reactive blending | 406±35.96               | 302±17.54 | -25.62  |

จากตารางที่ 4.7 และ 4.8 สามารถเขียนกราฟเปรียบเทียบค่าความต้านทานต่อแรงดึง และค่าความสามารถในการยืดจนขาดก่อนและหลังบ่มแรงของเทอร์โมพลาสติกวัลคาไนซ์จากการเบลนด์ NR/RR/PEC เมื่อแปรวิธีการผสมสารตัดแปร แสดงดังรูปที่ 4.25 และ 4.26 รวมถึงแสดงกราฟเปรียบเทียบเปอร์เซ็นต์การเปลี่ยนแปลงหลังบ่มแรงในรูปที่ 4.27



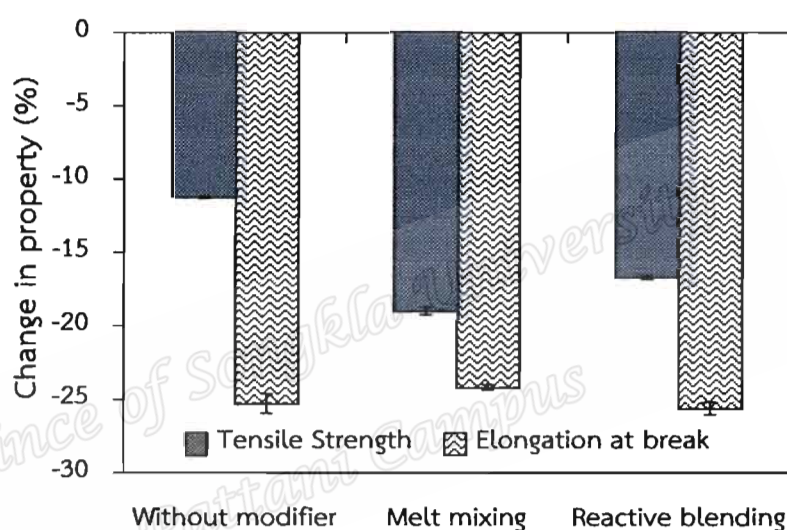
รูปที่ 4.25 ความต้านทานต่อแรงดึงก่อนและหลังบ่มแรงของเทอร์โมพลาสติกวัลคาไนซ์จากการเบลนด์ NR/RR/PEC เมื่อแปรวิธีการผสมสารตัดแปรร



รูปที่ 4.26 ความสามารถในการยืดจนขาดก่อนและหลังบ่มแรงของเทอร์โมพลาสติกวัลคาไนซ์จากการเบลนด์ NR/RR/PEC เมื่อแปรวิธีการผสมสารตัดแปรร

จากรูปที่ 4.25 และ 4.26 พบว่าค่าความต้านทานต่อแรงดึงและความสามารถในการยืดจนขาดของเทอร์โมพลาสติกวัลคาไนซ์ที่ไม่ใช้สารตัดแปรร และที่ใส่สารตัดแปรรด้วยวิธีการผสมทั้ง 2 วิธี ให้ค่าความต้านทานต่อแรงดึงและความสามารถในการยืดจนขาดหลังการบ่มแรงต่ำกว่าก่อนบ่มแรง เนื่องจากยางสามารถเกิดปฏิกิริยาออกซิเดชันกับออกซิเจนได้ ทำให้เกิดการตัดสายโซ่ (Chain

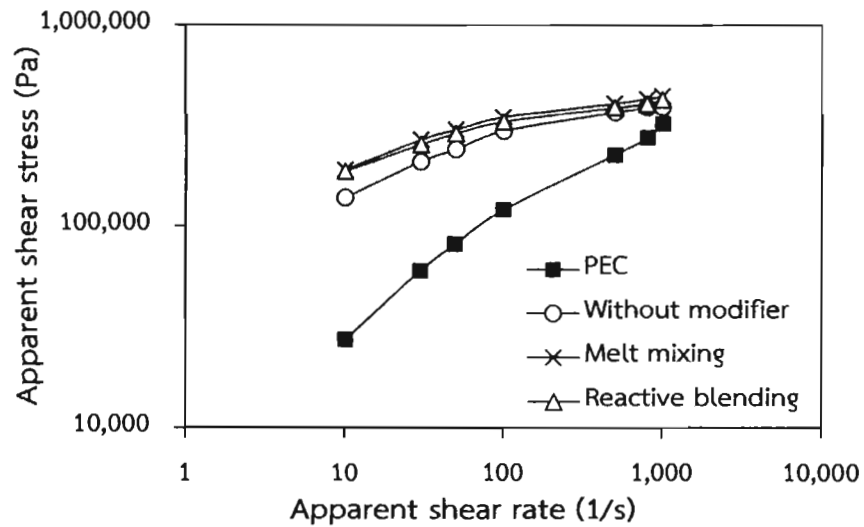
scission) ส่งผลให้สมบัติเชิงกลของยางเบลนด์ลดลง กอปรกับการวัลคาไนซ์ด้วยระบบกำมะถันแบบปกติซึ่งมีพันธะเชื่อมขวางแบบพอลิซัลฟิดิกเป็นส่วนใหญ่ ซึ่งจะแตกออกได้ง่ายเมื่อได้รับความร้อน และเมื่อพิจารณาเปอร์เซ็นต์การเปลี่ยนแปลงสมบัติซึ่งแสดงในรูปที่ 4.27 พบว่าเปอร์เซ็นต์การเปลี่ยนแปลงของค่าความต้านทานต่อแรงดึง และความสามารถในการยืดจนขาดให้ค่าเป็นลบ ซึ่งแสดงให้เห็นถึงสมบัติที่ลดลงหลังการบ่มเร่ง และพบว่าเทอร์โมพลาสติกวัลคาไนซ์ทั้ง 3 สูตรทั้งที่ไม่ใช้สารดัดแปรและแปรวิธีการผสม 2 วิธี มีเปอร์เซ็นต์การเปลี่ยนแปลงของค่าความต้านทานต่อแรงดึง และความสามารถในการยืดจนขาดไม่แตกต่างกัน



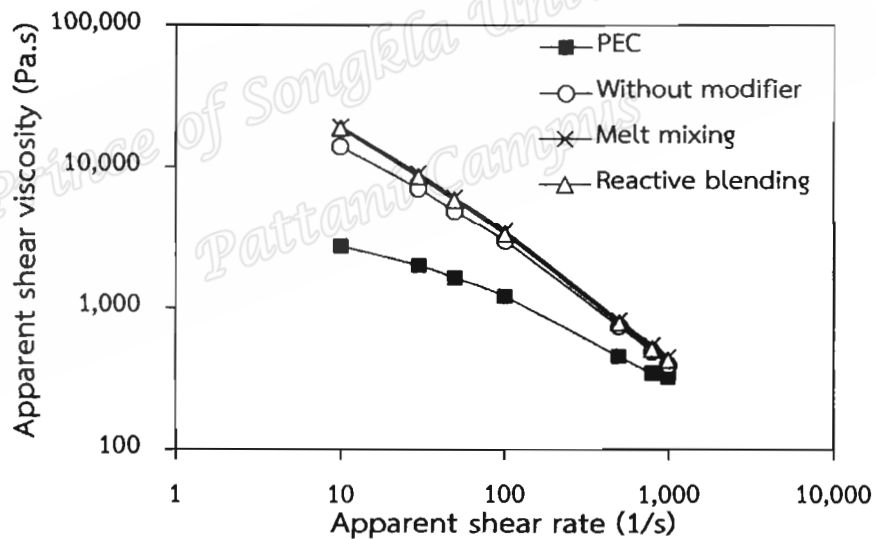
รูปที่ 4.27 เปอร์เซ็นต์การเปลี่ยนแปลงของสมบัติความต้านทานต่อแรงดึงและความสามารถในการยืดจนขาดภายหลังบ่มเร่งของเทอร์โมพลาสติกวัลคาไนซ์จากการเบลนด์ NR/RR/PEC เมื่อแปรวิธีการผสมสารดัดแปร

#### 4.3.4 การศึกษาอิทธิพลของวิธีการผสมสารดัดแปรต่อสมบัติการไหลของเทอร์โมพลาสติกวัลคาไนซ์จากการเบลนด์ระหว่าง NR/RR/PEC

นำเทอร์โมพลาสติกวัลคาไนซ์จากการเบลนด์ระหว่าง NR/RR/PEC ที่แปรวิธีการผสมสารดัดแปรวิธีต่างๆ มาวิเคราะห์สมบัติการไหลตามวิธีการทดลองในหัวข้อที่ 3.8.5 โดยใช้เครื่องรีโอมิเตอร์แบบคาปิลลารี ได้รับความสัมพันธ์ระหว่างความเค้นเฉือนปรากฏกับอัตราเฉือนปรากฏ และความหนืดเฉือนปรากฏกับอัตราเฉือนปรากฏ ดังแสดงในรูปที่ 4.28 และ 4.29



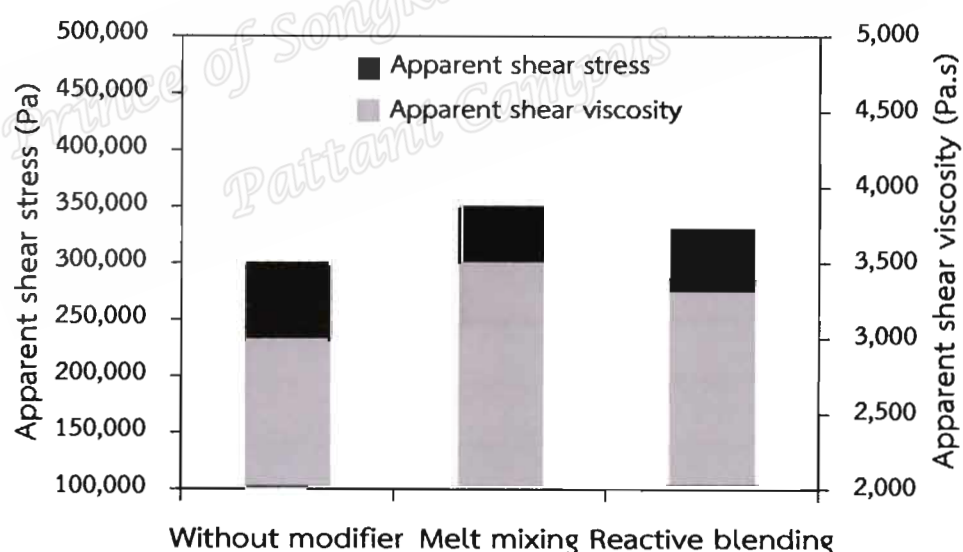
รูปที่ 4.28 ความสัมพันธ์ระหว่างความเค้นเฉือนปรากฏกับอัตราเฉือนปรากฏของเทอร์โมพลาสติกวัลคาไนซ์จากการเบลนด์ NR/RR/PEC เมื่อแปรวิธีการผสมสารตัดแปรร



รูปที่ 4.29 ความสัมพันธ์ระหว่างความหนืดเฉือนปรากฏกับอัตราเฉือนปรากฏของเทอร์โมพลาสติกวัลคาไนซ์จากการเบลนด์ NR/RR/PEC เมื่อแปรวิธีการผสมสารตัดแปรร

จากรูปที่ 4.28 และ 4.29 พบว่าค่าความเค้นเฉือนปรากฏมีค่าเพิ่มขึ้นตามอัตราเฉือนปรากฏที่เพิ่มขึ้น ในขณะที่ค่าความหนืดเฉือนปรากฏมีค่าลดลง แสดงให้เห็นว่า NR/RR/PEC TPVs เป็นของไหลประเภทนอนนิวโตเนียน (non-Newtonian fluid) มีพฤติกรรมการไหลแบบลดความหนืด (Shear thinning behavior) ซึ่งเป็นพฤติกรรมการไหลของของไหลซูโดพลาสติก (Pseudoplastic fluid) กล่าวคือขณะที่อัตราเฉือนเพิ่มขึ้น พอลิเมอร์เกิดการหลอมและเกิดการ

จัดเรียงตัวใหม่ เพื่อให้โมเลกุลของยางผ่านง่ายขึ้น ทำให้ค่าความหนืดเฉือนปรากฏมีค่าลดลง โดยพบว่าค่าความเค้นเฉือนปรากฏ และค่าความหนืดเฉือนปรากฏของเม็ดพลาสติก PEC และมีค่าต่ำที่สุดเมื่อเทียบกับ NR/RR/PEC TPVs เนื่องจาก PEC เป็นพลาสติกในกลุ่มพลาสโตเมอร์ คือ มีความเป็นพลาสติก และอีลาสติกในโมเลกุล มีความอ่อนตัว สามารถเกิดการหลอมและไหลได้ง่ายเมื่อได้รับความร้อน การนำยางมาใส่ในพลาสติกเพื่อเตรียมเป็นเทอร์โมพลาสติกวัลคาไนซ์เป็นการเพิ่มความหนืดของพอลิเมอร์เบลนด์ทำให้เกิดการหลอมและไหลได้ยากขึ้น ในขณะที่เมื่อเปรียบเทียบระหว่าง NR/RR/PEC TPVs ทั้ง 3 สูตร พบว่าเทอร์โมพลาสติกวัลคาไนซ์ที่ใช้สารตัดแปรมีค่าความเค้นเฉือนปรากฏ และความหนืดเฉือนปรากฏสูงกว่าเทอร์โมพลาสติกวัลคาไนซ์ที่ไม่ใส่สารตัดแปร ในขณะที่เมื่อเปรียบเทียบวิธีการผสมสารตัดแปรทั้ง 2 วิธี พบว่าเทอร์โมพลาสติกวัลคาไนซ์ที่มีการผสมสารตัดแปรโดยใช้วิธี Melt mixing จะให้ค่าความเค้นเฉือนปรากฏและค่าความหนืดเฉือนปรากฏสูงกว่าการผสมสารตัดแปรโดยใช้วิธี Reactive blending เล็กน้อยเท่านั้น ซึ่งจะเห็นได้ชัดเจนขึ้นเมื่อเขียนกราฟระหว่างค่าความเค้นเฉือนปรากฏและค่าความหนืดเฉือนปรากฏที่อัตราเฉือนคงที่ค่าหนึ่ง ดังแสดงในรูปที่ 4.30



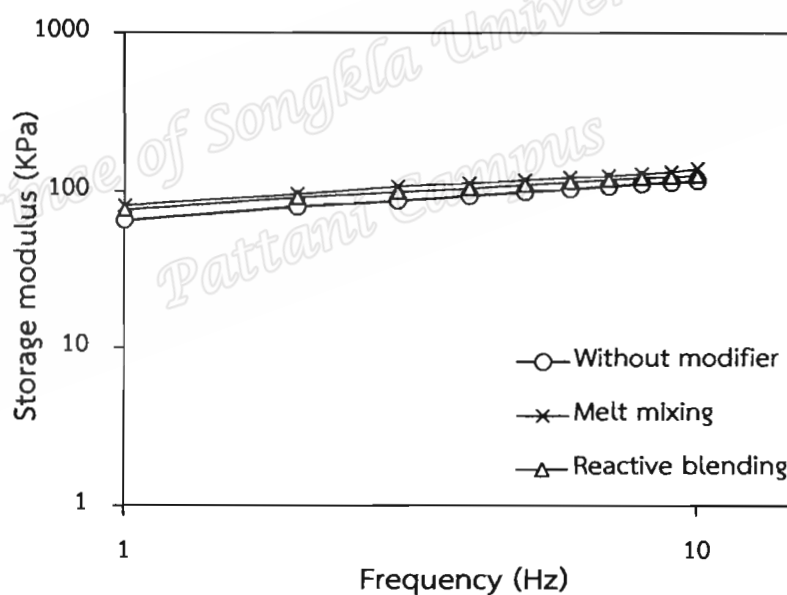
รูปที่ 4.30 ความเค้นเฉือนปรากฏและความหนืดเฉือนปรากฏที่อัตราเฉือน 100 (1/s) ของเทอร์โมพลาสติกวัลคาไนซ์จากการเบลนด์ NR/RR/PEC เมื่อแปรวิธีการผสมสารตัดแปร

จากรูปที่ 4.30 แสดงให้เห็นว่าการผสมสารตัดแปรโดยใช้วิธี Melt mixing จะทำให้พอลิเมอร์มีความเค้นเฉือนสูงและไหลได้ยากที่สุด ซึ่งเป็นผลจากวิธีการผสมพินอลิกรีซินด้วยวิธี Melt mixing ที่จะเตรียมยางรีเคลมผสมกับพินอลิกรีซินก่อน ทำให้พินอลิกรีซินมีโอกาสเพิ่มความเข้ากัน

ได้ระหว่างเฟสยางรีเคลมกับยางธรรมชาติ รวมถึงเฟสยางกับเฟสพลาสติก โดยแสดงปฏิกิริยาที่เป็นไป  
ได้ระหว่างยางรีเคลม ยางธรรมชาติ และโพรพิลีนเอทิลีนโคพอลิเมอร์ กับฟีนอลิกเรซิน ในรูปที่ 4.19  
ส่งผลให้เทอร์โมพลาสติกวัลคาไนซ์มีแรงยึดเหนี่ยวระหว่างเฟส (Interfacial adhesion) มากกว่าการ  
ใช้วิธี Reactive blending ซึ่งใส่ฟีนอลิกเรซินในขั้นตอนการเตรียมเทอร์โมพลาสติกซึ่งเป็นขั้นตอน  
สุดท้าย

#### 4.3.5 การศึกษาอิทธิพลของวิธีการผสมสารตัดแปรต่อสมบัติเชิงกลพลวัตของเทอร์โม พลาสติกวัลคาไนซ์จากการเบลนด์ระหว่าง NR/RR/PEC

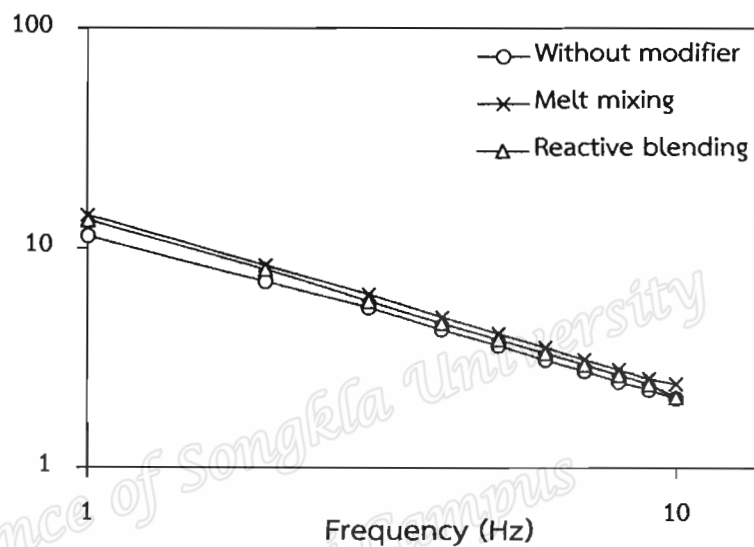
นำเทอร์โมพลาสติกวัลคาไนซ์จากการเบลนด์ระหว่าง NR/RR/PEC ที่แปรวิธีการผสมสาร  
ตัดแปรวิธีต่างๆ มาทดสอบสมบัติเชิงกลพลวัตด้วยเครื่อง MDPT ตามวิธีการทดลองในหัวข้อที่ 3.8.6  
ได้กราฟความสัมพันธ์ระหว่างมอดุลัสสะสม ความหนืดเชิงซ้อน และ  $\tan \delta$  กับความถี่ ดังแสดงในรูป  
ที่ 4.31-4.33



รูปที่ 4.31 ความสัมพันธ์ระหว่างมอดุลัสสะสมกับความถี่ของเทอร์โมพลาสติกวัลคาไนซ์จากการ  
เบลนด์ NR/RR/PEC เมื่อแปรวิธีการผสมสารตัดแปร

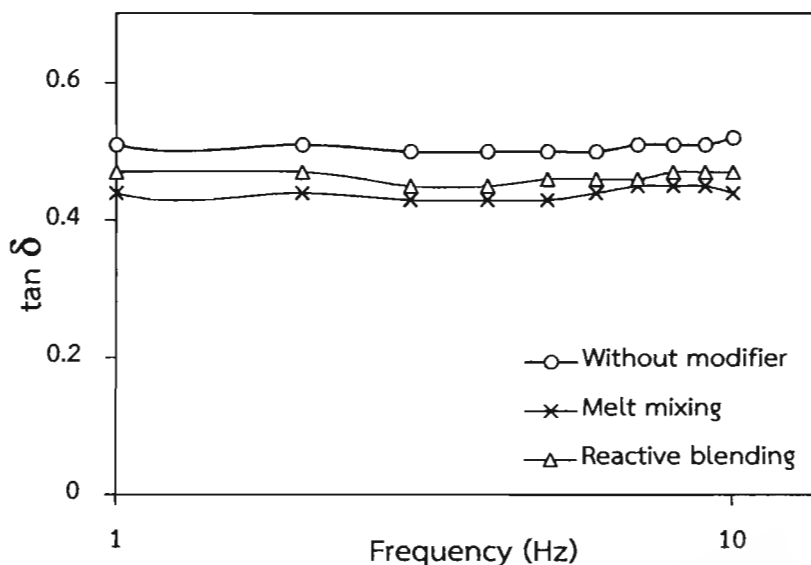
จากรูปที่ 4.31 พบว่ามอดุลัสสะสมมีค่าเพิ่มขึ้นตามความถี่ที่เพิ่มขึ้น เนื่องจากในช่วงแรกนี้  
ความถี่ต่ำพอลิเมอร์ยังมีเวลาในการพักความเค้น (Relaxation time) แต่เมื่อความถี่เพิ่มขึ้นเวลาใน  
การพักความเค้นของโมเลกุลสั้นลง ทำให้โมเลกุลตอบสนองไม่ทันต่อความเค้นและความเครียดที่  
กระทำบนสายโซ่โมเลกุลพอลิเมอร์ค่ามอดุลัสจึงมีค่าเพิ่มขึ้น เมื่อพิจารณาที่ความถี่เดียวกันพบว่าค่า  
มอดุลัสสะสมของเทอร์โมพลาสติกวัลคาไนซ์สูตรที่ใส่สารตัดแปร จะมีค่าสูงกว่าเทอร์โมพลาสติก

วัลคาไนซ์ที่ไม่ใส่สารดัดแปร (Without modifier) และเมื่อเปรียบเทียบระหว่างวิธีการผสมสารดัดแปรพบว่าการเตรียมเทอร์โมพลาสติกวัลคาไนซ์โดยใช้วิธี Melt mixing ให้ค่ามอดุลัสสะสมสูงกว่าวิธี Reactive blending เล็กน้อย แสดงให้เห็นการใส่ฟีนอลิกเรซินในขั้นตอนแรกของการเตรียมจะทำให้เกิดแรงยึดเหนี่ยวระหว่างเฟสได้ดีกว่า ทำให้สามารถส่งผ่านแรงเค้นระหว่างเฟสได้ดี ทำให้เก็บสะสมพลังงานบนสายโซ่โมเลกุลได้มาก เป็นผลให้มีค่ามอดุลัสสะสมมากขึ้น



รูปที่ 4.32 ความสัมพันธ์ระหว่างความหนืดเชิงซ้อนกับความถี่ของเทอร์โมพลาสติกวัลคาไนซ์จากการเบลนด์ NR/RR/PEC เมื่อแปรวิธีการผสมสารดัดแปร

จากรูปที่ 4.32 พบว่าความหนืดเชิงซ้อนมีค่าลดลงเมื่อความถี่เพิ่มขึ้น ซึ่งสอดคล้องกับค่าความหนืดปรากฏจากการทดสอบสมบัติการไหลในหัวข้อที่ 4.3.4 ซึ่งเป็นสมบัติเฉพาะของการไหลแบบซูโดพลาสติก โดยที่เมื่อพอลิเมอร์เบลนด์เกิดการหลอมเนื่องจากความร้อนและความถี่เพิ่มสูงขึ้นจะทำให้โมเลกุลของพอลิเมอร์หลอมเกิดการจัดเรียงตัวใหม่ ทำให้โมเลกุลสามารถเคลื่อนผ่านกันได้ง่ายขึ้น ส่งผลให้การต่อต้านการไหล (ความหนืดเชิงซ้อน) ลดลงตามความถี่ และเมื่อพิจารณาค่าความหนืดเชิงซ้อนที่ความถี่เดียวกันพบว่าเทอร์โมพลาสติกวัลคาไนซ์ที่เตรียมโดยวิธีการผสมสารดัดแปรแบบ Melt mixing จะให้ค่าความหนืดเชิงซ้อนสูงที่สุด รองลงมาคือเทอร์โมพลาสติกวัลคาไนซ์ที่เตรียมโดยวิธีการผสมสารดัดแปรแบบ Reactive blending และ Without modifier ตามลำดับ เนื่องจากการใส่ฟีนอลิกเรซินในขั้นตอนการเตรียมยางรีเคลมซึ่งเป็นขั้นตอนแรกทำให้ฟีนอลิกเรซินมีเวลาและโอกาสในการเกิดปฏิกิริยากับเฟสต่างๆ มากกว่าวิธีการเตรียมแบบ Reactive blending ส่งผลให้ต้องใช้แรงเฉือนสูงขึ้นในการทำให้โมเลกุลเกิดการเคลื่อนไหว เป็นผลให้การใช้วิธีผสมสารดัดแปรแบบ Melt mixing มีค่าความหนืดเชิงซ้อนสูงที่สุด



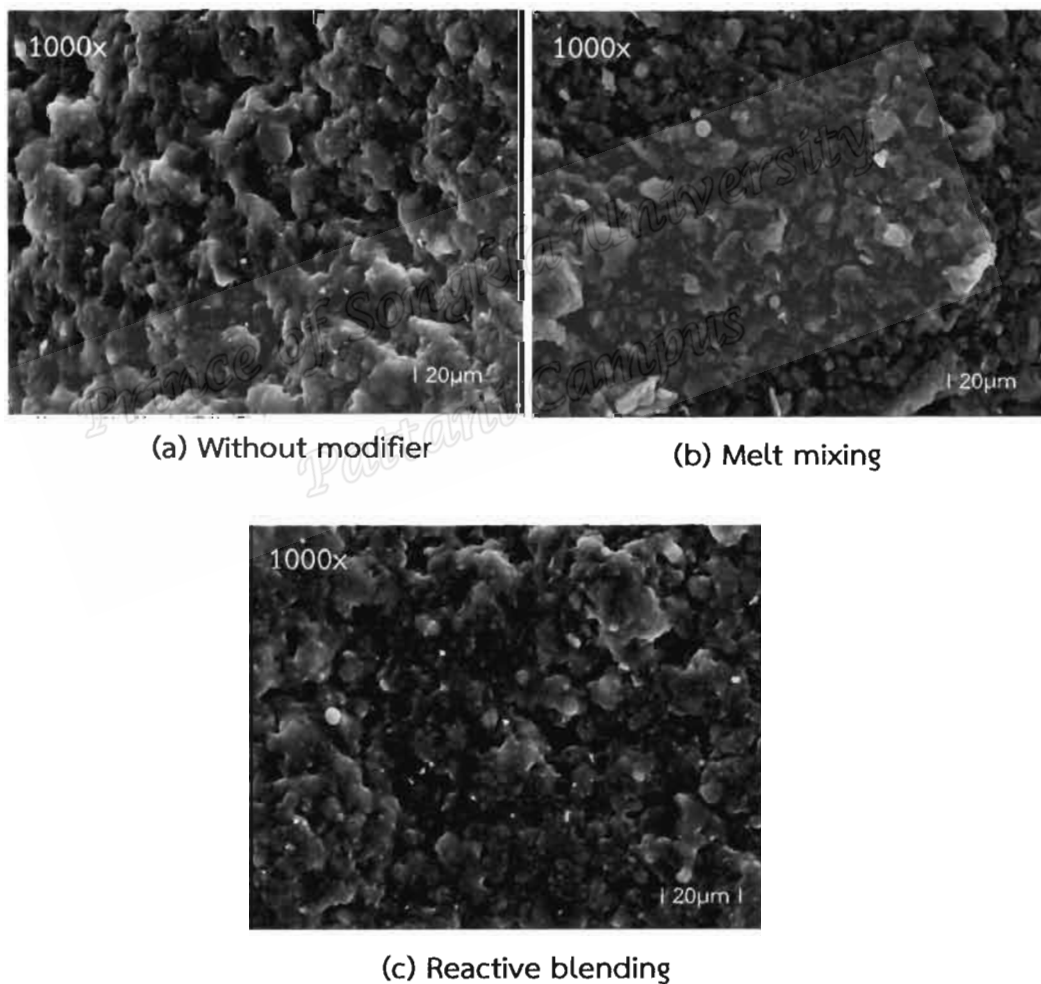
รูปที่ 4.33 ความสัมพันธ์ระหว่าง  $\tan \delta$  กับความถี่ของเทอร์โมพลาสติกวัลคาไนซ์จากการเบลนด์ NR/RR/PEC เมื่อแปรวิธีการผสมสารตัดแปร

จากรูปที่ 4.33 แสดงความสัมพันธ์ระหว่างค่า  $\tan \delta$  กับความถี่ ซึ่งค่า  $\tan \delta$  เป็นสัดส่วนระหว่างมอดุลัสสูญเสียต่อมอดุลัสสะสม โดยที่ค่า  $\tan \delta$  เป็นค่าที่บ่งบอกถึงความเป็นอีลาสติกของพอลิเมอร์ กล่าวคือถ้า  $\tan \delta$  มีค่าต่ำแสดงว่าวัสดุมีสมบัติอีลาสติกสูงสามารถผ่อนคลายความเค้นจากแรงกระทำได้ดี โดยจะพบว่าค่า  $\tan \delta$  มีค่าลดลงอย่างเห็นได้ชัดในเทอร์โมพลาสติกวัลคาไนซ์ที่ใส่สารตัดแปร กล่าวคือเมื่อใช้ฟีนอลิกเรซินจะทำให้วัสดุสามารถตอบสนองกลับได้ดี มีสมบัติอีลาสติกปรับปรุงดีขึ้น ซึ่งแสดงให้เห็นว่าปฏิกิริยาที่เกิดขึ้นจากฟีนอลิกเรซินซึ่งแสดงในรูปที่ 4.20 และ 4.21 ช่วยให้เทอร์โมพลาสติกวัลคาไนซ์มีความสามารถในการผ่อนคลายความเครียดเนื่องจากการได้รับแรงกระทำในโมเลกุลได้ดี จึงทำให้มีค่า  $\tan \delta$  ต่ำ จากนั้นเมื่อเปรียบเทียบระหว่างการใช่วิธีการผสมสารตัดแปร 2 วิธี พบว่าเทอร์โมพลาสติกวัลคาไนซ์ที่เตรียมโดยการผสมสารตัดแปรด้วยวิธี Melt mixing มีค่า  $\tan \delta$  ต่ำกว่าการผสมสารตัดแปรด้วยวิธี Reactive blending อย่างเห็นได้ชัด เนื่องจากการใส่ฟีนอลิกเรซินในขั้นตอนการเตรียมที่แตกต่างกันซึ่งได้อธิบายไปแล้วก่อนหน้านี้ในหัวข้อที่ 4.3.2 กล่าวคือการผสมสารตัดแปรด้วยวิธี Melt mixing จะบดผสมฟีนอลิกเรซินกับยางรีเคลมก่อน เพื่อให้ฟีนอลิกเรซินอยู่ในเฟสของยางรีเคลมก่อนที่จะเกิดปฏิกิริยากับยางธรรมชาติและโพรพิลีนเอทิลีนโคพอลิเมอร์ ต่อไปในขั้นตอนของการเตรียมคอมพาวนด์และการเตรียมเทอร์โมพลาสติกวัลคาไนซ์ โดยจะเห็นว่าวิธีการเตรียมแบบ Melt mixing มีเวลาสำหรับให้ฟีนอลิกเรซินเกิดการกระจายตัวและเกิดปฏิกิริยากับเฟสอื่นๆ มากกว่าการใช้การผสมสารตัดแปรด้วยวิธี Reactive

blending จึงส่งผลให้การผสมสารตัดแปรด้วยวิธี Melt mixing สามารถเพิ่มความเข้ากันได้ระหว่างเฟสได้มากกว่าวิธี Reactive blending

#### 4.3.6 การศึกษาอิทธิพลของวิธีการผสมสารตัดแปรต่อลักษณะสัณฐานวิทยาของเทอร์โมพลาสติกวัลคาไนซ์จากการเบลนด์ระหว่าง NR/RR/PEC

นำเทอร์โมพลาสติกวัลคาไนซ์จากการเบลนด์ระหว่าง NR/RR/PEC ที่แปรวิธีการผสมสารตัดแปรวิธีต่างๆ มาศึกษาสัณฐานวิทยา ตามวิธีการทดลองในหัวข้อที่ 3.8.7 ได้ผลการทดลองแสดงดังรูปที่ 4.34



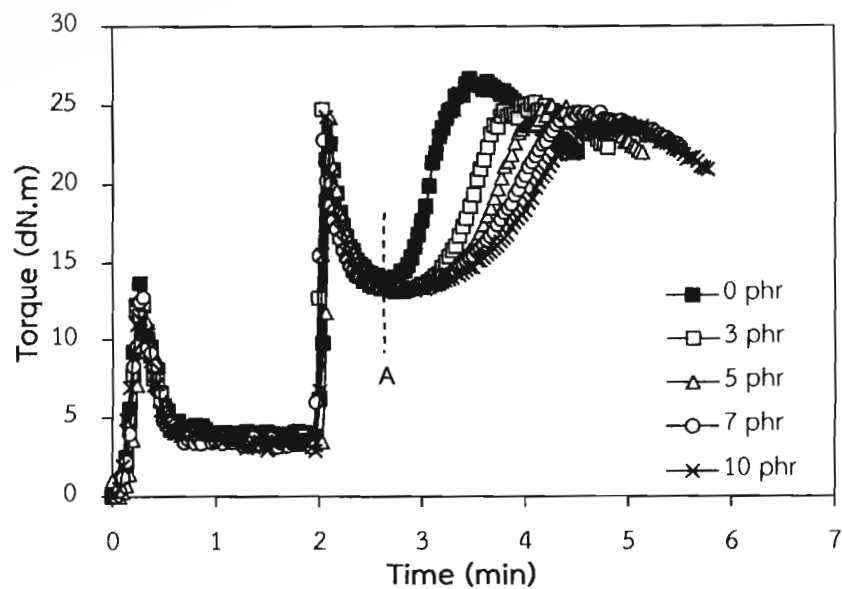
รูปที่ 4.34 ลักษณะสัณฐานวิทยาของเทอร์โมพลาสติกวัลคาไนซ์จากการเบลนด์ NR/RR/PEC เมื่อแปรวิธีการผสมสารตัดแปร

จากรูปที่ 4.34 พบว่าเมื่อใช้วิธีการผสมสารตัดแปรที่แตกต่างกันจะให้ลักษณะทางสัณฐานวิทยาที่แตกต่างกันด้วย โดยสัณฐานวิทยาของเทอร์โมพลาสติกวัลคาไนซ์ที่ไม่ใช้สารตัดแปร และเทอร์โมพลาสติกวัลคาไนซ์ที่เตรียมโดยวิธี Reactive blending มีลักษณะของพื้นผิวที่หยาบและขรุขระ (Roughness) กว่าเทอร์โมพลาสติกวัลคาไนซ์ที่มีการผสมสารตัดแปรด้วยวิธี Melt mixing อย่างเห็นได้ชัด ความละเอียดของสัณฐานวิทยาที่ปรับปรุงดีขึ้นแสดงให้เห็นถึงผลของการปรับปรุงความเข้ากันได้ระหว่างเฟสอย่างทั้ง 2 ชนิด และระหว่างเฟสยางกับพลาสติกเกิดขึ้น (Lee *et al.*, 2007)

#### 4.4 การศึกษาอิทธิพลของปริมาณสารตัดแปรต่อสมบัติเทอร์โมพลาสติกวัลคาไนซ์จากการเบลนด์ระหว่างยางธรรมชาติ ยางรีเคลม และโพรพิลีนเอทิลีนโคพอลิเมอร์ (NR/RR/PEC TPVs)

เตรียมเทอร์โมพลาสติกวัลคาไนซ์จากการเบลนด์ยางธรรมชาติ ยางรีเคลม และโพรพิลีนเอทิลีนโคพอลิเมอร์ที่อัตราส่วน 30/30/40 ส่วนโดยน้ำหนัก ตามวิธีการทดลองในหัวข้อที่ 3.3.4 ศึกษาผลของปริมาณสารตัดแปรชนิดฟีนอลิกเรซิน ที่ปริมาณ 0, 3, 5, 7 และ 10 phr โดยใช้วิธีการผสมสารตัดแปรแบบ Melt mixing method

##### 4.4.1 การศึกษาอิทธิพลของปริมาณสารตัดแปรต่อพฤติกรรมการผสมในการเตรียมเทอร์โมพลาสติกวัลคาไนซ์จากการเบลนด์ NR/RR/PEC

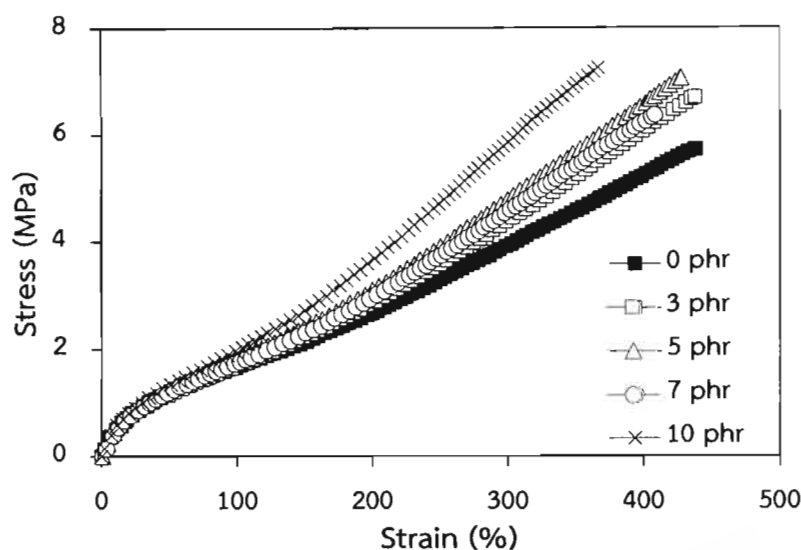


รูปที่ 4.35 ความสัมพันธ์ระหว่างค่าทอร์กกับเวลาการผสมของเทอร์โมพลาสติกวัลคาไนซ์จากการเบลนด์ NR/RR/PEC เมื่อแปรปริมาณฟีนอลิกเรซิน

จากรูปที่ 4.35 สามารถอธิบายลักษณะการเพิ่มขึ้นของค่าทอร์กได้เช่นเดียวกับรูปที่ 4.15 กล่าวคือ ค่าทอร์กจะเพิ่มขึ้นเมื่อใส่โพรพิลีนเอทิลีนโคพอลิเมอร์ เนื่องจากโพรพิลีนเอทิลีนโคพอลิเมอร์ เป็นของแข็งทำให้เกิดการต้านการหมุนของโรเตอร์สูง จากนั้นค่าทอร์กจะลดลงเนื่องจากโพรพิลีนเอทิลีนโคพอลิเมอร์เกิดการหลอม จากนั้นใส่ยางคอมพาวนด์ที่เวลา 2 นาที จะพบว่าค่าทอร์กจะเพิ่มขึ้นอย่างรวดเร็ว เนื่องจากยางคอมพาวนด์มีความหนืดสูง และค่าทอร์กจะค่อยๆลดลงเมื่อยางได้รับความร้อนและแรงเฉือนจากการบิดผสมจนยางนิ่มลง จากนั้นค่าทอร์กจะเพิ่มขึ้นอีกครั้งเมื่อเกิดการเชื่อมขวางภายในเฟสยางหรือการเกิดการวัลคาไนซ์เซชันแบบไดนามิกซ์ จะเห็นได้ว่าระยะเวลาการเกิดการวัลคาไนซ์แบบไดนามิกซ์จากจุดที่ค่าทอร์กเริ่มเพิ่มขึ้น (จุด A ในรูปที่ 4.35) จนถึงจุดที่มีค่าทอร์กสูงสุดจะใช้เวลานานขึ้นตามปริมาณของฟีนอลิกเรซินที่เพิ่มขึ้น และยังพบว่าค่าสูงสุดของทอร์กการผสมในช่วงการเกิดการวัลคาไนซ์แบบไดนามิกซ์จะมีความสูงลดลงตามปริมาณฟีนอลิกเรซินที่เพิ่มขึ้น

#### 4.4.2 การศึกษาอิทธิพลของปริมาณสารตัดแปรต่อสมบัติเชิงกลของเทอร์โมพลาสติกวัลคาไนซ์จากการเบลนดระหว่าง NR/RR/PEC

อิทธิพลของปริมาณฟีนอลิกเรซินต่อพฤติกรรมการผิดรูปภายใต้แรงเค้นของเทอร์โมพลาสติกวัลคาไนซ์จากการเบลนดระหว่าง NR/RR/PEC แสดงดังรูปที่ 4.36 พบว่าค่าความแข็งตึง (Stiffness) หรือมอดุลัสซึ่งดูได้จากความชันของกราฟจะมีแนวโน้มเพิ่มขึ้นตามปริมาณฟีนอลิกเรซินที่เพิ่มขึ้น แสดงให้เห็นว่าเมื่อมีปริมาณฟีนอลิกเรซินเพิ่มขึ้นจะมีแนวโน้มทำให้ความแข็งตึงในเทอร์โมพลาสติกวัลคาไนซ์เพิ่มขึ้น ในขณะที่ทำให้ความสามารถในการยืดจนขาดมีค่าลดลงเล็กน้อย ซึ่งเป็นผลมาจากความหนาแน่นของพันธะเชื่อมขวางที่เพิ่มสูงขึ้นตามปริมาณฟีนอลิกเรซินที่ใช้ กล่าวคือเมื่อปริมาณของพันธะเชื่อมขวางเพิ่มขึ้นมอดุลัสของยางจะเพิ่มขึ้น ในขณะที่ระยะยืดจนขาดของยางจะลดลง (บุญธรรม และคณะ, 2555) ประกอบกับฟีนอลิกเรซินสามารถเกิดปฏิกิริยาระหว่างเฟสของยางรีเคลมและเฟสของยางธรรมชาติดังแสดงในรูปที่ 4.20 ซึ่งจะช่วยให้เพิ่มความเข้ากันได้ระหว่างเฟสของยาง รวมถึงช่วยให้เกิดการกระจายตัวและมีแรงยึดเหนี่ยวระหว่างเฟส (Interfacial adhesion) กับโพรพิลีนเอทิลีนโคพอลิเมอร์ได้ดี เนื่องจากฟีนอลิกเรซินสามารถเกิดปฏิกิริยากับโพรพิลีนเอทิลีนโคพอลิเมอร์ได้ด้วย ปฏิกิริยาที่เป็นไปได้แสดงดังรูปที่ 4.21 และจากจุดขาดของกราฟความสัมพันธ์ระหว่างความเค้นและความเครียด สามารถนำมาคำนวณหาค่าความต้านทานต่อแรงดึง และความสามารถในการยืดจนขาดของเทอร์โมพลาสติกวัลคาไนซ์ ได้ผลแสดงดังตารางที่ 4.9 รวมถึงยังแสดงผลการทดสอบสมบัติด้านความแข็งและการผิดรูปถาวรแบบดึงของเทอร์โมพลาสติกวัลคาไนซ์ด้วย

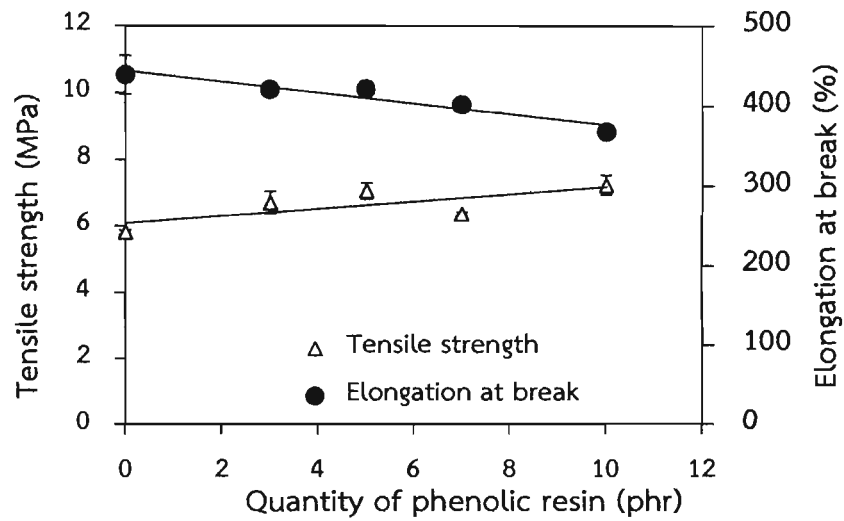


รูปที่ 4.36 ความสัมพันธ์ระหว่างความเค้นกับความเครียดของเทอร์โมพลาสติกวัลคาไนซ์จากการเบลนด์ NR/RR/PEC เมื่อแปรปริมาณฟีนอลิกเรซิน

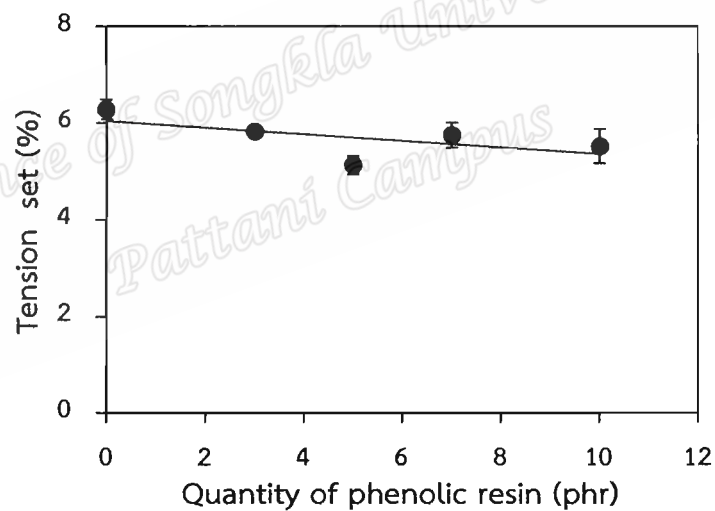
ตารางที่ 4.9 สมบัติเชิงกลของเทอร์โมพลาสติกวัลคาไนซ์จากการเบลนด์ NR/RR/PEC เมื่อแปรปริมาณฟีนอลิกเรซิน

| Quantity of phenolic resin | Tensile strength (MPa) | Elongation at break (%) | Tension set (%) | Hardness (shore A) |
|----------------------------|------------------------|-------------------------|-----------------|--------------------|
| 0 phr                      | 5.81±0.06              | 439±24.64               | 6.28±0.21       | 52                 |
| 3 phr                      | 6.71±0.33              | 421±25.49               | 5.82±0.10       | 55                 |
| 5 phr                      | 7.06±0.24              | 422±8.87                | 5.13±0.19       | 55                 |
| 7 phr                      | 6.37±0.05              | 402±10.79               | 5.75±0.26       | 56                 |
| 10 phr                     | 7.23±0.29              | 368±13.74               | 5.52±0.35       | 57                 |

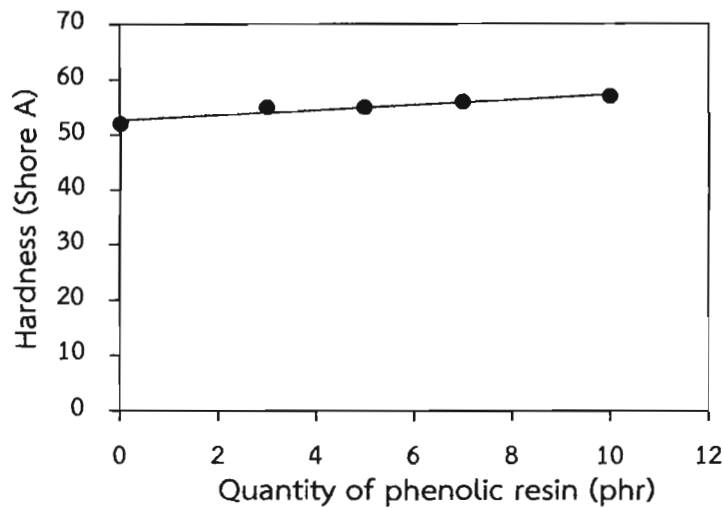
จากตารางที่ 4.9 สามารถเขียนกราฟเปรียบเทียบความต้านทานต่อแรงดึง ความสามารถในการยืดจนขาด ค่าความสามารถในการคืนรูป และค่าความแข็งของเทอร์โมพลาสติกวัลคาไนซ์ เมื่อแปรปริมาณฟีนอลิกเรซิน ดังรูปที่ 4.37, 4.38 และ 4.39 ตามลำดับ



รูปที่ 4.37 ความต้านทานต่อแรงดึงและความสามารถในการยืดจนขาดของเทอร์โมพลาสติกวัลคาไนซ์จากการเบลนด์ NR/RR/PEC เมื่อแปรปริมาณฟีนอลิกเรซิน



รูปที่ 4.38 การผิดรูปถาวรแบบดึงของเทอร์โมพลาสติกวัลคาไนซ์จากการเบลนด์ NR/RR/PEC เมื่อแปรปริมาณฟีนอลิกเรซิน



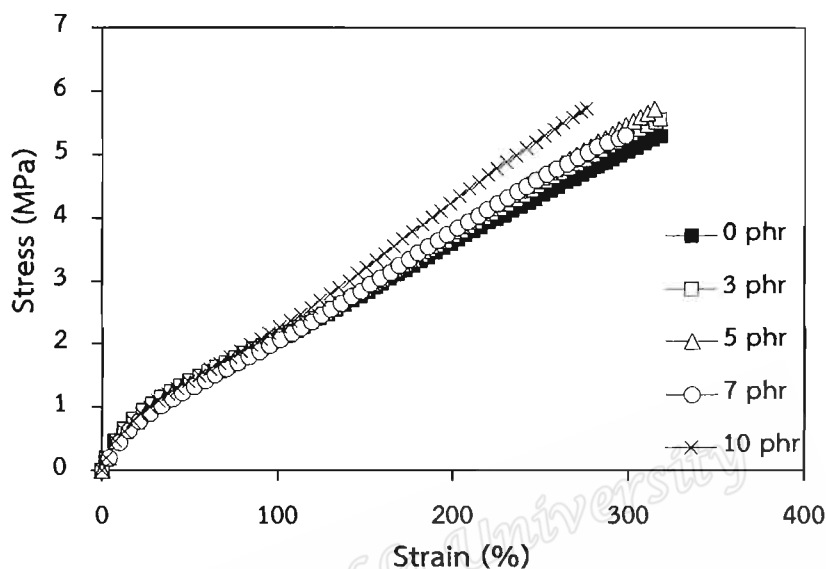
รูปที่ 4.39 ความแข็งของเทอร์โมพลาสติกวัลคาไนซ์จากการเบลนด์ NR/RR/PEC เมื่อแปรปริมาณฟีนอลิกเรซิน

จากรูปที่ 4.37-4.39 พบว่าความต้านทานต่อแรงดึงและความแข็งของเทอร์โมพลาสติกวัลคาไนซ์มีแนวโน้มเพิ่มขึ้นตามปริมาณฟีนอลิกเรซินที่เพิ่มขึ้น ในขณะที่ความสามารถในการยืดจนขาด และค่าการผิดรูปถาวรแบบดึงมีแนวโน้มลดลง โดยที่ปริมาณฟีนอลิกเรซิน 10 phr จะให้ค่าความต้านทานต่อแรงดึง และความแข็งสูงสุด เนื่องจากการใช้ฟีนอลิกเรซินจะช่วยเพิ่มความเข้ากันได้ที่ผิวประจัญ ทำให้เกิดแรงยึดเหนี่ยวเพิ่มขึ้น นอกจากนี้ปริมาณฟีนอลิกเรซินที่มากบางส่วนยังสามารถทำหน้าที่เป็นสารวัลคาไนซ์ทำให้ความหนาแน่นของพันธะเชื่อมขวางในโมเลกุลยางให้มากขึ้น รวมถึงที่อุณหภูมิห้องฟีนอลิกเรซินเป็นของแข็งเปราะ จึงช่วยเสริมความแข็งของเทอร์โมพลาสติกวัลคาไนซ์ให้เพิ่มขึ้นด้วย และมีงานวิจัยของ Wu *et al.* (1997) และ Hirano *et al.* (2013) ที่ระบุว่า การใช้ฟีนอลิกเรซินจะช่วยปรับปรุงความแข็งแรงของพอลิเมอร์เบลนด์ ดังนั้นสมบัติความต้านทานต่อแรงดึงและความแข็งของเทอร์โมพลาสติกวัลคาไนซ์จึงเพิ่มขึ้น เมื่อความแข็งแรงของสายโซ่โมเลกุลเพิ่มขึ้นจึงส่งผลให้ความสามารถในการยืดจนขาดมีแนวโน้มลดลง และจากรูปที่ 4.38 ที่พบว่าการผิดรูปถาวรแบบดึงของเทอร์โมพลาสติกวัลคาไนซ์มีแนวโน้มลดลงอย่างต่อเนื่องตามปริมาณของฟีนอลิกเรซินที่ใช้ แสดงให้เห็นว่าการใช้ฟีนอลิกเรซินช่วยในการเกิดการเชื่อมประสานระหว่างเฟสยางรีเคลมกับยางธรรมชาติ และเฟสยางกับเฟสพลาสติกได้ดี ส่งผลให้มีแรงยึดเหนี่ยวระหว่างเฟสเพิ่มขึ้น

#### 4.4.3 การศึกษาอิทธิพลของปริมาณสารตัดแปรต่อสมบัติเชิงกลภายหลังบ่มแรงของเทอร์โมพลาสติกวัลคาไนซ์จากการเบลนด์ระหว่าง NR/RR/PEC

เตรียมเทอร์โมพลาสติกวัลคาไนซ์จากการเบลนด์ระหว่าง NR/RR/PEC โดยแปรฟีนอลิกเรซินที่ปริมาณต่างๆ จากนั้นนำมาทดสอบความต้านทานต่อการบ่มแรงที่อุณหภูมิ 100°C เป็นเวลา

22 ชั่วโมง เมื่อครบเวลานำตัวอย่างออกพักทิ้งไว้ที่อุณหภูมิห้องอย่างน้อย 16 ชั่วโมง ก่อนนำไปทดสอบความต้านทานต่อแรงดึง และความสามารถในการยืดจนขาด ได้ผลการทดลองแสดงดังรูปที่ 4.40



รูปที่ 4.40 ความสัมพันธ์ระหว่างความเค้นกับความเครียดภายหลังบ่มแรงของเทอร์โมพลาสติกวัลคาไนซ์จากการเบลนด์ NR/RR/PEC เมื่อแปรปริมาณฟีนอลิกเรซิน

จากรูปที่ 4.40 แสดงพฤติกรรมการผิดรูปภายใต้แรงเค้นภายหลังบ่มแรงของเทอร์โมพลาสติกวัลคาไนซ์เมื่อแปรฟีนอลิกเรซินที่ปริมาณต่างๆ พบว่าพฤติกรรมการผิดรูปของเทอร์โมพลาสติกวัลคาไนซ์ก่อนและหลังบ่มแรงไม่แตกต่างกัน กล่าวคือความแข็งตึงจะมีแนวโน้มเพิ่มขึ้นตามปริมาณฟีนอลิกเรซินที่เพิ่มขึ้น โดยจากจุดขาดของกราฟความสัมพันธ์ระหว่างความเค้นและความเครียด สามารถนำมาคำนวณหาค่าความต้านทานต่อแรงดึง และความสามารถในการยืดจนขาดของเทอร์โมพลาสติกวัลคาไนซ์ ได้ผลแสดงดังตารางที่ 4.10 และ 4.11 นอกจากค่าความความต้านทานต่อแรงดึง และค่าความสามารถในการยืดจนขาดที่คำนวณได้แล้ว สามารถนำมาคำนวณเปอร์เซ็นต์การเปลี่ยนแปลงของสมบัติด้วย

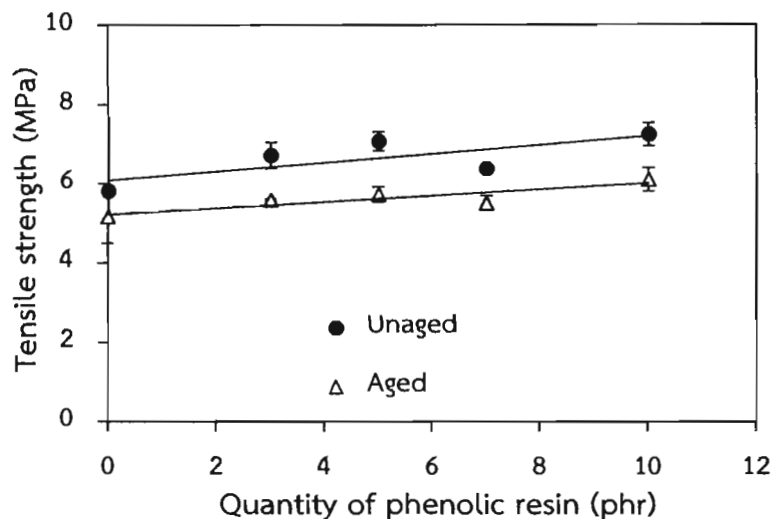
ตารางที่ 4.10 ความต้านทานต่อแรงดึงภายหลังบ่มแรงของเทอร์โมพลาสติกวัลคาไนซ์จากการเบลนด์ NR/RR/PEC เมื่อแปรปริมาณฟีนอลิกเรซิน

| Quantity of phenolic resin | Tensile strength (MPa) |           | Change in property of tensile strength (%) |
|----------------------------|------------------------|-----------|--|
|                            | Unaged                 | Aged      |  |
| 0 phr                      | 5.81±0.06              | 5.16±0.67 | -11.19                                     |
| 3 phr                      | 6.71±0.33              | 5.58±0.03 | -16.84                                     |
| 5 phr                      | 7.06±0.24              | 5.72±0.19 | -18.98                                     |
| 7 phr                      | 6.37±0.05              | 5.50±0.18 | -13.66                                     |
| 10 phr                     | 7.23±0.29              | 6.09±0.30 | -15.77                                     |

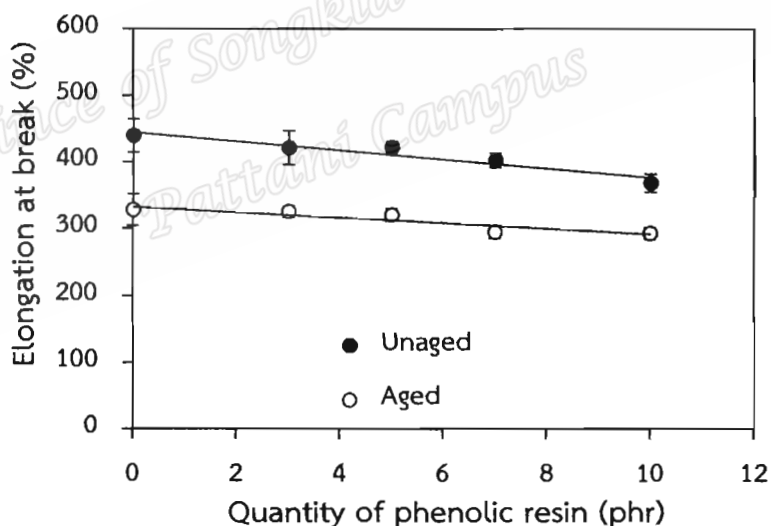
ตารางที่ 4.11 ความสามารถในการยืดจนขาดหลังภายบ่มแรงของเทอร์โมพลาสติกวัลคาไนซ์จากการเบลนด์ NR/RR/PEC เมื่อแปรปริมาณฟีนอลิกเรซิน

| Quantity of phenolic resin | Elongation at break (%) |           | Change in property of elongation at break (%) |
|----------------------------|-------------------------|-----------|---|
|                            | Unaged                  | Aged      |   |
| 0 phr                      | 439±24.64               | 328±24.08 | -25.28  |
| 3 phr                      | 421±25.49               | 325±8.10  | -22.80  |
| 5 phr                      | 422±8.87                | 320±9.50  | -24.17  |
| 7 phr                      | 402±10.79               | 294±9.42  | -26.87  |
| 10 phr                     | 368±13.74               | 292±8.59  | -20.65  |

จากตารางที่ 4.10 และ 4.11 สามารถเขียนกราฟเปรียบเทียบค่าความต้านทานต่อแรงดึง และค่าความสามารถในการยืดจนขาดก่อนและหลังบ่มแรงของเทอร์โมพลาสติกวัลคาไนซ์ เมื่อแปรปริมาณฟีนอลิกเรซิน แสดงดังรูปที่ 4.41 และ 4.42 รวมถึงแสดงกราฟเปรียบเทียบเปอร์เซ็นต์การเปลี่ยนแปลงสมบัติภายหลังบ่มแรงในรูปที่ 4.43



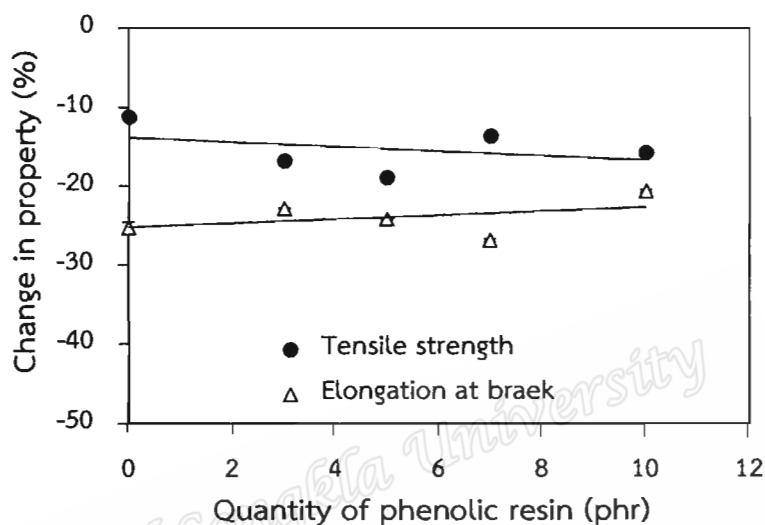
รูปที่ 4.41 ความต้านทานต่อแรงดึงก่อนและหลังบ่มแรงของเทอร์โมพลาสติกวัลคาไนซ์จากการเบลนด์ NR/RR/PEC เมื่อแปรปริมาณฟีนอลิกเรซิน



รูปที่ 4.42 ความสามารถในการยืดจนขาดก่อนและหลังบ่มแรงของเทอร์โมพลาสติกวัลคาไนซ์จากการเบลนด์ NR/RR/PEC เมื่อแปรปริมาณฟีนอลิกเรซิน

จากรูปที่ 4.41 และ 4.42 พบว่าค่าความต้านทานต่อแรงดึงและค่าความสามารถในการยืดจนขาดหลังบ่มแรงของเทอร์โมพลาสติกวัลคาไนซ์ที่ทุกปริมาณของฟีนอลิกเรซินมีค่าต่ำกว่าก่อนบ่มแรง เนื่องจากเฟสยางวัลคาไนซ์ด้วยระบบก้ำมะถันแบบปกติซึ่งมีพันธะเชื่อมขวางแบบพอลิซัลฟิดิกเป็นส่วนใหญ่ที่สามารถเกิดการแตกได้ง่ายเมื่อได้รับความร้อน และเฟสยางเกิดการเสื่อมจากการถูก

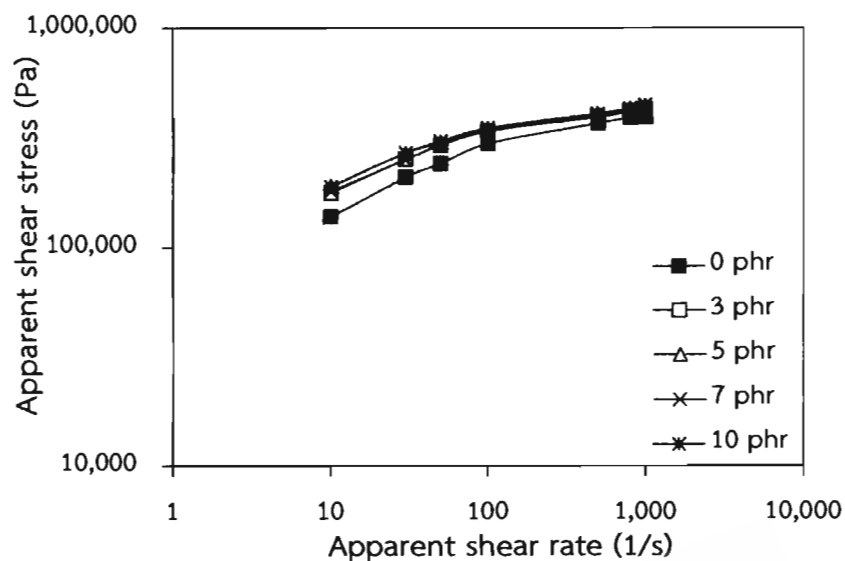
ออกซิไดซ์ (พรพรรณ, 2540) นอกจากนี้ยังพบว่าค่าความต้านต่อแรงดึง และความสามารถในการยืดจนขาดภายหลังบ่มเร่งให้แนวโน้มการเปลี่ยนแปลงตามปริมาณฟีนอลิกเรซินเช่นเดียวกับก่อนบ่มเร่ง กล่าวคือ ความต้านต่อแรงดึงมีแนวโน้มเพิ่มขึ้นตามปริมาณฟีนอลิกเรซินที่เพิ่มขึ้น ในขณะที่ความสามารถในการยืดจนขาดมีแนวโน้มลดลง



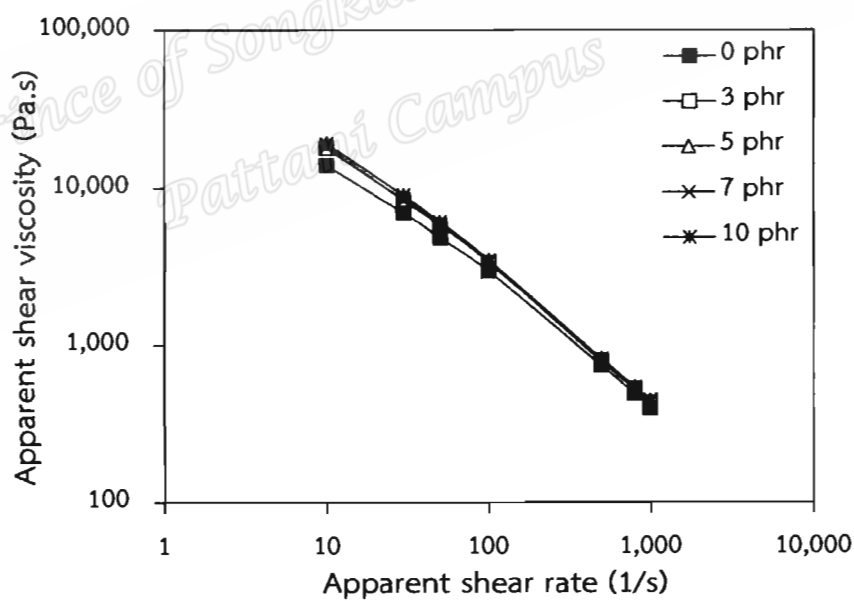
รูปที่ 4.43 เปรียบเทียบการเปลี่ยนแปลงของสมบัติความต้านต่อแรงดึงและความสามารถในการยืดจนขาดภายหลังบ่มเร่งของเทอร์โมพลาสติกวัลคาไนซ์จากการเบลนด์ NR/RR/PEC เมื่อแปรปริมาณฟีนอลิกเรซิน

#### 4.4.4 การศึกษาอิทธิพลของปริมาณสารดัดแปรต่อสมบัติการไหลของเทอร์โมพลาสติกวัลคาไนซ์จากการเบลนด์ระหว่าง NR/RR/PEC

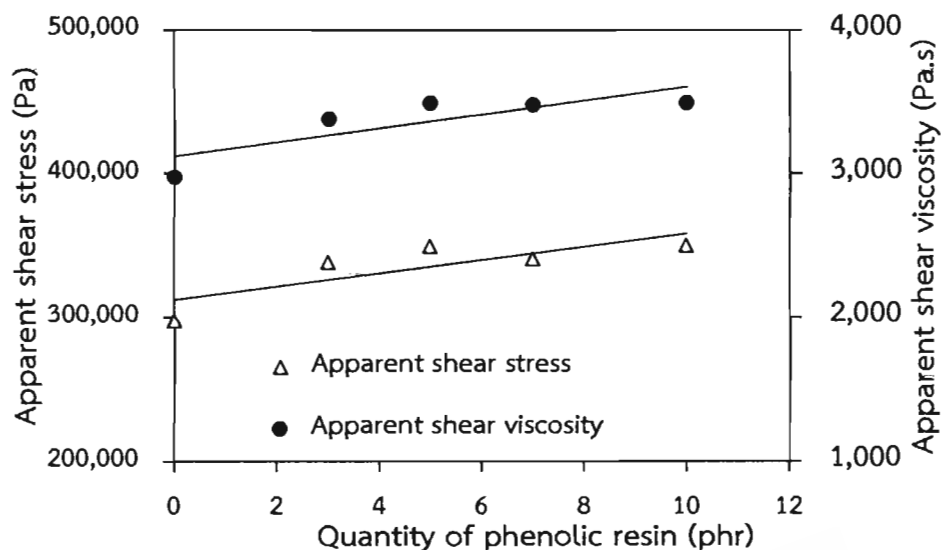
นำเทอร์โมพลาสติกวัลคาไนซ์ที่เตรียมได้มาทดสอบสมบัติการไหลตามวิธีการทดลองในหัวข้อที่ 3.8.5 เปรียบเทียบสมบัติการไหลของเทอร์โมพลาสติกวัลคาไนซ์ เมื่อแปรฟีนอลิกเรซินที่ปริมาณ 0, 3, 5, 7, 10 phr ได้ความสัมพันธ์ระหว่างความเค้นเฉือนปรากฏกับอัตราเฉือนปรากฏและความหนืดเฉือนปรากฏกับอัตราเฉือนปรากฏ ดังแสดงในรูปที่ 4.44 และ 4.45 และสามารถนำมาเขียนกราฟความสัมพันธ์ระหว่างค่าความเค้นเฉือนปรากฏและความหนืดเฉือนปรากฏที่อัตราเฉือนปรากฏ 100 1/s กับปริมาณฟีนอลิกเรซิน ดังแสดงในรูปที่ 4.46



รูปที่ 4.44 ความสัมพันธ์ระหว่างความเค้นเฉือนปรากฏกับอัตราเฉือนปรากฏของเทอร์โมพลาสติกวัลคาไนซ์จากการเบลนด์ NR/RR/PEC เมื่อแปรปริมาณฟีนอลิกเรซิน



รูปที่ 4.45 ความสัมพันธ์ระหว่างความหนืดเฉือนปรากฏกับอัตราเฉือนปรากฏของเทอร์โมพลาสติกวัลคาไนซ์จากการเบลนด์ NR/RR/PEC เมื่อแปรปริมาณฟีนอลิกเรซิน

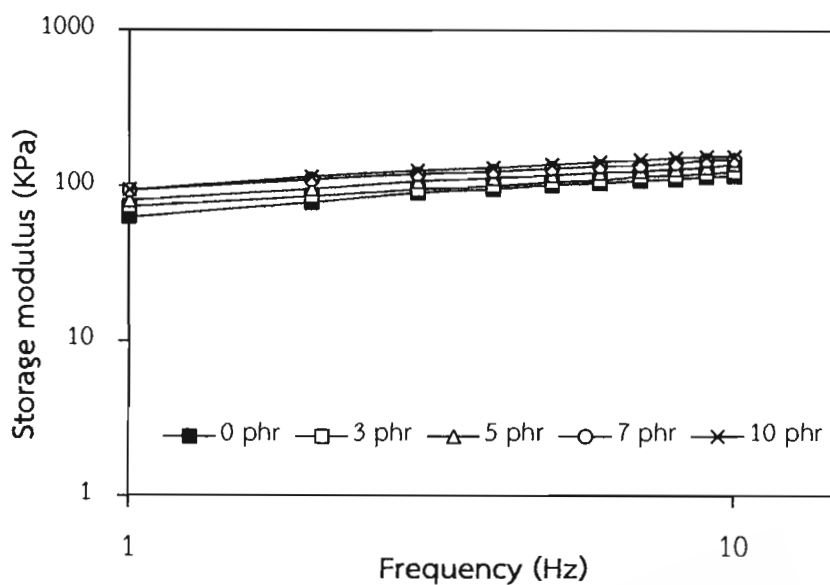


รูปที่ 4.46 ความเค้นเฉือนปรากฏและความหนืดเฉือนปรากฏที่อัตราเฉือน 100 (1/s) ของเทอร์โมพลาสติกวัลคาไนซ์จากการเบลนด์ NR/RR/PEC เมื่อแปรปริมาณฟีนอลิกเรซิน

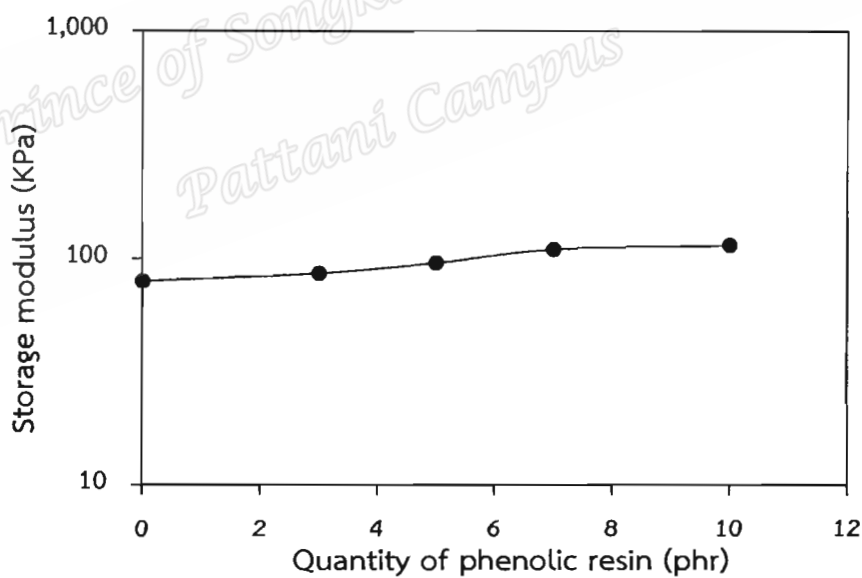
จากรูปที่ 4.44 และ 4.45 พบว่าเทอร์โมพลาสติกวัลคาไนซ์มีค่าความเค้นเฉือนปรากฏเพิ่มขึ้นตามอัตราเฉือนปรากฏที่เพิ่มขึ้น ในขณะที่ค่าความหนืดเฉือนปรากฏมีค่าลดลง และเมื่อพิจารณาที่อัตราเฉือนปรากฏเดียวกันในรูปที่ 4.46 พบว่าค่าความเค้นเฉือนปรากฏและค่าความหนืดเฉือนปรากฏของเทอร์โมพลาสติกวัลคาไนซ์มีแนวโน้มเพิ่มขึ้นอย่างต่อเนื่องตามปริมาณฟีนอลิกเรซินที่เพิ่มขึ้น เนื่องจากฟีนอลิกเรซินจะช่วยเพิ่มความเข้ากันได้ระหว่างเฟส โดยสามารถเกิดการเชื่อมประสานภายในเฟสยาง และเฟสยางกับเฟสพลาสติกได้ ตลอดจนฟีนอลิกบางส่วนยังไปทำให้เกิดพันธะเชื่อมขวางในโมเลกุลยางเพิ่มขึ้น ส่งผลให้มีแรงยึดเหนี่ยวระหว่างเฟสต่างๆ เพิ่มมากขึ้น จึงต้องใช้แรงหรือความเค้นมากขึ้นที่อัตราเฉือนเท่าเดิม เพื่อให้วัสดุเกิดการไหล

#### 4.4.5 การศึกษาอิทธิพลของปริมาณสารตัดแปรต่อสมบัติเชิงกลพลวัตของเทอร์โมพลาสติกวัลคาไนซ์จากการเบลนด์ระหว่าง NR/RR/PEC

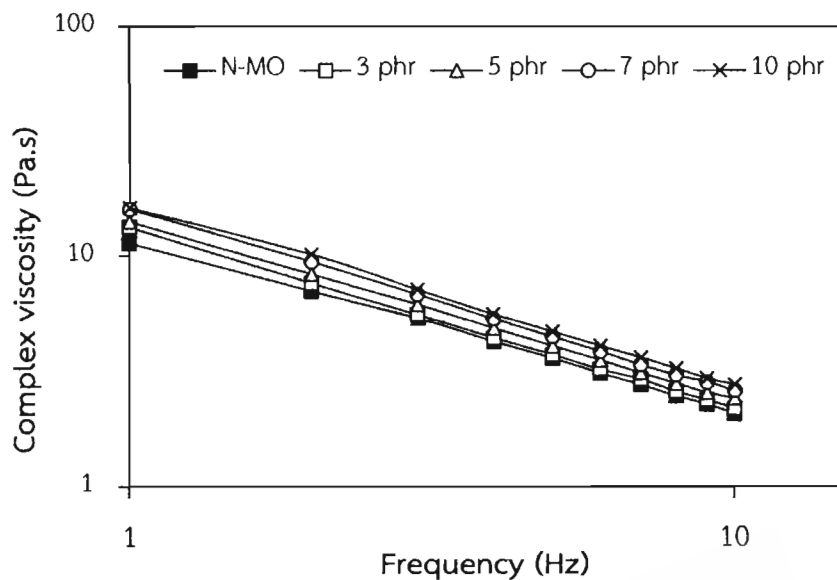
นำเทอร์โมพลาสติกวัลคาไนซ์จากการเบลนด์ระหว่าง NR/RR/PEC ที่เตรียมได้มาทดสอบสมบัติเชิงกลพลวัตด้วยเครื่อง MDPT ตามวิธีการทดลองในหัวข้อที่ 3.8.6 เปรียบเทียบสมบัติเชิงกลพลวัตของเทอร์โมพลาสติกวัลคาไนซ์เมื่อใช้ฟีนอลิกเรซินที่ปริมาณแตกต่างกัน ได้กราฟความสัมพันธ์ระหว่างมอดุลัสสะสม ความหนืดเชิงซ้อน และ  $\tan \delta$  กับความถี่ ดังแสดงในรูปที่ 4.47, 4.49 และ 4.50 ตามลำดับ



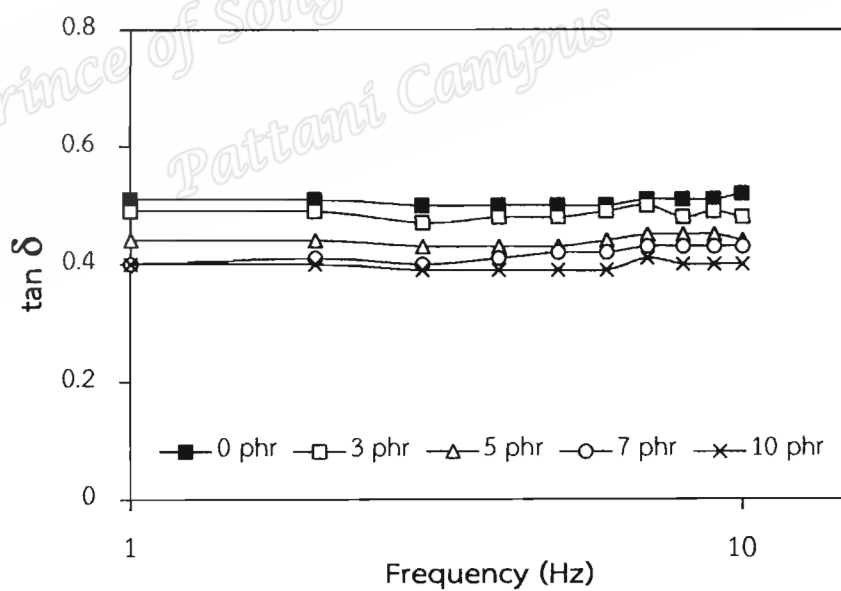
รูปที่ 4.47 ความสัมพันธ์ระหว่างมอดุลัสสะสมกับความถี่ของเทอร์โมพลาสติกวัลคาไนซ์จากการเบลนด์ NR/RR/PEC เมื่อแปรปริมาณฟีนอลิกเรซิน



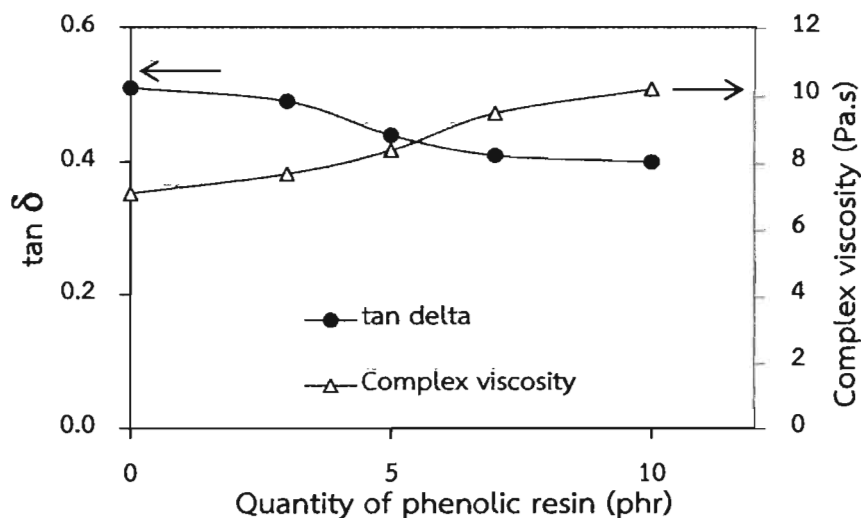
รูปที่ 4.48 มอดุลัสสะสมที่ความถี่ 2 Hz ของเทอร์โมพลาสติกวัลคาไนซ์จากการเบลนด์ NR/RR/PEC เมื่อแปรปริมาณฟีนอลิกเรซิน



รูปที่ 4.49 ความสัมพันธ์ระหว่างความหนืดเชิงซ้อนกับความถี่ของเทอร์โมพลาสติกวัลคาไนซ์จากการเบลนด์ NR/RR/PEC เมื่อแปรปริมาณฟีนอลิกเรซิน



รูปที่ 4.50 ความสัมพันธ์ระหว่าง  $\tan \delta$  กับความถี่ของเทอร์โมพลาสติกวัลคาไนซ์จากการเบลนด์ NR/RR/PEC เมื่อแปรปริมาณฟีนอลิกเรซิน



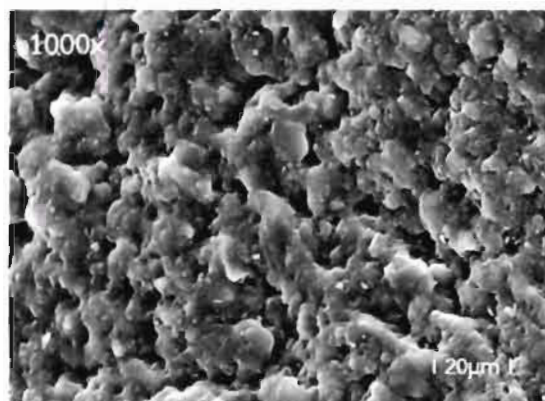
รูปที่ 4.51  $\tan \delta$  และ ค่าความหนืดเชิงซ้อน ที่ความถี่ 2 Hz ของเทอร์โมพลาสติกวัลคาไนซ์จากการเบลนด์ NR/RR/PEC เมื่อแปรปริมาณฟีนอลิกเรซิน

ผลการทดสอบสมบัติเชิงพลวัตด้วยเครื่อง MDPT ได้ผลดังรูปที่ 4.47-4.51 ซึ่งพบว่าการเพิ่มปริมาณสารดัดแปรฟีนอลิกเรซินในเทอร์โมพลาสติกวัลคาไนซ์ส่งผลให้เทอร์โมพลาสติกวัลคาไนซ์แสดงสมบัติเชิงพลวัต โดยมีความอดุลัสสะสม ค่าความหนืดเชิงซ้อน เพิ่มขึ้นอย่างต่อเนื่องตามปริมาณฟีนอลิกเรซิน ขณะที่ค่า  $\tan \delta$  มีแนวโน้มลดลง ผลการทดลองสอดคล้องกับการทดสอบสมบัติการไหลด้วยเครื่องคาร์ปิลลารี ในหัวข้อ 4.4.6 ซึ่งอธิบายได้ว่าเทอร์โมพลาสติกวัลคาไนซ์มีความแข็งตึงโมเลกุลเพิ่มมากขึ้นจากผลของการเกิดพันธะเชื่อมขวางด้วยฟีนอลิกเพิ่มเติมมาจากเดิมที่มีเพียงพันธะเชื่อมขวางจากกำมะถัน และการที่ฟีนอลิกเรซินเข้าไปดัดแปรที่ผิวประจัญระหว่างเฟสยางรีเคลมกับยางธรรมชาติ และระหว่างเฟสยางกับเฟสพลาสติก ส่งผลให้เกิดการยึดเหนี่ยวระหว่างผิวประจัญดีขึ้น ช่วยปรับปรุงความเข้ากันได้ของเฟสในเทอร์โมพลาสติกวัลคาไนซ์ ดังนั้นที่ความถี่ของการทดสอบให้เกิดการผิดรูปเท่ากัน เทอร์โมพลาสติกวัลคาไนซ์ที่มีการใช้ฟีนอลิกในสูตรจะต้านแรงบิดของโรเตอร์และไหลได้ยากขึ้น (Nakason *et al.*, 2006a และ Pichaiyut *et al.*, 2008) จึงปรากฏผลการทดสอบที่เทอร์โมพลาสติกวัลคาไนซ์มีความอดุลัสสะสม ค่าความหนืดเชิงซ้อน เพิ่มขึ้นอย่างต่อเนื่องตามปริมาณฟีนอลิกเรซิน และเช่นเดียวกันผลของการปรับปรุงเฟสยางและเฟสพลาสติกช่วยให้เทอร์โมพลาสติกวัลคาไนซ์แสดงสมบัติแบบอิลาสติกดีขึ้น ค่า  $\tan \delta$  มีแนวโน้มลดลง

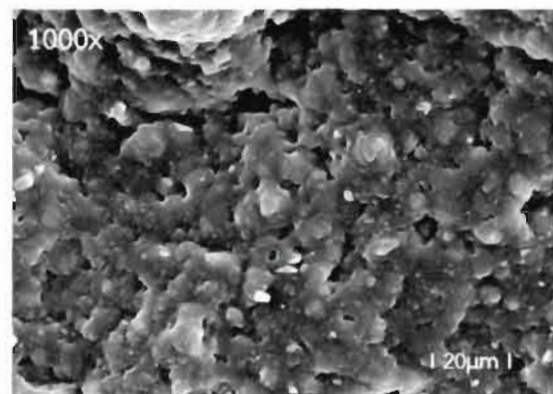
#### 4.4.6 การศึกษาอิทธิพลของปริมาณสารตัดแปรต่อสัณฐานวิทยาของเทอร์โมพลาสติก วัลคาไนซ์จากการเบลนดระหว่าง NR/RR/PEC

นำเทอร์โมพลาสติกวัลคาไนซ์จากการเบลนดระหว่าง NR/RR/PEC ที่แปรปริมาณสารตัดแปร มาศึกษาสัณฐานวิทยาตามวิธีการทดลองในหัวข้อที่ 3.8.7 ได้ผลการทดลองแสดงดังรูปที่ 4.52 ซึ่งจากรูปที่ 4.52 พบว่าลักษณะสัณฐานวิทยาของเทอร์โมพลาสติกวัลคาไนซ์ปรากฏอนุภาคของยางวัลคาไนซ์กระจายตัวอยู่ในเฟสของโพรพิลีนเอทิลีนโคพอลิเมอร์ และเมื่อเปรียบเทียบขนาดของอนุภาคยางวัลคาไนซ์พบว่าเทอร์โมพลาสติกวัลคาไนซ์ที่มีการใช้ฟินอลิกเรซินจะให้อนุภาคที่เล็กกว่า และมีความขรุขระของผิวหน้าน้อยกว่าเทอร์โมพลาสติกวัลคาไนซ์ที่ไม่ใช้ฟินอลิกเรซิน (ฟินอลิกเรซิน 0 phr) โดยขนาดอนุภาคและความขรุขระจะลดน้อยลงตามปริมาณฟินอลิกเรซินที่เพิ่มขึ้น ซึ่งสอดคล้องกับสมบัติเชิงกลและสมบัติเชิงกลพลวัตก่อนหน้านี้ เนื่องจากเมื่อเพิ่มปริมาณฟินอลิกเรซินจะทำให้แรงยึดเหนี่ยวระหว่างเฟสเพิ่มขึ้น และเฟสยางมีการวัลคาไนซ์สูงขึ้น จึงเกิดความต่างของความหนืดระหว่างเฟสยางกับเฟสพลาสติกมากยิ่งขึ้น ทำให้สัณฐานวิทยาเกิดการเชื่อมลดขนาดอนุภาคยางได้ดีและมีการกระจายได้ดีกว่าเดิม

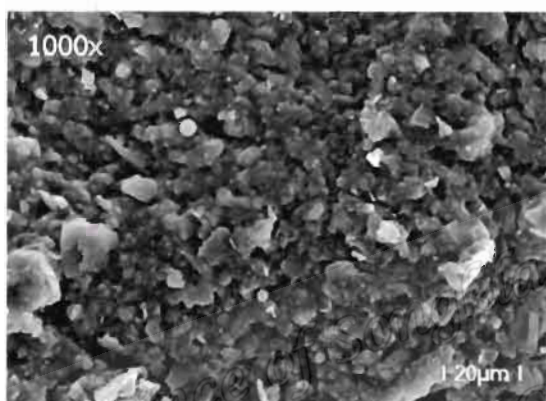
Prince of Songkla University  
Pattani Campus



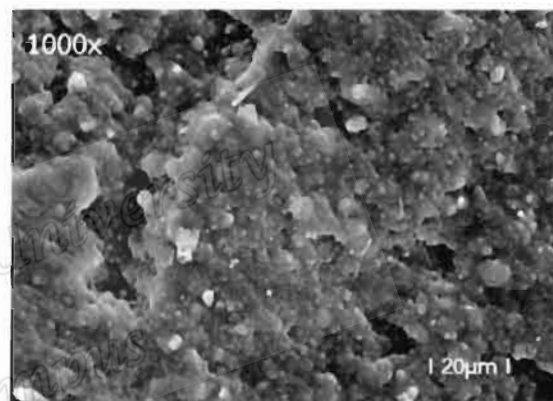
(a) 0 phr



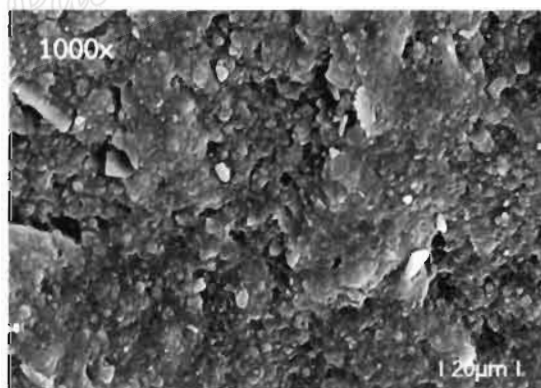
(b) 3 phr



(c) 5 phr



(d) 7 phr



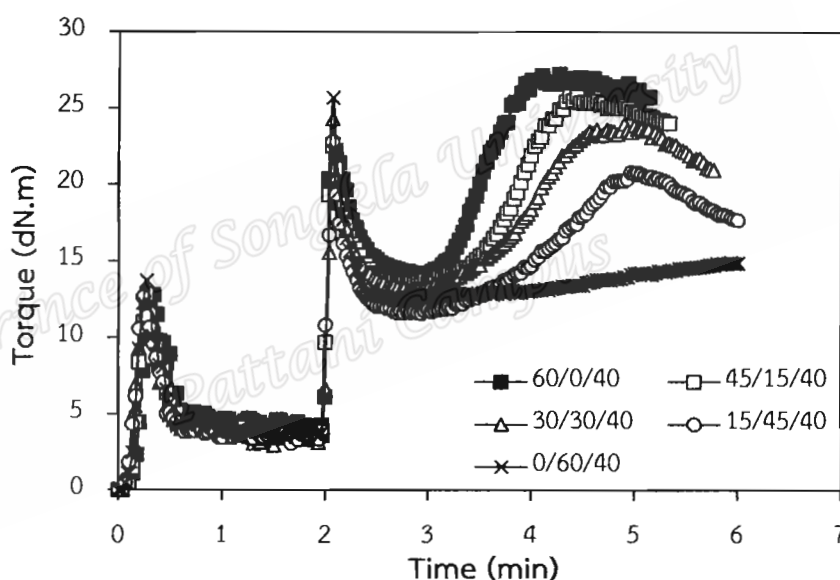
(e) 10 phr

รูปที่ 4.52 ลักษณะสัณฐานวิทยาของเทอร์โมพลาสติกวัลคาไนซ์จากการเบลนด์ NR/RR/PEC เมื่อแปรปริมาณฟีนอลิกเรซิน

#### 4.5 การศึกษาอิทธิพลของอัตราส่วนการเบลนดต่อสมบัติเทอร์โมพลาสติกวัลคาไนซ์จากการเบลนดระหว่างยางธรรมชาติ ยางรีเคลม และโพรพิลีนเอทิลีนโคพอลิเมอร์

เตรียมเทอร์โมพลาสติกวัลคาไนซ์จากการเบลนดระหว่างยางธรรมชาติ ยางรีเคลม และโพรพิลีนเอทิลีนโคพอลิเมอร์ด้วยวิธีการผสมแบบ Melt mixing method ตามหัวข้อที่ 3.3.3.1 และใช้ปริมาณสารตัดแปรรพินอลิเกรซินที่ 10 phr โดยแปรอัตราส่วนการเบลนดระหว่าง NR/RR/PEC เท่ากับ 60/0/40, 45/15/40, 30/30/40, 15/45/40 และ 0/60/40 ส่วนโดยน้ำหนักตามวิธีการทดลองในหัวข้อที่ 3.3.5

##### 4.5.1 การศึกษาอิทธิพลของอัตราส่วนการเบลนดต่อพฤติกรรมกรรมผสมในการเตรียมเทอร์โมพลาสติกวัลคาไนซ์จากการเบลนด NR/RR/PEC



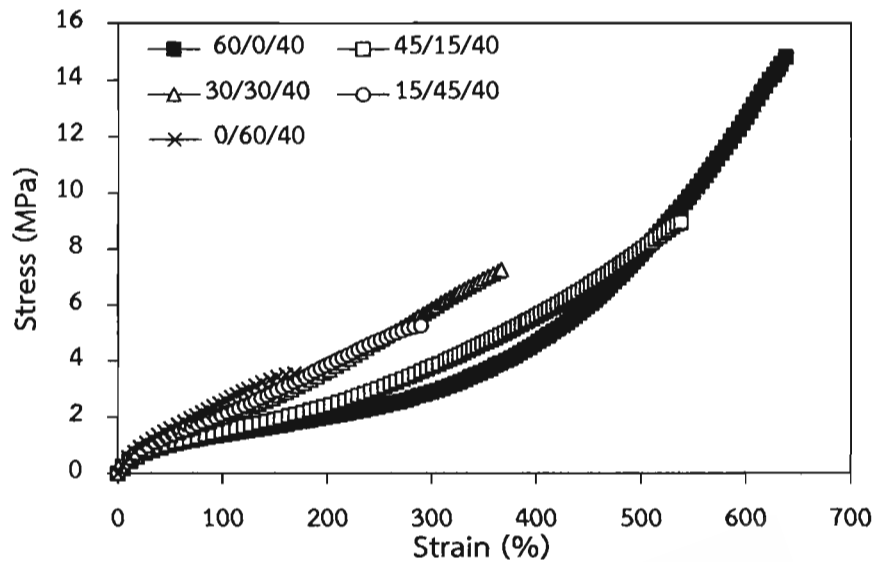
รูปที่ 4.53 ความสัมพันธ์ระหว่างค่าทอร์กกับเวลาการผสมของเทอร์โมพลาสติกวัลคาไนซ์เมื่อแปรอัตราส่วนระหว่าง NR/RR/PEC

จากรูปที่ 4.53 พบว่าทอร์กการผสมจะแตกต่างกันอย่างเห็นได้ชัดในช่วงที่เฟสยางเกิดการวัลคาไนซ์ที่เวลาประมาณนาทีที่ 3 โดยค่าทอร์กจะค่อยๆเพิ่มขึ้นเมื่อเฟสยางเกิดการวัลคาไนซ์จนถึงจุดสูงสุดจากนั้นค่าทอร์กจะค่อยๆลดลงเมื่อเฟสยางวัลคาไนซ์สมบูรณ์ ซึ่งพบว่าเวลาที่เฟสยางเริ่มเกิดการวัลคาไนซ์หรือช่วงที่ทอร์กการผสมเพิ่มขึ้นจะเกิดในช่วงเวลาใกล้เคียงกัน ในขณะที่ระยะเวลาของการเกิดการวัลคาไนซ์ของเฟสยางไม่เท่ากัน จะเห็นได้ว่าเมื่อปริมาณยางรีเคลมในสัดส่วนของเฟสยางเพิ่มขึ้นส่งผลต่อระยะเวลาของการวัลคาไนซ์มากขึ้นด้วย นอกจากนี้ความแตกต่าง

ของทอรัการผสมจากจุดเริ่มต้นจนถึงจุดสูงสุดของการเกิดวัลคาไนเซชันแบบไดนามิกซ์ลดลงตามปริมาณยางรีเคลมในสัดส่วนของเฟสยางที่เพิ่มขึ้น เนื่องจากเมื่อมีปริมาณยางรีเคลมในสัดส่วนเฟสยางเพิ่มมากขึ้นทำให้มีสัดส่วนของยางธรรมชาติในเฟสยางลดลง ส่งผลให้พันธะคู่ซึ่งอยู่ในทุกหน่วยซ้ำของไอโซพรีนลดลงตามสัดส่วนของยางธรรมชาติในเฟสยาง โดยพันธะคู่ในยางธรรมชาตินั้นเป็นตำแหน่งที่ว่องไวต่อการเกิดปฏิกิริยาวัลคาไนซ์ ดังนั้นการมีสัดส่วนของยางธรรมชาติในเฟสยางลดลงทำให้การเกิดปฏิกิริยาวัลคาไนซ์ลดลงด้วย ประกอบกับยางรีเคลมเป็นยางที่ผ่านกระบวนการรีเคลมเพื่อให้สามารถนำกลับมาวัลคาไนซ์ใหม่ได้อีกครั้ง แต่จากการวิเคราะห์หาส่วนที่ละลายได้ในยางรีเคลมมีเพียง 24.64% ในขณะที่มีส่วนที่ไม่ละลายถึง 75.36% แสดงให้เห็นว่าในยางรีเคลมมีปริมาณพันธะเชื่อมขวางทางเคมีและพันธะเชื่อมขวางทางกายภาพจากการเกิดอันตรกิริยาระหว่างยางกับสารตัวเติม (Bound rubber) เหลืออยู่เป็นจำนวนมาก ดังนั้นเทอร์โมพลาสติกวัลคาไนซ์ที่มีสัดส่วนของยางรีเคลมมากจึงมีแนวโน้มเกิดการวัลคาไนซ์ได้น้อยกว่าเทอร์โมพลาสติกวัลคาไนซ์ที่มีสัดส่วนของยางธรรมชาติอยู่สูง

#### 4.5.2 การศึกษาอิทธิพลของอัตราส่วนการเบลนด์ต่อสมบัติเชิงกลของเทอร์โมพลาสติกวัลคาไนซ์จากการเบลนด์ระหว่าง NR/RR/PEC

นำเทอร์โมพลาสติกวัลคาไนซ์ที่เตรียมจากการเบลนด์ NR/RR/PEC โดยแปรอัตราส่วนการเบลนด์เท่ากับ 60/0/40, 45/15/40, 30/30/40, 15/45/40 และ 0/60/40 ส่วนโดยน้ำหนัก มาศึกษาสมบัติเชิงกล ได้กราฟความสัมพันธ์ระหว่างความเค้นกับความเครียดของเทอร์โมพลาสติกวัลคาไนซ์ดังแสดงในรูปที่ 4.54



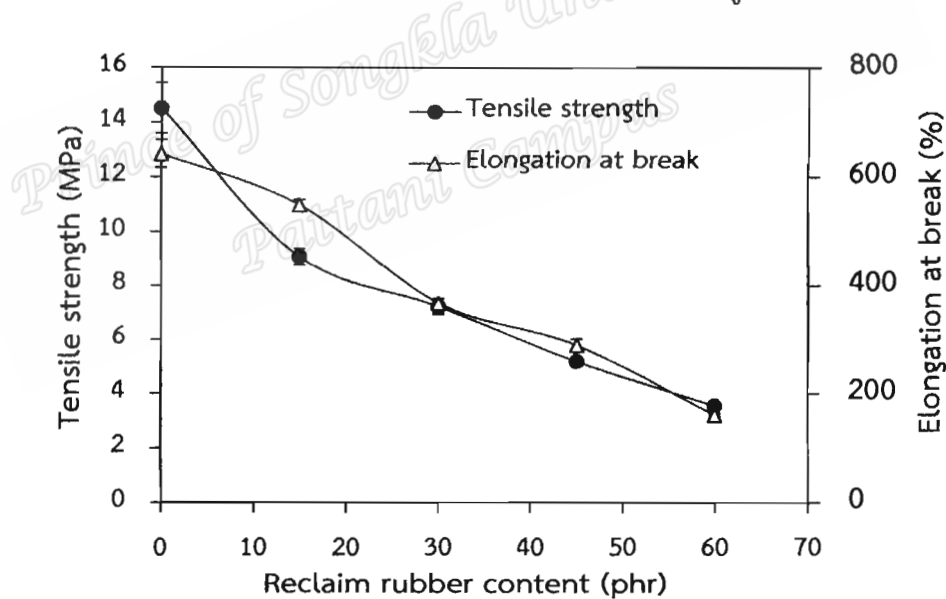
รูปที่ 4.54 ความสัมพันธ์ระหว่างความเค้นกับความเครียดของเทอร์โมพลาสติกวัลคาไนซ์จากการเบลนด์ NR/RR/PEC เมื่อแปรอัตราส่วนการเบลนด์

จากรูปที่ 4.54 พบว่าเทอร์โมพลาสติกวัลคาไนซ์ที่มีสัดส่วนของยางรีเคลมและยางธรรมชาติแตกต่างกันความแข็งตึงจะมีแนวโน้มเพิ่มขึ้นตามปริมาณยางรีเคลมในสัดส่วนของเฟสยางที่เพิ่มขึ้น ในทางกลับกันความเหนียวทนของเทอร์โมพลาสติกวัลคาไนซ์ลดลง เนื่องจากเมื่อมีปริมาณยางรีเคลมในสัดส่วนของเฟสยางเพิ่มขึ้นทำให้มีปริมาณพันธะเชื่อมขวางจากยางรีเคลมหรือส่วนที่ไม่ละลาย (Gel fraction) เพิ่มมากขึ้น สายโซ่โมเลกุลของยางเคลื่อนไหวได้ยากขึ้น (De *et al.*, 2007 และ De *et al.*, 2013) ส่งผลให้เทอร์โมพลาสติกวัลคาไนซ์มีมอดูลัสเพิ่มสูงขึ้นและในขณะเดียวกันระยะยืดมีแนวโน้มลดลง ทั้งนี้แสดงให้เห็นว่าการเพิ่มสัดส่วนยางรีเคลมในเฟสยางมากขึ้นส่งผลให้เทอร์โมพลาสติกวัลคาไนซ์มีแนวโน้มสมบัติเชิงกลต้อยลงและจากจุดขาดของกราฟความสัมพันธ์ระหว่างความเค้นและความเครียดสามารถนำมาคำนวณหาค่าความต้านทานต่อแรงดึงและความสามารถในการยืดจนขาดของเทอร์โมพลาสติกวัลคาไนซ์ แสดงผลดังตารางที่ 4.12 นอกจากนี้ยังแสดงค่าความสามารถในการคืนรูป และความแข็งด้วย

ตารางที่ 4.12 สมบัติเชิงกลของเทอร์โมพลาสติกวัลคาไนซ์จากการเบลนด์ NR/RR/PEC เมื่อแปรอัตราส่วนการเบลนด์

| Blend ratio<br>(NR/RR/PEC) | Tensile strength<br>(MPa) | Elongation at break<br>(%) | Tension set<br>(%) | Hardness<br>(Shore A) |
|----------------------------|---------------------------|----------------------------|--------------------|-----------------------|
| 60/0/40                    | 14.52±0.92                | 643±10.91                  | 4.78±0.89          | 51                    |
| 45/15/40                   | 9.07±0.31                 | 549±37.63                  | 5.65±0.18          | 54                    |
| 30/30/40                   | 7.23±0.29                 | 368±13.74                  | 5.52±0.35          | 57                    |
| 15/45/40                   | 5.20±0.07                 | 290±2.62                   | 6.65±0.31          | 59                    |
| 0/60/40                    | 3.56±0.03                 | 161±1.89                   | 8.83±0.83          | 62                    |

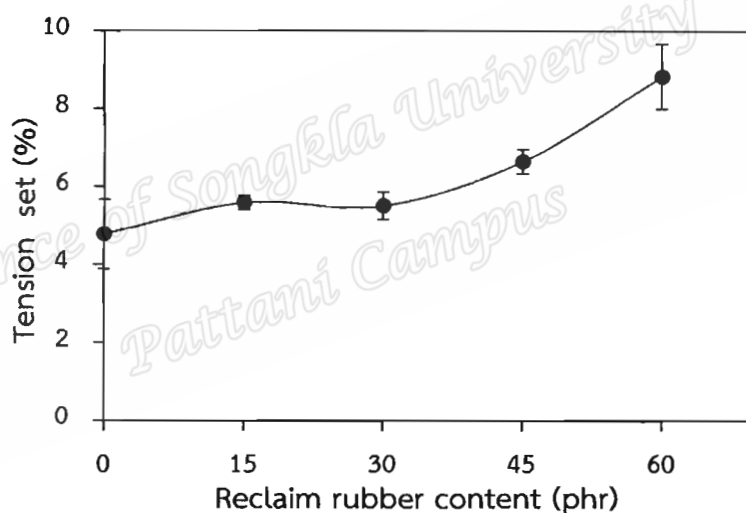
จากตารางที่ 4.12 สามารถแสดงกราฟความสัมพันธ์ระหว่างความต้านทานต่อแรงดึง ความสามารถในการยืดจนขาด ความสามารถในการคืนรูป และความแข็งของเทอร์โมพลาสติกวัลคาไนซ์จากการเบลนด์ NR/RR/PEC เมื่อแปรอัตราส่วนการเบลนด์ดังรูปที่ 4.55-4.57 ตามลำดับ



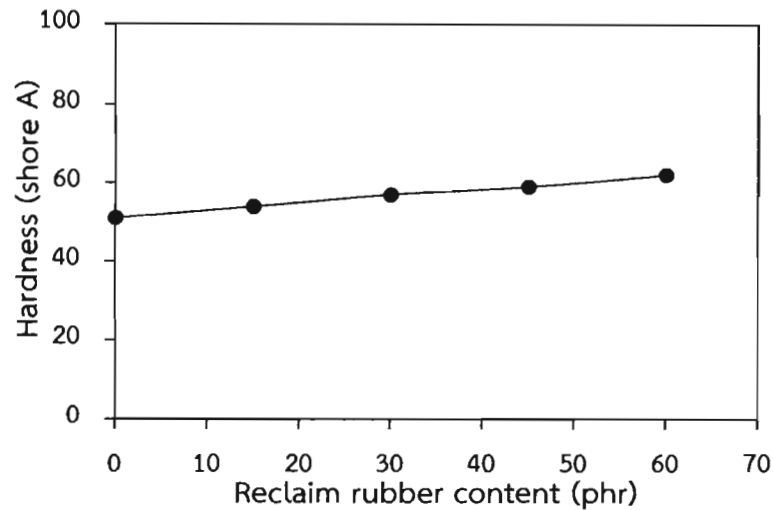
รูปที่ 4.55 ความต้านทานต่อแรงดึงและความสามารถในการยืดจนขาดของเทอร์โมพลาสติกวัลคาไนซ์จากการเบลนด์ NR/RR/PEC เมื่อแปรอัตราส่วนการเบลนด์

จากที่รูปที่ 4.55 พบว่าความต้านทานต่อแรงดึงและความสามารถในการยืดจนขาดมีแนวโน้มลดลงตามปริมาณยางรีเคลมในสัดส่วนของเฟสยางที่เพิ่มขึ้น โดยเทอร์โมพลาสติกวัลคาไนซ์ที่อัตราส่วน 60/0/40 มีค่าความต้านทานต่อแรงดึงและความสามารถในการยืดจนขาดสูงที่สุด รองลงมาคืออัตราส่วนที่ 45/15/40, 30/30/40, 15/45/40 และ 0/60/40 ตามลำดับ เนื่องจาก

เทอร์โมพลาสติกวัลคาไนซ์ที่มีปริมาณยางธรรมชาติในสัดส่วนของเฟสยางมากให้ความต้านทานต่อแรงดึง และความสามารถในการยืดจนขาดที่ดี เพราะยางธรรมชาติมีน้ำหนักโมเลกุลสูง สามารถเกิดการตกลึกได้เมื่อยืด และมีความสามารถในการส่งผ่านแรงเค้นได้ดี ประกอบกับมีความต่อเนื่องของเฟสยางที่ดีในทางกลับกันยางรีเคลมมีน้ำหนักโมเลกุลต่ำจากผลของกระบวนการเตรียมยางรีเคลม ที่ใช้แรงเฉือนและความร้อนสูงเพื่อทำให้เกิดการแตกออกของพันธะการเชื่อมขวาง ส่งผลให้ยางรีเคลมมีสายโซ่โมเลกุลสั้น (Hassan *et al.*, 2010) นอกจากนี้การมีปริมาณยางรีเคลมในสัดส่วนของเฟสยางมากขึ้นส่งผลต่อความเป็นเนื้อเดียวกันในระหว่างเฟสยางรีเคลมและยางธรรมชาติลดน้อยลง ส่งผลให้เกิดจุดอ่อนแอขึ้นทำให้การส่งผ่านแรงเค้นเกิดได้ไม่ดี (De *et al.*, 2007 และ Sombatsompop and Kumnuantip, 2003) มีผลทำให้ความต้านทานต่อแรงดึงและความสามารถในการยืดจนขาดของเทอร์โมพลาสติกวัลคาไนซ์ลดลง



รูปที่ 4.56 การผิดรูปถาวรแบบดึงของเทอร์โมพลาสติกวัลคาไนซ์จากการเบลนด์ NR/RR/PEC เมื่อแปรอัตราส่วนการเบลนด์

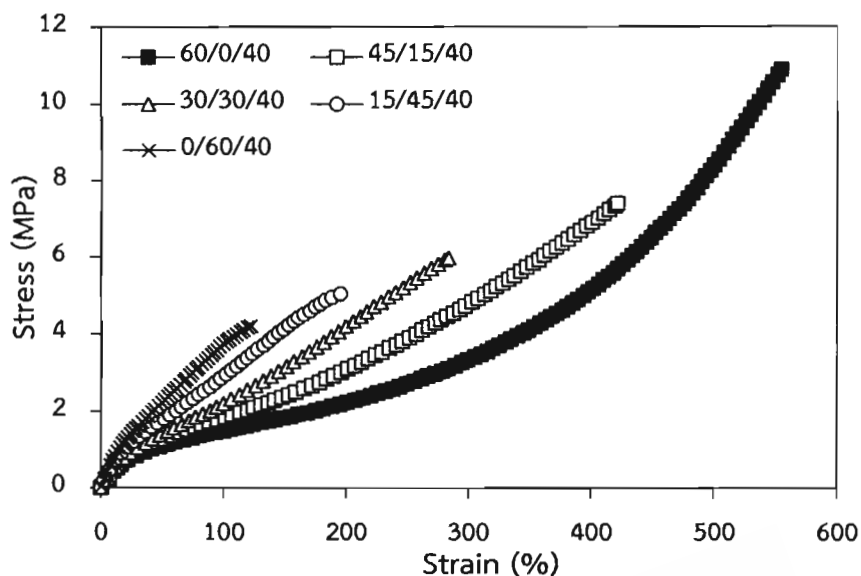


รูปที่ 4.57 ความแข็งของเทอร์โมพลาสติกวัลคาไนซ์จากการเบลนด์ NR/RR/PEC เมื่อแปรอัตราส่วนการเบลนด์

จากรูปที่ 4.56 และ 4.57 พบว่าเทอร์โมพลาสติกวัลคาไนซ์มีความสามารถในการคืนรูปลดลง (Tension set เพิ่มขึ้น) และมีความแข็งเพิ่มขึ้นอย่างต่อเนื่องตามปริมาณยางรีเคลมในสัดส่วนของเฟสยางที่เพิ่มขึ้น เนื่องจากเมื่อมีปริมาณยางรีเคลมเพิ่มขึ้นทำให้สัดส่วนของยางธรรมชาติในเฟสยางลดลง ส่งผลให้การวัลคาไนซ์ของเฟสยางเกิดได้น้อยลง ทำให้มีปริมาณพันธะเชื่อมขวางลดลงตามสัดส่วนของยางรีเคลมในเฟสยางที่เพิ่มขึ้น ซึ่งการมีปริมาณปริมาณพันธะเชื่อมขวางน้อยจะทำให้ยางไหลได้ง่าย อีกทั้งยางรีเคลมมีน้ำหนักโมเลกุลต่ำ มีสารตัวเติม จึงส่งผลต่อการกลับคืนรูปของเทอร์โมพลาสติกวัลคาไนซ์ได้น้อยลง ส่วนความแข็งมีค่าเพิ่มขึ้น

#### 4.5.3 การศึกษาอิทธิพลของอัตราส่วนการเบลนด์ต่อสมบัติเชิงกลภายหลังบ่มแรงของเทอร์โมพลาสติกวัลคาไนซ์จากการเบลนด์ระหว่าง NR/RR/PEC

นำเทอร์โมพลาสติกวัลคาไนซ์ที่เตรียมจากการเบลนด์ NR/RR/PEC โดยแปรอัตราส่วนการเบลนด์ที่ 60/0/40, 45/15/40, 30/30/40, 15/45/40 และ 0/60/40 ส่วนโดยน้ำหนักมาทดสอบความต้านทานต่อการบ่มแรงที่อุณหภูมิ 100°C เป็นเวลา 22 ชั่วโมง เมื่อครบเวลานำตัวอย่างออกพักทิ้งไว้ที่อุณหภูมิห้องอย่างน้อย 16 ชั่วโมงก่อนนำไปทดสอบสมบัติเชิงกลได้ความสัมพันธ์ระหว่างความเค้นกับความเครียดของเทอร์โมพลาสติกวัลคาไนซ์ดังแสดงในรูปที่ 4.58



รูปที่ 4.58 ความสัมพันธ์ระหว่างความเค้นกับความเครียดภายหลังบ่มแรงของเทอร์โมพลาสติกวัลคาไนซ์จากการเบลนด์ NR/RR/PEC เมื่อแปรอัตราส่วนการเบลนด์

จากรูปที่ 4.58 แสดงพฤติกรรมการผิดรูปภายใต้แรงเค้นภายหลังบ่มแรงด้วยความร้อนของเทอร์โมพลาสติกวัลคาไนซ์เมื่อแปรอัตราส่วนการเบลนด์พบว่าพฤติกรรมการผิดรูปภายใต้แรงเค้นของเทอร์โมพลาสติกวัลคาไนซ์ก่อนและหลังบ่มแรงไม่แตกต่างกัน กล่าวคือความแข็งดึงของเทอร์โมพลาสติกวัลคาไนซ์จะเพิ่มขึ้นตามปริมาณของยางรีคลอมในเฟสยางที่เพิ่มขึ้น ในขณะที่ความเหนียวทนมีค่าลดลงซึ่งเกิดจากการเพิ่มสัดส่วนของยางรีคลอมในองค์ประกอบเบลนด์เป็นการเพิ่มปริมาณส่วนที่ไม่ละลายเพิ่มขึ้น ดังที่กล่าวไปข้างต้น และจากจุดขาดของกราฟความสัมพันธ์ระหว่างความเค้นและความเครียด สามารถนำมาคำนวณหาค่าความต้านทานต่อแรงดึง และความสามารถในการยืดจนขาดของเทอร์โมพลาสติกวัลคาไนซ์แสดงผลดังตารางที่ 4.13 และ 4.14 รวมถึงเปอร์เซ็นต์การเปลี่ยนแปลงของสมบัติแสดงในตารางนี้ด้วย

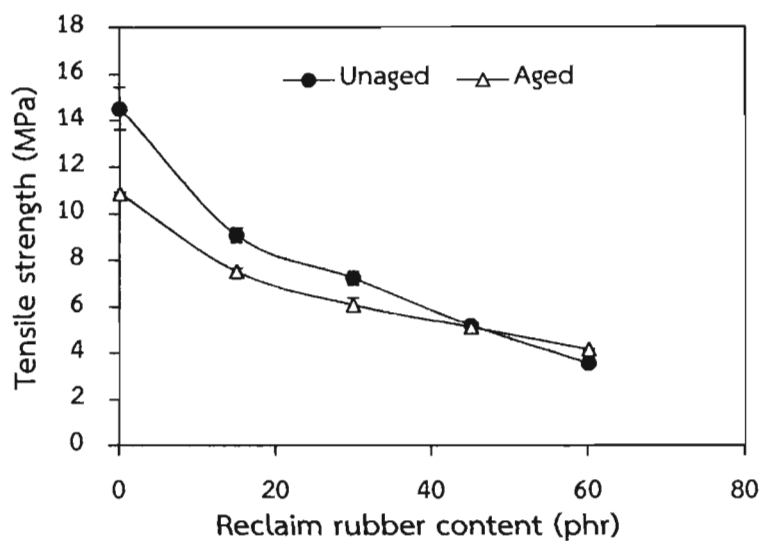
ตารางที่ 4.13 ความต้านทานต่อแรงดึงภายหลังบ่มแรงของเทอร์โมพลาสติกวัลคาไนซ์จากการเบลนด์ NR/RR/PEC เมื่อแปรอัตราส่วนการเบลนด์

| Blend ratio<br>(NR/RR/PEC) | Tensile strength<br>(MPa) |            | Change in property of<br>tensile strength<br>(%) |
|----------------------------|---------------------------|------------|--|
|                            | Unaged                    | Aged       |  |
| 60/0/40                    | 14.52±0.92                | 10.87±0.06 | -23.13   |
| 45/15/40                   | 9.07±0.31                 | 7.52±0.14  | -17.09   |
| 30/30/40                   | 7.23±0.29                 | 6.09±0.30  | -15.77   |
| 15/45/40                   | 5.20±0.07                 | 5.12±0.06  | -1.54  |
| 0/60/40                    | 3.56±0.03                 | 4.16±0.03  | 16.85  |

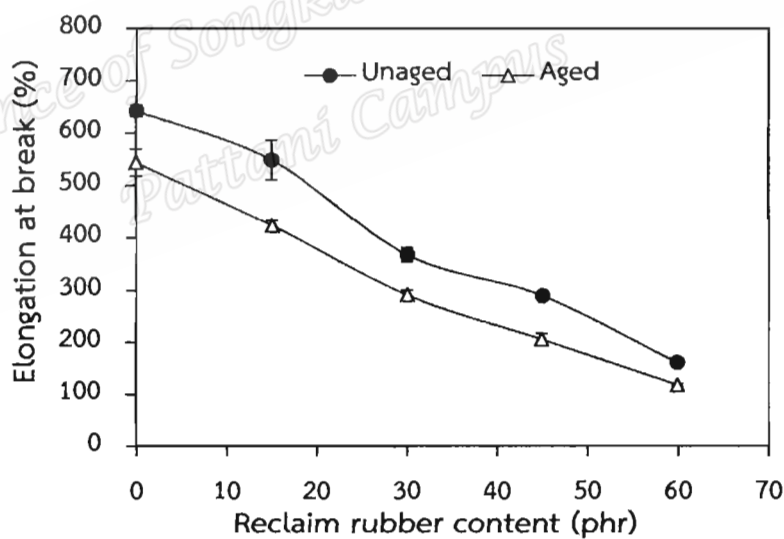
ตารางที่ 4.14 ความสามารถในการยืดจนขาดภายหลังบ่มแรงของเทอร์โมพลาสติกวัลคาไนซ์จากการเบลนด์ NR/RR/PEC เมื่อแปรอัตราส่วนการเบลนด์

| Blend ratio<br>(NR/RR/PEC) | Elongation at break<br>(%) |           | Change in property of<br>elongation at break<br>(%) |
|----------------------------|----------------------------|-----------|---|
|                            | Unaged                     | Aged      |   |
| 60/0/40                    | 643±10.91                  | 544±25.85 | -15.66  |
| 45/15/40                   | 549±37.63                  | 424±9.61  | -22.77  |
| 30/30/40                   | 368±13.74                  | 292±8.59  | -20.65  |
| 15/45/40                   | 290±2.62                   | 206±11.47 | -28.97  |
| 0/60/40                    | 161±1.89                   | 118±2.75  | -26.71  |

จากตารางที่ 4.13 และ 4.14 สามารถเขียนกราฟความสัมพันธ์ระหว่างความต้านทานต่อแรงดึงและความสามารถในการยืดจนขาดก่อนและหลังบ่มแรงของเทอร์โมพลาสติกวัลคาไนซ์เมื่อแปรอัตราส่วนการเบลนด์ดังแสดงในรูปที่ 4.59 และ 4.60 รวมถึงแสดงกราฟเปอร์เซ็นต์การเปลี่ยนแปลงของสมบัติภายหลังบ่มแรงในรูปที่ 4.61



รูปที่ 4.59 ความต้านทานต่อแรงดึงก่อนและหลังบ่มแรงของเทอร์โมพลาสติกวัลคาไนซ์จากการเบลนด์ NR/RR/PEC เมื่อแปรอัตราส่วนการเบลนด์

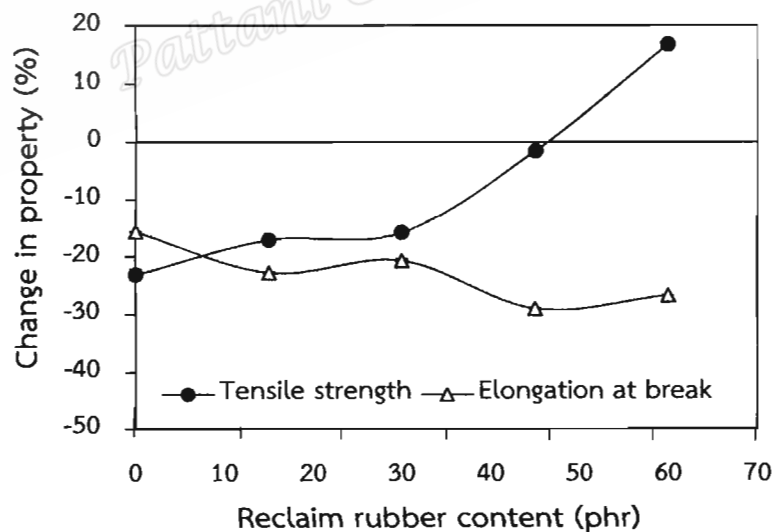


รูปที่ 4.60 ความสามารถในการยืดจนขาดก่อนและหลังบ่มแรงของเทอร์โมพลาสติกวัลคาไนซ์จากการเบลนด์ NR/RR/PEC เมื่อแปรอัตราส่วนการเบลนด์

จากรูปที่ 4.59 และ 4.60 พบว่าความต้านทานต่อแรงดึงและความสามารถในการยืดจนขาดภายหลังการบ่มแรงของเทอร์โมพลาสติกวัลคาไนซ์ให้สมบัติต่ำกว่าก่อนบ่มแรง และสมบัติดังกล่าวมีแนวโน้มลดลงตามปริมาณของยางรีไซเคิลในสัดส่วนของเฟสยางที่เพิ่มมากขึ้นเช่นเดียวกันกับ

พฤติกรรมก่อนการบ่มเร่ง ยกเว้นที่อัตราส่วนการเบลนด์ 0/60/40 พบว่าเทอร์โมพลาสติกวัลคาไนซ์มีความต้านทานต่อแรงดึงสูงกว่าก่อนบ่มเร่ง เนื่องจากยางรีเคลมยังมีส่วนที่สามารถเกิดพันธะเชื่อมขวางได้อยู่ (Active crosslinking sites) เมื่อได้รับความร้อนจากการบ่มเร่งทำให้สามารถเกิดพันธะเชื่อมขวางได้บางส่วน (De *et al.*, 2007 และ Mandal *et al.*, 2014)

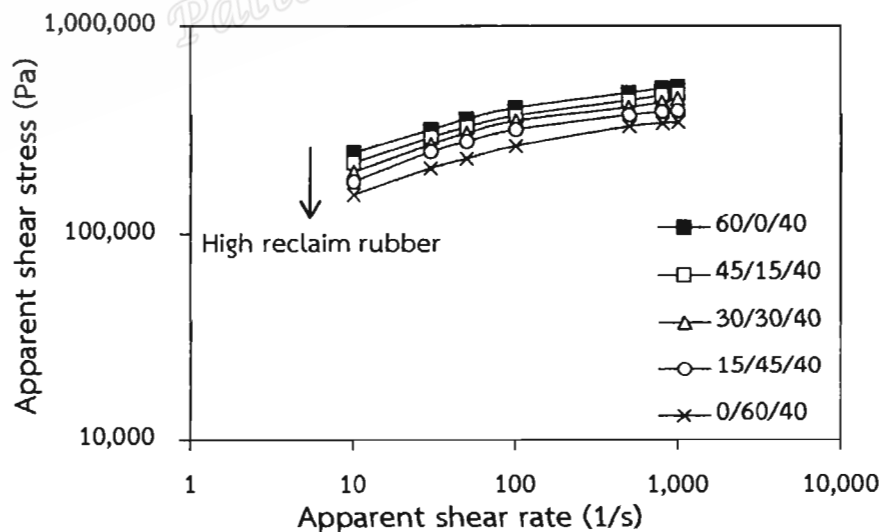
รูปที่ 4.61 แสดงข้อมูลเปอร์เซ็นต์การเปลี่ยนแปลงสมบัติความต้านทานต่อแรงดึงและความสามารถในการยืดจนขาดของเทอร์โมพลาสติกวัลคาไนซ์ พบว่าเปอร์เซ็นต์การเปลี่ยนแปลงสมบัติความต้านทานต่อแรงดึงมีแนวโน้มลดลง (การคงอยู่ของสมบัติภายหลังบ่มเร่งดีขึ้น) ตามปริมาณยางรีเคลมในสัดส่วนของเฟสยางที่เพิ่มขึ้น และลักษณะการเปลี่ยนแปลงสมบัติให้ค่าไปทางบวก ทั้งนี้เกิดจากยางรีเคลมมีความสามารถทนต่อการถูกออกซิไดซ์ได้ดีกว่ายางธรรมชาติ กล่าวคือในกระบวนการทำยางรีเคลมต้องผ่านกระบวนการที่มีความร้อนสูงจึงสามารถเกิดการออกซิเดชันในระหว่างกระบวนการรีเคลมได้ตลอดเวลา ทำให้ยางรีเคลมเกิดการออกซิเดชันจนมากเกินไป ส่งผลให้ยางรีเคลมมีความต้านทานต่อการบ่มเร่งที่ดี กอปรกับเมื่อมีปริมาณยางธรรมชาติเพิ่มขึ้น พันธะคู่ว่องไวทำให้ยางธรรมชาติทำปฏิกิริยาได้ง่ายด้วยออกซิเจนส่งผลให้ยางธรรมชาติเกิดการเสื่อมได้มาก (พรพรรณ, 2540) ขณะที่เปอร์เซ็นต์การเปลี่ยนแปลงของค่าความสามารถในการยืดจนขาดจะมีแนวโน้มเพิ่มขึ้นในทางลบเล็กน้อยเมื่อปริมาณยางรีเคลมในสัดส่วนของเฟสยางมากขึ้น



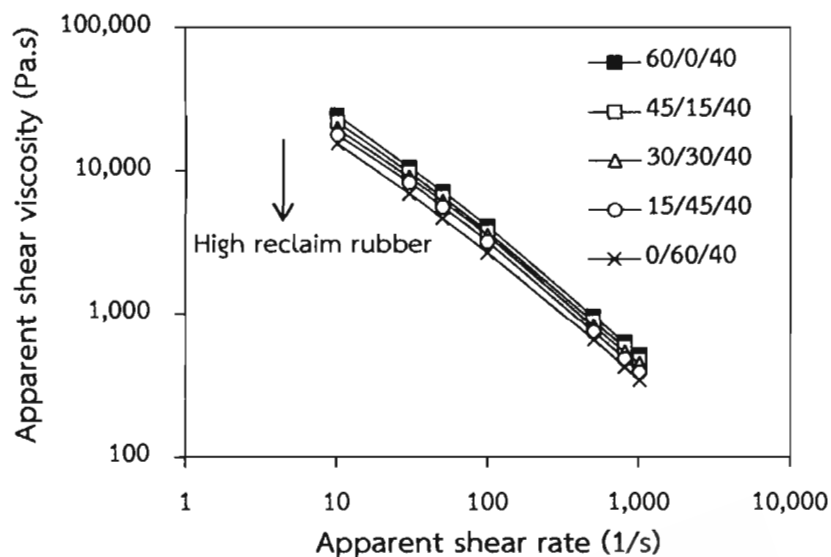
รูปที่ 4.61 เปอร์เซ็นต์การเปลี่ยนแปลงของสมบัติความต้านทานต่อแรงดึงและความสามารถในการยืดจนขาดหลังบ่มเร่งของเทอร์โมพลาสติกวัลคาไนซ์จากการเบลนด์NR/RR/PEC เมื่อแปรอัตราส่วนการเบลนด์

#### 4.5.4 การศึกษาอิทธิพลของอัตราส่วนการเบลนด์ต่อสมบัติการไหลของเทอร์โมพลาสติกวัลคาไนซ์จากการเบลนด์ระหว่าง NR/RR/PEC

นำเทอร์โมพลาสติกวัลคาไนซ์ที่เตรียมได้มาทดสอบสมบัติการไหลตามวิธีการทดลองในหัวข้อที่ 3.8.5 เปรียบเทียบสมบัติการไหลของเทอร์โมพลาสติกวัลคาไนซ์เมื่อแปรอัตราส่วนการเบลนด์ ได้ผลการทดลองค่าความสัมพันธ์ระหว่างความเค้นเฉือนปรากฏ และอัตราเฉือนปรากฏ รวมถึงความหนืดเฉือนปรากฏและอัตราเฉือนปรากฏดังในรูปที่ 4.62 และ 4.63 พบว่าที่อัตราเฉือนปรากฏเดียวกัน ความเค้นเฉือนปรากฏ และความหนืดเฉือนปรากฏมีค่าลดลงตามปริมาณยางรีเคลมในสัดส่วนของเฟสยางที่เพิ่มขึ้น กล่าวคือที่อัตราส่วน 60/0/40 ให้ความเค้นเฉือนปรากฏและความหนืดเฉือนปรากฏสูงที่สุด รองลงมาคือ 45/15/40, 30/30/40, 15/45/40 และ 0/60/40 ตามลำดับ แสดงให้เห็นว่าการเพิ่มปริมาณของยางรีเคลมทำให้สัดส่วนของยางธรรมชาติในองค์ประกอบเบลนด์ลดลง ส่งผลให้เทอร์โมพลาสติกวัลคาไนซ์เกิดการหลอมและไหลได้ง่ายขึ้น ทั้งนี้เนื่องจากยางรีเคลมเป็นยางที่เคยผ่านการวัลคาไนซ์มาแล้วและนำมาตัดพันธะเชื่อมขวางแบบสุ่มจึงมีน้ำหนักโมเลกุลต่ำ ในขณะที่ยางธรรมชาตินั้นมีน้ำหนักโมเลกุลสูง และมีการเกี่ยวพันกันของสายโซ่โมเลกุลมากกว่ายางรีเคลม รวมถึงการที่ยางธรรมชาติสามารถเกิดพันธะเชื่อมขวางได้มากกว่ายางรีเคลม จึงส่งผลให้เทอร์โมพลาสติกวัลคาไนซ์ที่มีสัดส่วนของยางธรรมชาติในองค์ประกอบเบลนด์มากต้องใช้แรงเฉือนสูงมากกว่า จึงจะเกิดการไหลได้ที่อัตราเฉือนเดียวกัน



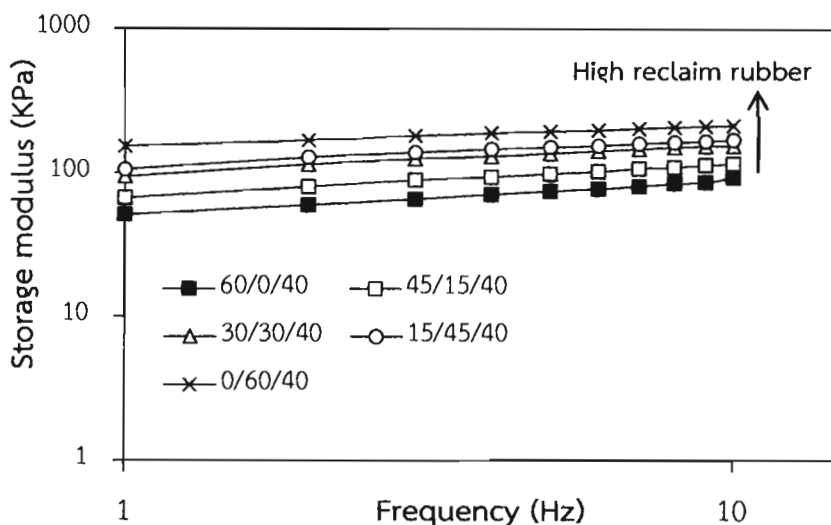
รูปที่ 4.62 ความสัมพันธ์ระหว่างความเค้นเฉือนปรากฏกับอัตราเฉือนปรากฏของเทอร์โมพลาสติกวัลคาไนซ์จากการเบลนด์ NR/RR/PEC เมื่อแปรอัตราส่วนการเบลนด์



รูปที่ 4.63 ความสัมพันธ์ระหว่างความหนืดเฉือนปรากฏกับอัตราเฉือนปรากฏของเทอร์โมพลาสติกวัลคาไนซ์จากการเบลนด์ NR/RR/PEC เมื่อแปรอัตราส่วนการเบลนด์

#### 4.5.5 การศึกษาอิทธิพลของอัตราส่วนการเบลนด์ต่อสมบัติเชิงกลพลวัตของเทอร์โมพลาสติกวัลคาไนซ์จากการเบลนด์ระหว่าง NR/RR/PEC

นำเทอร์โมพลาสติกวัลคาไนซ์จากการเบลนด์ระหว่าง NR/RR/PEC โดยแปรอัตราส่วนการเบลนด์ นำมาทดสอบสมบัติเชิงกลพลวัตด้วยเครื่อง MDPT ตามวิธีการทดลองในหัวข้อที่ 3.8.6 แสดงกราฟความสัมพันธ์ระหว่างมอดุลัสสะสม ความหนืดเชิงซ้อน มอดุลัสสูญเสีย และ  $\tan \delta$  กับความถี่ ดังแสดงในรูปที่ 4.64, 4.65, 4.67 และ 4.68 ตามลำดับ

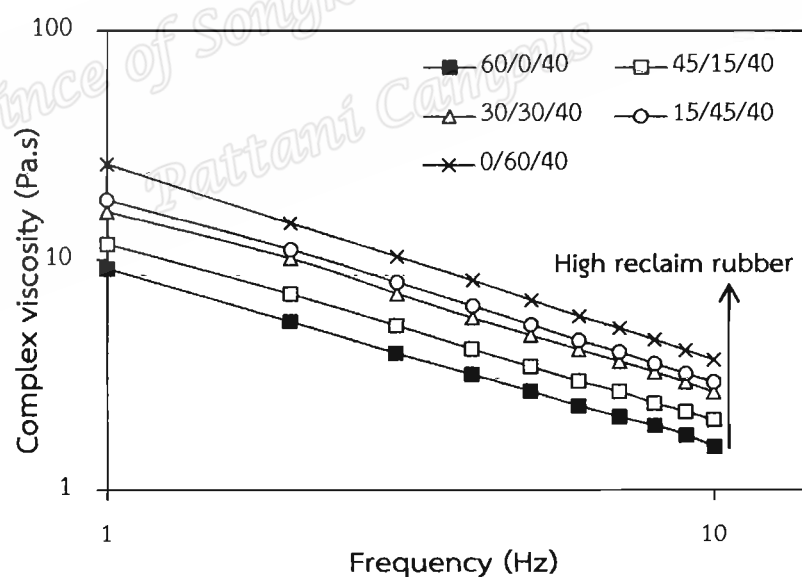


รูปที่ 4.64 ความสัมพันธ์ระหว่างมอดุลัสสะสมกับความถี่ของเทอร์โมพลาสติกวัลคาไนซ์จากการเบลนด์ NR/RR/PEC เมื่อแปรอัตราส่วนการเบลนด์

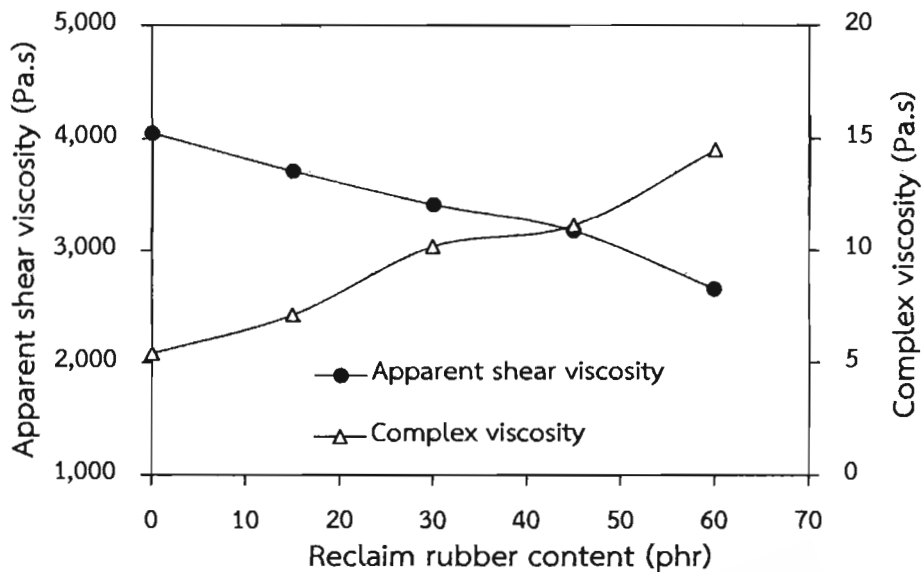
จากรูปที่ 4.64 พบว่ามอดุลัสสะสมมีค่าเพิ่มขึ้นตามปริมาณยางรีเคลมในสัดส่วนของเฟสยางที่เพิ่มขึ้น เป็นที่น่าสนใจว่าผลการทดลองนี้สวนทางกับการทดสอบสมบัติการไหลในรูปที่ 4.61 ที่พบว่าค่าความเค้นเฉือนปรากฏมีค่าลดลงเมื่อเทอร์โมพลาสติกวัลคาไนซ์มีสัดส่วนของยางรีเคลมมากขึ้น ซึ่งการพบผลการทดลองที่แตกต่างกันนี้เกิดขึ้นในเทอร์โมพลาสติกวัลคาไนซ์ที่มีอัตราส่วนการเบลนด์แตกต่างกัน (หัวข้อวิจัยก่อนหน้านี้ กำหนดอัตราส่วนการเบลนด์คงที่) อาจเป็นผลมาจากรูปแบบการทดสอบของทั้ง 2 เทคนิคที่แตกต่างกัน โดยการทดสอบด้วยเครื่องคาร์ปิลลารีโอมิเตอร์ทำให้โมเลกุลของวัสดุเกิดการเลื่อนไถลระหว่างโมเลกุลสูง เทอร์โมพลาสติกวัลคาไนซ์จึงแสดงสมบัติที่เป็นผลมาจากน้ำหนักโมเลกุลของแต่ละองค์ประกอบที่แตกต่างกัน เทอร์โมพลาสติกวัลคาไนซ์ที่มีสัดส่วนยางรีเคลมในองค์ประกอบที่เป็นอย่างมาก น้ำหนักโมเลกุลของยางรีเคลมต่ำทำให้การเลื่อนไถลของสายโซ่โมเลกุลเกิดได้ง่ายขึ้น สอดคล้องกับงานวิจัยที่มีการใช้ยางรีเคลมเป็นสารช่วยในการปรับปรุงการแปรรูปของยาง (Shi *et al.*, 2014) จึงพบว่าความเค้นเฉือนปรากฏ และความหนืดเฉือนปรากฏมีค่าลดลงตามปริมาณยางรีเคลมที่มากขึ้นในสัดส่วนของเฟสยาง ในทางกลับกันการทดสอบด้วยเครื่อง MDPT ใช้อัตราเฉือนต่ำ (ความถี่ต่ำ ในการทดลองอยู่ระหว่าง 1-10 Hz) ซึ่งเป็นความถี่ที่วัสดุเกิดการผิดรูปน้อย การผิดรูปส่วนใหญ่ยังเป็นการผิดรูปแบบอิลาสติกจึงเป็นไปได้ว่าการตอบสนองของเทอร์โมพลาสติกวัลคาไนซ์เมื่อได้รับความเค้น (แรงบิด) ยังไม่ปรากฏชัดเจนจากผลการเลื่อนไถลของโมเลกุล แต่เป็นผลมาจากการตอบสนองของสารตัวเติมที่มีอยู่ในยางรีเคลมแทน โดยเทอร์โมพลาสติกวัลคาไนซ์ที่มีการใช้ยางรีเคลมในสัดส่วนการเบลนด์ขององค์ประกอบอย่างมาก จะมีสารตัวเติมเขม่าดำมากด้วย ที่การทดสอบแบบใช้การผิดรูปต่ำๆ สารตัวเติมเขม่าดำจะแสดงผลการ

เสริมแรงต่อการเคลื่อนที่ของโมเลกุลแทน (Sombatsonpop and Kumnuantip, 2003) ส่งผลให้พบว่าค่ามอดุลัสสะสมของเทอร์โมพลาสติกวัลคาไนซ์ มีค่าเพิ่มขึ้นตามปริมาณยางรีเคลม

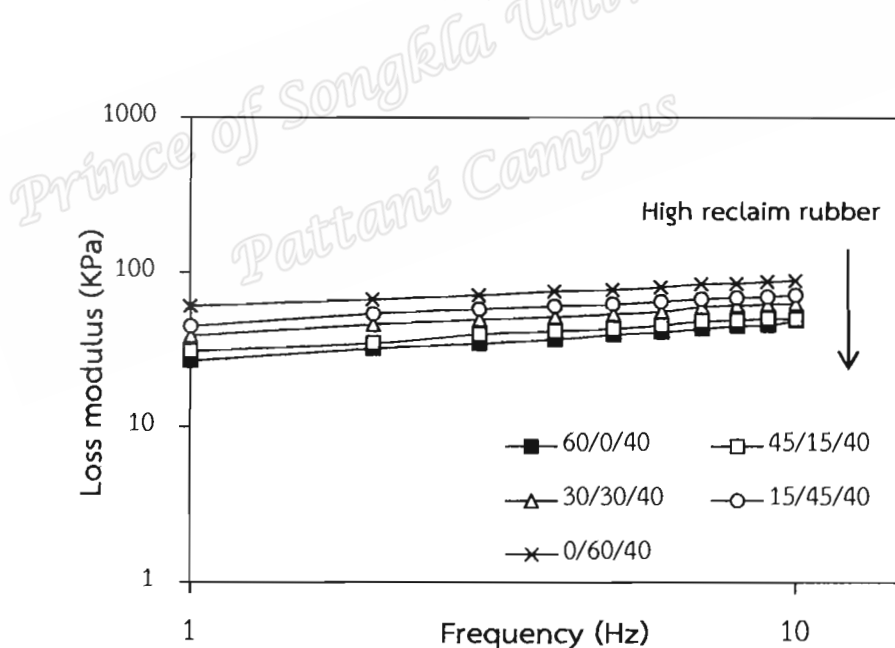
จากรูปที่ 4.65 พบว่าความหนืดเชิงซ้อนมีค่าเพิ่มขึ้นตามปริมาณยางรีเคลมในสัดส่วนเพสยางที่เพิ่มขึ้น ซึ่งผลการทดลองที่ได้ไม่สอดคล้องกับความหนืดเฉือนปรากฏในการทดสอบสมบัติการไหลของเทอร์โมพลาสติกวัลคาไนซ์ดังแสดงในรูปที่ 4.63 เช่นเดียวกัน และเมื่อเขียนกราฟเปรียบเทียบระหว่างความหนืดเฉือนปรากฏที่อัตราเฉือนปรากฏคงที่ค่าหนึ่ง และความหนืดเชิงซ้อนที่ความถี่คงที่ค่าหนึ่ง เป็นฟังก์ชันกับอัตราส่วนการเบลนด์ ดังแสดงในรูปที่ 4.66 พบว่าให้ผลการทดลองที่ตรงกันข้ามกันอย่างเห็นได้ชัด การลดลงของความหนืดเฉือนปรากฏเมื่อปริมาณยางรีเคลมในสัดส่วนการเบลนด์เพิ่มมากขึ้น เกิดจากน้ำหนักโมเลกุลที่ต่ำของยางรีเคลม รวมถึงปริมาณพันธะเชื่อมขวางของเพสยางมีน้อยดังที่กล่าวไปข้างต้น ในขณะที่ความหนืดเชิงซ้อนที่เพิ่มขึ้นตามปริมาณยางรีเคลมนั้น อาจแสดงผลของสารตัวเติมเขม่าดำซึ่งเป็นองค์ประกอบในยางรีเคลม โดยเมื่อมียางรีเคลมในปริมาณที่มากขึ้นทำให้มีปริมาณของเขม่าดำเพิ่มมากขึ้น จึงทำให้เขม่าดำไปขัดขวางการไหลของสายโซ่พอลิเมอร์ (Sombatsompop and Kumnuantip, 2003)



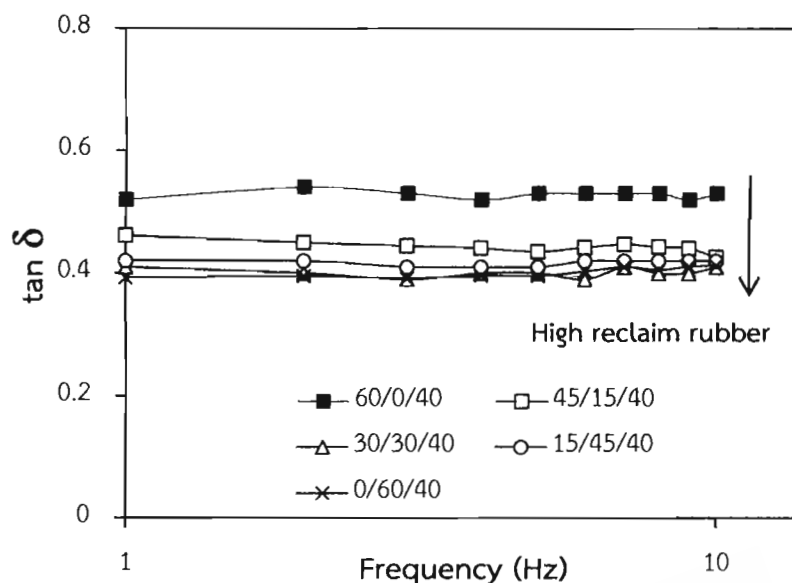
รูปที่ 4.65 ความสัมพันธ์ระหว่างความหนืดเชิงซ้อนกับความถี่ของเทอร์โมพลาสติกวัลคาไนซ์จากการเบลนด์ NR/RR/PEC เมื่อแปรอัตราส่วนการเบลนด์



รูปที่ 4.66 ความเค้นเฉือนปรากฏที่อัตราเฉือน 100 (1/s) และความหนืดเชิงซ้อนที่ความถี่ 2 Hz ของเทอร์โมพลาสติกวัลคาไนซ์จากการเบลนด์ NR/RR/PEC เมื่อแปรอัตราส่วนการเบลนด์



รูปที่ 4.67 ความสัมพันธ์ระหว่างมอดุลัสสูญเสียกับความถี่ของเทอร์โมพลาสติกวัลคาไนซ์จากการเบลนด์ NR/RR/PEC เมื่อแปรอัตราส่วนการเบลนด์



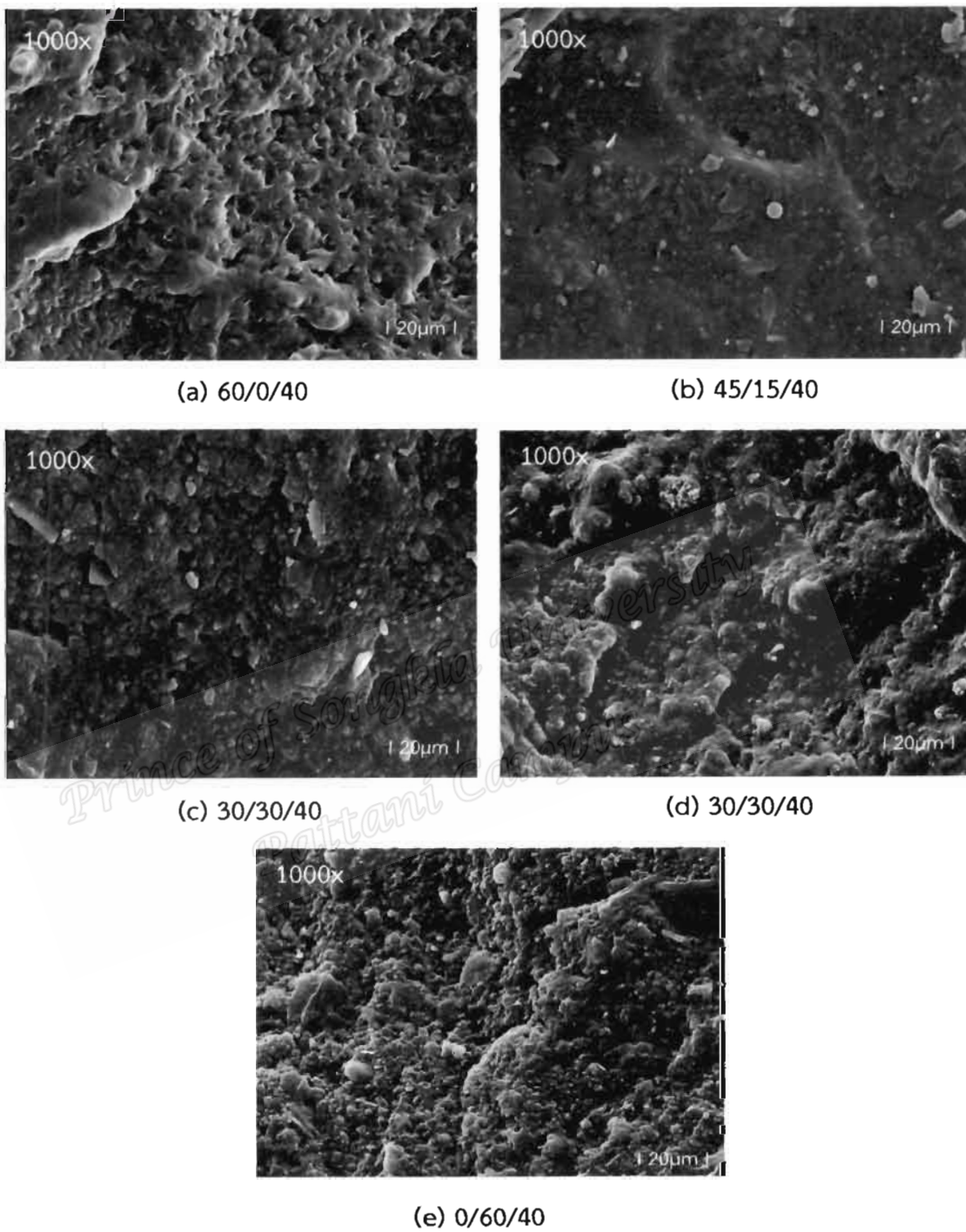
รูปที่ 4.68 ความสัมพันธ์ระหว่าง  $\tan \delta$  กับความถี่ของเทอร์โมพลาสติกวัลคาไนซ์จากการเบลนด์ NR/RR/PEC เมื่อแปรอัตราส่วนการเบลนด์

จากรูปที่ 4.67 พบว่าแสดงความสัมพันธ์ระหว่างค่ามอดุลัสสูญเสียกับความถี่ ซึ่งค่ามอดุลัสสูญเสียแสดงสมบัติการเป็นของไหลหนืด (Viscous liquid) คือเมื่อได้รับแรงกระทำจะเกิดการผิดรูปโดยไม่กลับคืนรูปเดิม เกิดการสูญเสียพลังงานไปอยู่ในรูปความร้อนสะสมของวัสดุสูง พบว่าเทอร์โมพลาสติกวัลคาไนซ์มีค่ามอดุลัสสูญเสียเพิ่มขึ้นตามปริมาณของยางรีเคลมในสัดส่วนของเฟสยางที่เพิ่มขึ้น เนื่องจากในยางรีเคลมมีสารตัวเติมเคมีดำอยู่ ทำหน้าที่เสริมแรงในโมเลกุลยางส่งผลให้สายโซ่โมเลกุลยางเกิดการคืนรูปกลับได้น้อย แต่เมื่อพิจารณาค่าแทนเจนต์สูญเสีย ( $\tan \delta$ ) แสดงในรูปที่ 4.68 จะเห็นว่าที่ความถี่เดียวกันค่า  $\tan \delta$  ของเทอร์โมพลาสติกวัลคาไนซ์กลับมีแนวโน้มลดลงตามปริมาณของยางรีเคลมในสัดส่วนของเฟสยางที่เพิ่มขึ้น แสดงถึงวัสดุมีพฤติกรรมตอบสนองต่อความยืดหยุ่น (Elastic response) สูงกว่าการตอบสนองต่อการไหลหนืด (Viscous response) คือมีความหน่วง (Damping) ในพอลิเมอร์ต่ำ ซึ่งผลการทดลองนี้สวนทางกับค่ามอดุลัสสูญเสียที่เพิ่มขึ้น ซึ่งน่าจะเป็นผลจากการถ่วงกันระหว่างการเสริมแรงของเคมีดำกับน้ำหนักโมเลกุลของยางรีเคลม

#### 4.5.6 การศึกษาอิทธิพลของอัตราส่วนการเบลนด์ต่อสัณฐานวิทยาของเทอร์โมพลาสติกวัลคาไนซ์จากการเบลนด์ระหว่าง NR/RR/PEC

นำเทอร์โมพลาสติกวัลคาไนซ์จากการเบลนด์ระหว่าง NR/RR/PEC ที่แปรอัตราส่วนการเบลนด์มาศึกษาสัณฐานวิทยา ได้ผลการทดลองแสดงดังรูปที่ 4.69 พบว่าเมื่อใช้อัตราส่วนเบลนด์ที่ต่างกันจะให้ลักษณะสัณฐานวิทยาของเทอร์โมพลาสติกวัลคาไนซ์ที่แตกต่างกัน พบว่าเทอร์โมพลาสติกวัลคาไนซ์ที่เตรียมโดยใช้ที่อัตราส่วนเบลนด์ 60/0/40 ลักษณะสัณฐานวิทยามีความสม่ำเสมอมากที่สุดและเมื่อปริมาณของยางรีเคลมในสัดส่วนของเฟสยางเพิ่มขึ้นจะทำให้อนุภาคยางมีขนาดเล็กลง แต่มีความขรุขระเพิ่มขึ้น เนื่องจากเมื่อยางรีเคลมในสัดส่วนของเฟสยางเพิ่มขึ้นจะเกิดการรวมตัวกันเป็นกลุ่มก้อน (Agglomerate) มากขึ้น ทำให้เกิดเป็นกลุ่มก้อนขนาดใหญ่ขึ้นตามปริมาณยางรีเคลม ส่งผลให้เกิดความขรุขระและความไม่เข้ากันระหว่างเฟสเพิ่มขึ้น ทำให้เกิดเป็นจุดอ่อนแอระหว่างสายโซ่โพลิเมอร์ทำให้เกิดมีสมบัติเชิงกลด้อยลง

Prince of Songkla University  
Pattani Campus

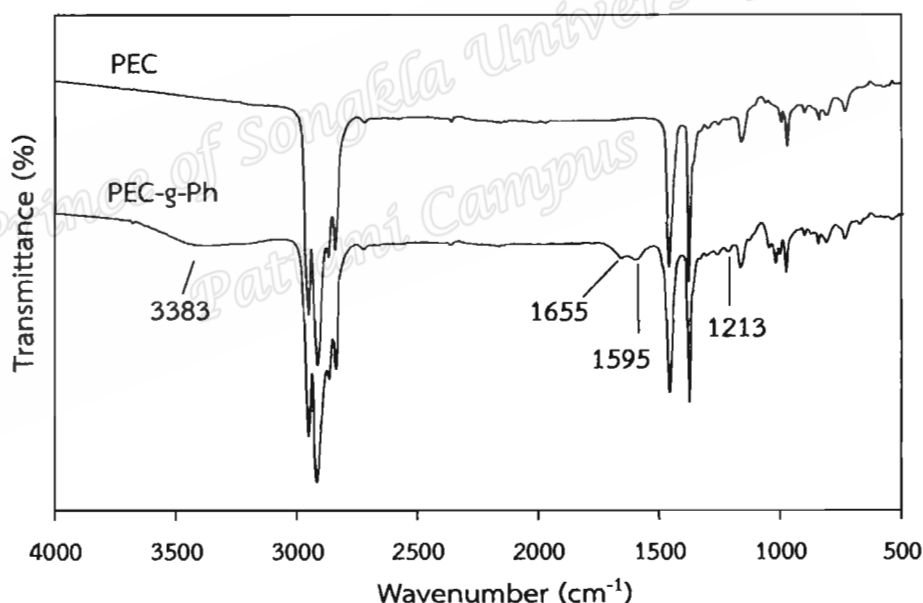


รูปที่ 4.69 ลักษณะสัณฐานวิทยาของเทอร์โมพลาสติกวัลคาไนซ์จากการเบลนด์ NR/RR/PEC เมื่อแปรอัตราส่วนการเบลนด์

4.6 การศึกษาอิทธิพลของการใช้สารเพิ่มความเข้ากันได้ชนิดกราฟต์โคพอลิเมอร์ของโพรพิลีนเอทิลีนโคพอลิเมอร์กับฟีนอลิกเรซิน (Propylene-ethylene copolymer grafted phenolic resin, PEC-g-Ph) ร่วมกับวิธีการปรับปรุงความเข้ากันได้โดยใช้สารตัดแปรต่อสมบัติเทอร์โมพลาสติกวัลคาไนซ์จากการเบลนดระหว่างยางธรรมชาติ ยางรีเคลม และโพรพิลีนเอทิลีนโคพอลิเมอร์

4.6.1 การวิเคราะห์โครงสร้างทางเคมีของกราฟต์โคพอลิเมอร์ของโพรพิลีนเอทิลีนโคพอลิเมอร์กับฟีนอลิกเรซิน (PEC-g-Ph) เพื่อใช้เป็นสารเพิ่มความเข้ากันได้ (Compatibilizer)

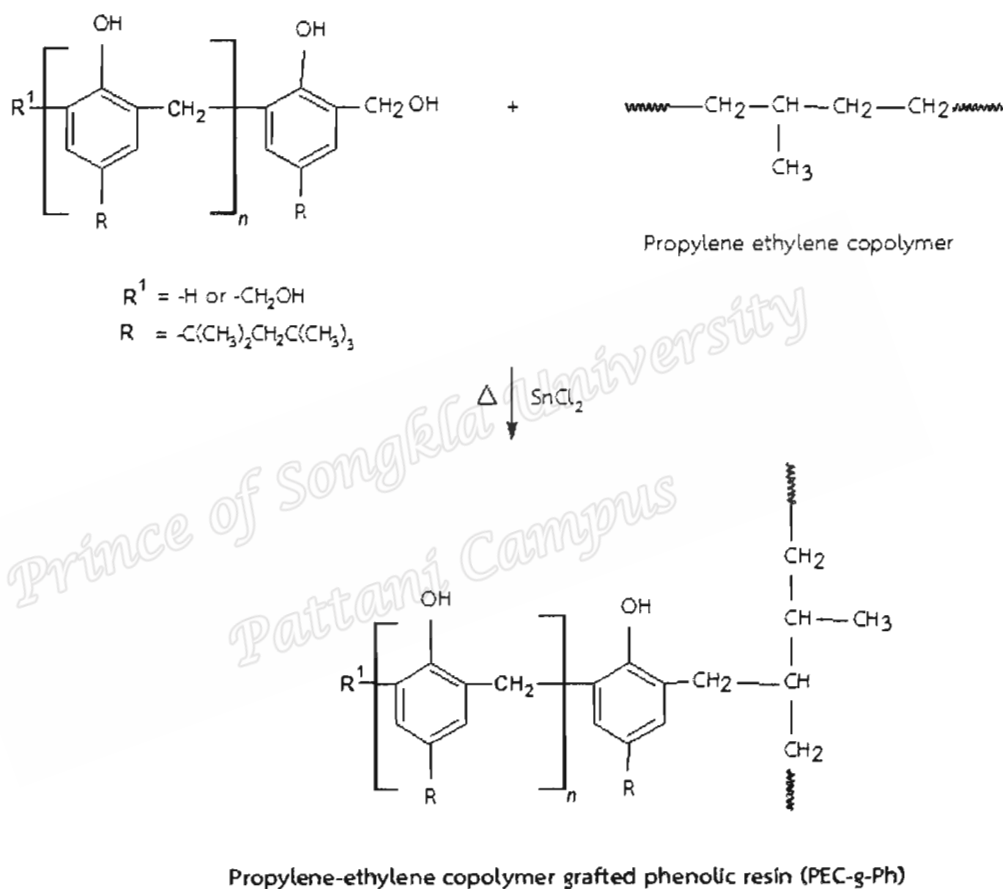
ตัดแปรโมเลกุลของโพรพิลีนเอทิลีนโคพอลิเมอร์ด้วยฟีนอลิกเรซินชนิด HRJ-10518 ตามวิธีการในหัวข้อที่ 3.3.6 โดยทำปฏิกิริยาในสภาวะหลอม จากนั้นนำไปวิเคราะห์การเกาะติดของฟีนอลิกเรซินบนโมเลกุลของโพรพิลีนเอทิลีนโคพอลิเมอร์ด้วยเครื่อง FTIR แสดงดังรูปที่ 4.70



รูปที่ 4.70 สเปกตรัม FTIR ของกราฟต์โคพอลิเมอร์ของโพรพิลีนเอทิลีนโคพอลิเมอร์กับฟีนอลิกเรซินเปรียบเทียบกับสเปกตรัมของโพรพิลีนเอทิลีนโคพอลิเมอร์

จากรูปที่ 4.70 แสดงสเปกตรัม FTIR ของกราฟต์โคพอลิเมอร์ของโพรพิลีนเอทิลีนโคพอลิเมอร์กับฟีนอลิกเรซิน (PEC-g-Ph) เปรียบเทียบกับสเปกตรัมของโพรพิลีนเอทิลีนโคพอลิเมอร์ (PEC) จะเห็นว่าสเปกตรัมของสารเพิ่มความเข้ากันได้ PEC-g-Ph จะปรากฏแถบการดูดกลืนที่ตำแหน่งเลขคลื่น  $3383\text{ cm}^{-1}$  ซึ่งเป็นพีคที่เกิดจากการสั่นแบบยืดของพันธะไฮโดรเจนในหมู่ฟีนอล (Hydrogen bonding of phenol) และพบพีคที่ตำแหน่งเลขคลื่น  $1597\text{ cm}^{-1}$  และ  $1656\text{ cm}^{-1}$

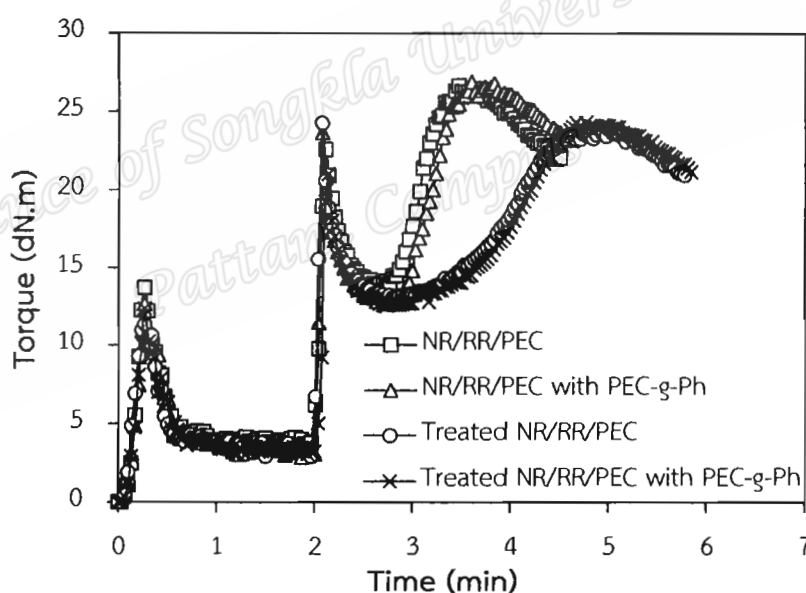
แสดงถึงการสั่นแบบยืดของหมู่  $-C=C$  ในวงแหวนอโรมาติก ( $-C=C$  stretching of aromatic rings of phenol) รวมถึงจะปรากฏแถบการดูดกลืนที่ตำแหน่งเลขคลื่น  $1213\text{ cm}^{-1}$  จากการสั่นแบบยืดของพันธะ  $-C-O$  ( $-C-O$  stretching of aromatic rings of phenol) (Nakason *et al.*, 2006b และ Wongthong *et al.*, 2015) โดยพีคที่ปรากฏที่ตำแหน่งเลขคลื่นต่างๆ ที่กล่าวมาแสดงถึงการมีฟีนอลิกเรซินที่กราฟต์บนโพลีเอทิลีนโพรพิลีนเอทิลีนโคพอลิเมอร์ การเกิดปฏิกิริยาที่เป็นไปได้ระหว่างฟีนอลิกเรซินกับโพรพิลีนเอทิลีนโคพอลิเมอร์แสดงดังรูปที่ 4.71



รูปที่ 4.71 ปฏิกิริยาที่เป็นไปได้ระหว่างฟีนอลิกเรซินกับโพรพิลีนเอทิลีนโคพอลิเมอร์ (ดัดแปลงจาก Nakason *et al.*, 2006b)

#### 4.6.2 การศึกษาอิทธิพลของการใช้สารเพิ่มความเข้ากันได้ชนิด PEC-g-Ph ร่วมกับการใช้สารตัดแปรฟีนอลิกเรซินต่อพฤติกรรมการผสมในการเตรียมเทอร์โมพลาสติกวัลคาไนซ์จากการเบลนด์ NR/RR/PEC

เตรียมเทอร์โมพลาสติกวัลคาไนซ์จากการเบลนด์ระหว่างยางธรรมชาติ ยางรีเคลม และ โพรพิลีนเอทิลีนโคพอลิเมอร์ด้วยวิธีการผสมแบบ Melt mixing method ทำการศึกษาผลของการใช้สารเพิ่มความเข้ากันได้ชนิด PEC-g-Ph ร่วมกับการปรับปรุงความเข้ากันได้โดยใช้สารตัดแปรชนิดฟีนอลิกเรซิน (เติมโดยตรง) ตามวิธีการทดลองในหัวข้อที่ 3.3.6 แสดงกราฟความสัมพันธ์ระหว่างทอร์กการผสมกับเวลาการผสม ดังแสดงในรูปที่ 4.72 โดยกำหนดให้ NR/RR/PEC แทนสูตรควบคุม (Control) ที่ไม่ใช้สารตัดแปรและสารเพิ่มความเข้ากันได้ Treated NR/RR/PEC แทนสูตรที่ใช้สารตัดแปร NR/RR/PEC with PEC-g-Ph แทนสูตรที่มีการใช้สารเพิ่มความเข้ากันได้ และ Treated NR/RR/PEC with PEC-g-Ph แทนสูตรที่มีการใช้สารตัดแปรและการใช้สารเพิ่มความเข้ากันได้ร่วมกัน



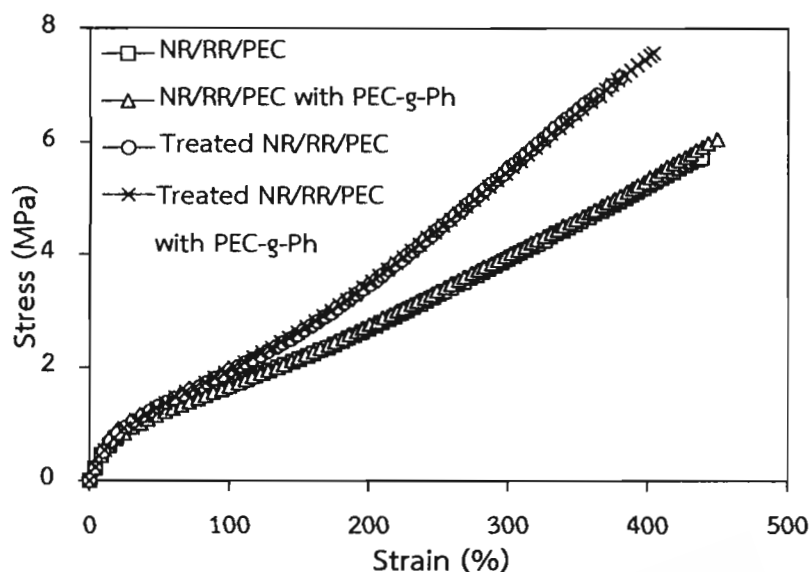
รูปที่ 4.72 ความสัมพันธ์ระหว่างค่าทอร์กกับเวลาการผสมของเทอร์โมพลาสติกวัลคาไนซ์เมื่อใช้สารเพิ่มความเข้ากันได้ชนิด PEC-g-Ph ร่วมกับการใช้สารตัดแปรฟีนอลิกเรซิน

จากรูปที่ 4.72 พบว่าค่าทอร์กการผสมในสูตร NR/RR/PEC และ NR/RR/PEC with PEC-g-Ph ซึ่งไม่ใส่สารตัดแปรฟีนอลิกเรซินให้ลักษณะทอร์กการผสมที่เหมือนกันในขณะที่สูตร Treated NR/RR/PEC และ Treated NR/RR/PEC with PEC-g-Ph ซึ่งเป็นสูตรที่ใช้เป็นสารตัดแปรฟีนอลิกเรซินจะให้ลักษณะของทอร์กการผสมเหมือนกัน โดยเมื่อเปรียบเทียบทอร์กการผสมในกรณี

ของการใช้และไม่ใช้สารดัดแปรฟีนอลิกเรซิน (Untreated and treated) พบว่าทอร์กการผสมจะให้ลักษณะเช่นเดียวกับการศึกษาอิทธิพลวิธีการผสมสารดัดแปร และการศึกษาอิทธิพลของปริมาณสารดัดแปรในหัวข้อที่ 4.3 และ 4.4 ตามลำดับ กล่าวคือเมื่อใช้สารดัดแปรทำให้ทอร์กการผสมในช่วงของการเกิดการวัลคาไนซ์แบบไดนามิกซ์มีระยะเวลาในการเกิดการวัลคาไนซ์ที่นานกว่าสูตรที่ไม่ใช้สารดัดแปร เนื่องจากการใช้ฟีนอลิกเรซินเป็นสารดัดแปรร่วมกับวิธีการเตรียมแบบ Melt mixing method จะผสมฟีนอลิกเรซินกับยางรีเคลมในขั้นตอนแรกก่อนนำไปเตรียมเป็นยางพาวนด์และเทอร์โมพลาสติกวัลคาไนซ์ในลำดับสุดท้าย ทำให้ฟีนอลิกเรซินผสมอยู่ในคอมพาวนด์ทำให้ระบบเกิดการวัลคาไนซ์ได้ช้าลงซึ่งได้อธิบายไปแล้วในรูปที่ 4.15 ในขณะที่เมื่อเปรียบเทียบลักษณะของทอร์กการผสมเมื่อใช้และไม่ใช้สารเพิ่มความเข้ากันได้ชนิด PEC-g-Ph กับพบว่ามึลักษณะของทอร์กการผสมที่ไม่แตกต่างกัน

#### 4.6.3 การศึกษาอิทธิพลของการใช้สารเพิ่มความเข้ากันได้ชนิด PEC-g-Ph ร่วมกับการใช้สารดัดแปรฟีนอลิกเรซินต่อสมบัติเชิงกลของเทอร์โมพลาสติกวัลคาไนซ์จากการเบลนด์ระหว่าง NR/RR/PEC

นำเทอร์โมพลาสติกวัลคาไนซ์ที่เตรียมจากการเบลนด์ NR/RR/PEC ที่ศึกษาผลของการใช้สารเพิ่มความเข้ากันได้ชนิด PEC-g-Ph มาศึกษาสมบัติเชิงกล ได้กราฟความสัมพันธ์ระหว่างความเค้นกับความเครียดของเทอร์โมพลาสติกวัลคาไนซ์ดังแสดงในรูปที่ 4.73 พบว่าเมื่อเปรียบเทียบระหว่างเทอร์โมพลาสติกวัลคาไนซ์ที่ใช้และไม่ใช้สารดัดแปรฟีนอลิกเรซิน พบว่าเทอร์โมพลาสติกวัลคาไนซ์สูตรที่ใช้สารดัดแปรฟีนอลิกเรซิน (Treated NR/RR/PEC และ Treated NR/RR/PEC with PEC-g-Ph) มีความแข็งตึงสูงกว่าสูตรที่ไม่ใช้สารดัดแปรฟีนอลิกเรซิน (NR/RR/PEC และ NR/RR/PEC with PEC-g-Ph) ในขณะที่เมื่อเปรียบเทียบระหว่างเทอร์โมพลาสติกวัลคาไนซ์สูตรที่ใช้และไม่ใช้สารเพิ่มความเข้ากันได้ชนิด PEC-g-Ph พบว่าเส้นกราฟให้ลักษณะที่ซ้อนทับกันไม่สามารถเห็นผลการทดลองที่ชัดเจน นอกจากนี้จุดขาดของกราฟความสัมพันธ์ระหว่างความเค้นและความเครียดสามารถนำมาคำนวณหาค่าความต้านทานต่อแรงดึง และความสามารถในการยืดจนขาดของเทอร์โมพลาสติกวัลคาไนซ์แสดงผลดังตารางที่ 4.15 รวมถึงแสดงค่าความสามารถในการคืนรูปและความแข็ง

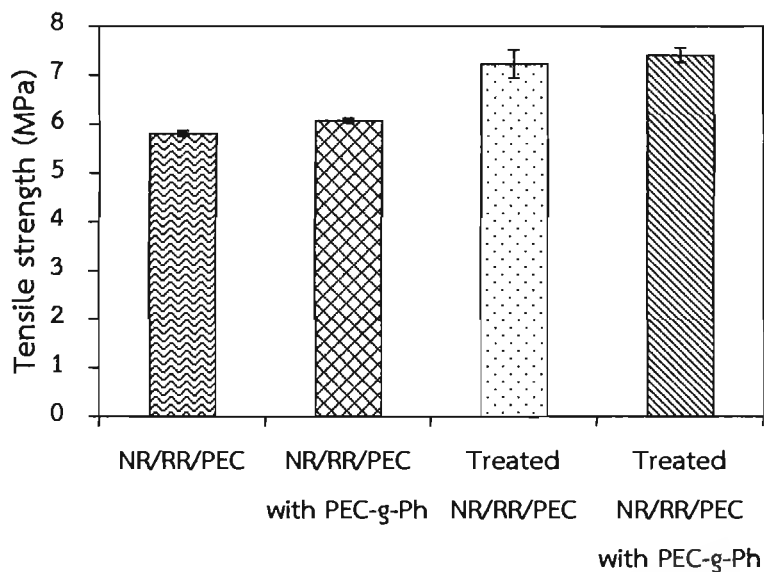


รูปที่ 4.73 ความสัมพันธ์ระหว่างความเค้นกับความเครียดของเทอร์โมพลาสติกวัลคาไนซ์จากการเบลนด์ NR/RR/PEC เมื่อใช้สารเพิ่มความเข้ากันได้ชนิด PEC-g-Ph ร่วมกับการใช้สารดัดแปรฟีนอลิกเรซิน

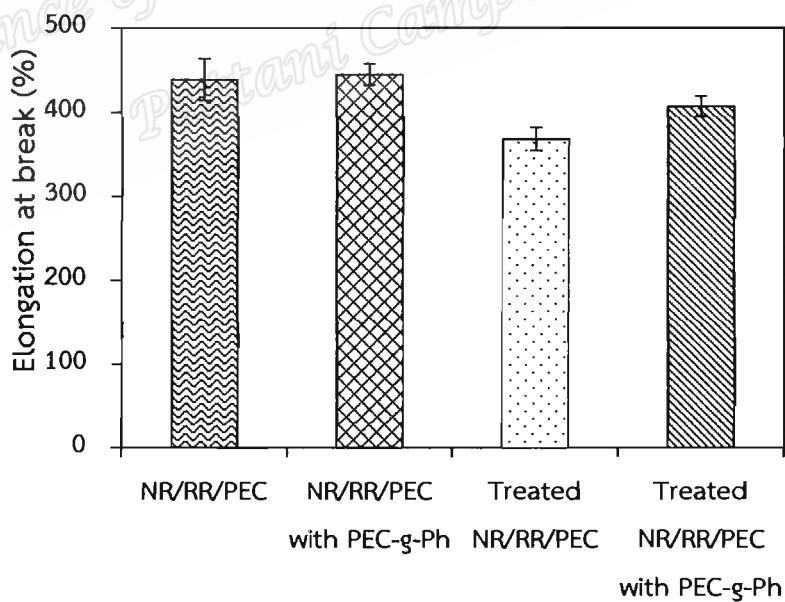
ตารางที่ 4.15 สมบัติเชิงกลของของเทอร์โมพลาสติกวัลคาไนซ์จากการเบลนด์ NR/RR/PEC เมื่อใช้สารเพิ่มความเข้ากันได้ชนิด PEC-g-Ph ร่วมกับการใช้สารดัดแปรฟีนอลิกเรซิน

| Blend                           | Tensile strength (MPa) | Elongation at break (%) | Tension set (%) | Hardness (shore A) |
|---------------------------------|------------------------|-------------------------|-----------------|--------------------|
| NR/RR/PEC                       | 5.81±0.06              | 439±24.64               | 6.28±0.21       | 52                 |
| NR/RR/PEC with PEC-g-Ph         | 6.07±0.05              | 445±12.64               | 6.25±0.20       | 54                 |
| Treated NR/RR/PEC               | 7.23±0.29              | 368±13.74               | 5.52±0.35       | 57                 |
| Treated NR/RR/PEC with PEC-g-Ph | 7.41±0.15              | 407±12.36               | 5.55±0.05       | 58                 |

จากตารางที่ 4.15 สามารถเขียนกราฟความสัมพันธ์ระหว่างความต้านทานต่อแรงดึง ความสามารถในการยืดจนขาด ความสามารถในการคืนรูป และความแข็ง เมื่อใช้สารเพิ่มความเข้ากันได้ชนิด PEC-g-Ph ร่วมกับการใช้สารดัดแปรฟีนอลิกเรซินดังรูปที่ 4.74, 4.75, 4.77 และ 4.78 ตามลำดับ

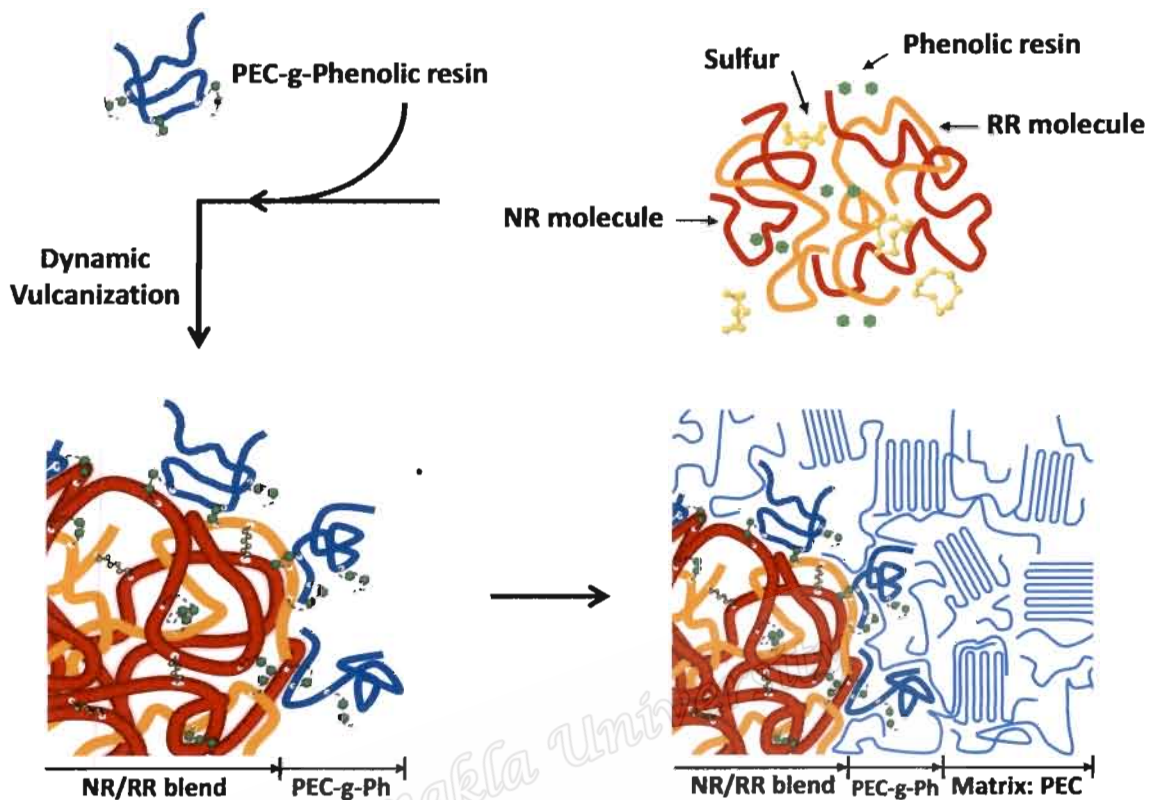


รูปที่ 4.74 ความต้านทานต่อแรงดึงและความสามารถในการยืดจนขาดของเทอร์โมพลาสติกวัลคาไนซ์จากการเบลนด์ NR/RR/PEC เมื่อใช้สารเพิ่มความเข้ากันได้ชนิด PEC-g-Ph ร่วมกับการใช้สารดัดแปรฟีนอลิกเรซิน

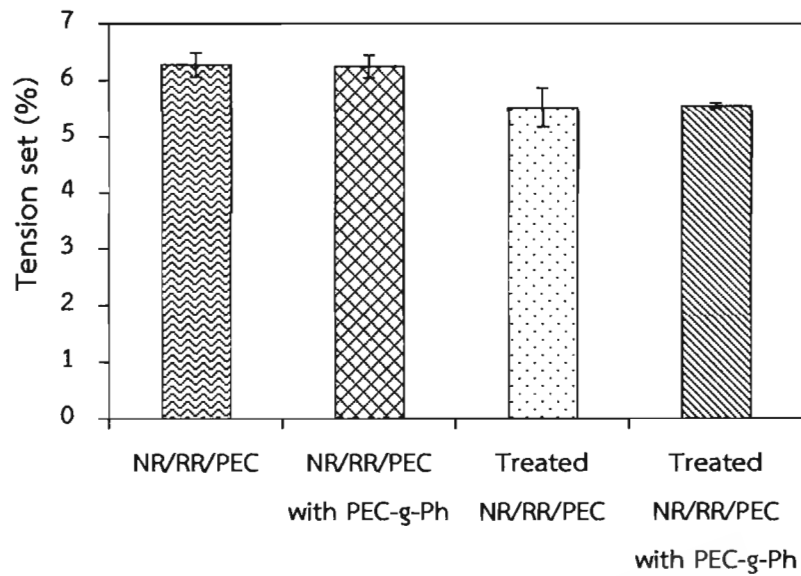


รูปที่ 4.75 ความต้านทานต่อแรงดึงและความสามารถในการยืดจนขาดของเทอร์โมพลาสติกวัลคาไนซ์จากการเบลนด์ NR/RR/PEC เมื่อใช้สารเพิ่มความเข้ากันได้ชนิด PEC-g-Ph ร่วมกับการใช้สารดัดแปรฟีนอลิกเรซิน

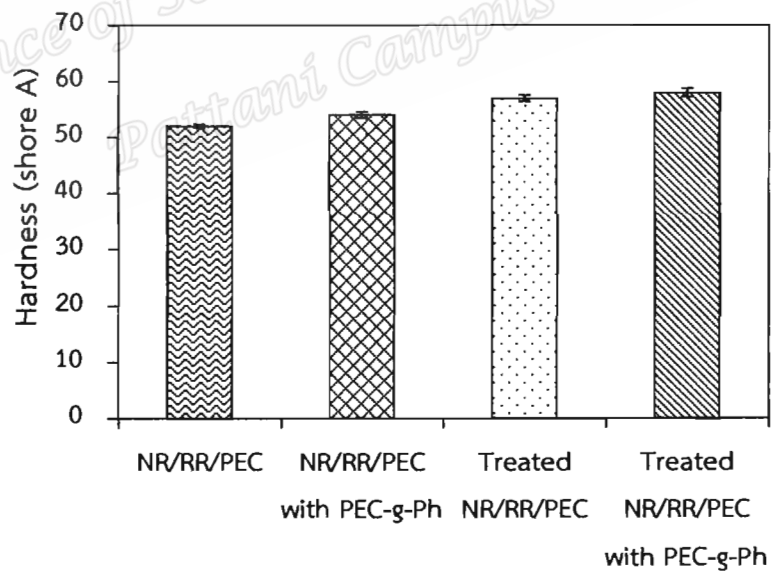
จากรูปที่ 4.74 และ 4.75 แสดงการเปรียบเทียบระหว่างการใช้และไม่ใช้สารดัดแปร พบว่าการใช้สารดัดแปรพอลิเอทิลีนทำให้ค่าความต้านทานต่อแรงดึงเพิ่มขึ้น ในขณะที่ความสามารถในการยึดจนขาดลดลง เนื่องจากการใช้พอลิเอทิลีนเป็นสารดัดแปรจะช่วยปรับปรุงความเข้ากันได้ระหว่างเฟสยางรีเคลมและยางธรรมชาติได้ ซึ่งเกิดจากการที่หมู่เมทิลลอลในพอลิเอทิลีนเกิดปฏิกิริยากับพันธะคู่ในสายโซ่โมเลกุลของยาง (Nakason *et al.*, 2006b) ทำให้ช่วยเพิ่มแรงยึดเหนี่ยวระหว่างเฟส ในขณะที่เมื่อเปรียบเทียบระหว่างการใช้และไม่ใช้สารเพิ่มความเข้ากันได้ชนิด PEC-g-Ph พบว่าเมื่อใช้สารเพิ่มความเข้ากันได้ชนิด PEC-g-Ph ทำให้ค่าความต้านทานต่อแรงดึงและความสามารถในการยึดจนขาดเพิ่มขึ้นเล็กน้อย และพบว่าการใช้สารดัดแปรพอลิเอทิลีนร่วมกับสารเพิ่มความเข้ากันได้ชนิด PEC-g-Ph (Treated NR/RR/PECwith PEC-g-Ph) ให้ค่าความต้านทานต่อแรงดึงที่สูงที่สุด เนื่องจากผลของการใช้พอลิเอทิลีนเป็นสารดัดแปรมีความสามารถช่วยปรับปรุงความเข้ากันได้ระหว่างเฟสยางรีเคลมและยางธรรมชาติ และเมื่อใช้ร่วมกับสารเพิ่มความเข้ากันได้ชนิด PEC-g-Ph ช่วยเพิ่มความเข้ากันได้ระหว่างเฟสยางกับเฟสพลาสติก เนื่องจาก PEC-g-Ph เป็นสารเพิ่มความเข้ากันได้ที่มีโครงสร้างส่วนหนึ่งเป็นโมเลกุลของโพรพิลีนเอทิลีนโคพอลิเมอร์ทำให้สามารถเบลนด์เข้าโพรพิลีนเอทิลีนโคพอลิเมอร์ได้ดี แสดงลักษณะการเกิดปฏิกิริยาที่เป็นไปได้เมื่อใช้สารดัดแปรพอลิเอทิลีนร่วมกับสารเพิ่มความเข้ากันได้ PEC-g-Ph ดังรูปที่ 4.76 โดยที่สารเพิ่มความเข้ากันได้จะเข้าไปเป็นตัวประสานที่ผิวประจัญ (Interface) ของทั้งสองเฟสซึ่งส่งผลต่อการเกิดอันตรกิริยาระหว่างเฟสของยางและเฟสพลาสติกทำให้มีแรงยึดเหนี่ยวระหว่างเฟสที่ดี และมีโอกาสทำให้เฟสยางเกิดการกระจายอย่างสม่ำเสมอมากขึ้น จึงส่งผลให้เทอร์โมพลาสติกวัลคาไนซ์มีสมบัติเชิงกลดีขึ้น



รูปที่ 4.76 การเกิดปฏิกิริยาที่เป็นไปได้เมื่อใช้สารตัดแปรงฟีนอลิกเรซินร่วมสารเพิ่มความเข้ากันได้ PEC-g-Ph



รูปที่ 4.77 การผิดรูปถาวรแบบตั้งของเทอร์โมพลาสติกวัลคาไนซ์จากการเบลนด์ NR/RR/PEC เมื่อใช้สารเพิ่มความเข้ากันได้ชนิด PEC-g-Ph ร่วมกับการใช้สารดัดแปรฟีนอลิกเรซิน

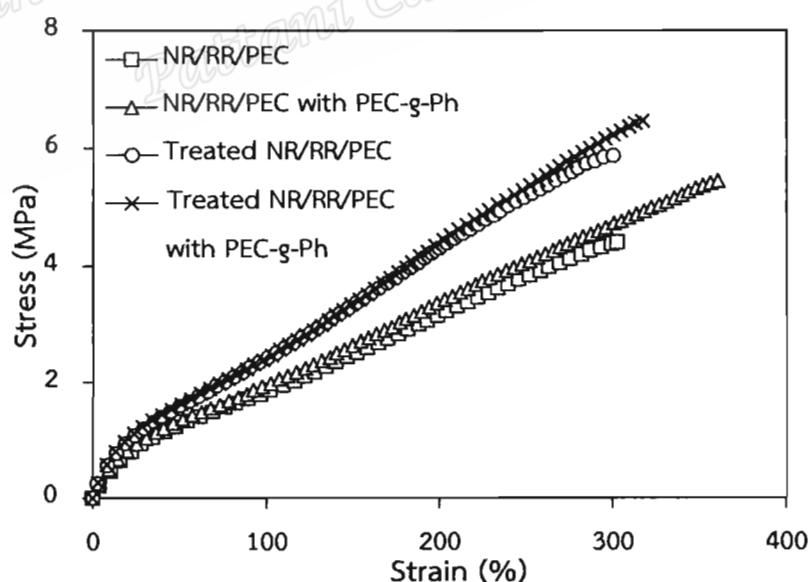


รูปที่ 4.78 ความแข็งของเทอร์โมพลาสติกวัลคาไนซ์จากการเบลนด์ NR/RR/PEC เมื่อใช้สารเพิ่มความเข้ากันได้ชนิด PEC-g-Ph ร่วมกับการใช้สารดัดแปรฟีนอลิกเรซิน

จากรูปที่ 4.77 พบว่าเทอร์โมพลาสติกวัลคาไนซ์มีความสามารถในการคืนรูปเพิ่มขึ้น (Tension set ลดลง) เมื่อใช้สารดัดแปรฟีนอลิกเรซิน ซึ่งเกิดจากการที่ฟีนอลิกเรซินเข้าไปช่วยเพิ่มความเข้ากันได้ระหว่างเฟสยางดัดที่กล่าวไว้ข้างต้น และเมื่อเปรียบเทียบการใช้และไม่ใช้สารเพิ่มความเข้ากันได้ชนิด PEC-g-Ph พบว่าเทอร์โมพลาสติกวัลคาไนซ์มีค่าความสามารถในคืนรูปไม่แตกต่างกัน ผลการวัดความแข็งแรงแสดงในรูปที่ 4.78 พบว่าให้ผลเช่นเดียวกันกับค่าความสามารถในการคืนรูป กล่าวคือความแข็งแรงมีค่าเพิ่มขึ้นเมื่อใช้สารดัดแปรฟีนอลิกเรซิน และเทอร์โมพลาสติกวัลคาไนซ์จะมีความแข็งแรงไม่แตกต่างกันเมื่อใช้สารเพิ่มความเข้ากันได้ชนิด PEC-g-Ph

#### 4.6.4 การศึกษาอิทธิพลของการใช้สารเพิ่มความเข้ากันได้ชนิด PEC-g-Ph ร่วมกับการใช้สารดัดแปรฟีนอลิกเรซินต่อสมบัติเชิงกลภายหลังบ่มแรงของเทอร์โมพลาสติกวัลคาไนซ์จากการเบลนด์ระหว่าง NR/RR/PEC

นำเทอร์โมพลาสติกวัลคาไนซ์ที่เตรียมจากการเบลนด์ NR/RR/PEC ที่ศึกษาผลของการใช้สารเพิ่มความเข้ากันได้ชนิด PEC-g-Ph มาทดสอบความต้านทานต่อการบ่มแรงที่อุณหภูมิ 100°C เป็นเวลา 22 ชั่วโมง จากนั้นนำตัวอย่างออกพักทิ้งไว้ที่อุณหภูมิห้องอย่างน้อย 16 ชั่วโมงก่อนนำไปทดสอบสมบัติเชิงกลได้กราฟความสัมพันธ์ระหว่างความเค้นกับความเครียดของเทอร์โมพลาสติกวัลคาไนซ์ดังแสดงในรูปที่ 4.79



รูปที่ 4.79 ความสัมพันธ์ระหว่างความเค้นกับความเครียดภายหลังบ่มแรงของเทอร์โมพลาสติกวัลคาไนซ์จากการเบลนด์ NR/RR/PEC เมื่อใช้สารเพิ่มความเข้ากันได้ชนิด PEC-g-Ph ร่วมกับการใช้สารดัดแปรฟีนอลิกเรซิน

จากรูปที่ 4.79 พบว่าเทอร์โมพลาสติกวัลคาไนซ์หลังจากนำไปบ่มแรงที่อุณหภูมิ 100°C เป็นเวลา 22 ชั่วโมงแสดงพฤติกรรมการผิดรูปภายใต้แรงเค้นไม่ได้แตกต่างจากเทอร์โมพลาสติกวัลคาไนซ์ก่อนบ่มแรง กล่าวคือเมื่อพิจารณามอดูลัสที่ระยะยืดเดียวกันพบว่าเทอร์โมพลาสติกวัลคาไนซ์ที่ใช้สารดัดแปรฟีนอลิกเรซินจะให้มอดูลัสสูงกว่าเทอร์โมพลาสติกวัลคาไนซ์ที่ไม่ใช้สารดัดแปรฟีนอลิกเรซิน และเมื่อเปรียบเทียบระหว่างการใช้และไม่ใช้สารเพิ่มความเข้ากันได้ชนิด PEC-g-Ph เทอร์โมพลาสติกวัลคาไนซ์มีค่ามอดูลัสไม่แตกต่างกัน แต่พบว่าการใช้สารเพิ่มความเข้ากันได้ชนิด PEC-g-Ph ทำให้เทอร์โมพลาสติกวัลคาไนซ์มีความสามารถในการยืดจนขาดและความต้านทานต่อแรงดึงมากกว่าเทอร์โมพลาสติกวัลคาไนซ์ที่ไม่ใช้สารเพิ่มความเข้ากันได้เล็กน้อย และจากจุดขาดของกราฟความสัมพันธ์ระหว่างความเค้นและความเครียดสามารถนำมาคำนวณหาค่าความต้านทานต่อแรงดึงและความสามารถในการยืดจนขาดของเทอร์โมพลาสติกวัลคาไนซ์ แสดงดังตารางที่ 4.16 และ 4.17 รวมถึงแสดงเปอร์เซ็นต์การเปลี่ยนแปลงของสมบัติภายหลังบ่มแรงด้วย

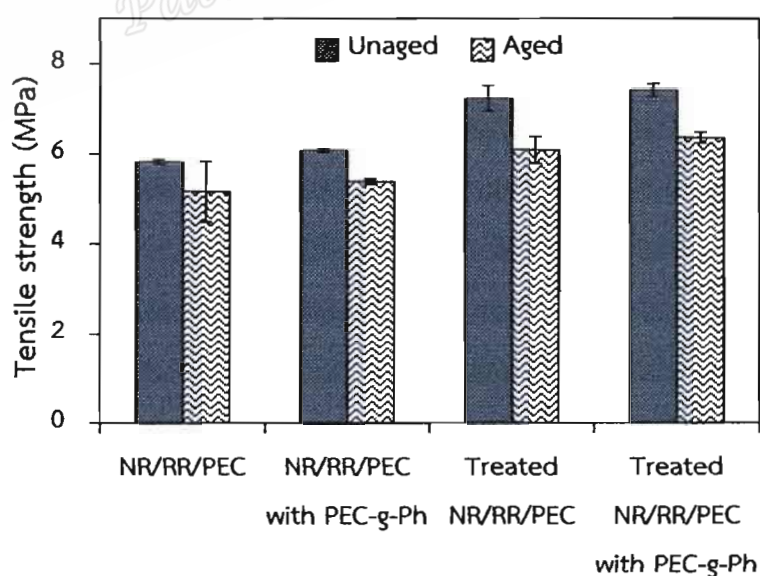
ตารางที่ 4.16 ความต้านทานต่อแรงดึงภายหลังบ่มแรงของเทอร์โมพลาสติกวัลคาไนซ์จากการเบลนด์ NR/RR/PEC เมื่อใช้สารเพิ่มความเข้ากันได้ชนิด PEC-g-Ph ร่วมกับการใช้สารดัดแปรฟีนอลิกเรซิน

| Blend                              | Tensile strength (MPa) |           | Change in property of tensile strength (%) |
|------------------------------------|------------------------|-----------|--|
|                                    | Unaged                 | Aged      |  |
| NR/RR/PEC                          | 5.81±0.06              | 5.16±0.67 | -11.19                                     |
| NR/RR/PEC<br>with PEC-g-Ph         | 6.07±0.05              | 5.38±0.06 | -11.37                                     |
| Treated NR/RR/PEC                  | 7.23±0.29              | 6.09±0.30 | -15.77                                     |
| Treated NR/RR/PEC<br>with PEC-g-Ph | 7.41±0.15              | 6.36±0.12 | -14.17                                     |

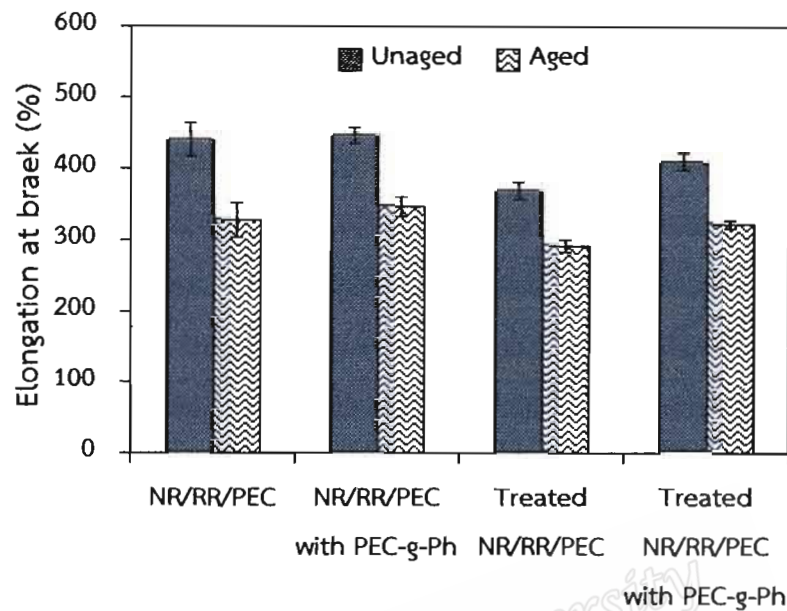
ตารางที่ 4.17 ความสามารถในการยืดจนขาดภายหลังบ่มแรงของเทอร์โมพลาสติกวัลคาไนซ์จากการเบลนด์ NR/RR/PEC เมื่อใช้สารเพิ่มความเข้ากันได้ชนิด PEC-g-Ph ร่วมกับการใช้สารดัดแปรฟีนอลิกเรซิน

| Blend                              | Elongation at break (%) |           | Change in property of elongation at break (%) |
|------------------------------------|-------------------------|-----------|---|
|                                    | Unaged                  | Aged      |   |
| NR/RR/PEC                          | 439±24.64               | 328±24.08 | -25.28  |
| NR/RR/PEC<br>with PEC-g-Ph         | 445±12.64               | 347±13.47 | -22.02  |
| Treated NR/RR/PEC                  | 368±13.74               | 292±8.59  | -20.65  |
| Treated NR/RR/PEC<br>with PEC-g-Ph | 407±12.36               | 322±5.71  | -20.88  |

จากตารางที่ 4.16 และ 4.17 สามารถเขียนกราฟความสัมพันธ์ระหว่างความต้านทานต่อแรงดึง และความสามารถในการยืดจนขาดก่อนและหลังบ่มแรงของเทอร์โมพลาสติกวัลคาไนซ์เมื่อใช้สารเพิ่มความเข้ากันได้ชนิด PEC-g-Ph ดังแสดงในรูปที่ 4.80 และ 4.81 รวมถึงแสดงกราฟเปอร์เซ็นต์การเปลี่ยนแปลงของสมบัติหลังบ่มแรงในรูปที่ 4.82



รูปที่ 4.80 ความต้านทานต่อแรงดึงก่อนและหลังบ่มแรงของเทอร์โมพลาสติกวัลคาไนซ์จากการเบลนด์ NR/RR/PEC เมื่อใช้สารเพิ่มความเข้ากันได้ชนิด PEC-g-Ph ร่วมกับการใช้สารดัดแปรฟีนอลิกเรซิน

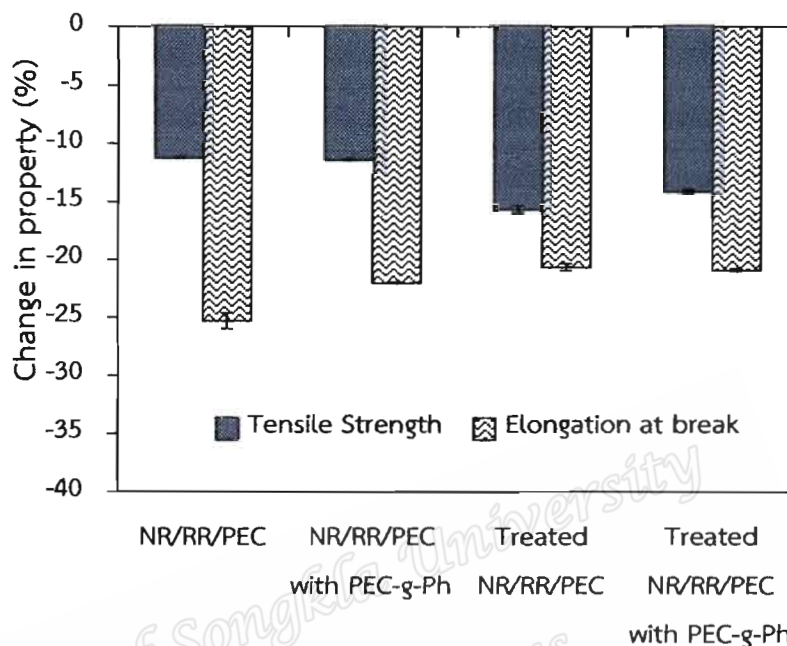


รูปที่ 4.81 ความสามารถในการยืดจนขาดก่อนและหลังบ่มแรงของเทอร์โมพลาสติกวัลคาไนซ์จากการเบลนด์ NR/RR/PEC เมื่อใช้สารเพิ่มความเข้ากันได้ชนิด PEC-g-Ph ร่วมกับการใช้สารดัดแปรฟีนอลิกเรซิน

จากรูปที่ 4.80 และ 4.81 พบว่าความต้านทานต่อแรงดึง และความสามารถในการยืดจนขาดภายหลังบ่มแรงของเทอร์โมพลาสติกวัลคาไนซ์มีค่าน้อยกว่าก่อนบ่มแรง เนื่องจากผลของการเสื่อมสภาพในเฟสยางธรรมชาติภายหลังการบ่มแรง ในขณะที่เมื่อเปรียบเทียบผลของการใช้และไม่ใช้สารเพิ่มความเข้ากันได้ชนิด PEC-g-Ph ร่วมกับการใช้และไม่ใช้สารดัดแปรฟีนอลิกเรซินจะให้ผลการทดลองคล้ายคลึงกับผลสมบัติเชิงกลก่อนบ่มแรง กล่าวคือเทอร์โมพลาสติกวัลคาไนซ์ที่ใช้สารดัดแปรฟีนอลิกเรซินจะให้ค่าความต้านต่อแรงดึงสูงกว่า ในขณะที่ความสามารถในการยืดจนขาดมีค่าต่ำกว่า เทอร์โมพลาสติกวัลคาไนซ์ที่ไม่ใช้สารดัดแปร ส่วนการใช้สารเพิ่มความเข้ากันได้ชนิด PEC-g-Ph ส่งผลให้ความต้านต่อแรงดึงและความสามารถในการยืดจนขาดของเทอร์โมพลาสติกวัลคาไนซ์เพิ่มขึ้นเล็กน้อย

เมื่อพิจารณาเปอร์เซ็นต์การเปลี่ยนแปลงสมบัติซึ่งแสดงในรูปที่ 4.82 พบว่าเปอร์เซ็นต์การเปลี่ยนแปลงสมบัติของค่าความต้านทานต่อแรงดึงและความสามารถในการยืดจนขาดมีค่าติดลบ และเทอร์โมพลาสติกวัลคาไนซ์ที่ใช้สารดัดแปรฟีนอลิกเรซินให้เปอร์เซ็นต์การเปลี่ยนแปลงสมบัติความต้านทานต่อแรงดึงมากกว่าเทอร์โมพลาสติกวัลคาไนซ์ที่ไม่ใช้สารดัดแปรเล็กน้อย ในขณะที่เปอร์เซ็นต์การเปลี่ยนแปลงสมบัติความสามารถในการยืดจนขาดต่ำกว่า นอกจากนี้พบว่าเทอร์โม

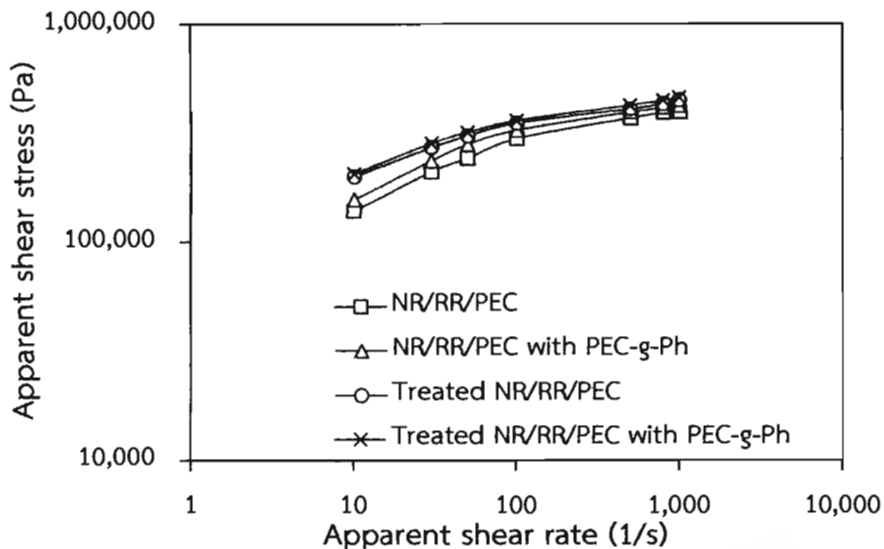
พลาสติกที่ใช้และไม่ใช้สารเพิ่มความเข้ากันได้ชนิด PEC-g-Ph จะให้เปอร์เซ็นต์การเปลี่ยนแปลงสมบัติไม่แตกต่างกัน



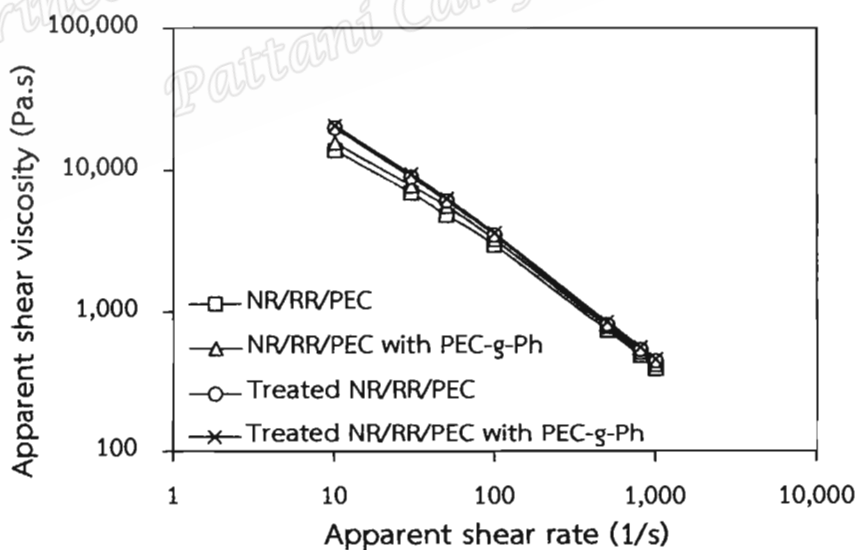
รูปที่ 4.82 เปอร์เซ็นต์การเปลี่ยนแปลงของสมบัติความต้านต่อแรงดึงและความสามารถในการยืดจนขาดภายหลังบ่มเร่งของเทอร์โมพลาสติกวัลคาไนซ์จากการเบลนด์ NR/RR/PEC เมื่อใช้สารเพิ่มความเข้ากันได้ชนิด PEC-g-Ph ร่วมกับการใช้สารดัดแปรฟีนอลิกเรซิน

4.6.5 การศึกษาอิทธิพลของการใช้สารเพิ่มความเข้ากันได้ชนิด PEC-g-Ph ร่วมกับการใช้สารดัดแปรฟีนอลิกเรซินต่อสมบัติการไหลของเทอร์โมพลาสติกวัลคาไนซ์จากการเบลนด์ระหว่าง NR/RR/PEC

นำเทอร์โมพลาสติกวัลคาไนซ์ที่เตรียมได้มาทดสอบสมบัติการไหลตามวิธีการทดลองในหัวข้อที่ 3.8.5 เปรียบเทียบสมบัติการไหลของเทอร์โมพลาสติกวัลคาไนซ์เพื่อศึกษาผลของการใช้สารเพิ่มความเข้ากันได้ชนิด PEC-g-Ph แสดงความสัมพันธ์ระหว่างความเค้นเฉือนปรากฏกับอัตราเฉือนปรากฏ และความหนืดเฉือนปรากฏกับอัตราเฉือนปรากฏดังแสดงในรูปที่ 4.83 และ 4.84



รูปที่ 4.83 ความสัมพันธ์ระหว่างความเค้นเฉือนปรากฏกับอัตราเฉือนปรากฏของเทอร์โมพลาสติกวัลคาไนซ์จากการเบลนด์ NR/RR/PEC เมื่อใช้สารเพิ่มความเข้ากันได้ชนิด PEC-g-Ph ร่วมกับการใช้สารดัดแปรฟีนอลิกเรซิน

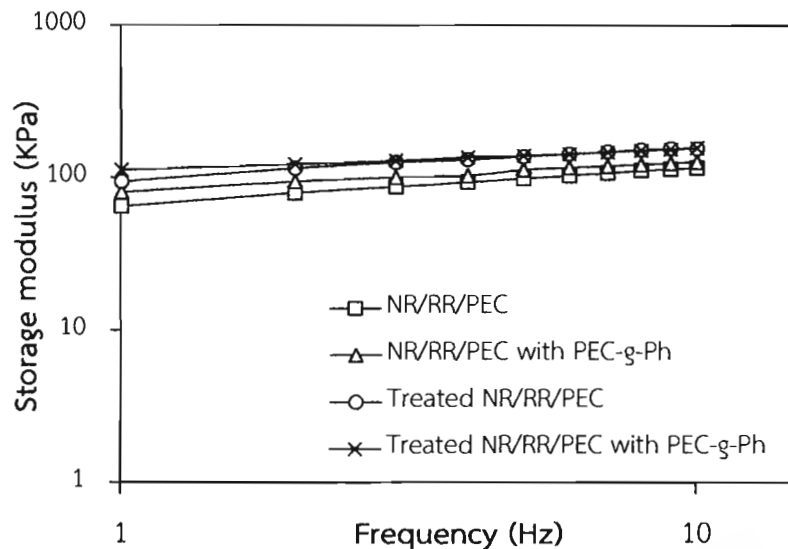


รูปที่ 4.84 ความสัมพันธ์ระหว่างความหนืดเฉือนปรากฏกับอัตราเฉือนปรากฏของเทอร์โมพลาสติกวัลคาไนซ์จากการเบลนด์ NR/RR/PEC เมื่อใช้สารเพิ่มความเข้ากันได้ชนิด PEC-g-Ph ร่วมกับการใช้สารดัดแปรฟีนอลิกเรซิน

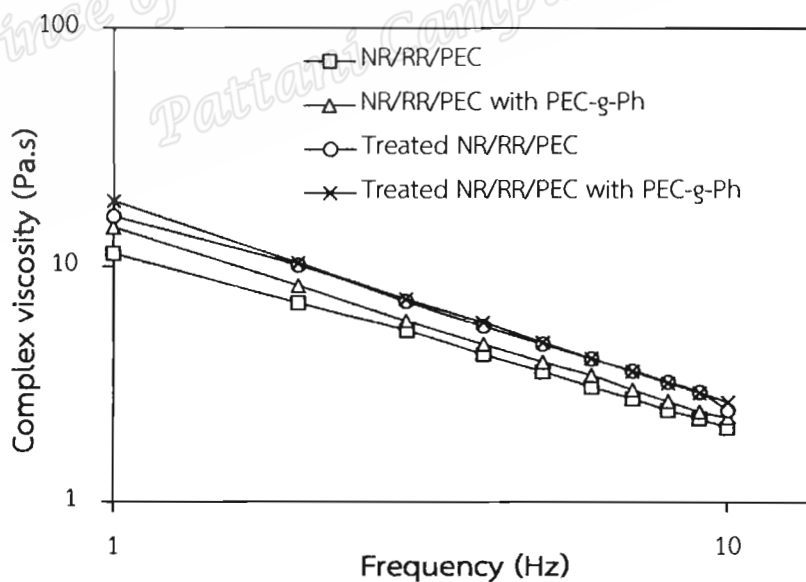
จากรูปที่ 4.83 และ 4.84 เมื่อพิจารณาที่อัตราเฉือนปรากฏเดียวกันพบว่าเทอร์โมพลาสติกวัลคาไนซ์ที่ใช้สารดัดแปรฟีนอลิกเรซิน ไม่ว่าจะมีการใช้สารเพิ่มความเข้ากันชนิด PEC-g-Ph (Treated NR/RR/PEC with PEC-g-Ph และ Treated NR/RR/PEC) ให้ค่าความเค้นเฉือนปรากฏและความหนืดเฉือนปรากฏใกล้เคียงกัน และมีค่ามากกว่าของเทอร์โมพลาสติกวัลคาไนซ์ที่ไม่ใช้สารดัดแปรทั้ง 2 สูตร (NR/RR/PEC with PEC-g-Ph และ NR/RR/PEC) แสดงให้เห็นว่าการใช้สารดัดแปรฟีนอลิกเรซินทำให้เทอร์โมพลาสติกวัลคาไนซ์เกิดการหลอมและไหลได้ยากขึ้น เนื่องมาจากผลของการเพิ่มความเข้ากันได้ระหว่างเฟสยางธรรมชาติกับยางรีเคลมด้วยฟีนอลิกเรซินที่ผูกผสมเข้ากับยางรีเคลมและยางธรรมชาติในขั้นตอนการเตรียมยางคอมพาวนด์ นอกจากนี้การเพิ่มความเข้ากันได้ระหว่างเฟสต่างๆที่เกิดขึ้นอาจส่งผลให้ช่วยลดแรงดึงผิวและทำให้มีแรงยึดเหนี่ยวระหว่างเฟสเพิ่มมากขึ้น ทำให้การส่งผ่านแรงเค้นระหว่างเฟสยางและเฟสพลาสติกมีประสิทธิภาพมากขึ้น รวมถึงยังช่วยให้การลื่นไถลระหว่างผิวลดลง

#### 4.6.6 การศึกษาอิทธิพลของการใช้สารเพิ่มความเข้ากันได้ชนิด PEC-g-Ph ร่วมกับการใช้สารดัดแปรฟีนอลิกเรซินต่อสมบัติเชิงกลพลวัตของเทอร์โมพลาสติกวัลคาไนซ์จากการเบลนด์ระหว่าง NR/RR/PEC

นำเทอร์โมพลาสติกวัลคาไนซ์จากการเบลนด์ระหว่าง NR/RR/PEC โดยศึกษาผลของการใช้สารเพิ่มความเข้ากันได้ชนิด PEC-g-Ph นำมาทดสอบสมบัติเชิงกลพลวัตด้วยเครื่อง MDPT ตามวิธีการทดลองในหัวข้อที่ 3.8.6 ได้กราฟความสัมพันธ์ระหว่างมอดุลัสสะสม ความหนืดเชิงซ้อน และ  $\tan \delta$  กับความถี่ ดังแสดงในรูปที่ 4.85-4.87 ตามลำดับ

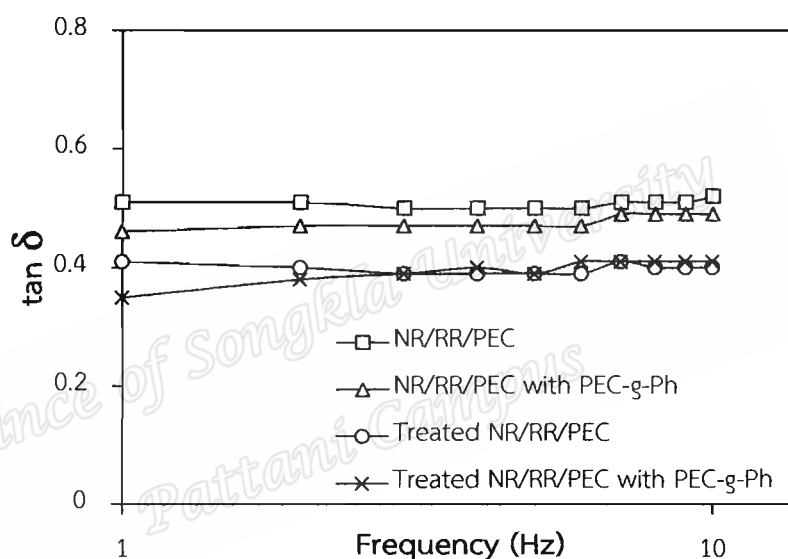


รูปที่ 4.85 ความสัมพันธ์ระหว่างมอดุลัสสะสมกับความถี่ของเทอร์โมพลาสติกวัลคาไนซ์จากการเบลนด์ NR/RR/PEC เมื่อใช้สารเพิ่มความเข้ากันได้ชนิด PEC-g-Ph ร่วมกับการใช้สารดัดแปรฟีนอลิกเรซิน



รูปที่ 4.86 ความสัมพันธ์ระหว่างความหนืดเชิงซ้อนกับความถี่ของเทอร์โมพลาสติกวัลคาไนซ์จากการเบลนด์ NR/RR/PEC เมื่อใช้สารเพิ่มความเข้ากันได้ชนิด PEC-g-Ph ร่วมกับการใช้สารดัดแปรฟีนอลิกเรซิน

จากรูปที่ 4.85 และ 4.86 พบว่าเทอร์โมพลาสติกวัลคาไนซ์ที่มีการใช้สารดัดแปรฟีนอลิกเรซินให้มอดุลัสสะสมและความหนืดเชิงซ้อนสูงกว่ากรณีไม่ใช้สารดัดแปรในการปรับปรุงความเข้ากันได้ ในขณะที่เมื่อเปรียบเทียบระหว่างการใช้และไม่ใช้สารเพิ่มความเข้ากันได้ชนิด PEC-g-Ph พบว่าเทอร์โมพลาสติกวัลคาไนซ์ที่มีการใช้สารเพิ่มความเข้ากันได้ชนิด PEC-g-Ph ให้มอดุลัสสะสมและความหนืดเชิงซ้อนสูงกว่า แสดงให้เห็นว่าการใช้สารดัดแปรฟีนอลิกเรซินร่วมกับการใช้สารเพิ่มความเข้ากันได้ชนิด PEC-g-Ph ช่วยเสริมให้โมเลกุลของเทอร์โมพลาสติกวัลคาไนซ์มีความแข็งแรงมากขึ้นจึงต้านการบิดของโรเตอร์สูงและไหลได้ยาก

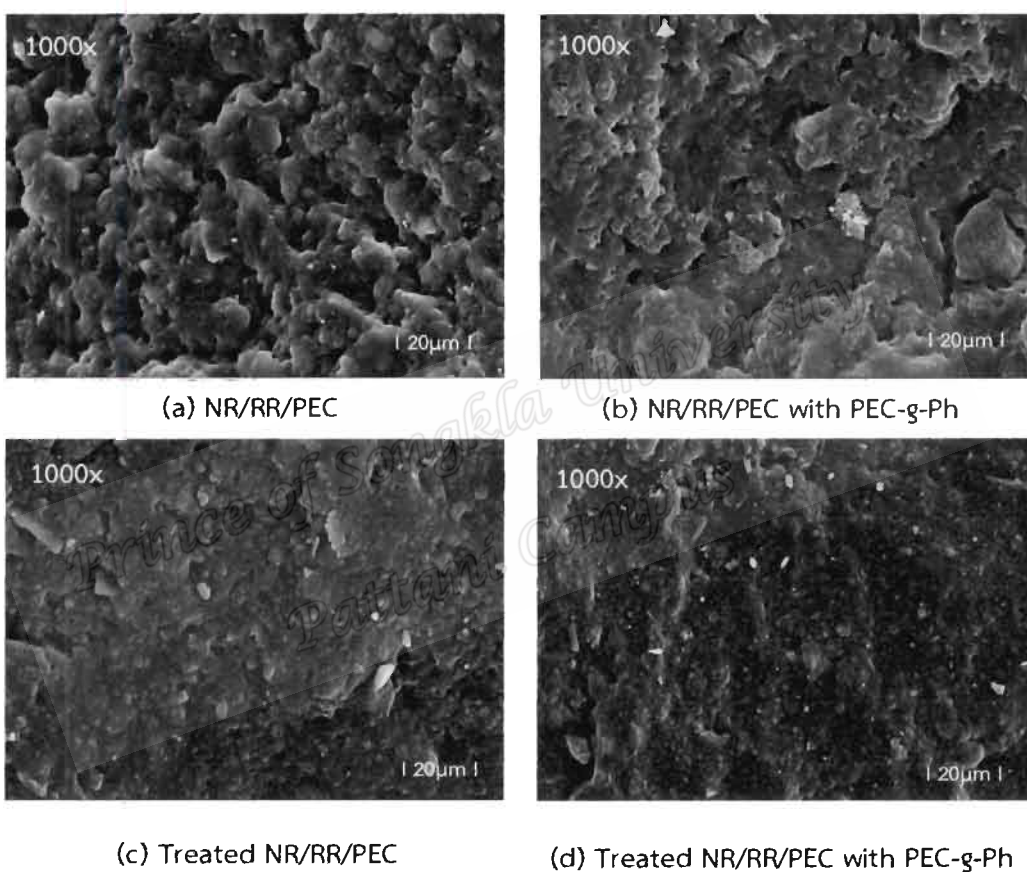


รูปที่ 4.87 ความสัมพันธ์ระหว่าง  $\tan \delta$  กับความถี่ของเทอร์โมพลาสติกวัลคาไนซ์จากการเบลนด์ NR/RR/PEC เมื่อใช้สารเพิ่มความเข้ากันได้ชนิด PEC-g-Ph ร่วมกับการใช้สารดัดแปรฟีนอลิกเรซิน

จากรูปที่ 4.87 เมื่อพิจารณาที่ความถี่เดียวกันพบว่าเทอร์โมพลาสติกวัลคาไนซ์สูตร NR/RR/PEC ให้ค่า  $\tan \delta$  สูงที่สุด รองลงมาคือ NR/RR/PEC with PEC-g-Ph ในขณะที่ Treated NR/RR/PEC with PEC-g-Ph และ Treated NR/RR/PEC มีค่าไม่แตกต่างกัน แสดงให้เห็นว่าการใช้สารดัดแปรฟีนอลิกเรซินและการใช้สารเพิ่มความเข้ากันได้ชนิด PEC-g-Ph ทำให้พื้นที่บริเวณผิวประจัญระหว่างเฟสทั้งสาม มีการยึดเหนี่ยวกันและเข้ากันได้มากขึ้นจึงสามารถส่งผ่านพลังงานบริเวณรอยต่อเฟสได้ดี ทำให้เกิดการสูญเสียพลังงานที่อยู่ในรูปของความร้อนน้อยที่สุดและมีการตอบสนองแบบออสติคสูงที่สุด ซึ่งสอดคล้องกับความสามารถในการคืนรูปซึ่งแสดงในรูปที่ 4.77

#### 4.6.7 การศึกษาอิทธิพลของการใช้สารเพิ่มความเข้ากันได้ชนิด PEC-g-Ph ร่วมกับการใช้สารดัดแปรฟีนอลิกเรซินต่อสัณฐานวิทยาของเทอร์โมพลาสติกวัลคาไนซ์จากการเบลนดระหว่าง NR/RR/PEC

นำเทอร์โมพลาสติกวัลคาไนซ์จากการเบลนดระหว่าง NR/RR/PEC ที่ศึกษาผลของการใช้สารเพิ่มความเข้ากันได้ชนิด PEC-g-Ph มาศึกษาลักษณะสัณฐานวิทยา ได้ผลการทดลองแสดงดังรูปที่ 4.88



รูปที่ 4.88 ลักษณะสัณฐานวิทยาของเทอร์โมพลาสติกวัลคาไนซ์จากการเบลนด NR/RR/PEC เมื่อใช้สารเพิ่มความเข้ากันได้ชนิด PEC-g-Ph ร่วมกับการใช้สารดัดแปรฟีนอลิกเรซิน

จากรูปที่ 4.88 พบว่าเทอร์โมพลาสติกวัลคาไนซ์ที่มีการใช้สารดัดแปรฟีนอลิกเรซิน (รูปที่ 4.88(C) และ 4.88(d)) จะมีลักษณะพื้นผิวที่สม่ำเสมอและเป็นเนื้อเดียวกันมากกว่าสูตรที่ไม่ใช้สารดัดแปรฟีนอลิกเรซิน (รูปที่ 4.88(a) และ 4.88(b)) และเมื่อเปรียบเทียบการใช้และไม่ใช้สารเพิ่มความเข้ากันได้ PEC-g-Ph พบว่าเมื่อใช้สารเพิ่มความเข้ากันได้ชนิด PEC-g-Ph (รูปที่ 4.88(b) และ 4.88(d))

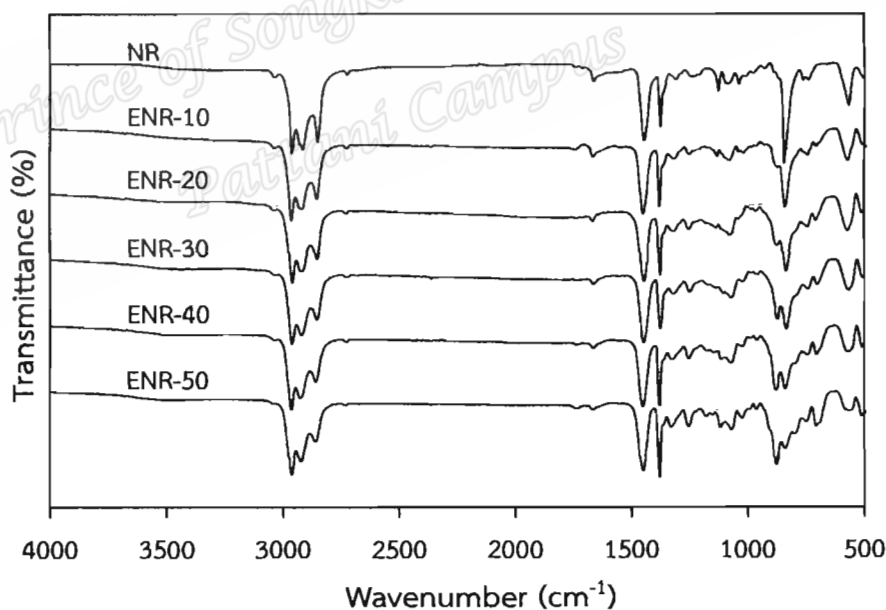
พบว่าเฟสยางในเทอร์โมพลาสติกวัลคาไนซ์จะเกิดการกระจายตัวที่ดีกว่าเมื่อเทียบกับไม่ใช้ (รูปที่ 4.88(a) และ 4.88(c)) รวมถึงจะให้ลักษณะของพื้นผิวที่สม่ำเสมอมากกว่า ซึ่งลักษณะสัณฐานวิทยาที่ได้สอดคล้องกับสมบัติเชิงกล สมบัติการไหล และสมบัติเชิงกลพลวัต โดยใช้สารดัดแปรฟีนอลิกเรซินร่วมกับสารเพิ่มความเข้ากัน PEC-g-Ph (Treated NR/RR/PEC with PEC-g-Ph) ให้สมบัติโดยรวมที่ดีที่สุด

#### 4.7 การศึกษาอิทธิพลของชนิดยางธรรมชาติต่อสมบัติเทอร์โมพลาสติกวัลคาไนซ์จากการเบลนด์ระหว่างยางธรรมชาติ ยางรีเคลม และโพรพิลีนเอทิลีนโคพอลิเมอร์

##### 4.7.1 ยางธรรมชาติอีพอกไซด์

##### 4.7.1.1 การวิเคราะห์โครงสร้างทางเคมีของยางธรรมชาติอีพอกไซด์

ทำการวิเคราะห์โครงสร้างของยางธรรมชาติอีพอกไซด์ที่เตรียมขึ้นตามวิธีการทดลองในหัวข้อที่ 3.3.7 ด้วยเทคนิคอินฟราเรดสเปกโตรสโคปี ได้สเปกตรัมของยางธรรมชาติอีพอกไซด์ ดังแสดงในรูปที่ 4.89



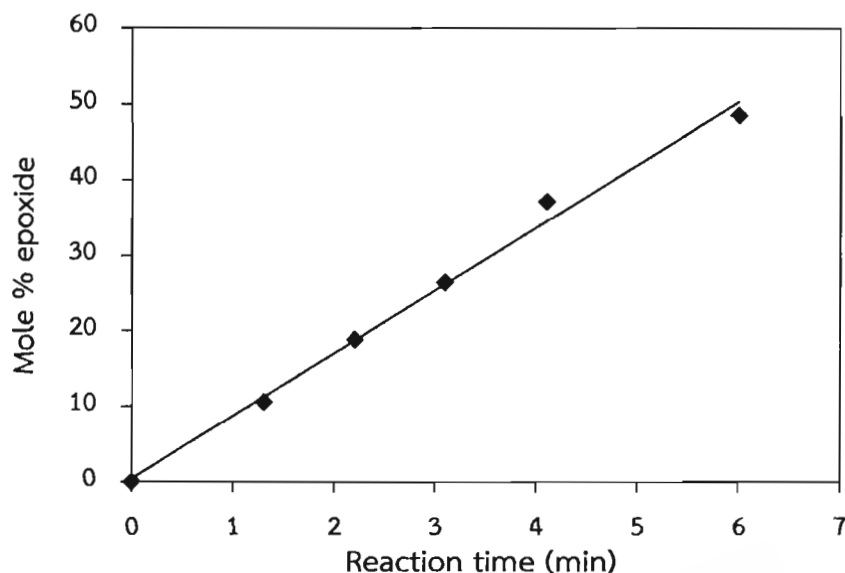
รูปที่ 4.89 สเปกตรัม FTIR ของยางธรรมชาติอีพอกไซด์ที่มีปริมาณหมู่อีพอกไซด์ในระดับต่างๆ เปรียบเทียบกับสเปกตรัมของยางธรรมชาติ

จากรูปที่ 4.89 แสดงสเปกตรัม FTIR ของยางธรรมชาติอีพอกไซด์เปรียบเทียบกับยางธรรมชาติ(NR) จะเห็นว่าสเปกตรัมของยางธรรมชาติอีพอกไซด์จะปรากฏแถบการดูดกลืนที่ตำแหน่งเลขคลื่น  $870\text{ cm}^{-1}$  และ  $1240\text{ cm}^{-1}$  เพิ่มขึ้นมาซึ่งแสดงถึงการเกิดวงแหวนออกซิเรน (Oxirane ring) หรือหมู่อีพอกไซด์ที่เกาะติดบนโมเลกุลของยางธรรมชาติ และพบว่าความเข้มของพีคที่ตำแหน่งเลขคลื่น  $835\text{ cm}^{-1}$  ซึ่งแสดงถึงการสั่นแบบยึดของพันธะคู่ (cis C=C) และ C-H out of plane bending ของพันธะ -C-H ที่ต่อกับ C=C ซึ่งเป็นหมู่ฟังก์ชันของยางธรรมชาติ จะลดลงตามปริมาณของหมู่อีพอกไซด์ที่เพิ่มขึ้น และจากสเปกตรัม FTIR สามารถนำไปคำนวณหาอัตราส่วนการดูดกลืนแสงอินฟราเรด (Absorbance ratio, Ar) ของหมู่อีพอกไซด์ที่ตำแหน่งเลขคลื่น  $870\text{ cm}^{-1}$  เปรียบเทียบตำแหน่งเลขคลื่นที่  $835\text{ cm}^{-1}$  โดยใช้สมการที่ 2.1 จากนั้นนำอัตราส่วนการดูดกลืนแสงอินฟราเรดที่ได้ไปเปรียบเทียบกับค่ากราฟมาตรฐานของ Davey and Loadman (1984) ซึ่งแสดงในรูปที่ 2.3 ได้ผลดังตารางที่ 4.18

ตารางที่ 4.18 ปริมาณหมู่อีพอกไซด์เมื่อใช้ระยะเวลาการทำปฏิกิริยาที่แตกต่างกัน ที่อุณหภูมิในการทำปฏิกิริยา  $50^{\circ}\text{C}$

| Reaction time (hr) | Epoxide content (mole%) |
|--------------------|-------------------------|
| 1.30               | 10.56                   |
| 2.30               | 18.82                   |
| 3.30               | 26.45                   |
| 4.30               | 37.18                   |
| 6.30               | 48.55                   |

จากตารางที่ 4.18 สามารถนำเขียนกราฟความสัมพันธ์ระหว่างปริมาณหมู่อีพอกไซด์กับระยะเวลาการทำปฏิกิริยาอีพอกซิเดชันได้ดังแสดงในรูปที่ 4.90



รูปที่ 4.90 ความสัมพันธ์ระหว่างปริมาณหมู่เอพอกไซด์กับระยะเวลาการทำปฏิกิริยา

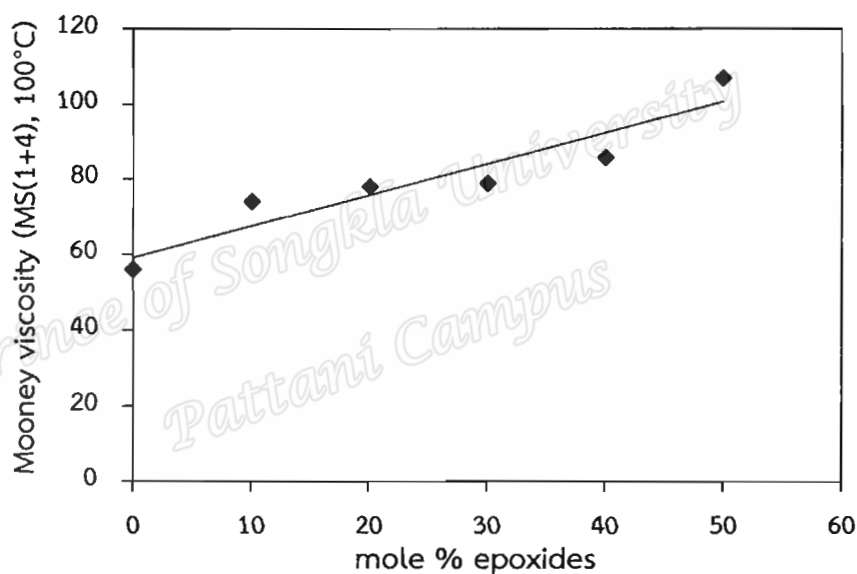
จากรูปที่ 4.90 พบว่าเมื่อเพิ่มเวลาในการทำปฏิกิริยาอีพอกซิเดชัน จะทำให้เกิดปริมาณหมู่เอพอกไซด์ในโมเลกุลของยางธรรมชาติเพิ่มมากขึ้น เนื่องจากกรดเปอร์ฟอร์มิกจะทำปฏิกิริยากับโครงสร้างไม่อิ่มตัวของยางธรรมชาติ ได้โมเลกุลที่มีวงแหวนอีพอกไซด์บนโครงสร้างและกรดฟอร์มิกที่เป็นผลพลอยได้จากปฏิกิริยา และสามารถเกิดปฏิกิริยากับไฮโดรเจนเปอร์ออกไซด์ได้อีก ทำให้ปฏิกิริยาสามารถเกิดได้อย่างต่อเนื่องจนกว่าไฮโดรเจนเปอร์ออกไซด์จะหมด ดังนั้นจึงทำให้มีปริมาณหมู่เอพอกไซด์เพิ่มขึ้นตามระยะเวลาในการทำปฏิกิริยาที่เพิ่มขึ้น

#### 4.7.1.2 ความหนืดมูนนี่ (Mooney viscosity) ของยางธรรมชาติอีพอกไซด์

นำยางธรรมชาติและยางอีพอกไซด์ที่เตรียมได้ซึ่งมีปริมาณหมู่เอพอกไซด์แตกต่างกัน มาทดสอบหาค่าความหนืดมูนนี่ ตามวิธีการทดลองในหัวข้อที่ 3.4.1 ได้ผลการทดลองตามตารางที่ 4.19 และสามารถนำไปเขียนกราฟความสัมพันธ์ระหว่างความหนืดมูนนี่กับปริมาณหมู่เอพอกไซด์ในยางธรรมชาติอีพอกไซด์ได้ดังแสดงในรูปที่ 4.91

ตารางที่ 4.19 ความหนืดมูนีของยางธรรมชาติและยางธรรมชาติอีพอกไซด์

| Types of rubber | Mooney viscosity (MS(1+4), 100°C) |
|-----------------|-----------------------------------|
| NR              | 56                                |
| ENR-10          | 74                                |
| ENR-20          | 78                                |
| ENR-30          | 79                                |
| ENR-40          | 86                                |
| ENR-50          | 107                               |

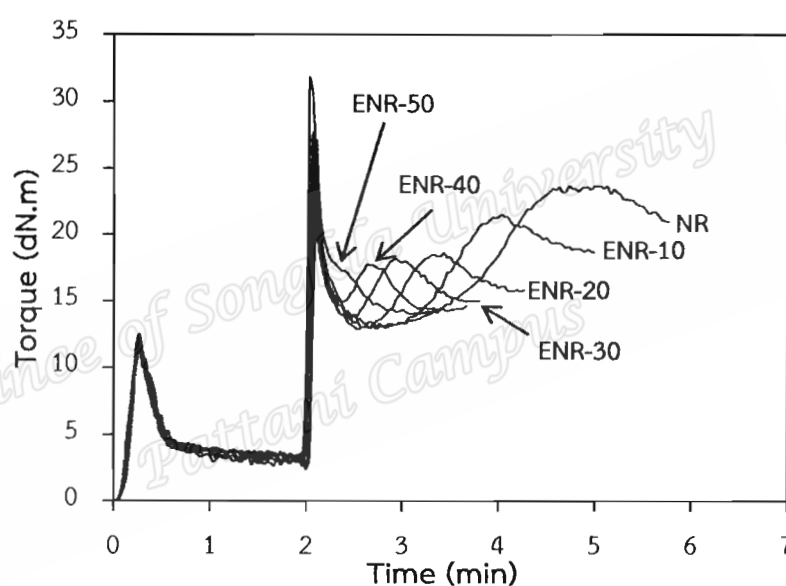


รูปที่ 4.91 ความสัมพันธ์ระหว่างความหนืดมูนีของยางธรรมชาติเปรียบเทียบกับยางธรรมชาติอีพอกไซด์ที่มีปริมาณหมู่อีพอกไซด์ที่ระดับต่างๆ

จากตารางที่ 4.19 และรูปที่ 4.91 พบว่าค่าความหนืดมูนีของยางธรรมชาติอีพอกไซด์มีค่าสูงกว่ายางธรรมชาติ และจะมีค่าความหนืดมูนีเพิ่มขึ้นตามปริมาณหมู่อีพอกไซด์ที่เพิ่มขึ้น เนื่องจากการตัดแปรมอเลกุลยางธรรมชาติด้วยปฏิกิริยาอีพอกซิเดชันทำให้พันธะในโมเลกุลยางเปลี่ยนเป็นหมู่อีพอกไซด์ที่มีสภาพขั้ว ซึ่งการเพิ่มหมู่อีพอกไซด์เป็นการเพิ่มสภาพขั้วในโมเลกุลยาง ส่งผลให้เกิดแรงยึดเหนี่ยวระหว่างโมเลกุลสูงขึ้น (ภุริพงศ์, 2548) อีกทั้งหมู่อีพอกไซด์เป็นหมู่ขนาดใหญ่ที่สามารถขัดขวางความเป็นระเบียบของสายโซ่ยางธรรมชาติได้ ส่งผลให้ยางธรรมชาติอีพอกไซด์ไหลได้ยากขึ้นตามปริมาณหมู่อีพอกไซด์ที่เพิ่มขึ้น

#### 4.7.2 การศึกษาอิทธิพลของชนิดยางธรรมชาติต่อพฤติกรรมการผสมในการเตรียมเทอร์โมพลาสติกวัลคาไนซ์จากการเบลนด์ NR/RR/PEC

เตรียมเทอร์โมพลาสติกวัลคาไนซ์จากการเบลนด์ระหว่างยางธรรมชาติ ยางรีเคลม และ โพรพิลีนเอทิลีนโคพอลิเมอร์ด้วยวิธีการผสมแบบ Melt mixing method และใช้ปริมาณสารตัดแปรรูตินปริมาณ 10 phr โดยแปรชนิดยางธรรมชาติ ได้แก่ ยางแผ่นรมควัน (NR) และยางธรรมชาติอีพอกไซด์ที่มีปริมาณหมู่อีพอกไซด์ 10 (ENR-10), 20 (ENR-20), 30 (ENR-30), 40 (ENR-40) และ 50 (ENR-50) เปอร์เซ็นต์โดยโมล ได้กราฟความสัมพันธ์ระหว่างทอร์กการผสมกับเวลาการผสมดังแสดงในรูปที่ 4.92



รูปที่ 4.92 ความสัมพันธ์ระหว่างค่าทอร์กกับเวลาการผสมของเทอร์โมพลาสติกวัลคาไนซ์เมื่อแปรชนิดยางธรรมชาติ

จากรูปที่ 4.91 พบว่าที่เวลาประมาณนาทีที่ 2 เป็นช่วงที่ใส่ยางคอมพาวนด์เข้าไปผสมกับโพรพิลีนเอทิลีนโคพอลิเมอร์ พบว่าเมื่อพิจารณาในช่วงการเกิดการวัลคาไนซ์แบบไดนามิกซ์จะมีระยะเวลาที่ใช้ในการวัลคาไนซ์และค่าทอร์กสูงสุดที่การวัลคาไนซ์สมบูรณ์ลดลงตามปริมาณหมู่อีพอกไซด์ที่เพิ่มขึ้น ดังข้อมูลสรุปในตารางที่ 4.20 เนื่องจากการมีหมู่อีพอกไซด์บนสายโซ่โพลิเมอร์ของยางเพิ่มมากขึ้น ส่งผลให้ปริมาณของพันธะคู่ในโมเลกุลยางธรรมชาติลดลง (Poh *et al.*, 2000 และ Noriman *et al.*, 2010) ทำให้การเกิดพันธะเชื่อมขวางด้วยกำมะถันมีน้อยลง ส่งผลให้ความหนาแน่นพันธะเชื่อมขวางลดลงตามปริมาณหมู่อีพอกไซด์ที่เพิ่มขึ้น อย่างไรก็ตามการที่ระยะเวลา

การวัลคาไนซ์ของเทอร์โมพลาสติกวัลคาไนซ์ที่ระยะเวลาสั้นลงตามปริมาณของหมู่เอพอกไซด์ในยางธรรมชาติเอพอกไซด์ที่มากขึ้น น่าจะมาจากผลของอันตรกิริยาหรือปฏิกิริยาที่อาจเกิดขึ้นระหว่างฟีนอลิกเรซินกับหมู่ oxirane ring ในยางธรรมชาติเอพอกไซด์

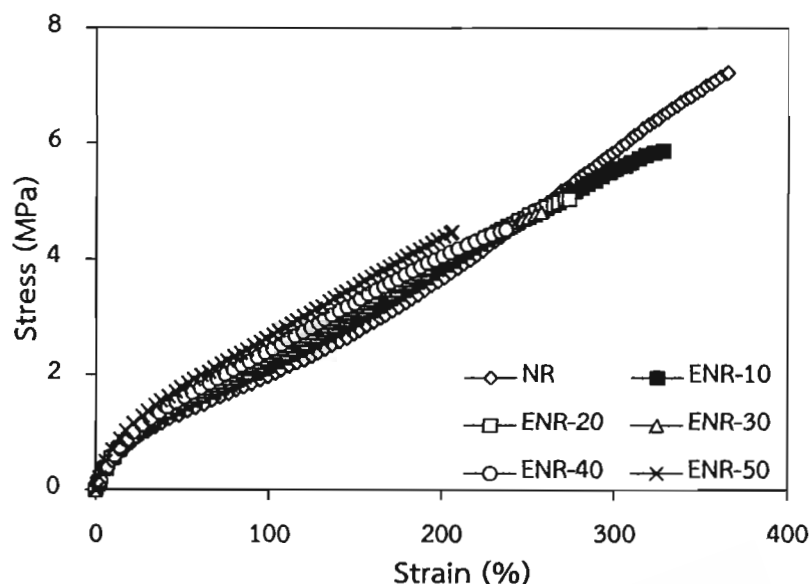
ตารางที่ 4.20 ค่าทอร์กสูงสุดและระยะเวลาการเกิดการวัลคาไนซ์แบบไดนามิกซ์

| Type of rubber | Max torque<br>(dN.m) | Time of<br>vulcanization (min) |
|----------------|----------------------|--------------------------------|
| NR             | 23.67                | 1.4                            |
| ENR-10         | 21.49                | 1.48                           |
| ENR-20         | 18.58                | 0.86                           |
| ENR-30         | 18.14                | 0.26                           |
| ENR-40         | 17.72                | 0.14                           |
| ENR-50*        | -                    | -                              |

หมายเหตุ \*ENR-50 ทอร์กจะมีค่าลดลงเรื่อยๆไม่ปรากฏพีคที่ชัดเจน

#### 4.7.3 การศึกษาอิทธิพลของชนิดยางธรรมชาติต่อสมบัติเชิงกลของเทอร์โมพลาสติกวัลคาไนซ์จากการเบลนด์ระหว่าง NR/RR/PEC

นำเทอร์โมพลาสติกวัลคาไนซ์ที่เตรียมจากการเบลนด์ NR/RR/PEC โดยแปรชนิดยางธรรมชาติ มาศึกษาสมบัติเชิงกล ได้กราฟความสัมพันธ์ระหว่างความเค้นกับความเครียดของเทอร์โมพลาสติกวัลคาไนซ์ดังแสดงในรูปที่ 4.93



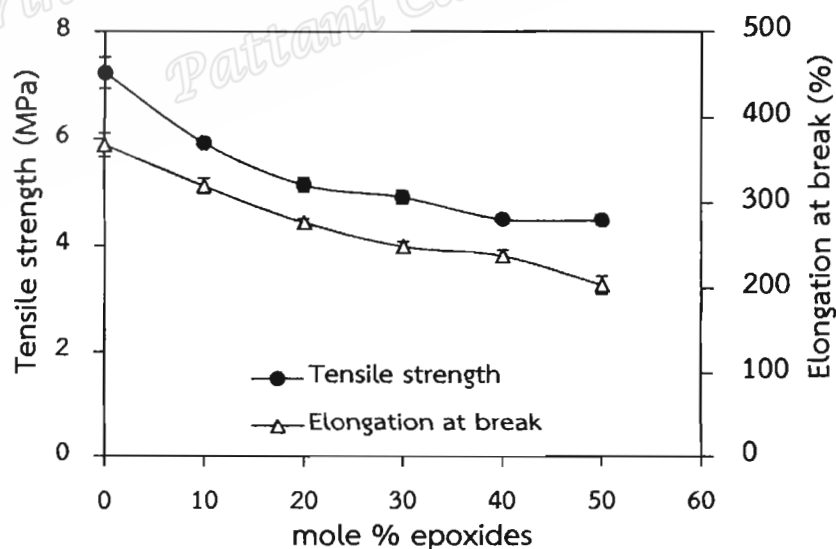
รูปที่ 4.93 ความสัมพันธ์ระหว่างความเค้นกับความเครียดของเทอร์โมพลาสติกวัลคาไนซ์จากการเบลนด์ NR/RR/PEC เมื่อแปรชนิดยางธรรมชาติ

จากรูปที่ 4.93 เมื่อพิจารณาคู่ค่าที่ระยะยืด 100% พบว่าเทอร์โมพลาสติกวัลคาไนซ์ที่ใช้ยางธรรมชาติอีพอกไซด์จะมีความแข็งตึงมากกว่ายางธรรมชาติ โดยความแข็งตึงในโมเลกุลของเทอร์โมพลาสติกวัลคาไนซ์มีค่าเพิ่มขึ้นตามปริมาณหมู่อีพอกไซด์ที่เพิ่มขึ้น ในขณะที่ความเหนียวทนของเทอร์โมพลาสติกวัลคาไนซ์กลับมีค่าลดลง เนื่องจากปริมาณของหมู่อีพอกไซด์ที่เพิ่มขึ้นทำให้ยางธรรมชาติอีพอกไซด์มีความเป็นขั้วและความแข็งตึงของสายโซ่โมเลกุลเพิ่มขึ้นจากผลของอันตรกิริยาระหว่างโมเลกุลของยางธรรมชาติอีพอกไซด์ (Nakason *et al.*, 2005) ในขณะที่เดียวกันการมีปริมาณหมู่อีพอกไซด์เพิ่มมากขึ้นจะเป็นการเพิ่มความเกะกะให้โมเลกุลของยางธรรมชาติอีพอกไซด์ จึงทำให้มีความยืดหยุ่นลดลงส่งผลให้ระยะยืดลดลงประกอบกับค่าทอร์กการผสมที่แสดงให้เห็นว่าเทอร์โมพลาสติกวัลคาไนซ์ที่ใช้ยางธรรมชาติอีพอกไซด์จะมีระดับค่าทอร์กที่ตำแหน่งไดนามิกวัลคาไนเซชันลดลง และจากจุดขาดของกราฟความสัมพันธ์ระหว่างความเค้นและความเครียด สามารถนำมาคำนวณหาค่าความต้านทานต่อแรงดึง และความสามารถในการยืดจนขาดของเทอร์โมพลาสติกวัลคาไนซ์ ได้ผลแสดงดังตารางที่ 4.21 รวมทั้งแสดงค่าความสามารถในการคืนรูป และความแข็งด้วย

ตารางที่ 4.21 สมบัติเชิงกลของของเทอร์โมพลาสติกวัลคาไนซ์จากการเบลนด์ NR/RR/PEC เมื่อแปรชนิดยางธรรมชาติ

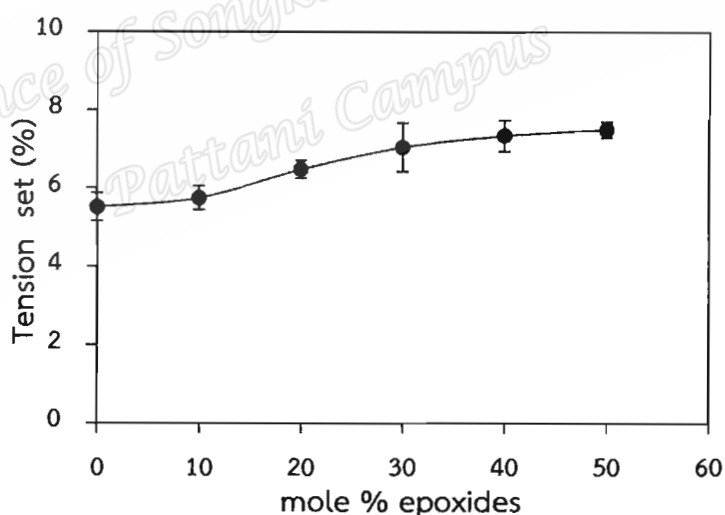
| Type of rubber | Tensile strength (MPa) | Elongation at break (%) | Tension set (%) | Hardness (Shore A) |
|----------------|------------------------|-------------------------|-----------------|--------------------|
| NR             | 7.23±0.29              | 368±13.74               | 5.52±0.35       | 57                 |
| ENR-10         | 5.92±0.06              | 320±8.98                | 5.75±0.30       | 59                 |
| ENR-20         | 5.14±0.13              | 277±4.44                | 6.47±0.23       | 61                 |
| ENR-30         | 4.91±0.12              | 249±5.65                | 7.03±0.62       | 61                 |
| ENR-40         | 4.50±0.05              | 238±6.89                | 7.33±0.40       | 62                 |
| ENR-50         | 4.48±0.10              | 204±10.79               | 7.48±0.20       | 65                 |

จากตารางที่ 4.21 สามารถเขียนกราฟความสัมพันธ์ระหว่างความต้านทานต่อแรงดึง ความสามารถในการยืดจนขาด ความสามารถในการคืนรูป และความแข็ง เมื่อแปรชนิดยางธรรมชาติ ดังแสดงในรูปที่ 4.94, 4.95 และ 4.96 ตามลำดับ

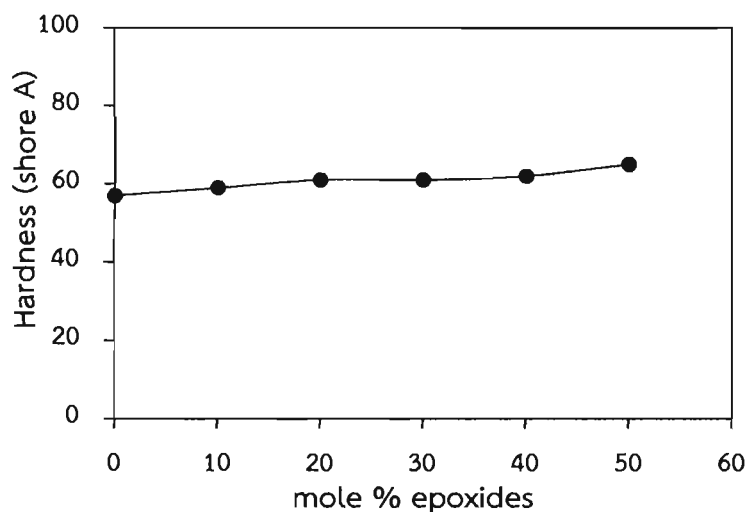


รูปที่ 4.94 ความต้านทานต่อแรงดึงและความสามารถในการยืดจนขาดของเทอร์โมพลาสติกวัลคาไนซ์จากการเบลนด์ NR/RR/PEC เมื่อแปรชนิดยางธรรมชาติ

จากที่รูปที่ 4.94 พบว่าความต้านทานต่อแรงดึงและความสามารถในการยืดจนขาดของเทอร์โมพลาสติกวัลคาไนซ์ที่ใช้ยางธรรมชาติจะมีค่ามากกว่าสมบัติดังกล่าวของยางธรรมชาติอีพอกไซด์อย่างเห็นได้ชัด ในขณะที่เมื่อเปรียบเทียบระหว่างยางธรรมชาติอีพอกไซด์พบว่าความต้านทานต่อแรงดึงและความสามารถในการยืดจนขาดของเทอร์โมพลาสติกวัลคาไนซ์จะมีค่าลดลงตามปริมาณของหมู่อีพอกไซด์ที่เพิ่มขึ้นในโมเลกุล เนื่องจากเมื่อมีปริมาณหมู่อีพอกไซด์เพิ่มมากขึ้นทำให้มีปริมาณพันธะคู่บนสายโซ่โมเลกุลที่จะไปเกิดปฏิกิริยากับสารวัลคาไนซ์ได้น้อยลง ส่งผลให้มีปริมาณพันธะเชื่อมขวางน้อยลงซึ่งสอดคล้องกับความสูงของทอร์กการผสมซึ่งแสดงในรูปที่ 4.90 ในขณะที่การลดลงของความสามารถในการยืดจนขาดนั้นเป็นผลมาจากปริมาณของหมู่อีพอกไซด์ที่เพิ่มขึ้นทำให้ความเคาะในโมเลกุลยางธรรมชาติอีพอกไซด์เพิ่มมากขึ้น รวมถึงทำให้โมเลกุลของยางธรรมชาติอีพอกไซด์แข็งตึงขึ้น (Nakason *et al.*, 2005) ส่งผลให้ความยืดหยุ่นลดลง นอกจากนี้อาจเป็นผลมาจากความไม่เข้ากันระหว่างเฟสของยางธรรมชาติอีพอกไซด์ ยางรีเคลม และโพรพิลีนเอทิลีนโคพอลิเมอร์เนื่องจากความแตกต่างของสภาพขั้วในแต่ละเฟสดังนั้นจึงให้สมบัติเชิงกลของเทอร์โมพลาสติกวัลคาไนซ์ลดลง



รูปที่ 4.95 การผิดรูปถาวรแบบดึงของเทอร์โมพลาสติกวัลคาไนซ์จากการเบลนด์ NR/RR/PEC เมื่อแปรชนิดยางธรรมชาติ

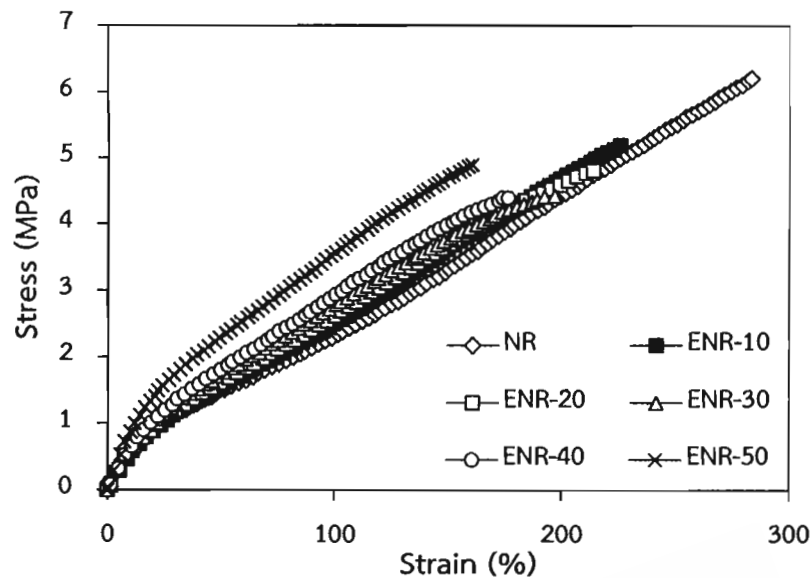


รูปที่ 4.96 ความแข็งของเทอร์โมพลาสติกวัลคาไนซ์จากการเบลนด์ NR/RR/PEC เมื่อแปรชนิดยางธรรมชาติ

จากรูปที่ 4.95 พบว่าเทอร์โมพลาสติกวัลคาไนซ์ที่เตรียมโดยใช้ยางธรรมชาติมีความสามารถในการคืนรูปดีที่สุด ขณะที่เทอร์โมพลาสติกวัลคาไนซ์ที่ใช้ยางธรรมชาติอีพอกไซด์จะมีความสามารถในการคืนรูปลดลง (Tension set เพิ่มขึ้น) ตามปริมาณหมู่อีพอกไซด์ที่เพิ่มขึ้นในยางธรรมชาติอีพอกไซด์ ซึ่งเกิดจากหมู่อีพอกไซด์มีสภาพเป็นขั้วและมีขนาดใหญ่ทำให้สมบัติความเป็นอีลาสติกของวัสดุลดลง นอกจากนี้การที่มีหมู่อีพอกไซด์เพิ่มขึ้นยังส่งผลให้มีแรงยึดเหนี่ยวระหว่างโมเลกุลของยางธรรมชาติอีพอกไซด์มากขึ้นจึงส่งผลให้เทอร์โมพลาสติกวัลคาไนซ์มีความแข็ง (รูปที่ 4.96) เพิ่มขึ้น

#### 4.7.4 การศึกษาอิทธิพลของชนิดยางธรรมชาติต่อสมบัติเชิงกลภายหลังบ่มแรงของเทอร์โมพลาสติกวัลคาไนซ์จากการเบลนด์ระหว่าง NR/RR/PEC

นำเทอร์โมพลาสติกวัลคาไนซ์ที่เตรียมจากการเบลนด์ NR/RR/PEC โดยแปรชนิดยางธรรมชาติมาทดสอบความต้านทานต่อการบ่มแรงที่อุณหภูมิ 100°C เป็นเวลา 22 ชั่วโมง เมื่อครบเวลานำตัวอย่างออกพักทิ้งไว้ที่อุณหภูมิห้องอย่างน้อย 16 ชั่วโมงก่อนนำไปทดสอบสมบัติเชิงกลได้กราฟความสัมพันธ์ระหว่างความเค้นกับความเครียดของเทอร์โมพลาสติกวัลคาไนซ์ดังแสดงในรูปที่ 4.97



รูปที่ 4.97 ความสัมพันธ์ระหว่างความเค้นกับความเครียดภายหลังบ่มแรงของเทอร์โมพลาสติกวัลคาไนซ์จากการเบลนด์ NR/RR/PEC เมื่อแปรชนิดยางธรรมชาติ

จากรูปที่ 4.97 แสดงพฤติกรรมการผิดรูปภายใต้แรงเค้นหลังบ่มแรงของเทอร์โมพลาสติกวัลคาไนซ์เมื่อแปรชนิดยางธรรมชาติพบว่าพฤติกรรมการผิดรูปของเทอร์โมพลาสติกวัลคาไนซ์ก่อนและหลังบ่มแรงไม่แตกต่างกัน กล่าวคือเมื่อพิจารณาโมดูลัสที่ระยะยืด 100% พบว่าเทอร์โมพลาสติกวัลคาไนซ์มีโมดูลัสสูงขึ้นตามสภาพขั้วในยางธรรมชาติที่เพิ่มขึ้นขณะที่ให้ระยะยืดลดลงซึ่งเป็นผลจากการเพิ่มขึ้นของหมู่ฟอกไซด์ซึ่งได้อธิบายไปแล้วข้างต้น และจากจุดขาดของกราฟความสัมพันธ์ระหว่างความเค้นและความเครียด สามารถนำมาคำนวณหาค่าความต้านทานต่อแรงดึงและความสามารถในการยืดจนขาดของเทอร์โมพลาสติกวัลคาไนซ์ ได้ผลแสดงดังตารางที่ 4.22 และ 4.23 นอกจากนี้ยังแสดงเปอร์เซ็นต์การเปลี่ยนแปลงของสมบัติด้วย

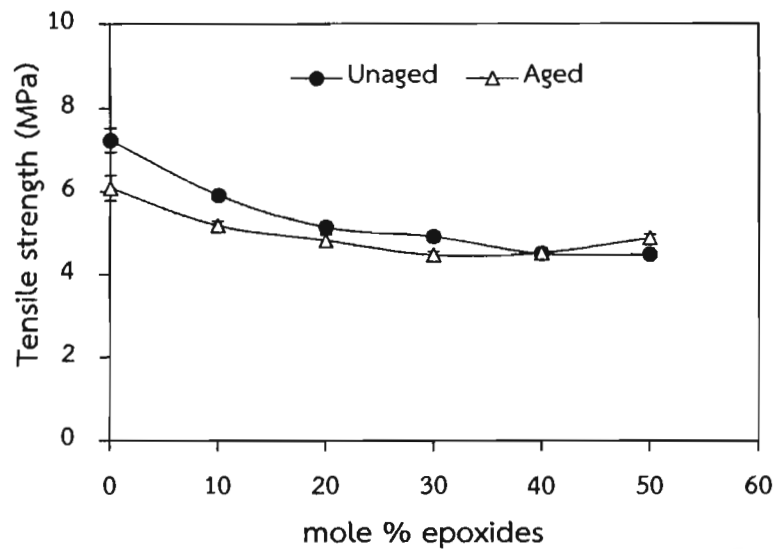
ตารางที่ 4.22 ความต้านทานต่อแรงดึงภายหลังบ่มแรงของเทอร์โมพลาสติกวัลคาไนซ์จากการเบลนด์ NR/RR/PEC เมื่อแปรชนิดยางธรรมชาติ

| Type of rubber | Tensile strength (MPa) |           | Change in property of tensile strength (%) |
|----------------|------------------------|-----------|--|
|                | Unaged                 | Aged      |  |
| NR             | 7.23±0.29              | 6.09±0.30 | -15.77                                     |
| ENR-10         | 5.92±0.06              | 5.18±0.10 | -12.50                                     |
| ENR-20         | 5.14±0.13              | 4.82±0.13 | -6.23                                      |
| ENR-30         | 4.91±0.12              | 4.47±0.08 | -8.96                                      |
| ENR-40         | 4.50±0.05              | 4.52±0.12 | 0.44                                       |
| ENR-50         | 4.48±0.10              | 4.88±0.08 | 8.93                                       |

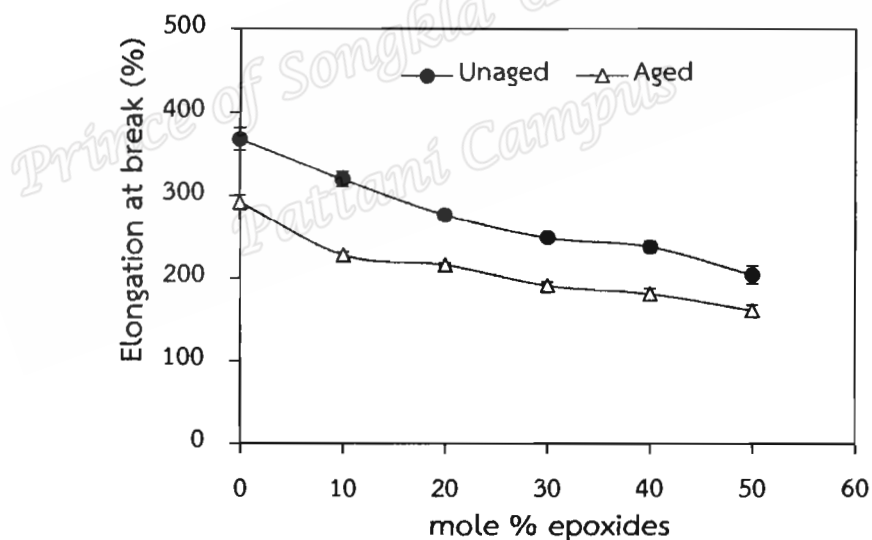
ตารางที่ 4.23 ความสามารถในการยืดจนขาดภายหลังบ่มแรงของเทอร์โมพลาสติกวัลคาไนซ์จากการเบลนด์ NR/RR/PEC เมื่อแปรชนิดยางธรรมชาติ

| Type of rubber | Elongation at break (%) |          | Change in property of elongation at break (%) |
|----------------|-------------------------|----------|---|
|                | Unaged                  | Aged     |   |
| NR             | 368±13.74               | 292±8.59 | -20.65  |
| ENR-10         | 320±8.98                | 228±3.35 | -28.75  |
| ENR-20         | 277±4.44                | 216±2.31 | -22.02  |
| ENR-30         | 249±5.65                | 191±4.29 | -23.29  |
| ENR-40         | 238±6.89                | 181±6.60 | -23.95  |
| ENR-50         | 204±10.79               | 161±6.45 | -21.08  |

จากตารางที่ 4.22 และ 4.23 สามารถเขียนกราฟความสัมพันธ์ระหว่างความต้านทานต่อแรงดึงและความสามารถในการยืดจนขาด ก่อนและหลังบ่มแรงของเทอร์โมพลาสติกวัลคาไนซ์เมื่อแปรอัตราส่วนการเบลนด์ดังแสดงในรูปที่ 4.98 และ 4.99 รวมถึงแสดงกราฟเปอร์เซ็นต์การเปลี่ยนแปลงของสมบัติภายหลังบ่มแรงในรูปที่ 4.100



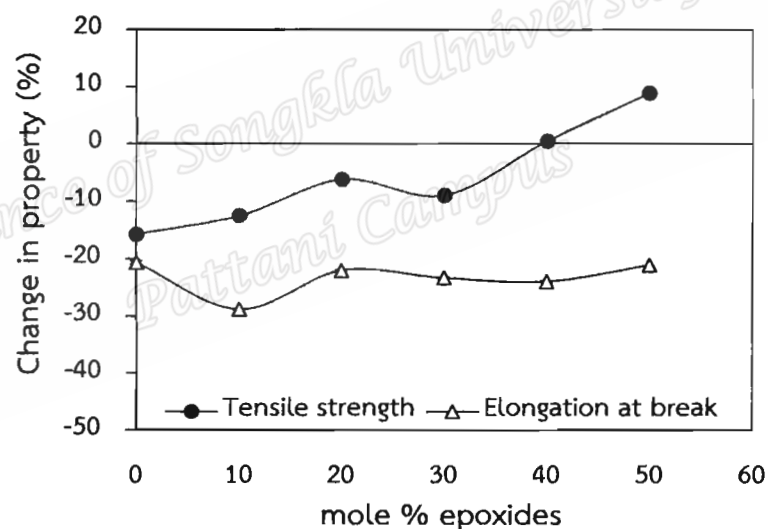
รูปที่ 4.98 ความต้านทานต่อแรงดึงก่อนและหลังบ่มแรงของเทอร์โมพลาสติกวัลคาไนซ์จากการเบลนด์ NR/RR/PEC เมื่อแปรชนิดยางธรรมชาติ



รูปที่ 4.99 ความสามารถในการยืดจนขาดก่อนและหลังบ่มแรงของเทอร์โมพลาสติกวัลคาไนซ์จากการเบลนด์ NR/RR/PEC เมื่อแปรชนิดยางธรรมชาติ

จากรูปที่ 4.98 และ 4.99 พบว่าค่าความต้านต่อแรงดึงและความสามารถในการยืดจนขาดภายหลังการบ่มแรงของเทอร์โมพลาสติกวัลคาไนซ์ที่ใช้ยางธรรมชาติอีพอกไซด์จะมีค่าต่ำกว่ายางธรรมชาติเช่นเดียวกับก่อนบ่มแรง ในขณะที่ความต้านทานต่อแรงดึงและความสามารถในการยืดจนขาดของเทอร์โมพลาสติกวัลคาไนซ์ภายหลังบ่มแรงจะมีแนวโน้มลดลงตามปริมาณหมู่อีพอกไซด์ที่

เพิ่มขึ้นในยางธรรมชาติอีพอกไซด์ ยกเว้นเทอร์โมพลาสติกวัลคาไนซ์เมื่อใช้ยาง ENR-50 จะมีค่าความต้านทานต่อแรงดึงเพิ่มขึ้น อาจเป็นผลมาจากเฟสของยางธรรมชาติอีพอกไซด์เกิดการเปิดวงแหวนและเกิด Self crosslinking reaction ระหว่างโมเลกุล (เด่นศักดิ์, 2558) นอกจากนี้เมื่อพิจารณาเปอร์เซ็นต์การเปลี่ยนแปลงสมบัติความต้านทานต่อแรงดึงและความสามารถในการยืดจนขาดซึ่งแสดงในรูปที่ 4.100 พบว่ามีแนวโน้มลดลงตามปริมาณหมู่อีพอกไซด์ที่เพิ่มขึ้นในยางธรรมชาติอีพอกไซด์ แสดงให้เห็นว่าการใช้ยางธรรมชาติอีพอกไซด์ในองค์ประกอบเบลนด์ส่งผลให้เทอร์โมพลาสติกวัลคาไนซ์มีแนวโน้มต้านทานต่อการบ่มแรงได้ดีกว่าการใช้ยางธรรมชาติ เนื่องจากการเกิดปฏิกิริยาอีพอกซิเดชันจะเป็นการไปลดปริมาณของส่วนที่ไม่อิมตัวในสายโซ่ยางธรรมชาติ (Gelling, 1991) กล่าวคือปริมาณหมู่อีพอกไซด์ที่เพิ่มขึ้นส่งผลให้พันธะคู่ในหน่วยซ้ำของไอโซพรีนของยางธรรมชาติมีปริมาณลดลงจึงมีความต้านทานต่อการบ่มแรงได้ดีขึ้น ในขณะที่เปอร์เซ็นต์การเปลี่ยนแปลงสมบัติความสามารถในการยืดจนขาดมีค่าไม่แตกต่างกันมากนัก

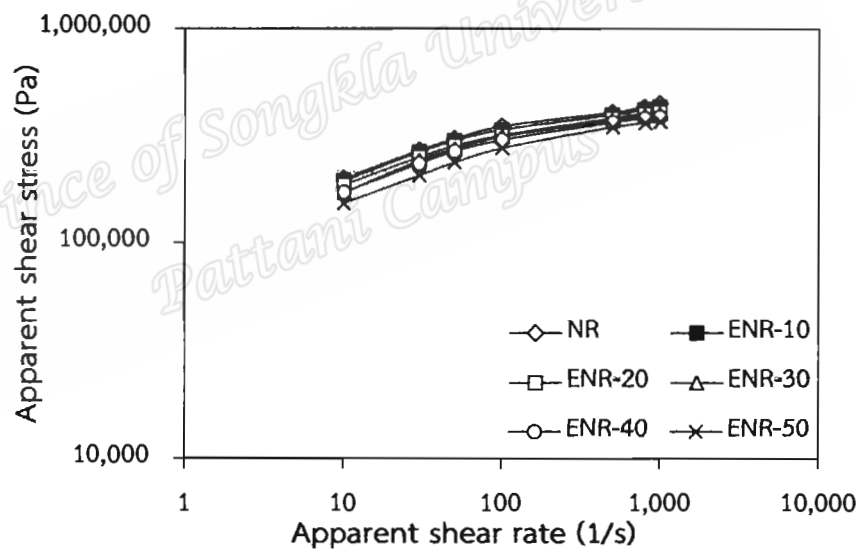


รูปที่ 4.100 เปอร์เซ็นต์การเปลี่ยนแปลงของสมบัติความต้านทานต่อแรงดึงและความสามารถในการยืดจนขาดหลังบ่มแรงของเทอร์โมพลาสติกวัลคาไนซ์จากการเบลนด์ NR/RR/PEC เมื่อแปรชนิดยางธรรมชาติ

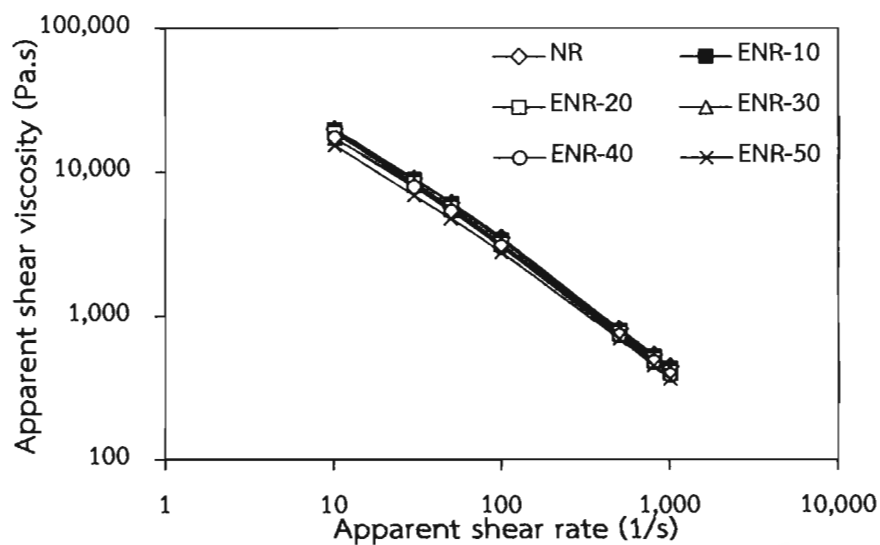
#### 4.7.5 การศึกษาอิทธิพลของชนิดยางธรรมชาติต่อสมบัติการไหลของเทอร์โมพลาสติกวัลคาไนซ์จากการเบลนด์ระหว่าง NR/RR/PEC

นำเทอร์โมพลาสติกวัลคาไนซ์ที่เตรียมจากการเบลนด์ NR/RR/PEC โดยแปรชนิดยางธรรมชาติ มาศึกษาสมบัติการไหลได้ความสัมพันธ์ระหว่างความเค้นเฉือนปรากฏกับอัตราเฉือนปรากฏ

และความหนืดเฉือนปรากฏกับอัตราเฉือนปรากฏดังแสดงในรูปที่ 4.101 และ 4.102 พบว่าความเค้นเฉือนปรากฏและความหนืดเฉือนปรากฏของเทอร์โมพลาสติกวัลคาไนซ์เมื่อใช้ยางธรรมชาติจะให้ค่าสูงที่สุด และจะลดลงเมื่อเปลี่ยนมาใช้ยางธรรมชาติอีพอกไซด์แทนที่ยางธรรมชาติในเทอร์โมพลาสติกวัลคาไนซ์ นอกจากนี้ค่าดังกล่าวจะมีแนวโน้มลดลงอย่างต่อเนื่องตามปริมาณหมู่อีพอกไซด์ที่เพิ่มขึ้น แสดงให้เห็นว่าการใช้ยางธรรมชาติจะทำให้เกิดแรงยึดเหนี่ยวระหว่างเฟสของเทอร์โมพลาสติกวัลคาไนซ์ได้ดีกว่าการใช้ยางธรรมชาติอีพอกไซด์ การปรับการใช้ยางธรรมชาติจะทำให้มีปริมาณพันธะเชื่อมขวางในเฟสอย่างมากกว่าจึงทำให้เทอร์โมพลาสติกวัลคาไนซ์ที่ใช้ยางธรรมชาติมีความแข็งแรงหรือมอดุลัสมากกว่าและจะไหลได้ยากกว่า นอกจากนี้อาจเป็นผลมาจากความไม่เข้ากันระหว่างเฟสต่างๆในเทอร์โมพลาสติกวัลคาไนซ์เมื่อใช้ยางธรรมชาติอีพอกไซด์เนื่องจากความเป็นขั้วของยางธรรมชาติอีพอกไซด์ จึงทำให้ค่าความเค้นเฉือนปรากฏและความหนืดเฉือนปรากฏของเทอร์โมพลาสติกวัลคาไนซ์มีค่าลดลงตามปริมาณหมู่อีพอกไซด์ที่เพิ่มขึ้น



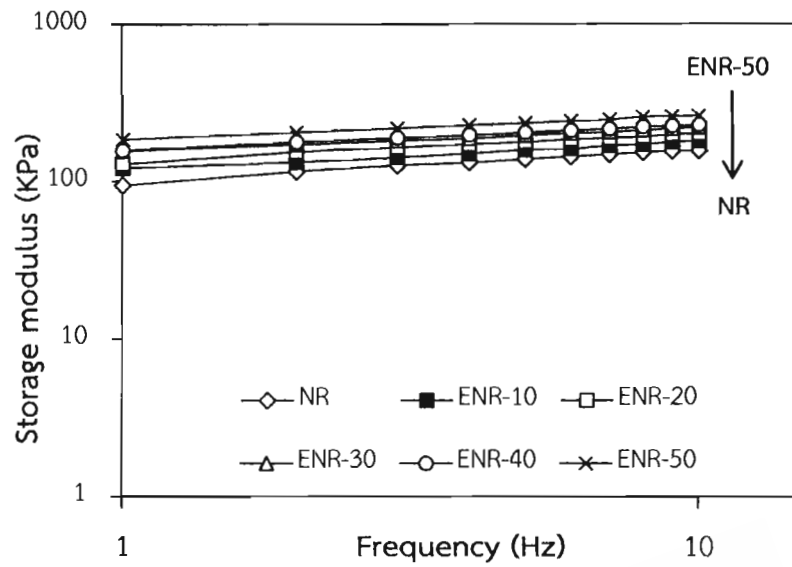
รูปที่ 4.101 ความสัมพันธ์ระหว่างความเค้นเฉือนปรากฏกับอัตราเฉือนปรากฏของเทอร์โมพลาสติกวัลคาไนซ์จากการเบลนด์ NR/RR/PEC เมื่อแปรชนิดยางธรรมชาติ



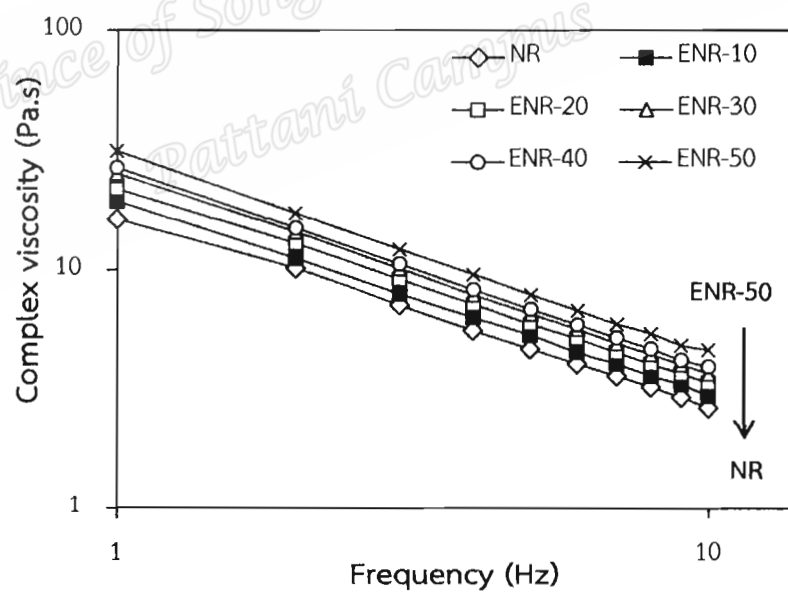
รูปที่ 4.102 ความสัมพันธ์ระหว่างความหนืดเฉือนปรากฏกับอัตราเฉือนปรากฏของเทอร์โมพลาสติกวัลคาไนซ์จากการเบลนด์ NR/RR/PEC เมื่อแปรชนิดยางธรรมชาติ

#### 4.7.6 การศึกษาอิทธิพลของชนิดยางธรรมชาติต่อสมบัติเชิงกลพลวัตของเทอร์โมพลาสติกวัลคาไนซ์จากการเบลนด์ระหว่าง NR/RR/PEC

นำเทอร์โมพลาสติกวัลคาไนซ์จากการเบลนด์ระหว่าง NR/RR/PEC โดยแปรชนิดยางธรรมชาติ มาศึกษาสมบัติเชิงกลพลวัตด้วยเครื่อง MDPT ได้กราฟความสัมพันธ์ระหว่างมอดุลัสสะสม ความหนืดเชิงซ้อน และ  $\tan \delta$  กับความถี่ ดังแสดงในรูปที่ 4.103, 4.104 และ 4.106

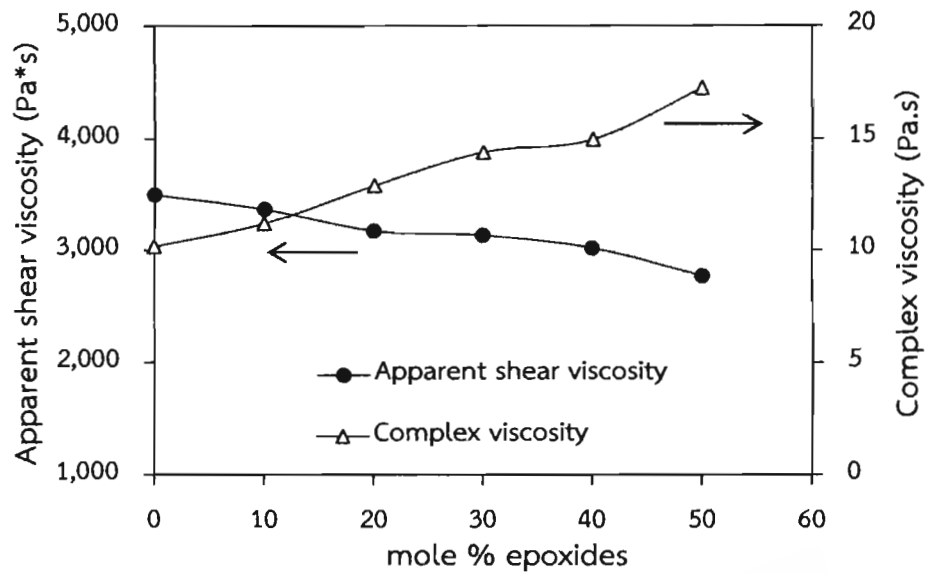


รูปที่ 4.103 ความสัมพันธ์ระหว่างมอดุลัสสะสมกับความถี่ของเทอร์โมพลาสติกวัลคาไนซ์จากการเบลนด์ NR/RR/PEC เมื่อแปรชนิดยางธรรมชาติ

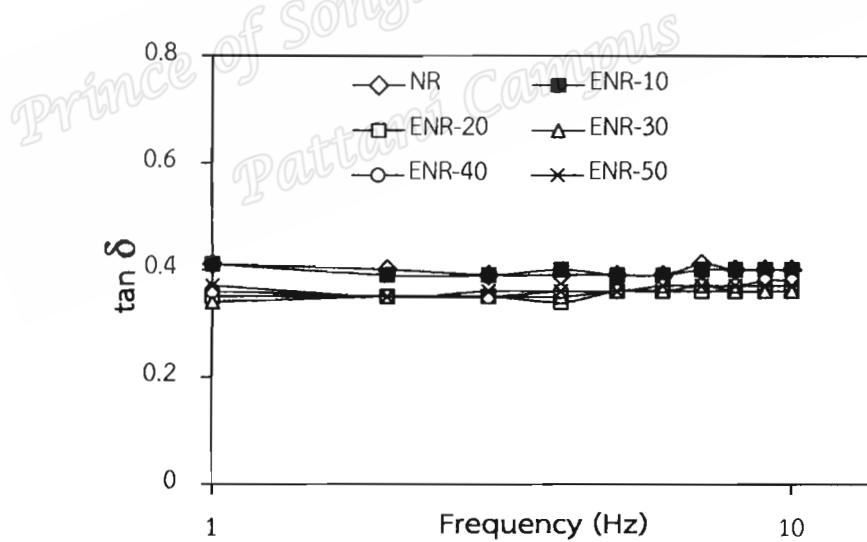


รูปที่ 4.104 ความสัมพันธ์ระหว่างความหนืดเชิงซ้อนกับความถี่ของเทอร์โมพลาสติกวัลคาไนซ์จากการเบลนด์ NR/RR/PEC เมื่อแปรชนิดยางธรรมชาติ

จากรูปที่ 4.103 และ 4.104 พบว่ามอดุลัสสะสมและความหนืดเชิงซ้อนของเทอร์โมพลาสติกวัลคาไนซ์ที่ใช้ยาง ENR-50 จะมีค่าสูงที่สุด รองลงมาคือเทอร์โมพลาสติกวัลคาไนซ์ที่ใช้ยาง ENR-40, ENR-30, ENR-20, ENR-10 และ NR ตามลำดับ ซึ่งผลการทดลองที่ได้สวนทางกับการทดสอบการไหลด้วยเครื่องคาร์ปิลลารี (หัวข้อ 4.7.5) ดังแสดงในรูปที่ 4.105 ซึ่งน่าจะเป็นผลมาจากรูปแบบการทดสอบของทั้ง 2 เทคนิคที่แตกต่างกัน โดยการทดสอบด้วยเครื่องคาร์ปิลลารีโรมิเตอร์ทำให้โมเลกุลของวัสดุเกิดการเลื่อนไถลระหว่างโมเลกุลสูง เทอร์โมพลาสติกวัลคาไนซ์จึงแสดงสมบัติที่เป็นผลมาจากน้ำหนักโมเลกุลหรือการเกี่ยวพันของสายโซ่โมเลกุล เทอร์โมพลาสติกวัลคาไนซ์ที่มีการใช้ยางธรรมชาติอีพอกไซด์ที่มีระดับการอีพอกซิเดชันมาก น้ำหนักโมเลกุลของยางธรรมชาติอีพอกไซด์มีมากกว่ายางธรรมชาติทำให้การเลื่อนไถลของสายโซ่โมเลกุลเกิดได้ยากขึ้น ประกอบกับการเกี่ยวพันของสายโซ่โมเลกุลสูงจากความเกาะเกาะของหมู่อีพอกไซด์และการเกิด self crosslink จึงน่าที่จะให้สมบัติความเค้นเหนียวปรากฏและความหนืดเหนียวปรากฏมีค่าสูงขึ้นตามปริมาณหมู่อีพอกไซด์ที่เพิ่มขึ้นในยางธรรมชาติอีพอกไซด์ แต่การทดลองกลับพบว่าค่าดังกล่าวมีแนวโน้มลดลงซึ่งเป็นผลมาจากระดับการวัลคาไนซ์ที่ต่ำและการไม่เข้ากันของเฟสยางธรรมชาติอีพอกไซด์กับยางรีเคลมและเทอร์โมพลาสติก ในทางกลับกันการทดสอบด้วยเครื่อง MDPT ใช้อัตราเขื่อนต่ำ (ความถี่ต่ำ ในการทดลองอยู่ระหว่าง 1-10 Hz) ซึ่งเป็นความถี่ที่วัสดุเกิดการผิดรูปน้อย การผิดรูปส่วนใหญ่ยังเป็นการผิดรูปแบบอีลาสติก จึงเป็นไปได้ว่าการตอบสนองของเทอร์โมพลาสติกวัลคาไนซ์เมื่อได้รับความเค้น (แรงบิด) ยังไม่ปรากฏชัดเจนจากผลการเลื่อนไถลของโมเลกุล แต่เป็นผลมาจากการตอบสนองของสารตัวเติมที่มีอยู่ในยางรีเคลมและความแข็งของสายโซ่โมเลกุลแทน โดยเทอร์โมพลาสติกวัลคาไนซ์ที่มีการใช้ยางธรรมชาติอีพอกไซด์ที่มีระดับการอีพอกซิเดชันมาก ก็จะมี ความแข็งแรงมาก ดังนั้นการทดสอบแบบใช้การผิดรูปต่ำๆ จึงพบว่าค่ามอดุลัสสะสมและความหนืดเชิงซ้อนของเทอร์โมพลาสติกวัลคาไนซ์มีแนวโน้มเพิ่มสูงขึ้นตามปริมาณหมู่อีพอกไซด์ที่มากขึ้นในยางธรรมชาติอีพอกไซด์



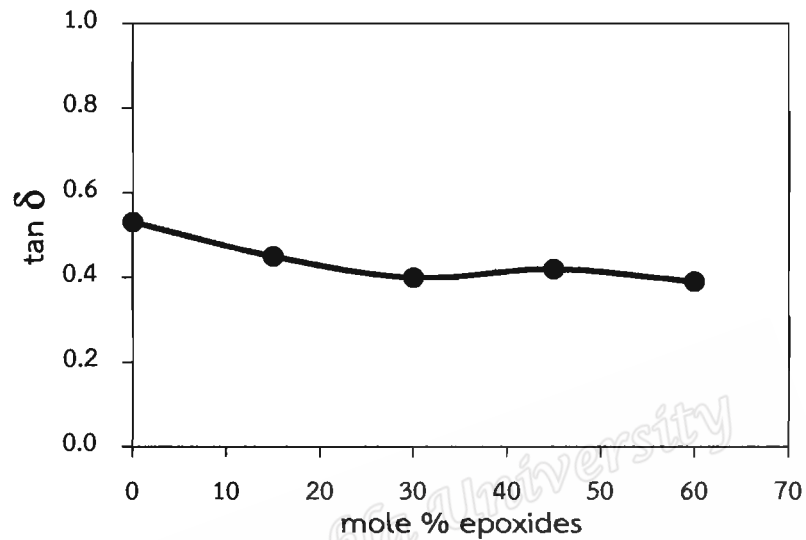
รูปที่ 4.105 ความเค้นเฉือนปรากฏที่อัตราเฉือน 100 (1/s) และความหนืดเชิงซ้อนที่ความถี่ 2 Hz ของเทอร์โมพลาสติกวัลคาไนซ์จากการเบลนด์ NR/RR/PEC เมื่อแปรชนิดยางธรรมชาติ



รูปที่ 4.106 ความสัมพันธ์ระหว่าง  $\tan \delta$  กับความถี่ของเทอร์โมพลาสติกวัลคาไนซ์จากการเบลนด์ NR/RR/PEC เมื่อแปรชนิดยางธรรมชาติ

จากรูปที่ 4.106 แสดงค่า  $\tan \delta$  ของเทอร์โมพลาสติกวัลคาไนซ์เมื่อแปรชนิดยางธรรมชาติพบว่าเมื่อพิจารณาที่ความถี่เดียวกันดังแสดงในรูปที่ 4.107 เทอร์โมพลาสติกวัลคาไนซ์ที่ใช้ยางธรรมชาติจะให้ค่า  $\tan \delta$  สูงที่สุด รองลงมาคือยาง ENR-10, ENR-20, ENR-30, ENR-40 และ

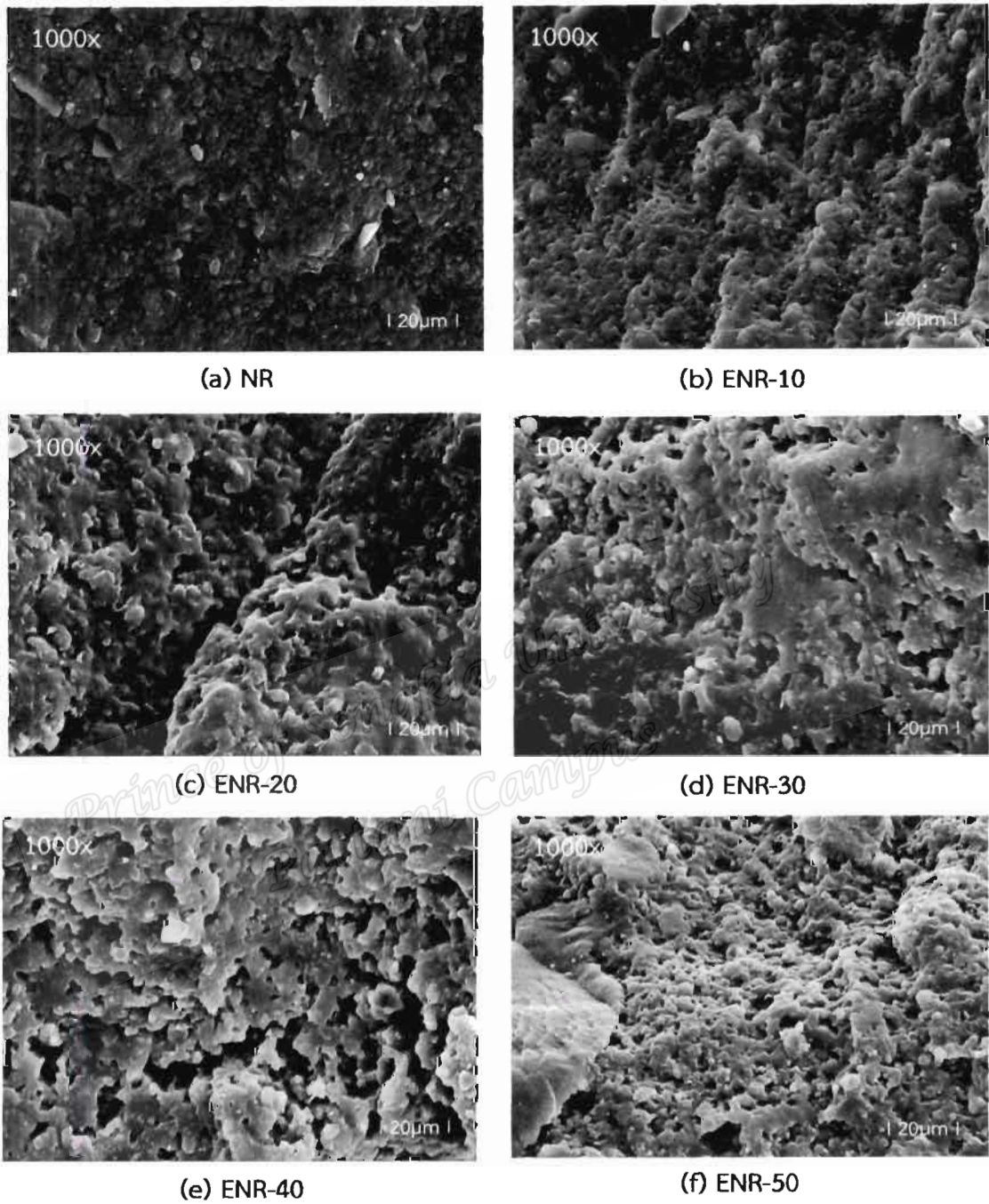
ENR-50 ตามลำดับ ซึ่งผลการทดลองที่ได้ไม่สอดคล้องกับความสามารถในการคืนรูปซึ่งแสดงในรูปที่ 4.94 กล่าวคือเทอร์โมพลาสติกวัลคาไนซ์จะมีความสามารถในการคืนรูปลดลง (Tension set เพิ่มขึ้น) เมื่อปริมาณหมู่อีพอกไซด์เพิ่มขึ้น



รูปที่ 4.107 ค่า  $\tan \delta$  ที่ความถี่ 2 Hz กับความถี่ของเทอร์โมพลาสติกวัลคาไนซ์จากการเบลนด์ NR/RR/PEC เมื่อแปรชนิดยางธรรมชาติ

#### 4.7.7 การศึกษาอิทธิพลของชนิดยางธรรมชาติต่อสัญญาณวิทยาของเทอร์โมพลาสติกวัลคาไนซ์จากการเบลนด์ระหว่าง NR/RR/PEC

นำเทอร์โมพลาสติกวัลคาไนซ์จากการเบลนด์ระหว่าง NR/RR/PEC ที่ศึกษาผลของชนิดยางธรรมชาติ มาศึกษาลักษณะสัญญาณวิทยา ได้ผลการทดลองแสดงดังรูปที่ 4.108 พบว่าลักษณะสัญญาณวิทยาของเทอร์โมพลาสติกวัลคาไนซ์ที่ใช้ยางธรรมชาติ (รูปที่ 4.108(a)) จะมีลักษณะของพื้นผิวที่เรียบและสม่ำเสมอกว่าเทอร์โมพลาสติกวัลคาไนซ์ที่ใช้ยางธรรมชาติอีพอกไซด์ (รูปที่ 4.108(b)-(f)) รวมถึงจะมีความเป็นเนื้อเดียวกันมากกว่าด้วย และเมื่อเปรียบระหว่างเทอร์โมพลาสติกวัลคาไนซ์ที่ใช้ยางธรรมชาติอีพอกไซด์ พบว่าลักษณะพื้นผิวของเทอร์โมพลาสติกวัลคาไนซ์จะมีลักษณะที่หยาบและขรุขระเพิ่มมากขึ้น และเกิดการแยกเฟสมากขึ้นตามปริมาณหมู่อีพอกไซด์ในยางธรรมชาติอีพอกไซด์ที่เพิ่มขึ้น



รูปที่ 4.108 ลักษณะสัณฐานวิทยาของเทอร์โมพลาสติกวัลคาไนซ์จากการเบลนด์ NR/RR/PEC เมื่อแปรชนิดยางธรรมชาติ

## บทที่ 5

### สรุปผลการทดลอง

#### 5.1 การศึกษาสมบัติเบื้องต้นของยางรีเคลม

- การวิเคราะห์สมบัติเชิงความร้อนของยางรีเคลมด้วยเทคนิค TGA พบว่ายางรีเคลมมีองค์ประกอบที่สามารถสลายตัวเนื่องจากความร้อนภายในช่วงอุณหภูมิห้องถึง 750°C อยู่ทั้งหมด 4 องค์ประกอบคือ น้ำและน้ำมันมีปริมาณการสลายตัว 9.5% ยาง 55.0% เขม่าดำ 33.0% แคลเซียมคาร์บอเนต 4.00% และมีเถ้าเหลืออยู่ 8.0%

- การวิเคราะห์โครงสร้างทางเคมีของยางรีเคลมด้วยเทคนิค FTIR พบว่าสเปกตรัมของยางรีเคลมปรากฏแถบการดูดกลืนที่ตำแหน่งเลขคลื่น 2913 และ 2846  $\text{cm}^{-1}$  แสดงถึงการสั่นแบบยืดของ C-H ใน  $-\text{CH}_3$  และ  $-\text{CH}_2$  ขณะที่ 1432 และ 1370  $\text{cm}^{-1}$  ซึ่งแสดงถึงพันธะ  $-\text{CH}_2$  และ  $-\text{CH}_3$  ในโครงสร้างของยาง และพบว่าที่ตำแหน่งเลขคลื่นที่ 1628  $\text{cm}^{-1}$  แสดงถึงพันธะ C=C สำหรับตำแหน่งเลขคลื่นที่ 1535  $\text{cm}^{-1}$  แสดงถึงการสั่นแบบยืดของ Zinc carboxylates และที่ตำแหน่งเลขคลื่น 820  $\text{cm}^{-1}$  แสดงถึงการสั่นแบบงอของพันธะ C-H ในโมเลกุลยางธรรมชาติและในวงเบนซีน

- การวิเคราะห์ปริมาณส่วนที่ละลายและไม่ละลายในยางรีเคลม พบว่ายางรีเคลมมีปริมาณส่วนที่ละลายได้ 24.64% และส่วนที่ไม่ละลาย 75.36%

- การวิเคราะห์ความหนาแน่นพันธะเชื่อมขวางในยางรีเคลม พบว่ายางรีเคลมมีความหนาแน่นพันธะเชื่อมขวางที่เป็นพันธะเชื่อมขวางที่เกิดจากยางปริมาณ  $2.28 \times 10^{-4} \text{ mol/cm}^3$

- การวิเคราะห์สัณฐานวิทยาของยางรีเคลม พบว่ายางรีเคลมมีผิวหน้าของยางทั้งที่เรียบและขรุขระ และพบว่ามีกลุ่มของสารเคมีกระจายตัวอยู่

#### 5.2 การศึกษาอิทธิพลของการใช้สารตัดแปรต่อสมบัติของยางวัลคาไนซ์จากการเบลนด์ระหว่างยางธรรมชาติและยางรีเคลม (NR/RR blend)

- การศึกษาพฤติกรรมการวัลคาไนซ์ของยางเบลนด์ พบว่ายางเบลนด์สูตรที่ไม่ใช้สารตัดแปร และยางเบลนด์สูตรที่ใช้สารตัดแปร มีพฤติกรรมการวัลคาไนซ์หลัง Optimum cure time เป็นแบบ Reversion นอกจากนี้พบว่ายางเบลนด์สูตรที่ใช้สารตัดแปรจะให้ค่าทอร์กสูงสุด และผลต่างของค่าทอร์กสูงสุดและค่าทอร์กต่ำสุด ต่ำกว่ายางเบลนด์ที่สูตรไม่ใช้สารตัดแปร ในขณะที่มีระยะเวลาการวัลคาไนซ์มากกว่า

- การศึกษาสมบัติเชิงกลของยางเบลนด์ พบว่ายางเบลนด์สูตรที่ใช้สารดัดแปรชนิดฟีนอลิกเรซิน และยางเบลนด์สูตรที่ไม่ใช้สารดัดแปรจะมีความต้านทานต่อแรงดึง ความสามารถในการยืดจนขาด และความแข็งใกล้เคียงกัน ในขณะที่ยางเบลนด์สูตรที่ใช้สารดัดแปรชนิดมาลิกแอนไฮไดรด์ และไกลซิดิเลทาคริเลต จะมีค่าความต้านทานต่อแรงดึง ความสามารถในการยืดจนขาด และความแข็งลดลง และพบว่าทั้ง 4 สูตรมีความสามารถในการคืนรูปไม่แตกต่างกันอย่างมีนัยสำคัญ นอกจากนี้พบว่าสมบัติเชิงกลภายหลังบ่มแรงของยางเบลนด์จะมีค่าลดลง

- การศึกษาสมบัติการไหลของยางเบลนด์ พบว่ายางเบลนด์สูตรที่ไม่ใช้สารดัดแปร และยางเบลนด์สูตรที่ใช้สารดัดแปรชนิดฟีนอลิกเรซิน และไกลซิดิเลทาคริเลต จะมีค่าความเค้นเฉือนปรากฏ และความหนืดเฉือนปรากฏใกล้เคียงกัน ในขณะที่ยางเบลนด์สูตรที่ใช้สารดัดแปรชนิดมาลิกแอนไฮไดรด์จะมีค่าความเค้นเฉือนปรากฏและความหนืดเฉือนปรากฏต่ำที่สุด

- จากการศึกษาอิทธิพลของชนิดสารดัดแปร พบว่ายางเบลนด์สูตรที่ใช้สารดัดแปรชนิดฟีนอลิกเรซิน ให้สมบัติใกล้เคียงกับสูตรที่ไม่ใช้สารดัดแปร และมีสมบัติโดยรวมดีกว่าสูตรที่ใช้สารดัดแปรชนิดมาลิกแอนไฮไดรด์ และไกลซิดิเลทาคริเลต ดังนั้นจึงเลือกใช้สารดัดแปรชนิดฟีนอลิกเรซินเพื่อนำไปศึกษาต่อในการเตรียมเทอร์โมพลาสติกวัลคาไนซ์

### 5.3 การศึกษาอิทธิพลของวิธีการผสมสารดัดแปรต่อสมบัติของเทอร์โมพลาสติกวัลคาไนซ์จากการเบลนด์ระหว่างยางธรรมชาติ ยางรีเคลม และโพรพิลีนเอทิลีนโคพอลิเมอร์ (NR/RR/PEC TPVs)

- การศึกษาอิทธิพลของวิธีการผสมสารดัดแปรต่อพฤติกรรมกรรมการผสม พบว่าเทอร์โมพลาสติกวัลคาไนซ์ที่เตรียมแบบไม่ใช้สารดัดแปร (Without modifier) และที่เตรียมโดยวิธีการผสมสารดัดแปรแบบ Reactive blending จะมีลักษณะทอร์กการผสมเหมือนกัน ขณะที่เทอร์โมพลาสติกวัลคาไนซ์ที่ผสมสารดัดแปรแบบ Melt mixing method จะมีทอร์กการผสมที่ตำแหน่งการเกิดไดนามิกส์วัลคาไนเซชันต่ำกว่า

- การศึกษาสมบัติเชิงกล พบว่าเทอร์โมพลาสติกวัลคาไนซ์ที่ใช้สารดัดแปรจะให้ค่าความต้านทานต่อแรงดึงสูงกว่าไม่ใส่สารดัดแปร และเมื่อเปรียบเทียบระหว่างวิธีการผสมสารดัดแปรทั้ง 2 วิธี พบว่าเทอร์โมพลาสติกวัลคาไนซ์ที่เตรียมโดยการใช้วิธีผสมสารดัดแปรแบบ Melt mixing จะให้ค่าความต้านทานต่อแรงดึง ความสามารถในการยืดจนขาด และสูงกว่าวิธีการผสมสารดัดแปรแบบ Reactive blending ในขณะที่ให้ค่าการผิดรูปถาวรแบบดึง และความแข็งไม่แตกต่างกัน นอกจากนี้พบว่าค่าความต้านทานต่อแรงดึงและความสามารถในการยืดจนขาดของเทอร์โมพลาสติกวัลคาไนซ์ที่ไม่ใช้สารดัดแปร และที่ใส่สารดัดแปรด้วยวิธีการผสมทั้ง 2 วิธี ให้ค่าความต้านทานต่อแรงดึงและความสามารถในการยืดจนขาดหลังการบ่มแรงต่ำกว่าก่อนบ่มแรง

- การศึกษาสมบัติการไหล พบว่าเทอร์โมพลาสติกวัลคาไนซ์ที่ใช้สารตัดแปรร่วมจะมีค่าความเค้นเฉือนปรากฏและความหนืดเฉือนปรากฏสูงกว่าเทอร์โมพลาสติกวัลคาไนซ์ที่ไม่ใส่สารตัดแปรร่วม ในขณะที่เมื่อเปรียบเทียบวิธีการผสมสารตัดแปรร่วมทั้ง 2 วิธี จะพบว่าเทอร์โมพลาสติกวัลคาไนซ์ที่มีการผสมสารตัดแปรร่วมโดยใช้วิธี Melt mixing จะให้ค่าความเค้นเฉือนปรากฏและค่าความหนืดเฉือนปรากฏสูงกว่าการผสมสารตัดแปรร่วมโดยใช้วิธี Reactive blending เล็กน้อย

- การศึกษาสมบัติเชิงกลพลวัต พบว่าเทอร์โมพลาสติกวัลคาไนซ์ที่เตรียมโดยวิธีการผสมสารตัดแปรร่วมแบบ Melt mixing จะให้ค่ามอดูลัสสะสม และความหนืดเชิงซ้อนสูงที่สุดรองลงมาคือเทอร์โมพลาสติกวัลคาไนซ์ที่เตรียมโดยวิธีการผสมสารตัดแปรร่วมแบบ Reactive blending และ Without modifier ตามลำดับ ในขณะที่ค่า  $\tan \delta$  ของเทอร์โมพลาสติกวัลคาไนซ์ที่เตรียมโดยการผสมสารตัดแปรร่วมด้วยวิธี Melt mixing จะมีค่าต่ำที่สุด

- การศึกษาสัณฐานวิทยา พบว่าเทอร์โมพลาสติกวัลคาไนซ์ที่เตรียมโดยวิธี Reactive blending มีลักษณะของพื้นผิวที่หยาบและขรุขระกว่าเทอร์โมพลาสติกวัลคาไนซ์ที่เตรียมด้วยวิธี Melt mixing

- จากการศึกษาอิทธิพลของวิธีการผสมสารตัดแปรร่วม พบว่าเทอร์โมพลาสติกวัลคาไนซ์ที่เตรียมโดยใช้วิธีผสมสารตัดแปรร่วมแบบ Melt mixing ให้สมบัติเชิงกล สมบัติการไหล และสมบัติเชิงกลพลวัตที่ดีที่สุด

#### 5.4 การศึกษาอิทธิพลของปริมาณสารตัดแปรร่วมต่อสมบัติเทอร์โมพลาสติกวัลคาไนซ์จากการเบลนด์ระหว่างยางธรรมชาติ ยางรีเคลม และโพรพิลีนเอทิลีนโคพอลิเมอร์ (NR/RR/PEC TPVs)

- การศึกษาอิทธิพลของปริมาณสารตัดแปรร่วมต่อพฤติกรรมการผสม พบว่าเทอร์โมพลาสติกวัลคาไนซ์จะมีระยะเวลาการเกิดการวัลคาไนซ์แบบไดนามิกชันนานขึ้นตามปริมาณของฟีนอลิกเรซินที่เพิ่มขึ้น และพบว่าค่าสูงสุดของทอร์กการผสมในช่วงการเกิดการวัลคาไนซ์แบบไดนามิกส์จะมีความสูงลดลงตามปริมาณฟีนอลิกเรซินที่เพิ่มขึ้น

- การศึกษาสมบัติเชิงกล พบว่าความต้านทานต่อแรงดึงและความแข็งของเทอร์โมพลาสติกวัลคาไนซ์มีแนวโน้มเพิ่มขึ้นตามปริมาณฟีนอลิกเรซินที่เพิ่มขึ้น ในขณะที่ความสามารถในการยืดจนขาดและค่าการผิดรูปถาวรแบบดึงมีแนวโน้มลดลง โดยที่ปริมาณฟีนอลิกเรซิน 10 phr จะให้ค่าความต้านทานต่อแรงดึง และความแข็งสูงสุด นอกจากนี้พบว่าค่าความต้านทานต่อแรงดึงและค่าความสามารถในการยืดจนขาดหลังบ่มแรงของเทอร์โมพลาสติกวัลคาไนซ์ที่ทุกปริมาณของฟีนอลิกเรซินมีค่าต่ำกว่าก่อนบ่มแรง

- การศึกษาสมบัติการไหล พบว่าค่าความเค้นเฉือนปรากฏและค่าความหนืดเฉือนปรากฏของเทอร์โมพลาสติกวัลคาไนซ์มีแนวโน้มเพิ่มขึ้นตามปริมาณฟีนอลิกเรซินที่เพิ่มขึ้น

- การศึกษาสมบัติเชิงกลพลวัต พบว่าเทอร์โมพลาสติกวัลคาไนซ์มีค่ามอดูลัสสะสม ค่าความหนืดเชิงซ้อน เพิ่มขึ้นตามปริมาณฟีนอลิกเรซินที่เพิ่มขึ้น ในขณะที่ค่า  $\tan \delta$  มีแนวโน้มลดลง

- การศึกษาสัณฐานวิทยา พบว่าขนาดอนุภาคยางวัลคาไนซ์และความขรุขระของเทอร์โมพลาสติกวัลคาไนซ์จะลดน้อยลงตามปริมาณฟีนอลิกเรซินที่เพิ่มขึ้น
- จากการศึกษาอิทธิพลของปริมาณสารดัดแปร พบว่าเทอร์โมพลาสติกวัลคาไนซ์ที่ใช้ฟีนอลิกเรซินที่ปริมาณ 10 phr ให้สมบัติเชิงกล สมบัติการไหล และสมบัติเชิงกลพลวัตโดยรวมดีที่สุด

### 5.5 การศึกษาอิทธิพลของอัตราส่วนการเบลนด์ต่อสมบัติเทอร์โมพลาสติกวัลคาไนซ์จากการเบลนด์ระหว่างยางธรรมชาติ ยางรีเคลม และโพรพิลีนเอทิลีนโคพอลิเมอร์

- การศึกษาอิทธิพลของอัตราส่วนการเบลนด์ต่อพฤติกรรมกรมการผสม พบว่าค่าทอร์กการผสม ณ เวลาที่เฟสยางเริ่มเกิดการวัลคาไนซ์จะเกิดในช่วงเวลาใกล้เคียงกัน ในขณะที่ระยะเวลาของการเกิดการวัลคาไนซ์ของเฟสยางจะไม่เท่ากัน จะพบว่าเมื่อปริมาณยางรีเคลมในสัดส่วนของเฟสยางเพิ่มขึ้น ระยะเวลาของการวัลคาไนซ์เพิ่มขึ้นด้วย

- การศึกษาสมบัติเชิงกล พบว่าความต้านทานต่อแรงดึงและความสามารถในการยืดจนขาดของเทอร์โมพลาสติกวัลคาไนซ์ มีแนวโน้มลดลงตามปริมาณยางรีเคลมในสัดส่วนของเฟสยางที่เพิ่มขึ้น โดยเทอร์โมพลาสติกวัลคาไนซ์ที่อัตราส่วน 60/0/40 มีค่าความต้านทานต่อแรงดึงและความสามารถในการยืดจนขาดสูงสุด รองลงมาคืออัตราส่วนที่ 45/15/40, 30/30/40, 15/45/40 และ 0/60/40 ตามลำดับ ในขณะที่ค่าการผิดรูปถาวรแบบดึง และความแข็งแรงของเทอร์โมพลาสติกวัลคาไนซ์มีค่าเพิ่มขึ้นตามปริมาณยางรีเคลมในสัดส่วนของเฟสยางที่เพิ่มขึ้น นอกจากนี้พบว่าความต้านทานต่อแรงดึงและความสามารถในการยืดจนขาดภายหลังการบ่มแรงของเทอร์โมพลาสติกวัลคาไนซ์ให้สมบัติต่ำกว่าก่อนบ่มแรง และมีแนวโน้มลดลงตามปริมาณของยางรีเคลมในสัดส่วนของเฟสยางที่เพิ่มมากขึ้น เช่นเดียวกันกับพฤติกรรมก่อนการบ่มแรง ยกเว้นที่อัตราส่วนการเบลนด์ 0/60/40 พบว่าเทอร์โมพลาสติกวัลคาไนซ์มีความต้านทานต่อแรงดึงสูงกว่าก่อนบ่มแรง

- การศึกษาสมบัติการไหล พบว่าค่าความเค้นเฉือนปรากฏและความหนืดเฉือนปรากฏของเทอร์โมพลาสติกวัลคาไนซ์มีค่าลดลงตามปริมาณยางรีเคลมในสัดส่วนของเฟสยางที่เพิ่มขึ้น กล่าวคือที่อัตราส่วน 60/0/40 ให้ความเค้นเฉือนปรากฏและความหนืดเฉือนปรากฏสูงสุด รองลงมาคือ 45/15/40, 30/30/40, 15/45/40 และ 0/60/40 ตามลำดับ

- การศึกษาสมบัติเชิงกลพลวัต พบว่าเทอร์โมพลาสติกวัลคาไนซ์มีค่ามอดุลัสสะสม มอดุลัสสูญเสีย และค่าความหนืดเชิงซ้อน เพิ่มขึ้นปริมาณยางรีเคลมในสัดส่วนของเฟสยางที่เพิ่มขึ้น ในขณะที่ค่า  $\tan \delta$  มีแนวโน้มลดลง

- การศึกษาสัณฐานวิทยา พบว่าสัณฐานวิทยาของเทอร์โมพลาสติกวัลคาไนซ์จะมีความสม่ำเสมอของเฟสยางจะลดลงตามปริมาณของยางรีเคลมในสัดส่วนของเฟสยางเพิ่มขึ้น และทำให้มีความขรุขระของพื้นผิวดินเพิ่มมากขึ้น

5.6 การศึกษาอิทธิพลของการใช้สารเพิ่มความเข้ากันได้ชนิดกราฟต์โคพอลิเมอร์ของโพรพิลีนเอทิลีนโคพอลิเมอร์กับพีนอลิกเรซิน (PEC-g-Ph) ร่วมกับวิธีการปรับปรุงความเข้ากันได้โดยใช้สารตัดแปรต่อสมบัติเทอร์โมพลาสติกวัลคาไนซ์จากการเบลนดระหว่างยางธรรมชาติ ยางรีเคลม และโพรพิลีนเอทิลีนโคพอลิเมอร์

- การวิเคราะห์โครงสร้างทางเคมีของกราฟต์โคพอลิเมอร์ของโพรพิลีนเอทิลีนโคพอลิเมอร์กับพีนอลิกเรซิน (PEC-g-Ph) พบว่าสเปกตรัมของสารเพิ่มความเข้ากันได้ PEC-g-Ph จะปรากฏแถบการดูดกลืนที่ตำแหน่งเลขคลื่น  $3383\text{ cm}^{-1}$  แสดงถึงการสั่นแบบยืดของพันธะไฮโดรเจนในหมู่ฟีนอล และพบพีคที่ตำแหน่งเลขคลื่น  $1597\text{ cm}^{-1}$  และ  $1656\text{ cm}^{-1}$  แสดงถึงการสั่นแบบยืดของหมู่  $\text{-C=C}$  ในวงแหวนอโรมาติก รวมถึงจะปรากฏแถบการดูดกลืนที่ตำแหน่งเลขคลื่น  $1213\text{ cm}^{-1}$  จากการสั่นแบบยืดของพันธะ  $\text{-C-O}$

- การศึกษาอิทธิพลของการใช้สารเพิ่มความเข้ากันได้ชนิด PEC-g-Ph ร่วมกับวิธีการปรับปรุงความเข้ากันได้โดยใช้สารตัดแปรชนิดพีนอลิกเรซินต่อพฤติกรรมการผสม พบว่าทอร์กการผสมในสูตร NR/RR/PEC และ NR/RR/PEC with PEC-g-Ph ซึ่งไม่ใส่สารตัดแปรพีนอลิกเรซินให้ลักษณะทอร์กการผสมที่เหมือนกัน ในขณะที่ในสูตร Treated NR/RR/PEC และ Treated NR/RR/PEC with PEC-g-Ph ซึ่งเป็นสูตรที่ใช้เป็นสารตัดแปรพีนอลิกเรซินจะให้ลักษณะของทอร์กการผสมเหมือนกัน กล่าวคือเมื่อใช้สารตัดแปรทำให้ทอร์กการผสมในช่วงของการเกิดการวัลคาไนซ์แบบไดนามิกมีระยะเวลาในการเกิดการวัลคาไนซ์ที่นานกว่าสูตรที่ไม่ใช้สารตัดแปร ขณะที่เมื่อใช้และไม่ใช้สารเพิ่มความเข้ากันได้ชนิด PEC-g-Ph พบว่าจะให้ลักษณะของทอร์กการผสมที่ไม่แตกต่างกัน

- การศึกษาสมบัติเชิงกล พบว่าเมื่อเปรียบเทียบระหว่างการใช้และไม่ใช้สารตัดแปรพีนอลิกเรซิน (Treated NR/RR/PEC และ NR/RR/PEC) สูตรที่ใช้สารตัดแปรพีนอลิกเรซินให้ค่าความต้านทานต่อแรงดึง และความแข็งเพิ่มขึ้น ในขณะที่ความสามารถในการยืดจนขาดและการผิดรูปถาวรแบบดึงลดลง และเมื่อเปรียบเทียบการใช้และไม่ใช้สารเพิ่มความเข้ากันได้ชนิด PEC-g-Ph พบว่าเทอร์โมพลาสติกวัลคาไนซ์ที่ใช้สารเพิ่มความเข้ากันได้ชนิด PEC-g-Ph จะมีค่าความต้านทานต่อแรงดึงและความสามารถในการยืดจนขาดเพิ่มขึ้นเล็กน้อย ในขณะที่มีค่าความสามารถในคืนรูป และความแข็งไม่แตกต่างกัน จากนั้นในการศึกษาสมบัติเชิงกลภายหลังการบ่มแรง พบว่าความต้านทานต่อแรงดึงและความสามารถในการยืดจนขาดภายหลังบ่มแรงของเทอร์โมพลาสติกวัลคาไนซ์มีค่าน้อยกว่าก่อนบ่มแรง

- การศึกษาสมบัติการไหล พบว่าเทอร์โมพลาสติกวัลคาไนซ์ที่ใช้สารตัดแปรพีนอลิกเรซิน ทั้งสูตรที่มีและไม่มีการใช้สารเพิ่มความเข้ากันได้ชนิด PEC-g-Ph (Treated NR/RR/PEC และ Treated NR/RR/PEC with PEC-g-Ph) จะมีค่าความเค้นเฉือนปรากฏและความหนืดเฉือนปรากฏใกล้เคียงกัน และจะมีค่าดักสูงกว่าสูตรที่ไม่ใช้สารตัดแปรพีนอลิกเรซิน (NR/RR/PEC with PEC-g-Ph และ NR/RR/PEC)

- การศึกษาสมบัติเชิงกลพลวัต พบว่าเทอร์โมพลาสติกวัลคาไนซ์ที่ใช้สารดัดแปรฟีนอลิกเรซินจะให้มอดุลัสสะสมและความหนืดเชิงซ้อนสูงกว่ากรณีไม่ใช้สารดัดแปรในการปรับปรุงความเข้ากันได้ และเมื่อเปรียบเทียบระหว่างการใช้และไม่ใช้สารเพิ่มความเข้ากันได้ชนิด PEC-g-Ph พบว่าเทอร์โมพลาสติกวัลคาไนซ์ที่มีการใช้สารเพิ่มความเข้ากันได้ชนิด PEC-g-Ph ให้มอดุลัสสะสมและความหนืดเชิงซ้อนสูงกว่า นอกจากนี้พบว่าค่า  $\tan \delta$  ของสูตรที่ไม่ใช้สารดัดแปรฟีนอลิกเรซินจะมีค่าสูงกว่าสูตรที่ใช้สารดัดแปรฟีนอลิกเรซิน ในขณะที่การใช้การใช้สารเพิ่มความเข้ากันได้ชนิด PEC-g-Ph ให้ค่า  $\tan \delta$  ไม่แตกต่างกัน

- การศึกษาสัณฐานวิทยา พบว่าเทอร์โมพลาสติกวัลคาไนซ์ที่มีการใช้สารดัดแปรฟีนอลิกเรซินจะมีลักษณะพื้นผิวที่สม่ำเสมอและเป็นเนื้อเดียวกันมากกว่าสูตรที่ไม่ใช้สารดัดแปรฟีนอลิกเรซิน และเมื่อเปรียบเทียบการใช้และไม่ใช้สารเพิ่มความเข้ากันได้ PEC-g-Ph พบว่าการใช้สารเพิ่มความเข้ากันได้ PEC-g-Ph จะทำให้เฟสยางเกิดการกระจายตัวที่ดีกว่า และมีพื้นผิวที่สม่ำเสมอมากกว่า

### 5.7 การศึกษาอิทธิพลของชนิดยางธรรมชาติต่อสมบัติเทอร์โมพลาสติกวัลคาไนซ์จากการเบลนด์ระหว่างยางธรรมชาติ ยางรีเคลม และโพรพิลีนเอทิลีนโคพอลิเมอร์

- การวิเคราะห์โครงสร้างทางเคมีของยางธรรมชาติอีพอกไซด์ด้วยเทคนิค FTIR พบว่าสเปกตรัมของยางธรรมชาติอีพอกไซด์จะปรากฏแถบการดูดกลืนที่ตำแหน่งเลขคลื่น  $870 \text{ cm}^{-1}$  และ  $1240 \text{ cm}^{-1}$  แสดงถึงหมู่อีพอกไซด์ที่เกาะติดบนโมเลกุลของยางธรรมชาติ และพบว่าความเข้มของพีคที่ตำแหน่งเลขคลื่น  $835 \text{ cm}^{-1}$  จะลดลงตามปริมาณของหมู่อีพอกไซด์ที่เพิ่มขึ้น

- การศึกษาความหนืดมูนีของยางธรรมชาติอีพอกไซด์ พบว่าค่าความหนืดมูนีของยางธรรมชาติอีพอกไซด์มีค่าสูงกว่ายางธรรมชาติ และจะมีค่าความหนืดมูนีเพิ่มขึ้นตามปริมาณหมู่อีพอกไซด์ที่เพิ่มขึ้น

- การศึกษาอิทธิพลชนิดยางธรรมชาติต่อพฤติกรรมการผสม พบว่าระยะเวลาที่ใช้ในการวัลคาไนซ์และค่าทอร์กสูงสุดที่การวัลคาไนซ์สมบูรณ์ของเทอร์โมพลาสติกวัลคาไนซ์จะลดลงตามปริมาณหมู่อีพอกไซด์ที่เพิ่มขึ้น

- การศึกษาสมบัติเชิงกล พบว่าเทอร์โมพลาสติกวัลคาไนซ์ที่ใช้ยางธรรมชาติจะมีค่าความต้านทานต่อแรงดึงและความสามารถในการยืดจนขาดสูงกว่าเทอร์โมพลาสติกวัลคาไนซ์ที่ใช้ยางธรรมชาติอีพอกไซด์ ในขณะที่เมื่อเปรียบระหว่างยางธรรมชาติอีพอกไซด์พบว่าความต้านทานต่อแรงดึงและความสามารถในการยืดจนขาดของเทอร์โมพลาสติกวัลคาไนซ์จะมีค่าลดลงตามปริมาณของหมู่อีพอกไซด์ที่เพิ่มขึ้น จากนั้นในการศึกษาสมบัติเชิงกลภายหลังการบ่มแรง พบว่าความต้านทานต่อแรงดึงและความสามารถในการยืดจนขาดภายหลังการบ่มแรงของเทอร์โมพลาสติกวัลคาไนซ์ที่ใช้ยางธรรมชาติอีพอกไซด์จะมีค่าต่ำกว่ายางธรรมชาติเช่นเดียวกับก่อนบ่มแรง และพบว่าความต้านทานต่อ

แรงดึงและความสามารถในการยึดจับของเทอร์โมพลาสติกวัลคาไนซ์ภายหลังบ่มแรงจะมีแนวโน้มลดลงตามปริมาณหมู่อีพอกไซด์ที่เพิ่มขึ้น ยกเว้นเทอร์โมพลาสติกวัลคาไนซ์ที่ใช้ยาง ENR-50 จะมีค่าความต้านทานต่อแรงดึงเพิ่มขึ้น

- การศึกษาสมบัติการไหล พบว่าเทอร์โมพลาสติกวัลคาไนซ์ที่ใช้ยางธรรมชาติจะมีค่าความเค้นเฉือนปรากฏและความหนืดเฉือนปรากฏสูงกว่าเทอร์โมพลาสติกวัลคาไนซ์ที่ใช้ยางธรรมชาติอีพอกไซด์ และเมื่อเปรียบระหว่างยางธรรมชาติอีพอกไซด์พบว่าความเค้นเฉือนปรากฏและความหนืดเฉือนปรากฏของเทอร์โมพลาสติกวัลคาไนซ์จะมีค่าลดลงตามปริมาณหมู่อีพอกไซด์ที่เพิ่มขึ้น

- การศึกษาสมบัติเชิงกลพลวัต พบว่ามอดุลัสสะสมและความหนืดเชิงซ้อนของเทอร์โมพลาสติกวัลคาไนซ์ที่ใช้ยาง ENR-50 จะมีค่าสูงสุด รองลงมาคือเทอร์โมพลาสติกวัลคาไนซ์ที่ใช้ยาง ENR-40, ENR-30, ENR-20, ENR-10 และ NR ตามลำดับ ในขณะที่ค่า  $\tan \delta$  ของเทอร์โมพลาสติกวัลคาไนซ์เมื่อใช้ชนิดยางธรรมชาติจะให้ค่า  $\tan \delta$  สูงที่สุด รองลงมาคือยาง ENR-10, ENR-20, ENR-30, ENR-40 และ ENR-50 ตามลำดับ

Prince of Songkla University  
Pattani Campus

## บรรณานุกรม

- เจริญ นาคะสรרך. 2546. เทคโนโลยีเบื้องต้นทางพลาสติก. สำนักพิมพ์โพธิ์เพชร, กรุงเทพมหานคร, หน้า 190-195.
- ชัยวัฒน์ เจนวาณิชย์. 2527. เคมีพอลิเมอร์พื้นฐาน. พิมพ์ครั้งที่ 1. กรุงเทพฯ : โอเดียนสโตร์.
- ซีตีไซยัตะห์ สายวารีย์ อี้ย์มาน เลาะยิ และเจริญ นาคะสรרך. 2551. การศึกษาส่วนผสมระหว่างยางรีเคลมจากเศษถุงมือยางธรรมชาติ. วิทยานิพนธ์วิทยาศาสตรบัณฑิต สาขาเทคโนโลยียางภาควิชาเทคโนโลยียางและพอลิเมอร์ คณะวิทยาศาสตร์และเทคโนโลยี มหาวิทยาลัยสงขลานครินทร์.
- เด่นศักดิ์ แก้วกับเพชร. 2558. ยางธรรมชาติเทอร์โมพลาสติกวัลคาไนซ์จากการเบลนด์ยางธรรมชาติอิพอกไซด์กับโคพอลิเอสเทอร์. วิทยานิพนธ์วิทยาศาสตรมหาบัณฑิต สาขาเทคโนโลยีพอลิเมอร์ คณะวิทยาศาสตร์และเทคโนโลยี มหาวิทยาลัยสงขลานครินทร์.
- นุรอัศวารี เจ๊ะโวะ๊ะ. 2557. อิทธิพลของยางรีเคลมที่เป็นองค์ประกอบในเทอร์โมพลาสติกอีลาสโตเมอร์จากการเบลนด์ยางธรรมชาติกับพอลิโพรพิลีน. วิทยานิพนธ์วิทยาศาสตรบัณฑิต สาขาเทคโนโลยียาง คณะวิทยาศาสตร์และเทคโนโลยี มหาวิทยาลัยสงขลานครินทร์.
- บุญธรรม นิธิอุทัย ปรีชา ป่องภัย และตุลยพงศ์ ตุลยพิทักษ์. 2555. คู่มือปฏิบัติการเทคโนโลยียาง 2, ภาควิชาเทคโนโลยียางและพอลิเมอร์ คณะวิทยาศาสตร์และเทคโนโลยี มหาวิทยาลัยสงขลานครินทร์ ปัตตานี.
- ปฎิญา อาเรียย์. 2556. การนำยางครัมป์กลับมาใช้ใหม่ด้วยเทคนิคการรีเคลมผิวอนุภาคร่วมกับการอัดที่อุณหภูมิสูง. วิทยานิพนธ์วิทยาศาสตรมหาบัณฑิต สาขาเทคโนโลยีพอลิเมอร์ คณะวิทยาศาสตร์และเทคโนโลยี มหาวิทยาลัยสงขลานครินทร์.
- พรพรรณ นิธิอุทัย. 2528. สารเคมีสำหรับยาง. ภาควิชาเทคโนโลยียางและพอลิเมอร์ คณะวิทยาศาสตร์และเทคโนโลยี มหาวิทยาลัยสงขลานครินทร์.
- พรพรรณ นิธิอุทัย. 2540. ยางเทคนิคการออกสูตร, ภาควิชาเทคโนโลยียางและพอลิเมอร์ คณะวิทยาศาสตร์และเทคโนโลยี มหาวิทยาลัยสงขลานครินทร์.
- ภุริพงษ์ วรรณวิไล. 2548. การเตรียมเทอร์โมพลาสติกอีลาสโตเมอร์จากยางธรรมชาติอิพอกไซด์เบลนด์กับพอลิโพรพิลีน. วิทยานิพนธ์วิทยาศาสตรมหาบัณฑิต สาขาเทคโนโลยีพอลิเมอร์ คณะวิทยาศาสตร์และเทคโนโลยี มหาวิทยาลัยสงขลานครินทร์.
- วราภรณ์ ขจรไชยกูล. 2552. ผลิตภัณฑ์ยาง:กระบวนการผลิตและเทคโนโลยี, บริษัท ซีโน พับลิชซิ่ง (ประเทศไทย) จำกัด, กรุงเทพมหานคร, หน้า 50-71.

- สกุลรัตน์ พิชัยยุทธ์. 2551. เทอร์โมพลาสติกวัลคาไนซ์จากการเบลนด์ยางธรรมชาติมาลีเอตกับพอลิเอทิลีนชนิดความหนาแน่นสูง. วิทยานิพนธ์วิทยาศาสตรมหาบัณฑิต สาขาเทคโนโลยีพอลิเมอร์ คณะวิทยาศาสตร์และเทคโนโลยี มหาวิทยาลัยสงขลานครินทร์.
- สำนักงานพัฒนาวิทยาศาสตร์และเทคโนโลยีแห่งชาติ(สวทช). คลังศัพท์ไทย สืบค้นจาก: <http://www.thaiglossary.org/search/ยางรีเคลม> [มกราคม 24, 2015]
- อัญชลี โพธิ์ฐาน. 2551. การเตรียมและสมบัติของยางรีเคลมจากเศษยางล้อดอกของล้อรถบรรทุก. วิทยานิพนธ์วิทยาศาสตรบัณฑิต สาขาเทคโนโลยียาง คณะวิทยาศาสตร์และเทคโนโลยี มหาวิทยาลัยสงขลานครินทร์.
- Adhikari, B., De, D. and Maiti, S. 2000. Reclamation and recycling of waste rubber. *Progress in Polymer Science*. 25, 909-948.
- Baker, C.S.L. and Gelling, I.R. 1987. Epoxidation of natural rubber. In *Development in Rubber Technology*, A. Whelan and K.S. Lee, editors. Elsevier Applied Science Publishers Ltd, London, England, pp. 87-117.
- Berruenco, C., Esperanza, E., Mastral, F.J., Ceamanos, J. and Garcia-Bacaicoa, P. 2005. Pyrolysis of waste tyres in an atmospheric static-bed batch reactor: Analysis of the gases obtained. *Journal of Analytical and Applied Pyrolysis*. 74, 245-253.
- Brydson J.A. 1978. *Rubber Chemistry*. Applied Science Publishers Ltd, England, pp.255-257.
- Chen, F. and Qian, J. 2003. Studies of the thermal degradation of waste rubber. *Waste Management*. 23, 463-467.
- Chuayjuljit S., Soatthiyanon N. and Potiyaraj P. 2006. Polymer blends of epoxy resin and epoxidized natural rubber. *Journal of Applied Polymer Science*. 102, 452-459.
- Coran, A.Y. 2005. Vulcanization. In *The science and technology of rubber*, J.E. Mark, B. Erman and M. Roland, editors. Elsevier Inc, United states of america, pp. 337-381.
- Davey, J.E. and Loadman, M.J.R. 1984. A chemical demonstration of the randomness of epoxidation of natural rubber. *British Polymer Journal*. 16, 134-138.

- De, D., Das, A., De, D., Dey, B., Debnath, S.C. and Roy, B.C. 2005. Reclaiming of ground rubber tire (GTR) by a novel reclaiming agent. *European Polymer Journal*. 47, 1091-1100.
- De, D., De, D. and Singharoy, G.M. 2007. Reclaiming of ground rubber tire by a novel reclaiming agent. I. Virgin natural rubber/reclaimed GRT vulcanizates. *Polymer Engineering and Science*. 47, 1091-1100.
- De, D., Panda, P.K., Roy, M. and Bhunia, S. 2013. Reinforcing effect of reclaim rubber on natural rubber/polybutadiene rubber blends. *Materials and Design*. 46, 142-150.
- Duangburong, J., Tantayanon, S. and Bhandhubanyong, P. 2015. A breakthrough challenge with tyre waste management: Thailand perspective. *International Journal of Social Science and Humanity*. 5, 768-772.
- Farahani, T.D., Bakhshandeh, G.R. and Abtahi, M. 2006. Mechanical and viscoelastic properties of natural rubber/ reclaimed rubber blends. *Polymer Bulletin*. 19, 1241-1250.
- Gamlin, C.D., Dutta, N.K. and Choudhury, N.R. 2003. Mechanism and kinetics of the isothermal thermodegradation of ethylene-propylene-diene (EPDM) elastomers. *Polymer Degradation and Stability*. 80, 525-531.
- Gelling, I.R. 1991. Epoxidised natural rubber. *Journal of Natural Products*. 6, 184-205.
- George, S., Ramamurthy, K., Anand, J.S., Groeninckx, G., Varughese, K.T. and Thomas, S. 1999. Rheological behaviour of thermoplastic elastomers from polypropylene/acrylonitrile-butadiene rubber blends: effect of blend ratio, reactive compatibilization and dynamic vulcanization. *Polymer*. 40, 4325-4344.
- Gisbert, N.A., Amoros, C.J.E., Martínez, L.J. and Garcia, A.M. 2007. Study of thermal degradation kinetics of elastomeric powder (ground tire rubber). *Polymer-Plastics Technology and Engineering*. 47, 36-39.

- Hassan, M.M., Badway, N.A., Gamal, A.M., Elnaggar, M.Y. and Hegazy, E.S.A. 2010. Studies on mechanical, thermal and morphological properties of irradiated recycled polyamide and waste rubber powder blends. *Nuclear Instruments and Methods in Physics Research Section B: Beam Interactions with Materials and Atoms*. 268, 1427-1434.
- Hassan, M.M., Badway, N.A., Elnaggar, M.Y. and Hegazy, E.S.A. 2013. Thermo-mechanical properties of devulcanized rubber/high crystalline polypropylene blends modified by ionizing radiation. *Journal of Industrial and Engineering Chemistry*. 19, 1241-1250.
- Holden, G. 2000. *Understanding Thermoplastic Elastomers*. Hanser Publishers, Munich, Germany, pp. 9-63.
- Huang, N. and Wang, J. 2009. A TGA-FTIR study on the effect of CaCO<sub>3</sub> on the thermal degradation of EBA copolymer. *Journal of Analytical and Applied Pyrolysis*. 84, 124-130.
- Hirano, K. and Asami, M. 2013. Phenolic resins—100 years of progress and their future. *Reactive and Functional Polymers*. 73, 256-269.
- Imyim, A., Sirithaweessit, T. and Ruangpornvisuti, V. 2016. Arsenite and arsenate removal from wastewater using cationic polymer-modified waste tyre rubber. *Journal of Environmental Management*. 166, 574-578.
- John, B., Varughese, K.T., Oommen, Z., Pötschke, P. and Thomas, S. 2003. Dynamic mechanical behavior of high-density polyethylene/ethylene vinyl acetate copolymer blends: The effects of the blend ratio, reactive compatibilization, and dynamic vulcanization. *Journal of Applied Polymer Science*, 87, 2083-2099.
- Juntuek, P., Ruksakulpiwat, C., Chumsamrong, P. and Ruksakulpiwat, Y. 2011. Glycidyl methacrylate grafted natural rubber: synthesis, characterization, and mechanical property. *Journal of Applied Polymer Science*. 122, 3152-3159.
- Kumnuantip, C. and Sombatsompop, N. 2003. Dynamic mechanical properties and swelling behaviour of NR/reclaimed rubber blends. *Materials Letters*. 57, 3167-3174.

- Lee, S.H., Balasubramanian, M., Kim, J.K. 2007. Dynamic reaction inside co-rotating twin screw extruder. II. Waste ground rubber tire powder/polypropylene blends. *Journal of Applied Polymer Science*. 106, 3209-3219.
- Magioli, M., Sirqueira, A. and Soares, B. 2010. The effect of dynamic vulcanization on the mechanical, dynamic mechanical and fatigue properties of TPV based on polypropylene and ground tire rubber. *Polymer Testing*. 29, 840-848.
- Mandal, S.K., Alam, M.N., Roy, K. and Debnath, S.C. 2014. Reclaiming of ground rubber tire by safe multifunctional rubber additives: II virgin natural rubber/reclaimed ground rubber tire vulcanizates. *Rubber Chemistry and Technology*. 87, 152-167.
- Myhre, M., Saiwari, S., Dierkes, W. and Noordermeer, J. 2012. Rubber recycling: chemistry, processing, and applications. *Rubber chemistry and technology*. 85, 408-449.
- Nakason, C., Tobprakhon, A. and Kaesaman, A. 2005. Thermoplastic vulcanizates based on poly (methyl methacrylate)/epoxidized natural rubber blends: Mechanical, thermal, and morphological properties. *Journal of Applied Polymer Science*. 98, 1251-1261.
- Nakason, C., Saiwari, S. and Kaesaman, A., 2006a. Rheological properties of maleated natural rubber/polypropylene blends with phenolic modified polypropylene and polypropylene-g-maleic anhydride compatibilizers. *Polymer Testing*. 25, 413-423.
- Nakason, C., Nuansomsri, K., Kaesaman, A. and Kiatkamjornwong, S. 2006b. Dynamic vulcanization of natural rubber/high-density polyethylene blends: effect of compatibilization, blend ratio and curing system. *Polymer Testing*, 25, 782-796.
- Nelson, P.A. 2003 Studies on the Utilisation of rubber Reclaim in Elastomers. Ph.D. Thesis, Cochin University of Science and Technology.
- Nelson, P.A. and Kutty, S.K.N. 2004. Cure characteristics and mechanical properties of maleic anhydride grafted reclaimed rubber/styrene butadiene rubber blends. *Polymer-Plastics Technology and Engineering*. 43, 245-260.

- Noriman, N.Z., Ismail, H. and Rashid, A.A. 2010. Characterization of styrene butadiene rubber/recycled acrylonitrile-butadiene rubber (SBR/NBRr) blends: the effects of epoxidized natural rubber (ENR-50) as a compatibilizer. *Polymer Testing*. 29, 200-208.
- Pasbakhsh, P., Ismail, H., Fauzi, M.A. and Bakar, A.A. 2009. Influence of maleic anhydride grafted ethylene propylene diene monomer (MAH-g-EPDM) on the properties of EPDM nanocomposites reinforced by halloysite nanotubes. *Polymer Testing*. 28, 548-559.
- Pichaiyut, S., Nakason, C., Kaesaman, A., Kiatkamjornwong, S. 2008. Influences of blend compatibilizers on dynamic, mechanical, and morphological properties of dynamically cured maleated natural rubber and high-density polyethylene blends, *Polymer Testing*. 27, 566-580.
- Poh, B.T., Ismail, H., Quah, E.H. and Chin, P.L. 2000. Cure and mechanical properties of filled SMR L/ENR 25 and SMR L/SBR blends. *Journal of Applied Polymer Science*. 81, 47-52.
- Rattanasom, N., Poonsuk, A. and Makmoon, T. 2005. Effect of curing system on the mechanical properties and heat aging resistance of natural rubber/tire tread reclaimed rubber blends. *Polymer Testing*. 24, 728-732.
- Rajan, V.V., Dierkes, W.K., Joseph, R. and Noordermeer, J.W.M. 2006. Science and technology of rubber reclamation with special attention to NR-based waste latex products. *Progress in Polymer Science*. 31, 811-834.
- Saiwari, S. 2013. Post-Consumer Tires Black into New Tires, De-Vulcanization and Reutilization of Passenger Car. Ph.D. Thesis, University of Twente.
- Shanmugaraj, A.M., Kim, J.K. and Ryu, S.H. 2007. Modification of rubber powder with peroxide and properties of polypropylene/rubber composites. *Journal of Applied Polymer Science*. 104, 2237-2243.
- Shi, J., Zou, H., Ding, L., Li, X., Jiang, K., Chen, T., Zhang, X., Zhang, L. and Ren, D. 2014. Continuous production of liquid reclaimed rubber from ground tire rubber and its application as reactive polymeric plasticizer. *Polymer Degradation and Stability*, 99, 166-175.

- Sombatsompop, N. and Kumnuantip, C. 2003. Rheology, cure characteristics, physical and mechanical properties of tire tread reclaimed rubber/natural rubber compounds. *Journal of Applied Polymer Science*. 87, 1723-1731.
- Tantayanon, S. and Juikham, S. 2004. Enhanced toughening of poly(propylene) with reclaimed-tire rubber. *Journal of Applied Polymer Science*. 91, 510–515.
- Wongthong, P., Nakason, C., Pan, Q., Rempel, G.L. and Kiatkamjornwong, S. 2015. Influences of the phenolic curative content and blend proportions on the properties of dynamically vulcanized natural rubber/acrylonitrile–butadiene–styrene blends. *Journal of Applied Polymer Science*, 36, 42520.
- Wu, H.D., Ma, C.C.M. and Lin, J.M., 1997. Processability and properties of phenoxy resin toughened phenolic resin composites. *Journal of Applied Polymer Science*. 63, 911-917.
- Zanchet, A., Carli, L.N., Giovanela, M., Brandalise, R.N. and Crespo, J.S. 2012. Use of styrene butadiene rubber industrial waste devulcanized by microwave in rubber composites for automotive application. *Materials and Design*. 39, 437-443.
- Zhang, X., Zhu, X., Liang, M. and Lu, C. 2009a. Improvement of the properties of ground tire rubber (GTR)-filled nitrile rubber vulcanizates through plasma surface modification of GTR powder. *Journal of Applied Polymer Science*. 114, 1118-1125.
- Zhang, S.L., Zhen Xin, Z.X., Zhang, Z.X. and Kim, J.K. 2009b. Characterization of the properties of thermoplastic elastomers containing waste rubber tire powder. *Waste Management*. 29, 1480-1485.

ภาคผนวก

เอกสารตีพิมพ์ในการประชุม (proceeding) จากการเผยแพร่ผลงานวิทยานิพนธ์ในงานประชุม

International Polymer Conference of Thailand (PCT-6)

ณ Pathumwan Princess Hotel กรุงเทพมหานคร

ระหว่างวันที่ 30 มิถุนายน – 1 กรกฎาคม 2559

## Improved Properties of Natural Rubber/Reclaimed Rubber/Propylene Ethylene Copolymer Thermoplastic Vulcanizates as Affected by Modifying Methods

**Witchuda Nakasan**, Sitisaiyidah Saiwari and Anoma Thitithammawong\*

Department of Rubber Technology and Polymer Science, Faculty of Science and Technology,

Prince of Songkla University, Pattani Campus, Pattani, 94001, Thailand

Phone +66 73 312213, \*E-Mail: anoma.t@psu.ac.th

### Abstract

Thermoplastic vulcanizates (TPVs) based on natural rubber, reclaimed rubber and propylene ethylene copolymer NR/RR/PEC blends at blend proportion of 30/30/40 wt% were prepared. The effect of modifying methods on mechanical, rheological and morphological properties of TPVs was studied. It was found that TPV with phenolic resin showed better tensile strength, elongation at break and tendency to recover from prolonged extension than the TPV without modifier. Moreover, rheological properties and phase morphology were also improved with the addition of phenolic. The melt blending method gave the TPV with better overall properties than those of the reactive blended TPV. Further increase phenolic content the better phase compatibility was achieved.

**Keywords:** Thermoplastic vulcanizates, Natural rubber, Reclaimed rubber, Modifying methods, Phenolic resin

### 1. Introduction

Increasing high consumption of rubber products leads to large amount of rubber wastes disposed to environment. More than million tons of rubber wastes, mainly used tires, are still be the environmental problems [1] as their molecules are crosslinked and they need very long time for completely natural degradation.

Reclamation is one technique using either thermal mechanical or chemicals to recycle the waste of crosslinked rubbers [2]. After reclamation, reclaimed rubber can be partially vulcanized again and it is partly used as raw rubber in new rubber product for cost reduction. However, reclaimed rubber in general has poor mechanical properties in comparison to virgin rubbers. Also, it has inferior physical and/or chemical compatibility with other rubbers or polymers leading to phase separation of developed rubber compound [3]. Therefore, phase compatibility is a significant issue for use of reclaimed rubber in order to achieve vulcanizates with acceptable properties [4]. Many research works have been done on study the way to improve compatibility between reclaimed rubber and other polymers. For example, surface modifications of RR have been done to

improve the compatibility of RR with a polymer matrix [5-7]. Maleic anhydride (MA), bitumen, and allylamine were preferably applied as modifying agent to promote blend compatibility by increasing of phase adhesion [5-9]. Various irradiation techniques and plasma treatment were also used to activate reactive sites in the blends containing reclaimed rubber [10-11]. The reactive sites chemically reacted among phase and increased phase compatibility.

Propylene ethylene copolymer (PEC) offers an outstanding combination of clarity, heat-sealability, elasticity, softness, processability, and compatibility in blends in film, sheet, and molded products. It has been used as thermoplastic phase for production of TPVs with regard to good impact strength and processability [12-13].

In the present work, TPVs based on NR/RR/PEC blends were prepared at a blend ratio of NR/RR/PEC = 30/30/40 wt% by dynamic vulcanization. Effect of modifying methods and phenolic resin contents on the properties of the blends were investigated.

## 2. Experimental

### 2.1 Materials

Ribbed smoke sheet no.3 typed natural rubber (NR) was produced by Local Farmer Cooperation, Pattani, Thailand. Reclaimed rubber (RR) was purchased from Union Commercial Development Co., Ltd. Samutprakan, Thailand. Propylene ethylene copolymer, versify®3300, (PEC) was supplied by Dow Chemical Company, USA. Hydroxymethylol phenolic resin (HRJ-10518) manufactured by Schenectady International Inc, USA was used as modifying agent. Stannous chloride dehydrate (SnCl<sub>2</sub>·2H<sub>2</sub>O) used as a catalyst for phenolic resin was manufactured by Carlo Erba Reagent (France). The compound ingredients were zinc oxide (Global Chemical, Thailand), stearic acid (Imperial Chemical, Thailand), white oil (Maoming Fulida Chemical, China), wingstay L (Eliokem, USA), *N*-tert-butyl-2-benzothiazyl sulfenamide or TBBS (Flexys, USA), and sulfur (Siam Chemical, Thailand). All ingredients were used as received.

### 2.2 Preparation of NR/RR/PEC blends

NR/RR/PEC blends were prepared at a fixed blend ratio of 30/30/40 wt% in an internal mixer using compound formulation as given in Table 1.

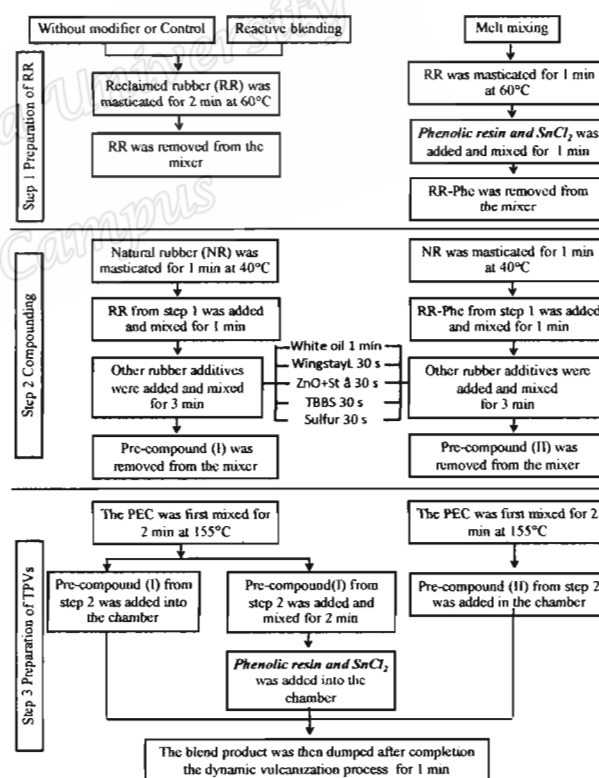
**Table 1.** Compound formulation of NR/RR/PEC TPVs.

| Ingredients                          | Quantity (phr) |
|--------------------------------------|----------------|
| NR                                   | 100            |
| RR                                   | 90             |
| PEC                                  | 67             |
| HRJ-10518                            | 0, 3, 5, 7, 10 |
| SnCl <sub>2</sub> ·2H <sub>2</sub> O | 1              |
| Aromatic oil                         | 10             |
| Stearic acid                         | 1              |
| ZnO                                  | 5              |
| Wingstay L                           | 1              |
| TBBS                                 | 0.8            |
| Sulphur                              | 4              |

\* RR, containing 55.5% rubber content

\*\* Blend ratio of NR/RR/PEC at 30/30/40 wt%

Mixing conditions were set at a fill factor of 0.80, mixing temperature of 155°C and at a rotor speed 60 rpm. In the present work, phenolic modifier was incorporated into the prepared blends in two different mixing methods. They were melt mixing and reactive blending as schematic diagram illustrated in Fig. 1. The blend without addition of modifier (called control) was also done for a comparison purpose. After completion of mixing, the mixture was removed from the chamber, immediately sheeted out on two roll mills and kept at room temperature for one day before further process. Test specimens were later prepared by compression molding at 165°C and preconditioned before test and characterization. In addition, the procedure which give the best properties of NR/RR/PEC TPV was later chosen and use in the part of study the effect of modifier content.



**Fig. 1** Schematic diagram for mixing procedure for the preparation of NR/RR/PEC TPVs.

### 2.3 Testing procedures

#### 2.3.1 Mechanical Properties

Tensile properties were measured on dumbbell shape

specimens using a Hounsfield Tensometer H 10 KS (the Hounsfield Test Equipment Co., Ltd, U.K.) in accordance with the procedure described in ASTM D412 at a constant cross-head speed of 500 mm/min. Tension set was tested at room temperature after stretching the samples for 10 min at 100% strain. Three specimens were tested for each sample and average value was reported.

### 2.3.2 Dynamic properties

Dynamic properties of the TPVs were established using a rotorless oscillating shear rheometer (RheoTech MDPT, Cuyahoya Falls, USA) at 165°C. The oscillation frequency was set in the range of 1–10 Hz at a constant strain of 3%. This was to ensure that the test was located in the linear viscoelastic region.

### 2.3.3 Morphological properties

Scanning electron microscope (model VP 1450, Leo, UK) was employed to examine morphology of extracted surface of NR/RR/PEC TPVs. The samples were cryogenically fractured in liquid nitrogen. The PEC phase was preferentially extracted by immersing the fractured surface into toluene for 30 minutes. The samples were dried in an oven at 40°C for 24 h to eliminate the solvent, and gold coated before characterization.

## 3. Results and Discussion

### 3.1 Effect of modifying methods on properties of NR/RR/PEC TPVs

Fig. 2 shows stress-strain curves of the NR/RR/PEC TPVs. It is seen that all TPVs show similar values of the initial slope at the beginning of the curves. All stress-strain curves of the TPVs behaved the character of soft and tough elastic material. Slight increase of modulus and tensile stress can be seen in the TPVs with addition of modifier. The NR/RR/PEC TPV with melt mixing method show highest tensile strength with more or less the same value of elongation at break when compared with the reactive blended TPV and the TPV without modifier. Furthermore, improvement of phase compatibility in the presence of modifier can be clearly seen from decreased tension set of the TPVs with modifier as shown in Fig. 3. This can be explained by a function of phenolic resin. That is, during melt blending,

graft copolymer of rubbers with phenolic resin occurred due to reactive methyol groups in the phenolic molecules can easily react with double bonds in the rubber chains [14] as reaction scheme shown in Schemes 1. This graft copolymer later reacted with rubber and PEC phases to form chemical reaction among phase [14]. Hence, increase of higher stress for tensile deformation and failure and also improvement of tension set are seen in Fig. 2 and 3.

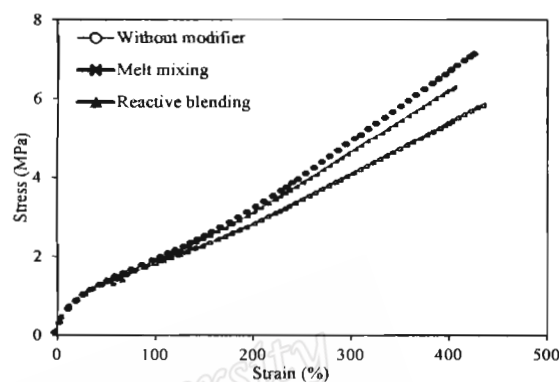


Fig. 2 Stress-strain curve of NR/RR/PEC TPVs prepared by different modifying methods.

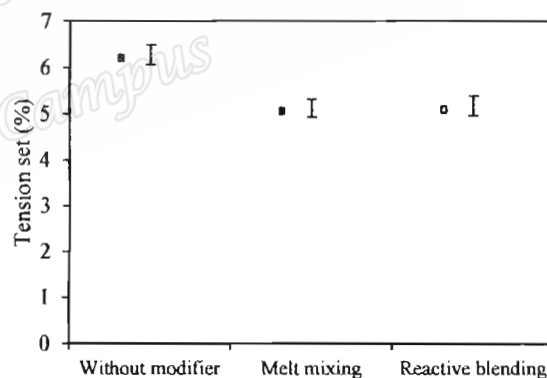
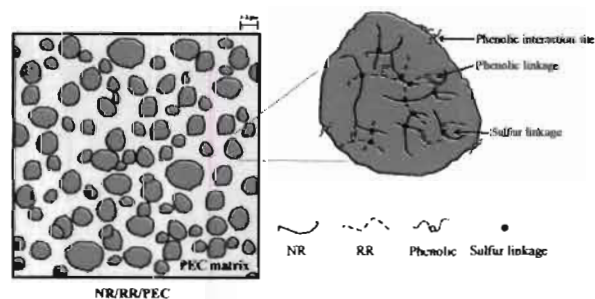


Fig. 3 Tension set of NR/RR/PEC TPVs prepared by different modifying methods.

In addition, comparing between two modifying methods used, the melt mixing NR/RR/PEC TPV which phenolic resin was located in the RR phase seemed to give better tensile strength and elongation at break than the reactive blending TPV. This is attributed to in the melt mixing process graft copolymer of RR with phenolic (RR-Phe) was firstly prepared. This graft copolymer can further compatible with the NR phase. Therefore, the interfacial adhesion of rubber component in the investigated blend system is promoted leading to more

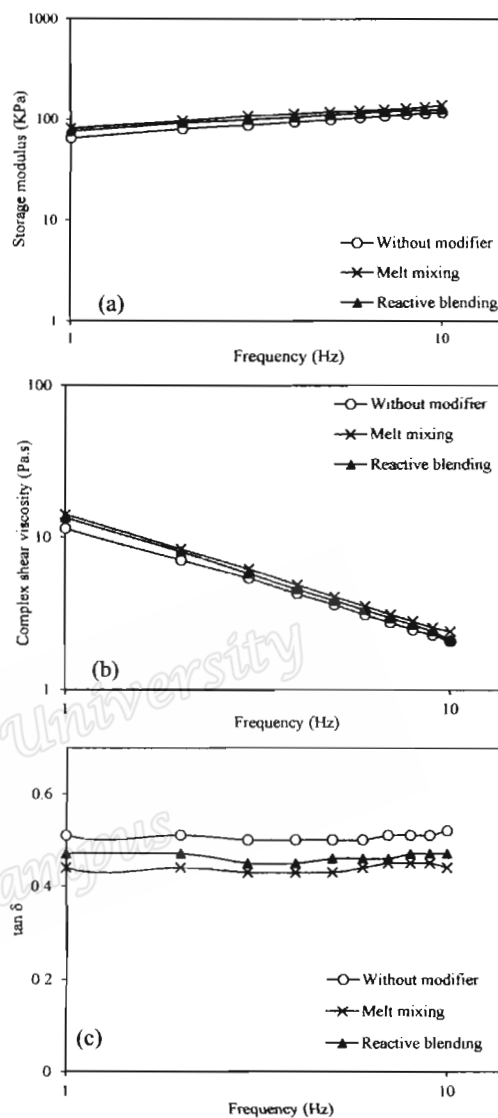
compatible rubber phase prior to mix with the PEC [15-17]. Moreover, addition of phenolic resin at the beginning of mixing process, there was an enough mixing time for phenolic to possess chemical reaction when compared to the reactive blending method. In the reactive blending, phenolic resin was added in the step 3 with short time for dispersion and reaction in the blend component. Therefore, this might be a reason that the NR/RR/PP TPV with reactive blending had inferior mechanical properties in relative to those of the melt mixing TPV.



**Scheme 1.** Possible reaction between phenolic resin and natural rubber.

Dynamic mechanical properties of NR/RR/PEC TPVs with variation of modifying methods were also studied and results are shown in Fig. 4. Results show material characteristic of pseudoplastic or shear thinning behavior. In addition, storage modulus and complex shear viscosity (Fig. 4(a) and (b)) slightly increased with incorporation of phenolic resin. Also,  $\tan \delta$  clearly decreased to lower value (Fig. 4(c)). These observations are due to the phenolic modifier caused improvement of interfacial interaction among phases. The occurrence of chemical reaction by means of phenolic resin resulted in higher shear torque for molecular movement to desired strain [18]. As a consequence, storage modulus and complex shear viscosity of NR/RR/PEC TPVs with modifier were higher than those of the control TPV at a given tested frequency. In the case of  $\tan \delta$ , a drop of  $\tan \delta$  means material has good elastic response with low damping in its molecules. The chemical reaction promoted by phenolic resin helped polymer molecules of the modified NR/RR/PEC TPVs can better relax applied

stress with low heat generated in molecules or loss modulus leading to low value of  $\tan \delta$ .



**Fig. 4** Dynamic properties in a term of (a) storage modulus, (b) complex viscosity and (c)  $\tan \delta$  as function of frequency of NR/RR/PEC TPVs with various modifying methods.

Focusing on two different modifying methods, the TPVs prepared by melt mixing and reactive blending had identical test results of storage modulus and complex shear viscosity. However, the melt mixing technique gave the TPV with lowest  $\tan \delta$ . This is because of different incorporation step of phenolic resin as discussed earlier. The melt mixing method allowed the phenolic to firstly locate in the RR phase before further reacted with NR and

PEC. In combination, this method provided enough time for phenolic to disperse and function. Therefore, the melt mixing showed stronger effect on phase compatibility of the TPVs.

Morphological study of the NR/RR/PEC TPVs was investigated using secondary electron SEM mode. Fig. 5 shows SEM micrographs of the toluene extracted surface of the NR/RR/PEC TPVs with various modifying methods. It is seen that the blends with different modifying method exhibited different surface morphologies. The surface morphology of the TPV without modifier (the control) and the TPV prepared by reactive blending method were more roughness than the surface morphology of the TPV prepared by melt mixing. The more roughness fracture surface means that the interfacial adhesion of the blend component is poor [9]. Incorporation of phenolic resin by means of melt mixing provides more smooth surface of the TPV than the others as an affected of chemical reaction caused by phenolic resin [19].

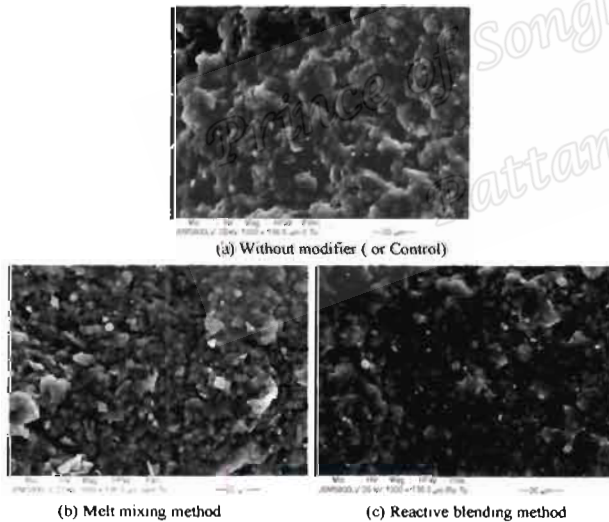


Fig. 5 SEM micrographs of NR/RR/PEC TPVs prepared by various modifying methods.

### 3.2 Effect of quantity of phenolic resin on properties of NR/RR/PEC TPVs prepared by melt mixing method

From previous study, the melt mixing process was chosen and used in the study of influence of quantity of phenolic resin. Figs. 6 and 7 show mechanical properties of the NR/RR/PEC TPVs. It is seen that tensile strength increased with increasing quantity of phenolic resin from

0 to 10 phr while as elongation at break and tension set slightly decreased. This was due to the raising of phenolic resin can perform more chemical interaction between RR and NR resulting to more compatible rubber phase which later dispersed in the PEC matrix with good interfacial adhesion. Additionally, small drop of tension set at 5 phr of phenolic resin might be attributed to an excess amount of phenolic resin caused phase separation and slightly hardened the TPV.

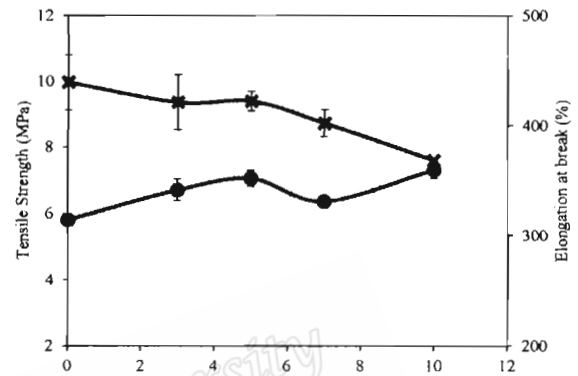


Fig. 6 Effect of phenolic resin content on the tensile strength and elongation at break of NR/RR/PEC TPVs.

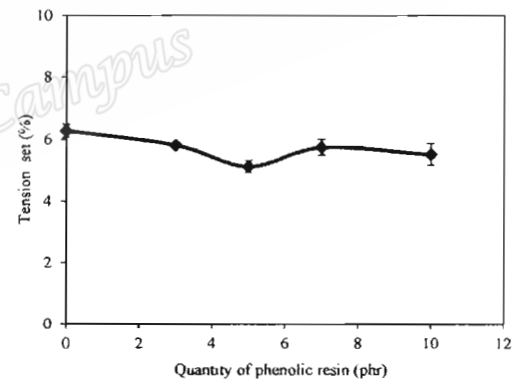
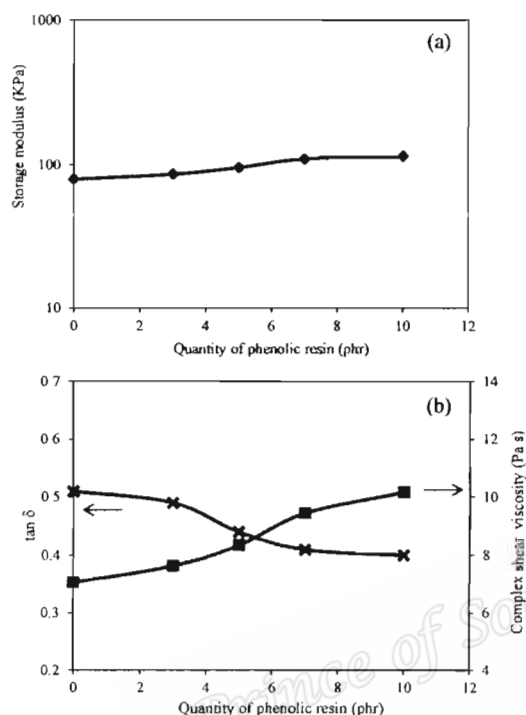


Fig. 7 Effect of phenolic resin content on tension set of NR/RR/PEC TPVs.

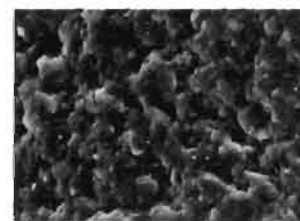
Fig.8 shows dynamic mechanical properties of the NR/RR/PEC TPVs with varying quantity of phenolic resin. Higher compatibility in the TPV can be seen from gradual increasing of storage modulus and complex shear viscosity together with decreasing of  $\tan \delta$ . At very high test temperature i.e. 165°C, the TPV almost melted as thermoplastic having vulcanized rubber particles as filler. The molten TPV was flowed in a direction of force (shear torque). Higher interfacial adhesion among phases yielded higher shear force for molten TPV to flow. Therefore,

increasing of storage modulus and complex shear viscosity were observed with increasing the phenolic content. Furthermore, good phase compatibility caused better stress relaxation at the interface and hence lower damping in polymer molecules as clearly noticed from the lower  $\tan \delta$ .

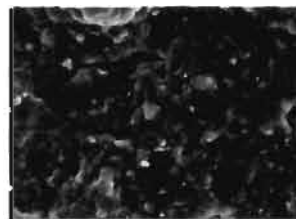


**Fig. 8** (a) Storage modulus and (b) complex viscosity and  $\tan \delta$  at a frequency of 2 Hz of NR/RR/PEC TPVs with phenolic resin content.

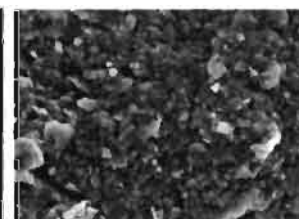
Fig. 9 shows SEM micrographs of the NR/RR/PEC TPVs with varying phenolic content. Finer phase morphology of the fractured surface TPVS was obviously seen with increasing content of phenolic resin. This morphology is corresponding to the results of mechanical and dynamic properties of the NR/RR/PEC TPVs. Increasing of interfacial adhesion among phases as previously discussed yielded to an improvement of phase compatibility. Therefore, finer phase distribution or smooth fractured surface of the TPVs with increasing the phenolic content was found. This developed morphology impacted on improvement of mechanical, dynamic, and rheological properties of the TPVs in previously results.



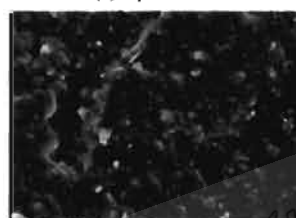
(a) 0 phr



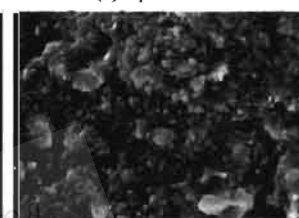
(a) 3 phr



(a) 5 phr



(a) 7 phr



(a) 10 phr

**Fig. 9** SEM micrographs of NR/RR/PEC TPVs with phenolic content.

#### 4. Conclusion

The properties of NR/RR/PEC TPVs are affected by modifying method. The presence of phenolic modifier could promote improvement of mechanical, dynamic, and rheological properties of the modified NR/RR/PEC TPVs. The melt mixing method was the best method used for addition of phenolic resin due to this method provided enough time for chemical reaction of phenolic with other polymers phases and also it controlled the location of the phenolic in the RR phase. Quantity of phenolic content impacted on properties of the TPVs as well. It was seen that property improvement of TPVs can be clearly seen with increasing phenolic content in the blend system.

#### References

- [1] Duangburong, J., Tantayanon, S., Bhandhubanyong, P. "A breakthrough challenge with tyre waste management: thailand perspective", *Int. J. Soc. Sci. Human.*, 5, 768-772 (2015).
- [2] Isayev, A.I., "Recycling of rubbers", In: Erman, B., Mark, J.E., Roland, C.M. (eds) *The science and*

- technology of rubber, United states of America: 697-764 (2013).
- [3] Ramarad, S., Khalid, M., Ratnam, C.T., Chuah, A.L., Rashmi, W. "Waste tire rubber in polymer blends: A review on the evolution, properties and future", *Prog. Mater. Sci.*, 72, 100-140 (2015).
- [4] Fan, P., Lu, C. "A study on functionalization of waste tire rubber powder through ozonization", *J. Polym. Environ.*, 19, 943-949 (2011).
- [5] Shanmugharaj, A.M., Kim, J.K., Ryu, S.H. "Modification of rubber powder with peroxide and properties of polypropylene/rubber composites", *J. Appl. Polym. Sci.*, 104, 2237-2243 (2007):
- [6] Naskar, A.K., De, S.K., Bhowmick, A.K. "Thermoplastic elastomeric composition based on maleic anhydride-grafted ground rubber tire", *J. Appl. Polym. Sci.*, 84, 370-378 (2002).
- [7] Zhang, S.L., Xin, Z.X., Zhang, Z.X., Kim, J.K. "Characterization of the properties of thermoplastic elastomers containing waste rubber tire powder", *Waste Manage.*, 29, 1480-1485 (2009).
- [8] Lu, X., Wang, W., Yu, L. "Waste ground rubber tire powder/thermoplastic vulcanizate blends: Preparation, characterization, and compatibility", *J. Appl. Polym. Sci.*, 131, 39868 (2014).
- [9] Lee, S.H., Balasubramanian, M., Kim, J.K. "Dynamic reaction inside co-rotating twin screw extruder. II. Waste ground rubber tire powder/polypropylene blends", *J. Appl. Polym. Sci.*, 106, 3209-3219 (2007).
- [10] Hassan, M.M., Badway, N.A., Elnaggar, M.Y., Hegazy, E.S.A. "Thermo-mechanical properties of devulcanized rubber/high crystalline polypropylene blends modified by ionizing radiation", *J. Ind. Eng. Chem.*, 19, 1241-1250 (2013).
- [11] Zhang, X., Zhu, X., Liang, M., Lu, C. "Improvement of the properties of ground tire rubber (GTR)-filled nitrile rubber vulcanizates through plasma surface modification of GTR powder", *J. Appl. Polym. Sci.*, 114, 1118-1125 (2009).
- [12] Rajeshbabu, R., Gohs, U., Naskar, K., Thakur, V., Wagenknecht, U., Heinrich, G. "Preparation of polypropylene (PP)/ethylene octene copolymer (EOC) thermoplastic vulcanizates (TPVS) by high energy electron reactive processing", *Radiat. Phys. Chem.*, 80, 1398-1405 (2011).
- [13] Da Silva, A.L.N., Rocha, M.C.G., Coutinho, F.M.B., Bretas, R., Scuracchio, C. "Rheological, mechanical, thermal, and morphological properties of polypropylene/ethylene-octene copolymer blends", *J. Appl. Polym. Sci.*, 75, 692-704 (2000).
- [14] Nakason, C., Nuansomsri, K., Kaesaman, A., Kiatkamjornwong, S. "Dynamic vulcanization of natural rubber/high-density polyethylene blends: Effect of compatibilization, blend ratio and curing system", *Polym. Test.*, 25, 782-796 (2006).
- [15] Jose, S., Thomas, S., Parameswaranpillai, J., Aprem, A.S. Kocsis, J. "Dynamic mechanical properties of immiscible polymer systems with and without compatibilizer", *Polym Test.*, 44, 168-176 (2015).
- [16] Ohlsson, B., Hassander, H., Törnell, B. "Effect of the mixing procedure on the morphology and properties of compatibilized polypropylene/polyamide blends", *Polymer*, 39, 4715-4721 (1998).
- [17] Thipmanee, R., Lukubira, S., Ogale, A.A., Sane, A. "Enhancing distributive mixing of immiscible polyethylene/thermoplastic starch blend through zeolite ZSM-5 compounding sequence". *Carbohydr. Polym.*, 136, 812-819 (2016).
- [18] Nakason, C., Saiwari, S., Kaesaman, A. "Rheological properties of maleated natural rubber/polypropylene blends with phenolic modified polypropylene and polypropylene-g-maleic anhydride compatibilizers", *Polym. Test.*, 25, 413-423 (2016).
- [19] Pichaiyut, S., Nakason, C., Kaesaman, A., Kiatkamjornwong, S. "Influences of blend compatibilizers on dynamic, mechanical, and morphological properties of dynamically cured maleated natural rubber and high-density polyethylene blends", *Polym. Test.*, 27, 566-580 (2008).

## ประวัติผู้เขียน

ชื่อ นางสาววิษชุดา นาคะสรรค์  
 รหัสประจำตัวนักศึกษา 5720320103  
 วุฒิการศึกษา  
 วุฒิ วิทยาลัยสงขลานครินทร์  
 ชื่อสถาบัน มหาวิทยาลัยสงขลานครินทร์  
 ปีที่สำเร็จการศึกษา 2557  
 วิทยาศาสตร์บัณฑิต  
 (วท.บ.เทคโนโลยียาง)

## ทุนการศึกษา

1. ทุนสนับสนุนค่าธรรมเนียมการศึกษาระดับบัณฑิตศึกษาปริญญาโท ประจำปีการศึกษา 2557 คณะวิทยาศาสตร์และเทคโนโลยี
2. ทุนกำหนดทิศทาง ประจำปีการศึกษา 2557 กองทุนวิจัยวิทยาเขตปัตตานี
3. ทุนอุดหนุนการวิจัยเพื่อวิทยานิพนธ์ บัณฑิตวิทยาลัย มหาวิทยาลัยสงขลานครินทร์

## ผลงานที่ตีพิมพ์เผยแพร่

Nakasan, W., Saiwari, S. and Thitithammawong, A. 2016. Improved properties of natural rubber/reclaimed rubber/propylene ethylene copolymer thermoplastic vulcanizates as affected by modifying methods. International Polymer Conference of Thailand (PCT-6), Pathumwan Princess Hotel, Bangkok, June 30-July 1, 2016, 234-240.